

UNIVERSIDADE FEDERAL DE PERNAMBUCO CENTRO DE TECNOLOGIA E GEOCIÊNCIAS DEPARTAMENTO DE ENGENHARIA CIVIL PROGRAMA DE PÓS-GRADUAÇÃO EM ENGENHARIA CIVIL

SANDRELY DE MORAIS SERAFIM

ANÁLISE DAS PROPRIEDADES GEOTÉCNICAS DE UM DEPÓSITO DE ARGILA MOLE LOCALIZADO ÀS MARGENS DA BR-101 NO BAIRRO DO CURADO - RECIFE/PE.

Recife

SANDRELY DE MORAIS SERAFIM

ANÁLISE DAS PROPRIEDADES GEOTÉCNICAS DE UM DEPÓSITO DE ARGILA MOLE LOCALIZADO ÀS MARGENS DA BR-101 NO BAIRRO DO CURADO - RECIFE/PE.

Dissertação apresentada ao Programa de Pós-Graduação em Engenharia Civil do Centro de Tecnologia e Geociência da Universidade Federal de Pernambuco, como parte dos requisitos necessários à obtenção do grau de Mestre em Engenharia Civil.

Área de concentração: Geotecnia.

Orientador: Prof. Dr. Roberto Quental Coutinho.

Recife

Catalogação na fonte Bibliotecária Margareth Malta, CRB-4 / 1198

S481a Serafim, Sandrely de Morais.

Análise das propriedades geotécnicas de um depósito de argila mole localizado às margens da BR-101 no bairro do Curado - Recife/PE / Sandrely de Morais Serafim. - 2017.

239 folhas, il., gráfs., tabs.

Orientador: Prof. Dr. Roberto Quental Coutinho. Dissertação (Mestrado) — Universidade Federal de Pernambuco. CTG. Programa de Pós-Graduação em Engenharia Civil, 2017.

Inclui Referências e Apêndices.

1. Engenharia Civil. 2. Argila mole. 3. Parâmetros geotécnicos. 4. Qualidade da amostra. 5. CPTU. I. Coutinho, Roberto Quental. (Orientador). II. Título.

UFPE

624 CDD (22. ed.)

BCTG/2018-290



UNIVERSIDADE FEDERAL DE PERNAMBUCO PROGRAMA DE PÓS-GRADUAÇÃO EM ENGENHARIA CIVIL

A comissão examinadora da Defesa de Dissertação de Mestrado

ANALISE DAS PROPRIEDADES GEOTÉCNICA DE UM DEPÓSITO DE ARGILA MOLE LOCALIZADO AS MARGENS DA BR-101 NO BAIRRO DO CURADO - RECIFE/PE

defendida por

Sandrely de Morais Serafim

Considera a candidata APROVADA

Recife, 31 de julho de 2017

anca Exami	nadora:
-	Prof. Dr. Roberto Quental Coutinho - UFPE (orientador)
	Prof. Dr. Alexandre Duarte Gusmão – UPE (examinador externo)

Prof. Dr. Ricardo Nascimento Flores Severo - IFRN (examinador externo)

Dedico esta dissertação aos meus pais, Heleno Caetano Serafim e Maria Edileuza de Morais, aos meus avós, Manuel Francisco de Morais e Maria Vitória de Morais, ao meu noivo, Manuel Diomedes de Albuquerque Silva e ao meu irmão Sandro de Morais Serafim (*in memoriam*).

AGRADECIMENTOS

Agradeço primeiramente a Deus pelo dom da vida e por ter me guiado por todos os passos.

Aos meus pais Heleno Caetano Serafim e Maria Edileuza de Morais por sempre me incentivar a estudar.

Aos meus avós Manuel Francisco e Maria Vitória por todo carinho.

Ao meu noivo Manuel Diomedes por toda ajuda, incentivo e compreensão.

À minha chefe e amiga Luana Gentil pelo incentivo e compreensão.

Aos meus amigos Alisson Albuquerque e Ana Emília Rabelo pela ajuda com a tradução do resumo desta dissertação.

Ao meu professor e Orientador Roberto Quental Coutinho pelos ensinamentos, paciência, compreensão e incentivo para a conclusão desse trabalho.

À todos os integrantes do GEGEP (Grupo de Engenharia Geotécnica de Encosta e Planícies/UFPE) pela ajuda com fornecimento de material de pesquisas e no tratamento dos dados.

Tudo vale a pena Se a alma não é pequena.

Fernando Pessoa

RESUMO

Este trabalho tem como finalidade analisar as propriedades geotécnicas de um solo mole localizado às margens da BR-101 no bairro do Curado – Recife/PE e comparar os parâmetros encontrados com resultados publicados em estudos regionais. A campanha de investigação foi composta por sondagens SPT, ensaios CPTU, e coleta de amostras Shelby para realização de ensaios de adensamento com drenagem vertical e ensaios triaxial UU e CIU. De posse dos resultados das sondagens e ensaios foram elaborados perfis geotécnicos do solo para avaliar a variabilidade e definir as camadas de cada perfil. Foram avaliadas as qualidades das amostras indeformadas através das propostas de Lunne et al. (1997) e Coutinho (2007), sendo corrigidas as de qualidade insatisfatória pelos métodos de Schmertmann (1955), Oliveira (2002) e Coutinho (2007). A partir da análise dos resultados dos ensaios, foram construídos perfis com parâmetros: W_n , γ_n , IP (estimado), σ'_{v0} , σ'_{vm} , OCR, e_0 , C_c e Su, em função da profundidade. Para os perfis que contemplam os parâmetros de compressibilidade, foram adotados os valores corrigidos de σ'_{vm}, OCR e Cc. Foram avaliados os resultados dos parâmetros C_c e e₀ em função de W_n e comparados com as correlações propostas por Coutinho et al. (1998) para as argilas do Recife. Foram analisados os parâmetros de resistência (c' e \phi') e comparados com resultados obtidos por Amorim Jr. (1975), Coutinho et al. (1993) e Oliveira (2000). Os coeficientes de adensamento na faixa de recompressão e compressão virgem foram avaliados e comparados com outras pesquisas regionais. Por fim, foram comparados os resultados do coeficiente de adensamento vertical (C_v) e resistência não drenada (Su) obtidos por ensaios de laboratório (oedométrico e triaxial UU) com os obtidos pelo ensaio CPTU. Os perfis geotécnicos do local de estudo apresentaram camada superior de aterro/areia, estratificação dos depósitos de solos moles e existência de argilas siltosas orgânicas. O nível d'água foi encontrado na profundidade de 1,80m na ilha 1 e 1,90m na ilha 2. A umidade natural apresentou-se entre 21 e 99%. O peso específico entre 15,2 e 19,5 kN/m³. LL e IP estimados variando entre 22 a 95% e 10 a 60 %, respectivamente. O índice de compressão apresentou-se entre 0,18 e 0,95. O depósito estudado apresentou-se como ligeiramente pré-adensado com OCR entre 1,4 e 2,1. O coeficiente de adensamento na faixa de recompressão apresentou valores entre 2,1 a 7,7 x 10⁻⁸ m²/s e na faixa de compressão virgem entre 2,0 a 7,7 x 10⁻⁸ m²/s sendo C_{v recomp} / C_{v virgem} = 1,0 a 1,50. A resistência não drenada obtida do ensaio triaxial UU variou entre 28 a 79 kPa. Já os parâmetros de resistência obtidos do ensaio triaxial CIU apresentaram c' entre 0 a 4 e φ' entre 26 a 28°. O depósito de argila mole estudado apresentou características geotécnicas dentro da faixa de valores encontrados em outras pesquisas como as de Coutinho et al. (1993, 2000) Coutinho e Oliveira (1994), Coutinho (1998, 2007), Oliveira (2000), Oliveira et al. (2016), entre outros que fazem parte do banco de dados do GEGEP/UFPE.

Palavras-chave: Argila mole. Parâmetros geotécnicos. Qualidade da amostra. CPTU.

ABSTRACT

This work aims to analyze the geotechnical properties of a soft soil located on the sides of BR-101 in the Curado neighborhood - Recife/PE. It also compares the founded parameters with results published in regional studies. The research was composed by SPT, CPTU tests, and Shelby sampling in order to perform consolidation tests with vertical drainage and triaxial UU and CIU tests. After obtaining the results of the SPT, field and laboratory tests, the soil geotechnical profiles were developed. Thus, it was possible to evaluate the variability and to define the layers of each profile. The qualities of undisturbed samples were evaluated through the criteria proposed by Lunne et al. (1997) and Coutinho (2007). Those considered of poor quality were corrected using the methods of Schmertmann (1955), Oliveira (2002) and Coutinho (2007). Through the analyses of the tests results, it was possible to build profiles with parameters: Wn, γ n, IP (estimated), σ'_{v0} , σ'_{vm} , OCR, e_0 , Cc, and Su, as a function of depth. For the profiles that contemplate the compressibility parameters, the corrected values of σ'_{vm} , OCR and Cc were adopted. The results of the parameters Cc and e₀ as a function of Wn (%) were also evaluated and compared with the equations proposed by Coutinho et al. (1998) for clays in Recife. The parameters of resistance regarding effective stress (c' e \phi') were analyzed and compared with results obtained by Amorim Jr. (1975), Coutinho et al. (1993) and Oliveira (2000). The consolidation coefficient in the recompression and virgin compression range were analyzed and compared with other regional surveys. Finally, results of the vertical consolidation coefficient (Cv) and undrained resistance (Su) obtained by laboratory tests (oedomometric and triaxial UU) were compared with results obtained by the piezocone test. The geotechnical profiles present an upper layer of embankment/sand, stratification of soft soils deposits and organic silty clays. The water level was found at a depth of 1.80m on island 1 and 1.90m on island 2. The natural moisture was between 21 and 99%. The specific weight was between 15.2 and 19.5 kN/m³. LL and PI estimated ranged from 22 to 95% and 10 to 60%, respectively. The compression index was between 0.18 and 0.95. The studied deposit was slightly preconsolidated with an OCR between 1.4 and 2.1. The values for the consolidation coefficient in the recompression range varied among 2.1 and 7.7 x 10⁻⁸ m²/s and in the virgin compression range was between 2.0 and 7.7 x 10⁻⁸ m²/s, being Cv recomp/Cv virgin = 1.0 to 1.50. The undrained resistance obtained by the triaxial UU test varied from 28 to 79 kPa. However, the resistance parameters regarding effective stress obtained by the triaxial CIU test showed c' between 0 and 4 and ϕ ' between 26 and 28°. The soft clay deposit studied presented geotechnical characteristics within the range of values founded by Coutinho et al. (1993, 2000) Coutinho and Oliveira (1994), Coutinho (1998, 2007), Oliveira (2000), Oliveira et al. (2016), among others that are part of the GEGEP/UFPE database.

Keywords: Soft clay. Geotechnical parameters. Samples Quality. CPTU.

LISTA DE FIGURAS

Figura 1 - Equipamento de sondagem SPT.
Figura 2 - Amostrador padrão "Raymond".
Figura 3 – Equipamento de sondagem SPT.
Figura 4 – Sistemas de martelos recomendados pela ABNT.
Figura 5 - Desenho esquemático de uma ponteira de piezocone
Figura 6 - Componentes do equipamento do ensaio de piezocone.
Figura 7 - Posições do elemento filtrante no piezocone.
Figura 8 - Tipos de redutores de atrito mais comuns.
Figura 9 – Correções impostas as medidas de ensaio de piezocone
Figura 10 - Ábaco de identificação do comportamento típico de solos
Figura 11 - Classificação de solos por tipos de comportamento.
Figura 12 - Curva teórica e experimental de dissipação de poropressão medida na posição u
(Porto Alegre, RS)49
Figura 13 - Exemplo típico de um ensaio de dissipação utilizado para ilustrar o procedimento
de cálculo de C _h 50
Figura 14 - Isócronas de Porcentagem de Adensamento
Figura 15 - Representação esquemática da célula de adensamento.
Figura 16 - Grau de adensamento médio de uma camada de solo saturado: 'a' incremento de
poropressão inicial uniforme; 'b' U versus T
Figura 17 - Curva de altura do corpo de prova, em função do logaritmo do tempo, para cálculo
do coeficiente de adensamento, pelo processo de Casagrande50
Figura 18 - Curva de altura do corpo de prova, em função da raiz quadrada do tempo, par
cálculo do coeficiente de adensamento, pelo processo de Taylor58
Figura 19 - Curva C _v x Log(t) para amostras indeformadas de boa qualidade. OBS.: C
Calculado pelo método log (t)60
Figura 20 - Curva C _v x Log(t) para amostras indeformadas de boa qualidade. OBS.: C
Calculado pelo método t ^{-1/2} 6
Figura 21 - $C_v \times Log (\sigma'_{vm})$.
Figura 22 - $C_v \times Log (\sigma'_{vm})$
Figura 23 - $C_v \times Log (\sigma'_{vm})$
Figura 24 - Índice de vazios versus tensão vertical efetiva
Figura 25 - Determinação da pressão de pré-adensamento, pelo processo de Casagrande6

Figura 26 - Determinação da pressão de pré-adensamento, pelo processo de Pacheco Silva.68
Figura 27- Corpo de prova dentro de uma câmara de ensaio, submetido as tensões de
confinamento e axial70
Figura 28 - Exemplo de curvas "tensão desviadora x deformação axial". Para os 3 corpos de
prova ensaiados foram utilizadas as tensões de confinamento de 100, 200 e 600
kPa71
Figura 29 - Traçado dos círculos de Mohr correspondentes a realização de 3 ensaios triaxiais.
Na figura é mostrada a envoltória de Mohr (curva)71
Figura 30 - Tipos de ruptura
Figura 31 - Envoltória de ruptura – Ensaio triaxial consolidade drenado – solo não coesivo 73
Figura 32- Envoltória de ruptura da tensão efetiva e total – Ensaio triaxial consolidado
isotropicamente e não drenado – solo coesivo75
Figura 33 - Envoltória de ruptura – Ensaio triaxial não consolidado não drenado – UU76
Figura 34 - Curvas comparativas e vs. Log (p) para 'a' Ibura e Internacional e 'b' Sarapuí e
Juturnaíba78
Figura 35 - Procedimento esquemático para correção de Schmertmann (1955)78
Figura 36 - Ábaco índice de vazio inicial (e ₀) versus (e _f /e ₀)79
F igura 37 - Curvas de CR vs ε _{vo} para os depósitos do SESI-Ibura, Recife-PE81
Figura 38 - Curvas de OCR vs ε _{vo} para os depósitos do SESI-Ibura, Recife-PE81
Figura 39 - Perfis típicos observados e suas faixas de espessuras das camadas na Planície do
Recife/PE84
Figura 40 - Perfis geotécnicos típicos da planície do Recife85
Figura 41 - Carta de Plasticidade – Resultados de solos moles de Recife e de Juturnaíba 86
Figura 42 - Resultados dos ensaios de caracterização – Clube Internacional e SESI Ibura87
Figura 43 - Resultados de σ'_{v0} e σ'_{vp} e OCR vs profundidade para o Clube Internacional e SESI
Ibura
Figura 44 - Resultados de σ'_{v0} e σ'_{vp} e OCR vs. profundidade para o depósito do bairro de Boa
Viagem – Recife90
Figura 45 - Resultados de σ'_{v0} e σ'_{vp} e OCR vs. profundidade para o depósito do bairro de
Cajueiro – Recife90
Figura 46 - Correlação estatística - índice de vazios inicial (e ₀) em função da umidade (W%)
91

Figura 47 - Correlação estatística - índice de compressão (Cc) em função da umidade (W%
Figura 48 - Parâmetros de compressibilidade e ₀ , C _c , C _s vs profundidade – Clube Internaciona
e Sesi Ibura9
Figura 49 - Parâmetros de compressibilidade e ₀ , C _c , C _s vs profundidade – Boa Viagem Cajueiro9
Figura 50 - Perfil de Su obtidos a partir de EPC, Ensaios UU-C, CIU-C, CPTU e DMT para a
argilas moles de Recife/PE9
Figura 51- Localização da área de estudo9
Figura 52- Locação das sondagens SPT e suas respectivas coordenadas geográficas con
destaque para as ilhas 1 e 2 onde foram concentradas as investigações9
Figura 53 - Resultado da sondagem SPT, SP-108
Figura 54 - Resultado da sondagem SPT, SP-109
Figura 55 - Locação ampliada da perfuração para coleta das amostras Shelby e do Ensaio d
piezocone em relação aos furos das sondagens de referência, SP-108 e SP-109
10
Figura 56 - Resultados do CPTU-108, ilha 110
Figura 57 - Resultados do CPTU-109, ilha 2
Figura 58 - Execução de sondagem a trado para retirada de amostra tipo Shelby11
Figura 59 - Ensaio de adensamento com drenagem vertical11
Figura 60 - Ensaio triaxial UU11
F igura 61 - Ensaio triaxial CIU11
Figura 62 - Locação dos perfis geotécnicos
Figura 63 - Perfil 02, ilha 111
Figura 64 - Perfil 04, ilha 211
F igura 65 - Resultados do CPTU-108, ilha 1
Figura 66 - Resultados do CPTU-109, ilha 2
Figura 67 - Perfil geotécnico final da ilha 1 e síntese dos resultados dos ensaios de laboratório
para caracterização da área12
Figura 68 - Perfil geotécnico final da ilha 2 e síntese dos resultados dos ensaios de laboratóri
para caracterização da área12
Figura 69 - (a) Perfil típico II B2 proposto Oliveira et al. (2016); (b) e (c) enquadramento do
perfis estudado12

Figura 70 - Determinação do IP através do W_L estimado, plotado na Carta de plastic	idade das
argilas do Recife	127
Figura 71 - Perfil de tensão vertical efetiva das ilha 1.	129
Figura 72 - Perfil de tensão vertical efetiva das ilha 2.	130
Figura 73 - Curva de compressibilidade e determinação dos parâmetros (C _r , C _c , C _s	e σ' _{vm}) da
amostra AM-1-1. (ILHA 1)	131
Figura 74 - Correção da curva de compressibilidade (OLIVEIRA, 2002), amostra AM	í-1-5, Ilha
1	134
Figura 75 - Correção da curva de compressibilidade, Schmertmann (1955), amostra	AM-2-4 -
(Ilha 2)	135
Figura 76 - Curva OCR x εσ'νο para a camada 2 do local de estudo, tomando como re	ferência a
equação proposta por Coutinho (1998) para o Sesi Ibura	137
Figura 77 - Curva CR x ε _{σ'v0} para a camada 2 do local de estudo, tomando como re	ferência a
equação proposta por Coutinho (1998) para o Sesi Ibura	138
Figura 78 - Resultados do ensaio de adensamento da Ilha 1	142
Figura 79 - Resultados do ensaio de adensamento da Ilha 2	143
Figura 80 - Perfil de tensão de pré-adensamento e OCR obtidos através do ensaio C	PTU para
a ilha 2	145
Figura 81 - Coeficiente de adensamento (C _v), amostra AM -2-2 - (Ilha 2)	146
Figura 82 - Ensaios de dissipação. CPTU-109, Ilha 2	148
Figura 83 - Ensaio de dissipação na vertical do CPTU-109, Ilha 2, na profundidade	de 15,0m.
	149
Figura 84 -Estimativa de Eu ₂₅ /Su pela abordagem proposta por Duncan e Buchigna	ni (1975).
	150
Figura 85 - (a) C_v , C_h e C_h/C_v vs $\log \sigma'_{vm}$; (b) Coeficiente de adensamento vertical e l	norizontal
- laboratório vs. ensaios de campo.Clube Internacional, Recife/PE	151
Figura 86 - Perfil de Su - Triaxial UU - para as amostras da ilha 1	152
Figura 87 - Perfil de Su - Triaxial UU - para as amostras da ilha 2	153
Figura 88 - Perfil de resistência não drenada para as amostras da ilha 2 com resultado	os obtidos
em ensaio triaxial UU e CPTU	154

LISTA DE TABELAS

Tabela 1 – Classificação de solos baseada no N _{SPT} .	30
Tabela 2 - Peso específico de solos arenosos.	31
Tabela 3 - Peso específico de solos argilosos.	31
Tabela 4 - Potencialidades do CPT e do CPTU para investigações geotécnicas	33
Tabela 5 - verificação, manutenção e calibração do equipamento de ensaio	10
Tabela 6 - Classificação de solos por tipo de comportamento.	13
Tabela 7 - Classificação de solos em função do índice de classificação do material Ic	1 5
Tabela 8 - Fatores de cone de argilas brasileiras	16
Tabela 9 - Valores de K_1 das argilas brasileiras.	17
Tabela 10 - Valores de K ₂ das argilas brasileiras.	17
Tabela 11 - Fator T* segundo Houlsby e Teh (1988)	1 9
Tabela 12 - Razão de permeabilidade em argilas. Ladd et al. (1977) e Jamiolkowski et a	al.
(1985)	51
Tabela 13 - Causas de Pré-adensamento	59
Tabela 14 - Critério de avaliação de amolgamento/qualidade de amostras	77
Tabela 15 - Critério de classificação da qualidade do corpo de prova— Argilas moles de Reci	fe
	77
$\textbf{Tabela 16 -} Equações \ para \ estimar \ curva \ oedométrica \ a \ partir \ do \ índice \ de \ vazios \ inicial \ (e_0)$) -
Modificado do ábaco de Oliveira (2002)	30
Tabela 17 - Quantidade e porcentagem dos perfis típicos da Planície do Recife/PE	33
Tabela 18 - Faixa de variação de valores e índices físicos por local investigado	37
Tabela 19 - Correlações estatísticas – solos orgânicos e argilas moles/médias – Recife/PE 9	€2
Tabela 20 - Valores de Supalheta, IP e umidade natural para argila/solos orgânicos brasileiro	S.
) 4
Tabela 21 - Parâmetros geotécnicos das argilas do Recife) 6
Tabela 22 - Profundidade das amostras coletadas nas sondagens SP-108 e SP-10910	00
Tabela 23 - Profundidade das amostras Shelby coletadas nas ilhas 1 e 2)9
Tabela 24 - Resumo dos ensaios de campo	15
Tabela 25 - Resumo dos ensaios de laboratório	15
Tabela 26 - descrição das amostras das ilhas 1 e 2	21
Tabela 27 - Valores dos Limites de Liquidez e Plasticidade estimados	28
Tabela 28 - Tensão vertical efetiva das amostras da ilha 1	20

Tabela 29 - Tensão vertical efetiva das amostras da ilha 2. 130
Tabela 30 - Resumo dos parâmetros de compressibilidade das ilhas 1 e 2. 131
Tabela 31 - Resumo da análise da qualidade das amostras das duas ilhas estudadas132
Tabela 32 - Comparação entre os parâmetros de compressibilidade com e sem correção134
Tabela 33 - Parâmetros corrigidos pela proposta de Schmertmann (1955). 135
Tabela 34 - Amostras que compõem as camadas 1 e 2
Tabela 35 - Parâmetros σ'vm e OCR corrigidos por Coutinho (2007) para a Camada 2138
Tabela 36 - Parâmetros Cc e CR corrigidos por Coutinho (2007) para a Camada 2139
Tabela 37 - Resumo dos parâmetros corrigidos pelos três diferentes métodos, Oliveira (2002),
Coutinho (2007) e Schmertmann (1955)
Tabela 38 - C _C vs W _n e e ₀ vs W _n obtidos a partir das equação propostas de Coutinho et al.
(2007)141
Tabela 39 - Resumo dos parâmetros de compressibilidade corrigidos, quando necessário, para
as amostras das ilhas 1 e 2
Tabela 40-Resultados dos parâmetros de drenagem vertical obtido nos domínios de
recompressão e compressão virgem
Tabela 41- Resumo dos resultados do ensaio triaxial UU para as amostras das ilhas 1 e 2153
Tabela 42 - Resumo dos resultados dos ensaios triaxiais CIU para as amostras das duas ilhas
de investigação155
Tabela 43 - Ângulo de atrito e coesão em termos de tensão efetiva 155

LISTA DE SÍMBOLOS

Ā Prâmetro de Skempton para ensaio CIU Coeficiente de compressibilidade a_{v} Parâmetro de poropressão de Skempton para ensaio CID В Coesão c C' Coesão efetiva C_{c} Índice de compressão CR Razão de compressão C_h Coeficiente de adensamento horizontal Cr Índice de recompressão Cs Índice de expansão $C_{\rm v}$ Coeficiente de adensamento Coeficiente de compressão secundária $C\alpha$ Diâmetro nominal externo Dexterno Diâmetro nominal interno Dinterno Índice de vazios e Índice de vazios inicial da amostra de solo e_0 Índice de vazios correspondentes a tensão efetiva de campo $e_{\sigma'v0}$ Deformação volumétrica ε_{vo} \mathbf{f}_{ς} Atrito lateral f_t Atrito lateral corrigido I_c Índice de classificação do material Índice de classificação do material proposto por Robertson e Wride (1998). I_{cRW} ΙP Índice de plasticidade Permeabilidade horizontal k_{h} $k_{\rm v}$ Permeabilidade vertical Coeficiente de compressibilidade volumétrica m_{v} N_k Fator de capacidade de carga (ou N_{kt}) Índice de resistência a penetração do solo NSPT

OCR

 q_c

Razão de pré-adensamento

Resistência de ponta

qt Resistência de ponta corrigida

Su Resistência ao cisalhamento não drenada

u Poropressão

u₂ Poropressão medida na base do piezocone.

u₀ Poropressão hidrostática

W_L Limite de liquidez

W_n Umidade natural

ε_{v0} Deformação volumétrica

φ Ângulo de atrito interno

φ' Ângulo de atrito interno efetivo

γ Densidade do solo

 γ_{nat} Peso específico natural

 γ_s Densidade do sólido

γ_{sat} Peso específico saturado

γ_w Peso específico da água

σ'_v Tensão vertical efetiva

σ'_{vm} Tensão de pré-adensamento

 σ'_{v0} Tensão vertical efetiva inicial

 σ_{v0} Tensão vertical inicial

SUMÁRIO

1	CONSIDERAÇÕES INICIAIS	21
1.1	INTRODUÇÃO	21
1.2	OBJETIVO DA DISSERTAÇÃO	21
1.3	ESTRUTURA DA DISSERTAÇÃO	22
2	ENSAIOS DE CAMPO E LABORATÓRIO	25
2.1	ENSAIO A PERCUSSÃO COM SPT	25
2.1.1	Equipamentos e Procedimentos	26
2.1.2	Aplicações dos Resultados do ensaio SPT	30
2.2	ENSAIO DE PIEZOCONE	31
2.2.1	Histórico do Ensaio de Penetração de Cone (CPT/CPTU)	31
2.2.2	Equipamentos e Procedimentos	33
2.2.2.1	Localização do elemento filtrante	35
2.2.2.2	Saturação do elemento filtrante	37
2.2.2.3	Material do elemento filtrante	37
2.2.2.4	Equipamentos Acessórios	38
2.2.2.5	Calibração e Manutenção	39
2.2.3	Correção da Resistência de Ponta e do Atrito Lateral	40
2.2.4	Aplicações do Ensaio de Piezocone	42
2.2.4.1	Classificação do Solo	42
2.2.4.2	Estimativa da Resistência Não Drenada (Argilas)	45
2.2.4.3	História de Tensões (Argilas)	46
2.2.4.4	Coeficiente de adensamento (Argilas)	48
2.3	TEORIA DO ADENSAMENTO E ENSAIO DE ADENSAMENTO	51
2.3.1	Teoria do Adensamento	51
2.3.2	Ensaio de Adensamento	54
2.3.2.1	Coeficiente de Adensamento (Cv)	55
2.3.2.2	Parâmetros de Compressibilidade	65
2.3.2.3	Compressão Secundária ($Clpha$)	66
2.3.2.4	Tensão de Pré-Adensamento	67
2.4	ENSAIO TRIAXIAL	69
2.4.1.1	Ensaio Adensado Isotropicamente e Drenado (CID)	72

2.4.1.2	Ensaio Adensado Isotropicamente e Não Drenado (CIU)	74
2.4.1.3	Ensaio Triaxial Não Consolidado Não Drenado (UU)	75
2.5	CRITÉRIOS DE CLASSIFICAÇÃO DA QUALIDADE DA AMOSTRA	76
2.5.1	Correção da Curva de Compressibilidade	78
2.5.1.1	Proposta de Schmertmann (1955)	78
2.5.1.2	Proposta de Oliveira (2002)	79
2.5.1.3	Coutinho (2007)	80
3	DEPÓSITOS DE ARGILA MOLE NA CIDADE DO RECIFE	82
3.1	SÍNTESE DAS CARACTERÍSTICAS GEOTÉCNICA DOS DEPÓSITOS	DE
	ARGILAS MOLES DO RECIFE	82
3.1.1	Perfis Típicos	83
3.1.2	Índices Físicos	85
3.1.3	Matéria Orgânica	88
3.1.4	História de tensões	89
3.1.5	Compressibilidade	91
3.1.6	Resistência Não Drenada	94
3.1.7	Resumo Geral	95
4	CASO EM ESTUDO: LOCALIZAÇÃO DA ÁREA DE ESTUDO	E
	CAMPANHA DE INVESTIGAÇÃO	97
4.1	LOCALIZAÇÃO DA ÁREA DE ESTUDO	97
4.2	CAMPANHA DE INVESTIGAÇÃO	98
4.2.1	Sondagem a percussão	98
4.2.2	Ensaios CPTU	107
4.2.3	Retirada de amostras indeformadas tipo Shelby	109
4.2.4	Ensaios de laboratório	110
4.2.4.1	Ensaio de adensamento com drenagem vertical	110
4.2.4.2	Ensaio triaxial UU	112
4.2.4.3	Ensaio triaxial CIU	113
4.2.5	Resumo dos ensaios	115
5	ANÁLISE E DISCUSSÃO DOS RESULTADOS	116
5.1	PERFIL GEOTÉCNICO DA ÁREA DE ESTUDO	116
5.2	ÍNDICES FÍSICOS	126

5.2.1	Estimativa dos valores do Limite de Liquidez e Índice de Plasticidade	126
5.3	RESULTADOS DO ENSAIO DE ADENSAMENTO	128
5.3.1	Tensão vertical efetiva	129
5.3.2	Tensão de Pré-Adensamento	131
5.3.3	Avaliação da qualidade da amostra	132
5.3.4	Correção da curva de Compressibilidade	133
5.3.4.1	Proposta de correção de Oliveira (2002)	133
5.3.4.2	Proposta de correção Schmertmann (1955)	134
5.3.4.3	Proposta de Coutinho (2007)	136
5.3.4.4	Resumo das Correções	139
5.3.5	Parâmetros Geotécnicos de Compressibilidade obtidos através de Cor	relações
	141	
5.3.6	Síntese dos Parâmetros de Compressibilidade	144
5.3.7	Coeficiente de Adensamento	145
5.4	RESISTÊNCIA AO CISALHAMENTO	152
5.4.1	Resistência não drenada	152
5.4.2	Resultado do ensaio Triaxial CIU	155
6	CONCLUSÕES E RECOMENDAÇÕES	156
6.1	CONCLUSÕES	156
6.1.1	Programa de investigação	156
6.1.2	Qualidade das amostras	156
6.1.3	Caracterização geotécnica	157
6.1.3.1	Parâmetros de caracterização	157
6.1.3.2	Compressibilidade e Adensamento	157
6.1.3.3	Resistência não Drenada (Su)	158
6.1.3.4	Resistência ao Cisalhamento (CIU)	159
6.2	SUGESTÕES PARA FUTURAS PESQUISAS	159
	REFERÊNCIAS	160
	APÊNDICE A – RESULTADO DAS SONDAGENS SPT	169
	APÊNDICE B – PERFIS GEOTÉCNICOS	201
	APÊNDICE C – CURVAS DE COMPRESSIBILIDADE SEM CORREC	ÇÃO 208

APÊNDICE D – CURVAS DE COMPRESSIBILIDADE	CORRIGIDAS POR
OLIVEIRA (2002)	218
APÊNDICE E – CURVAS DE COMPRESSIBILIDADE	CORRIGIDAS POR
SCHMERTMANN (1955)	223
APÊNDICE F – COEFICIENTE DE ADENSAMENTO	229

1 CONSIDERAÇÕES INICIAIS

Este capítulo apresentará os principais objetivos desta dissertação, além de sua estruturação, abordando um breve resumo do que será explanado em cada capítulo.

1.1 INTRODUÇÃO

Diante do crescimento populacional e o consequente avanço territorial nos grandes centros urbanos, a ocupação de terrenos situados sobre espessos depósitos de solo mole tem se tornado cada vez mais comum nas cidades situadas nas baixadas brasileiras.

Assim, as obras civis estão cada vez mais situadas em terrenos onde os subsolos apresentam baixa capacidade de suporte e alta compressibilidade. Diante deste cenário, diversos autores nacionais e internacionais vêm abordando esta temática.

O entendimento do comportamento dos solos se dá através da análise de resultados de ensaios de campo e laboratório e estudo de características regionais. Para a determinação de parâmetros geotécnicos confiáveis os ensaios devem ser realizados segundo as normas regulamentadoras pertinentes. A obtenção de amostras indeformadas devem ser realizadas de forma cautelosa, uma vez que uma das problemáticas mais frequentes na determinação de critérios através de ensaios de laboratório é a falta de qualidade das amostras, o que gera inconfiabilidade nos padrões geotécnicos obtidos a partir dessas amostragens.

Estudos e esforços vêm sendo realizados no meio geotécnico brasileiro e internacional, no sentido de avaliar a qualidade de amostragens, assim como, quantificar e corrigir o efeito desta nos valores dos parâmetros geotécnicos. Estudos como o de Ladd (1973), Coutinho (1976, 1986, 2007); Hight (2000); Futai (2002), Hight e Leroueil (2003), Tanaka (2008), entre outros, abordaram essa temática.

Na costa Brasileira, a presença de argila mole é muito comum, nesta têm sido estudados vários depósitos ao longo dos anos em cidades como Recife, Rio de Janeiro, Santos, Porto alegre, Maceió, Aracaju, Salvador, entre outras.

1.2 OBJETIVO DA DISSERTAÇÃO

O presente trabalho tem como objetivo o estudo das propriedades geotécnicas de um depósito de argila mole localizado às margens da BR-101 no bairro do Curado-Recife/PE, no local de construção do Hospital da Mulher do Recife, através da análise dos resultados de ensaios de campo e laboratório e comparação com resultados publicados em estudos regionais.

Os objetivos específicos são:

- Elaborar perfis geotécnicos, a partir dos resultados dos ensaios SPT, e analisar a estratigrafia dos depósitos de solos localizados na área onde foi construído o Hospital da Mulher do Recife.
- Verificar a qualidade das amostras de solo retiradas do local de estudo através das metodologias propostas por Lunne *et al.* (1997) e Coutinho, (2007).
- Corrigir a curva de compressibilidade e seus parâmetros pelos métodos de Schmertmann (1955), Oliveira (2002) e Coutinho (2007);
- Calcular e analisar os parâmetros de compressibilidade, adensamento e resistência das duas ilhas de investigação.
- Correlacionar e comparar os parâmetros obtidos com outros estudos realizados nos depósitos de argila mole da cidade do Recife;
- Utilizar dados do Banco de dados desenvolvido pelo GEGEP (Grupo de Engenharia Geotécnica de Encosta e Planícies/UFPE), sob a coordenação do prof. Roberto Quental Coutinho, para obtenção de informações geotécnica através de dados regionais, exemplificando seu potencial na complementação das investigações, e utilizar correlações estatísticas empíricas de parâmetros geotécnicos, permitindo desta forma, melhoramento das análises e discussões dos dados do trabalho:
- Comparar os parâmetros de compressibilidade e resistência obtidos a partir de ensaios de campo, CPTU, com os obtidos em laboratório; e,
- Analisar e obter resultados e experiências que venham a agregar aos demais estudos relacionados ao tema, contribuindo com a experiência local e regional.

1.3 ESTRUTURA DA DISSERTAÇÃO

Esta dissertação está dividida em seis capítulos e seis apêndices. Os assuntos estão distribuídos da seguinte maneira:

No **Capítulo 1** está a **INTRODUÇÃO**, na qual se tem uma visualização geral do trabalho desenvolvido e seus objetivos.

Os Capítulos 2 e 3 referem-se aos tópicos de REVISÃO BIBLIOGRÁFICA com a seguinte divisão:

Capítulo 2 – ENSAIOS DE CAMPO E LABORATÓRIO: compreende uma revisão dos procedimentos, normas de referência e equipamentos utilizados na execução das sondagens SPT e ensaios CPTU, bem como a aplicabilidade de cada um dos referidos ensaios de campo.

No Capítulo 2 também será abordado a teoria do adensamento proposta por Terzaghi e Frohlich (1936), suas hipóteses simplificadora e a formulação proposta pelos referidos autores para a equação do adensamento, coeficiente de adensamento e grau de adensamento.

Dando continuidade a revisão bibliográfica, o referido capítulo segue exibindo a metodologia de execução dos ensaios de adensamento, métodos práticos utilizados na determinação do coeficiente de adensamento (C_v) a partir dos resultados de ensaios oedométricos, determinação dos parâmetros de compressibilidade e tensão de pré-adensamento. Também será exibido a metodologia e resultados obtidos nos ensaios Triaxiais de Compressão (CID, CIU e UU).

Por fim, o Capítulo 2 contempla os critérios de classificação de amostras de solo proposto por Lunne *et al.* (1997) e Coutinho (2007), bem como métodos de correção da curva de compressibilidade propostos por Schmertmann (1955), Oliveira (2002) e Coutinho (2007).

Capítulo 3 – DEPÓSITOS DE ARGILA MOLE NA CIDADE DO RECIFE: composto por uma revisão da literatura referente aos depósitos de solo mole da planície do Recife. Neste capítulo será exibido as principais características geotécnicas dos depósitos de solo mole do Recife baseados em dados de vários locais da cidade: identificação, caracterização, adensamento e resistência, além de correlações estatísticas entre C_c x e₀, C_c x W_n e e₀ x W_n (Coutinho e Belo, 2005).

O Capítulo 4 refere-se ao CASO EM ESTUDO: LOCALIZAÇÃO DA ÁREA DE ESTUDO E CAMPANHA DE INVESTIGAÇÃO, incluindo a localização e a descrição de todas as sondagens e ensaios realizados no local de estudo, a metodologia utilizada em cada um deles, bem como a apresentação dos resultados das sondagens e resumo dos ensaios de laboratórios.

O Capítulo 5 trata da ANÁLISE E DISCUSSÃO DOS RESULTADOS, com a apresentação e discussão dos resultados dos ensaios de campo e laboratório, classificação das amostras coletadas quanto a qualidade pelos critérios de Lunne *et al.* (1997) e Coutinho *et al.* (1998) e correção da curva de compressibilidade das amostras que apresentaram qualidade insatisfatória pelo método de Schmertmann (1955), Oliveira (2002) e CR e OCR pela proposta de Coutinho (2007). Neste capítulo também será mostrado a utilização das correlações propostas por Coutinho *et al.* (2007) para estimativa de C_c e e₀. Além disso serão comparados os parâmetros de compressibilidade e resistência obtidos em ensaios de laboratório com os obtidos no ensaio de piezocone e com os resultados de outros estudos que fazem parte do banco de dados do GEGEP/UFPE.

No Capítulo 6 são apresentadas as CONCLUSÕES E AS SUGESTÕES PARA FUTURAS PESQUISAS.

Nos Apêndices são apresentados:

APÊNDICE A: Resultados das sondagens SPT das duas ilhas de investigação;

APÊNDICE B: Perfis geotécnicos;

APÊNDICE C: Curva de compressibilidade sem correção;

APÊNDICE D: Curva de compressibilidade corrigida pela proposta de Oliveira (2002);

APÊNDICE E: Curva de compressibilidade corrigida pelo método de Schmertmann (1955); e,

APÊNDICE F: Obtenção do Coeficiente de Adensamento.

2 ENSAIOS DE CAMPO E LABORATÓRIO

Este capítulo dedica-se a revisão bibliográfica dos procedimentos e equipamentos utilizados na execução das sondagens SPT e ensaios CPTU e a aplicabilidade de cada um dos referidos ensaios de campo.

Nele também serão exibidas a metodologia de execução dos ensaios de adensamento, os métodos práticos utilizados na determinação do coeficiente de adensamento, determinação dos parâmetros de compressibilidade (a_v , m_v , k_v , C_c , C_r e C_α) e tensão de pré adensamento, bem como a metodologia e resultados obtidos nos ensaios triaxiais de compressão (CID, CIU e UU).

Por fim, serão mostrados os critérios de classificação da qualidade das amostras de solo proposto por Lunne *et al.* (1997) e Coutinho (2007), assim como métodos de correção da curva de compressibilidade propostos por Schmertmann (1955), Oliveira (2002) e Coutinho (2007).

2.1 ENSAIO A PERCUSSÃO COM SPT

O Standard Penetration Test (SPT) é, reconhecidamente, a mais popular, rotineira e econômica ferramenta de investigação geotécnica em praticamente todo o mundo. A sondagem tem como princípio a perfuração e cravação dinâmica de amostrador padrão, a cada metro, resultando na determinação do tipo de solo e de um índice de resistência a penetração (N_{SPT}), bem como da observação do nível do lençol freático (NBR 6484).

A normatização do ensaio SPT foi introduzida em 1958 pela American Society for Testing and Materials (ASTM), existindo atualmente diversas normas nacionais e um padrão internacional adotado como referência: *International Reference Test Procedure* (IRTP/ISSMFE, 1988).

No Brasil, o ensaio SPT possui normatização própria, na qual se incluem a NBR 6484/2001, NBR 8036/83 e NBR 7250/82. Na América do Sul é habitual o uso da normatização norte-americana ASTM D1586/1967. Entretanto, não é incomum o uso regional de procedimentos não padronizados e de equipamentos diferentes do padrão internacional.

As vantagens desse ensaio com relação aos demais são: simplicidade do equipamento, baixo custo e obtenção de um valor numérico de ensaio que pode ser relacionado por meio de propostas não sofisticadas, mas diretas, com regras empíricas de projeto. Apesar das críticas pertinentes que são continuamente feitas a diversidade de procedimentos utilizados para a execução do ensaio e a pouca racionalidade de alguns dos métodos de uso e interpretação, este é o processo dominante ainda utilizado na prática de Engenharia de Fundações (SCHNAID e ODEBRECHT, 2012).

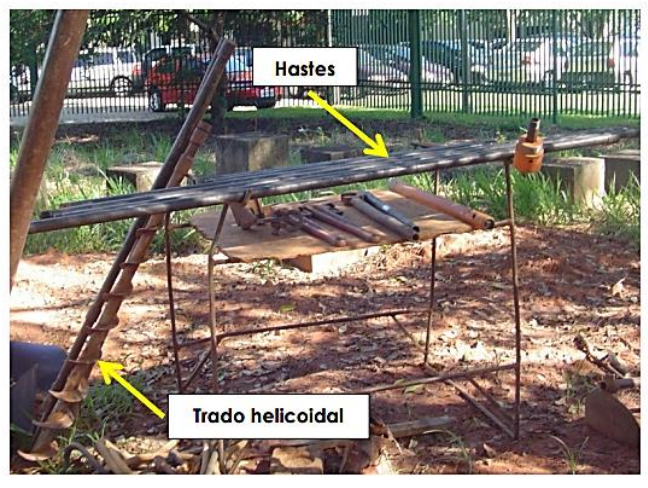
2.1.1 Equipamentos e Procedimentos

Basicamente, os equipamentos necessários para a realização do ensaio SPT são compostos por: torre de sondagem completa ou tripé de sondagem; composição para perfuração e cravação; tubos de revestimento; trado helicoidal; trépano ou peça de lavagem; sistema de circulação de água; amostrador padrão; cabeça de bater e martelo padronizado. (BELINCANTA *et al.*, 2010):

 Torre de sondagem completa ou tripé de sondagem: é formada por quatro tubos de aço, com 5m de comprimento cada, e possuindo dispositivos para montagem do martelo (Figura 1 'a').

Figura 1 - Equipamento de sondagem SPT.





(a) Torre de sondagem completa

(b) Composição para perfuração/cravação e trado helicoidal

Fonte: Lukiantchuki (2012).

- 2) Composição para perfuração e cravação: formada por uma composição de hastes de aço com diâmetro nominal interno de 25mm (D_{externo} = 33,4 mm ± 2,5mm e D_{interno} = 24,3 mm ± 5mm) e peso teórico de 32 N/m, acopladas por roscas e luvas em bom estado, devidamente atarraxadas, formando um conjunto retilíneo, em segmentos de 1,00m e/ou 2,00m, (NBR 6484/2001), (Figura 1 'b').
- 3) Tubos de revestimento: formados por tubos de aço ($D_{externo} = 76,1 \text{ mm} \pm 5 \text{mm}$ e $D_{interno} = 68,8 \text{ mm} \pm 5 \text{mm}$) com comprimento de 1,00m ou 2,00m, que podem ser emendados por meio de luvas e roscas.
- 4) Trado helicoidal: utilizado para a abertura dos furos de sondagem. O diâmetro do trado deve ser ligeiramente inferior ao diâmetro interno do tubo de revestimento, para permitir uma folga de 5 a 7mm (Figura 1 'b').

- 5) Trépano ou peça de lavagem: deve ser constituído por peça de aço, com diâmetro nominal de 25mm, terminada em bisel e dotada de duas saídas laterais para água. A largura da lâmina do trépano deve apresentar uma folga de 3mm a 5mm em relação ao diâmetro interno do tubo de revestimento utilizado. A distância entre o orifício de saída de água e a extremidade em forma de bisel deve ser no mínimo de 200mm e no máximo de 300mm (NBR 6484/2001).
- 6) Sistema de circulação de água: é constituído de uma bomba hidráulica, uma caixa para decantação de detritos e mangueiras de engate rápido.
- 7) Amostrador: o amostrador utilizado na execução da sondagem é constituído de três partes distintas: cabeça, corpo e sapata (Figura 2). A cabeça do amostrador possui uma válvula de esfera e um orifício de drenagem que permite a saída da água de dentro das hastes e a consequente retenção da amostra de solo dentro do amostrador. Esse conjunto de válvula e dreno deve ser frequentemente inspecionado e limpo, para garantir seu perfeito funcionamento. O corpo do amostrador é formado por um tubo bipartido (Figura 2), que permite a inspeção tátil e visual das amostras. O corpo e o bico devem ser periodicamente inspecionados e substituídos sempre que for detectado algum desgaste ou empenamento. Bicos amostradores defeituosos alteram substancialmente o resultado dos ensaios, pois dificultam a penetração do solo no amostrador.

Figura 2 - Amostrador padrão "Raymond".



Fonte: NBR 6484/2001 apud Schnaid e Odebrecht (2012).

8) Cabeça de bater: construída de um tarugo de aço com diâmetro de 83 ± 5 mm, altura de 90 ± 5 mm e massa nominal entre 3,5 e 4,5 kg (Figura 3 'a').

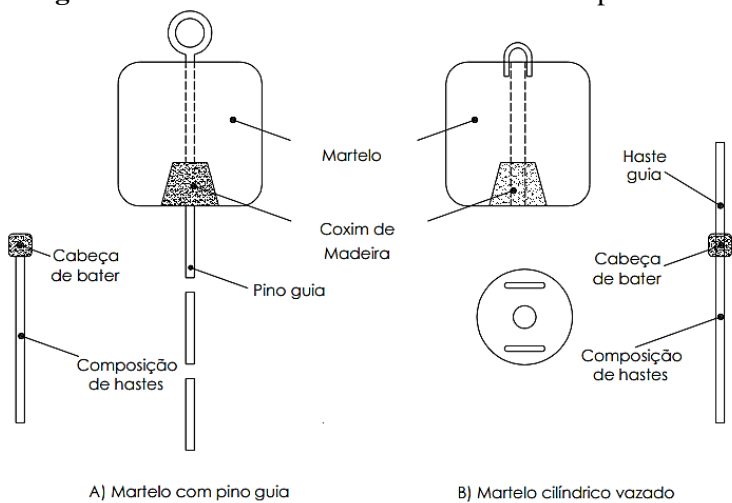
Figura 3 – Equipamento de sondagem SPT.



Fonte: Lukiantchuki (2012).

9) Martelo padronizado: constituído por uma massa de ferro de 65 kg, podendo ser maciço ou vazado e em formato cilíndrico ou prismático. Os martelos maciços possuem haste-guia ou pino-guia de 1,2m ao longo do eixo de simetria longitudinal do martelo, Figura 3 'b'. Os martelos devem possuir um coxim de madeira dura, embutida na sua face interior, com o objetivo de proteger o martelo e melhorar o contato entre as seções no instante do impacto. A Figura 4 apresenta os sistemas de martelo recomendados pela NBR 6484 (ABNT,2001).

Figura 4 – Sistemas de martelos recomendados pela ABNT.



Fonte: Belincanta e Cintra (1998).

A sondagem SPT é executada em três etapas distintas, que são sempre repetidas para cada metro de profundidade: perfuração, ensaio de penetração e amostragem (AOKI; CINTRA, 2008).

A perfuração consiste na abertura do furo onde posteriormente é inserido o amostrador. Segundo a norma brasileira NBR 6484 (ABNT, 2001), a abertura do furo é iniciada com um trado concha até o primeiro metro e com o trado helicoidal para as profundidades subsequentes. Belincanta *et al.* (2010), destaca que apesar da norma recomendar a utilização do trado concha para o primeiro metro, na prática, a perfuração é usualmente realizada somente com o trado helicoidal. A abertura do furo abaixo do nível de água é realizada com o auxílio de um trépano e com circulação de água. A partir desta fase, torna-se obrigatório o uso de tubos de revestimentos e o emprego de lamas de estabilização em situações mais particulares de instabilidade das paredes do furo.

O ensaio de penetração é a etapa na qual é determinado o índice de resistência a penetração do solo, N_{SPT} . Esta etapa consiste na aplicação de golpes sucessivos através do martelo padrão de massa de 65 kg caindo em queda livre de uma altura padrão de 0,75m e consequentemente causando a cravação do amostrador no solo. Os golpes são aplicados sucessivamente até que 0,45m do amostrador tenham penetrado no solo. O índice N_{SPT} corresponde ao número de golpes necessário para cravar os últimos 0,30m do amostrador no solo.

A amostragem é realizada após a penetração do amostrador no solo. Nesta etapa o amostrador é retirado do terreno e aberto. Em seguida, a amostra de solo contida no interior do amostrador é retirada e realizada a identificação do tipo de solo. Através da amostragem são determinadas as camadas de solo, constituição e espessura, contidas ao longo do perfil do terreno.

É prática recomendável a obtenção da umidade natural das amostras coletadas no amostrador padrão visto que existe literatura sobre correlações estatísticas como as propostas por Coutinho *et al.* (1998, 2000) que relacionam os parâmetros de compressibilidade (C_c, C_s e e₀) em função da umidade inicial (W_n%), para o banco de dados das argilas moles do Recife. Os parâmetros adquiridos a partir dessas correlações podem ser utilizados em anteprojetos e até mesmo no processo de previsão dos resultados de laboratório, permitindo ao projetista uma melhor avaliação dos resultados. Vale ressaltar que os fatos aqui expostos não substituem uma investigação geotécnica detalhada. As correlações estatísticas propostas por Coutinho *et al.* (1998, 2000) para as argilas moles do Recife estão detalhadas no Capítulo 3 desta dissertação.

A profundidade atingida pelo ensaio SPT depende do porte da obra a ser edificada e consequentemente das cargas que serão transmitidas ao terreno. As normas de referência fornecem critérios mínimos para orientar a profundidade das sondagens. Porém, a resistência dos solos, o tipo da obra e as características do projeto podem exigir sondagens mais profundas

ou critérios mais rígidos de paralização. Para que não se perfure a mais ou a menos do que o necessário, é recomendável o acompanhamento do trabalho pelo profissional responsável pelo projeto de fundações. São comuns casos em que, por falta de informações, as sondagens são interrompidas de acordo com a norma, porém sendo insuficientes para determinar alguns tipos de fundação, ou para serem consideradas em um projeto após o corte do terreno.

2.1.2 Aplicações dos Resultados do ensaio SPT

O ensaio SPT tem sido usado para muitas aplicações, desde amostragem para identificação dos diferentes horizontes de solo e previsão da tensão admissível de fundações diretas em solos granulares, até correlações com outras propriedades geotécnicas.

A primeira aplicação atribuída ao SPT consiste na simples determinação do perfil do subsolo, por meio da comparação das amostras obtidas no amostrador padrão com as medidas de resistência a penetração. O sistema de classificação apresentado na Tabela 1, amplamente utilizado no Brasil e recomendado pela NBR 6484/2001, é baseado em medidas de resistência a penetração.

Tabela 1 – Classificação de solos baseada no N_{SPT}.

SOLO	ÍNDICE DE RESISTÊNCIA A PENETRAÇÃO	DESIGNAÇÃO
	≤ 4	Fofa
Areia e silte	5 - 8	Pouco compacta
	9 -18	Medianamente compacta
arenoso	19 - 40	Compacta
	> 40	Muito Compacta
	≤ 2	Muito mole
	3 - 5	Mole
Argila e silte argiloso	6 - 10	Média
-	11 - 19	Rija
	> 19	Dura

Fonte: NBR 6484/2001.

Em geral, as correlações de origem empíricas são obtidas em condições particulares e específicas, mas acabam sendo extrapoladas na prática e aplicadas muitas vezes de forma não apropriada. Apesar de existirem correlações para os mais diversos parâmetros e propriedades dos solos (peso específico, densidade relativa, módulo de Young, etc.), as correlações para determinar os parâmetros de resistência (¢ e Su) são as mais conhecidas e utilizadas.

Propostas de correlações entre o N_{SPT} e a densidade relativa ou o ângulo de atrito interno para solos granulares podem ser vistas em Gibbs e Holtz (1957); Skempton (1986;), De Mello (1971); Bolton (1986); Peck, Hanson e Thornburn (1974) e Teixeira (1996).

Godoy (1972) *apud* Cintra *et al.* (2003) apresenta correlação entre a resistência dinâmica e o peso específico dos solos arenoso (Tabela 2) e argilosos (Tabela 3).

Tabela 2 - Peso específico de solos arenosos.

N _{SPT}	Compacidade	Peso específico (kN/m³)		
(golpes)		Seca	Úmida	Saturada
≤ 5	Fofa	16	18	19
5 - 8	Pouco compacta	16	18	19
9 - 18	Medianamente compacta	17	19	20
19 - 40	Compacta	18	20	21
> 40	Muito compacta	18	20	21

Fonte: Godoy (1972) apud Cintra et al. (2003).

Tabela 3 - Peso específico de solos argilosos.

N _{SPT} (golpes)	Consistência	Peso específico (kN/m³)
<u>≤ 2</u>	Muito mole	13
3 - 5	Mole	15
6 - 10	Média	17
11 - 19	Rija	19
≥ 20	Dura	21

Fonte: Godoy (1972) apud Cintra et al. (2003).

2.2 ENSAIO DE PIEZOCONE

2.2.1 Histórico do Ensaio de Penetração de Cone (CPT/CPTU)

Os ensaios de cone e piezocone, conhecidos pelas siglas CPT (cone penetration test) e CPTU (piezocone penetration test), caracterizam-se internacionalmente como uma das mais importantes ferramentas de prospecção geotécnica. Resultados de ensaios podem ser utilizados para a determinação estratigráfica de perfis de solos, na determinação de propriedades dos materiais prospectados, particularmente em depósitos de argilas moles, e na previsão da capacidade de carga de fundações (SCHNAID e ODEBRECHT, 2012).

As primeiras versões do ensaio de penetração de cone foram desenvolvidas pelas ferrovias estatais da Suécia, em 1917. Na forma como é conhecido hoje, o ensaio foi introduzido em 1934, no laboratório de mecânica dos solos de Delft na Holanda, para determinação da capacidade de carga de fundação em estacas (BARENTSEN; BOONSTRA, 1936; TERZAGHI, 1930). Esta é a razão pela qual o ensaio é também denominado ensaio de cone holandês (MEIGH, 1987). Os cones eram mecânico e em alguns casos a cravação era manual. Só a partir do final da década de 40 a cravação passou a ser mecânica em todos os casos (BEGEMANN, 1965; DANZIGER, 1990; DE BEER, 1963; FRANK; PLANTEMA; VERMEIDEN, 1948).

Em 1953, Begemann introduziu na Indonésia o cone com capacidade de medir o atrito lateral. O primeiro cone elétrico foi introduzido por Geuze em 1948, mas só começou a ser utilizado no final da década de 60. Essa evolução permitiu a incorporação de sensores elétricos ("strain-gauges") no penetrometro, aumentando assim a acurácia e a repetibilidade dos

resultados, tornando o ensaio contínuo (BEGEMANN, 1965; DE RUITER, 1971; HEIJNEN, 1974; SANGLERAT, 1972).

Em 1975, Wissa e Torstensson desenvolveram independentemente o ensaio com a capacidade de medir a poropressão gerada na ponta do cone durante a penetração. Entretanto, em ambos os casos somente a poropressão podia ser determinada. Cones com a capacidade de proporcionar simultaneamente a resistência a penetração e a poropressão gerada durante a penetração, denominados piezocones, foram introduzidos por De Ruiter no início da década de 80 (ESQUIVEL, 1995).

No Brasil, segundo Danziger (1990), o ensaio de cone chegou a meados da década de 1950, trazido pela companhia de estacas Franki (VELLOSO, 1988). Os primeiros trabalhos brasileiros sobre o assunto foram de Costa Nunes (1958), Fonseca (1958) e Velloso (1959).

Segundo Danziger (1990), a primeira experiência com um cone elétrico fabricado no Brasil foi feita por Borges Neto em 1981. Borges utilizou um cone padronizado, para realizar ensaios na argila de Sarapuí, utilizando um equipamento de cravação manual de 25 kN, sendo a velocidade de penetração de 0,8 cm/s.

A experiência brasileira limitava-se, porém, a um número relativamente restrito de casos para investigações offshore. Impulsionado por experiências de pesquisas desenvolvidas em universidades brasileiras, conforme descrito por Rocha Filho e Schnaid (1997), Quaresma *et al.* (1996) e Viana da Fonseca e Coutinho (2008), essa tendência foi revertida na década de 1990, em que se observou um crescente interesse comercial pelo ensaio de cone. Hoje o ensaio é executado comercialmente por diversas empresas estabelecidas no Brasil e na América Latina (SCHNAID e ODEBRECHT, 2012).

Segundo Schnaid e Odebrecht (2012) as dificuldades inerentes a comparação de resultados obtidos com diferentes equipamentos levaram a padronização do ensaio pela IRTP/ISSMFE (1977, 1988), acompanhado de normas e códigos regionais e nacionais: no Brasil, NBR 12069/1991 (MB-3406) (ABNT, 1991); na Holanda, NEN5140/1996; na Europa, Eurocode 7, Parte 3, 1997; na França, NFP 94-113/1989; no Reino Unido, BS1377/1990; nos Estados Unidos D5778/1995. Recomendações com relação a fatores como terminologia, dimensões, procedimentos, precisão de medidas e apresentação de resultados são referenciadas nessas normas.

Atualmente o ensaio de piezocone é considerado um ensaio de penetração do cone padronizado (CPT) com medida de poropressão (CPTU). Battaglio *et al.* (1986) apresentam as potencialidades do CPT e CPTU, onde pode-se notar a predominância do CPTU sobre o CPT. A Tabela 4 apresenta estes dados.

Tabela 4 - Potencialidades do CPT e do CPTU para investigações geotécnicas.

INVESTIGAÇÃO	CPT	CPTU
Perfil do solo	Alta	Alta
Estrutura do solo	Baixa	Moderada a alta
História de tensões	Baixa	Moderada a alta
Variação espacial das propriedades mecânicas	Alta	Alta
Propriedades mecânicas	Moderada a alta	Moderada a alta
Características de adensamento	-	Alta
Condições do nível d'água	-	Alta
Potencial de liquefação	Moderada	Alta
Economia no custo das investigações	Alta	Alta

Fonte: Battaglio et al. (1986), segundo Danziger (1990).

O avanço da eletrônica juntamente com a rápida evolução da informática, têm proporcionado equipamentos mais apropriados, menores, mais robustos e mais econômicos, permitindo o projeto e a construção de novas ferramentas mais adequadas para obtenção de parâmetros dos solos. O piezocone é uma ferramenta consagrada para a descrição contínua do perfil geotécnico, incluindo a definição do nível d'água e a estimativa de parâmetros mecânicos dos solos.

Os principais atrativos do ensaio CPTU são o registro contínuo da resistência a penetração, fornecendo uma descrição detalhada da estratigrafia do subsolo, e a eliminação de qualquer influência do operador nas medidas de ensaio. Uma das maiores críticas ao ensaio de cone refere-se a ausência de coleta de amostras para identificação e classificação de forma direta, das distintas camadas que compõem o subsolo.

2.2.2 Equipamentos e Procedimentos

O procedimento do ensaio CPTU consiste na cravação de uma ponteira cônica (60° de ápice) no solo com o auxílio de hastes metálicas, as quais são impelidas por um sistema hidráulico/mecânico de aplicação de cargas a uma velocidade constante de 20mm/s ± 5mm/s. A seção transversal do cone é, em geral, de 10cm², podendo atingir 15cm² ou mais para equipamentos mais robustos, de maior capacidade de carga, e 5 cm² ou menos para condições especiais. Quanto maior a área da seção, mais robusto é o equipamento e consequentemente maior será sua capacidade de carga.

Os dados são apurados de forma contínua e automática por um sistema de aquisição que converte as informações analógicas em digitais, fornecendo imediatamente os resultados do ensaio ao operador.

Os procedimentos de ensaio são padronizados (NBR 12069, ISSMFE (1977,1998) e pela ASTM (1979)); os equipamentos, porém, podem ser classificados em três categorias (SCHNAID e ODEBRECHT, 2012):

- Cone mecânico: o sistema de medição ocorre por transmissão de esforços pela haste de cravação até a superfície, transferência mecânica, que transmitem o valor da resistência de ponta, q_c, e do atrito lateral, f_s.
- Cone elétrico: adaptação de células de carga instrumentadas eletricamente permite a medida da resistência de ponta, q_c, e da resistência lateral, f_s, diretamente na ponteira.
- Piezocone: possui um transdutor de poropressão associado a uma pedra porosa que, além das medidas elétricas da resistência de ponta, q_c, e resistência lateral, f_s, permite a contínua monitoração da poropressão, u, gerada durante o processo de cravação, Figura 5. Segundo Danziger (1990) um equipamento para a realização de ensaios de piezocone pode ser dividido, de maneira geral, em três componentes: o sistema de cravação, o piezocone e o sistema de aquisição de dados.

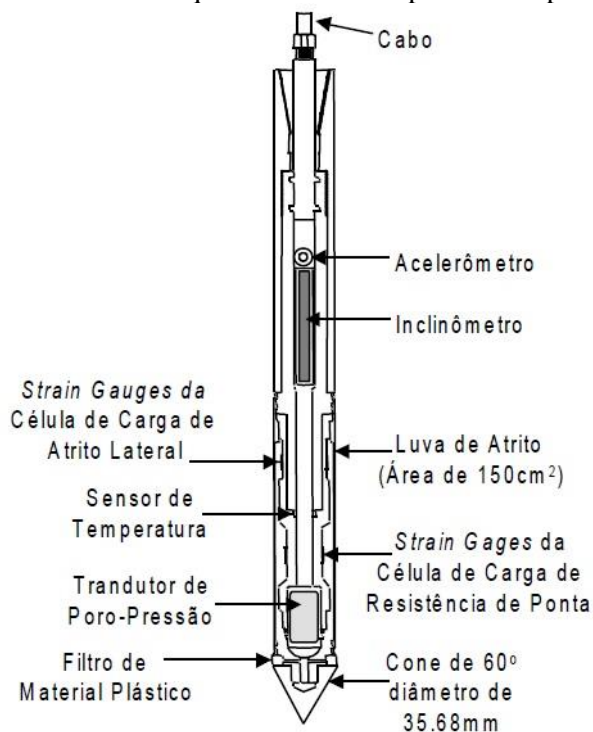


Figura 5 - Desenho esquemático de uma ponteira de piezocone.

Fonte: Davies e Campanella (1995).

O equipamento de cravação é formado por uma estrutura de reação sobre a qual é montado um sistema de aplicação de cargas. Geralmente utilizam-se sistemas hidráulicos para essa finalidade, sendo o pistão acionado por uma bomba hidráulica acoplada a um motor a combustão ou elétrico. A penetração é feita por meio da cravação contínua de hastes de

comprimento de 1,0m, seguida da retração do pistão hidráulico para o posicionamento de nova haste (SCHNAID e ODEBRECHT, 2012). Esses conjuntos podem ser tanto utilizados em terra (*onshore*) como em água (*nearshore* e *offshore*).

A Figura 6 exibe em 'a' e 'b' o equipamento de aquisição de dados, em 'c' o sistema de cravação em terra e em 'd'o sistema de cravação em água.



Figura 6 - Componentes do equipamento do ensaio de piezocone.

2.2.2.1 Localização do elemento filtrante

A posição do elemento filtrante do piezocone pode estar disposto segundo diversas posições. As três posições mais usuais (u₁, u₂ e u₃) estão ilustradas na Figura 7.



Figura 7 - Posições do elemento filtrante no piezocone.

Fonte: Schnaid e Odebrecht (2012).

Não existe consenso quanto a localização do elemento filtrante para registro da poropressão durante a cravação (DANZIGER *et al.*, 1997; CHEN e MAYNE, 1994; LUNNE, ROBERTSON, POWELL, 1997; ROBERTSON *et al.*, 1992; SCHNAID *et al.*, 1997). A escolha de uma posição em particular – ponta (u₁), base (u₂) ou luva (u₃) do cone – dependerá da aplicação dada as poropressões registradas do ensaio.

Cada localização do elemento filtrante possui sua vantagem e desvantagem. Joaquim Teodoro Romão de Oliveira, em sua dissertação de mestrado intitulada: Ensaios de Piezocone em um depósito de Argila Mole da Cidade do Recife - UFRJ/1991, analisa os resultados do ensaio realizado no depósito de argila mole localizado no Clube Interacional do Recife com o equipamento desenvolvido na COPPE/UFRJ e descreve as vantagens e desvantagens do elemento filtrante localizado na ponta cônica (u₁) e na base do cone (u₂):

Na ponta cônica:

É a melhor localização no que diz respeito a sensibilidade para mudanças na estratificação e nas propriedades do solo (DE RUITER, 1982).

A principal desvantagem desta localização, segundo Oliveira (1991) é não ser o local adequado para a correção da resistência de ponta e do atrito lateral. Outra desvantagem, segundo Campanella e Robertson (1988), seria o fato desta posição estar numa zona de altas tensões normais e cisalhantes, o que influencia a medida da poropressão.

Na base do cone:

A localização do elemento poroso na base do cone é a que fornece menores riscos de colmatação, abrasão e ruptura do mesmo (TAVENAS *et al.*, 1982).

Campanella et al. (1982) listam 7 vantagens para esta posição:

- Boa proteção e menor propensão a danos;
- Facilidade para saturação;
- Fornece respostas da poropressão razoavelmente estáveis;
- Fornece ampla faixa de poropressão, de negativas a muito positivas;
- É um bom local para uso de soluções que considerem a forma cilíndrica para determinação de parâmetros de adensamento;
- É o melhor local para aplicação da correção da resistência de ponta; e,
- É um bom local para aplicação da correção do atrito lateral.

Ainda segundo Campanella *et al.* (1982), a maior desvantagem de tal localização seria o fato de não registrar a poropressão que existe na zona de maiores tensões totais e cisalhantes que acontecem a frente ou na face do cone.

2.2.2.2 Saturação do elemento filtrante

A saturação do elemento filtrante é fundamental para a obtenção de valores corretos da poropressão gerada durante a cravação do piezocone. A saturação pode ser feita, na prática por dois procedimentos distintos, são eles (SCHNAID e ODEBRECHT, 2012):

Saturação por meio de aplicação de vácuo em câmara de calibração/saturação no piezocone: É usualmente realizado em laboratório, antes da execução do ensaio, mantendo-se a pedra porosa em imersão até o momento da cravação. Tem como vantagem a confirmação da saturação pelas respostas imediatas ao incremento de tensões na câmara e como desvantagem a necessidade de uma câmara de saturação em campo e permitir a realização de apenas um ensaio por dia.

Saturação somente dos elementos porosos e do fluido em câmara de vácuo, com posterior montagem do piezocone em campo: Procedimento mais versátil e permite a realização de mais de um ensaio por dia. A saturação é obtida por meio de aplicação de vácuo em câmara de calibração/saturação, simultaneamente na pedra porosa e no fluido, por um período de 5 a 24 horas (CAMPANELLA, 2005) ou, no mínimo, por 24 horas quando utilizados fluidos de saturação com maior viscosidade (SANDVEN, 2010). Após a saturação, o elemento filtrante deve ser condicionado em recipiente totalmente preenchido com o fluido de saturação e, assim, transportado para o campo.

2.2.2.3 Material do elemento filtrante

Quanto ao material de que é feito o elemento filtrante, Campanella & Robertson (1988), citam os seguintes: aço inoxidável, bronze sintetizado, cerâmica, pedra porosa, polipropileno, etc. Segundo os autores, o fluido de saturação pode ser água deaerada, óleo de silicone ou óleo de glicerina. Há também experiência bem sucedida com o uso de óleo mineral (SOARES, 1995). Na prática, a glicerina tem sido utilizada com mais frequência como fluido de saturação em decorrência de suas propriedades:

- Manter a saturação em camadas de solo acima do nível freático;
- Misturar-se com a água;
- Ser menos compressível que a água;
- Ter baixo ponto de congelamento (-17°C); e,
- Não induzir riscos ao meio ambiente.

De acordo com Larsson e Mulabdic (1991), resultados idênticos de registro de poropressão foram obtidos para os distintos fluidos de saturação nas argilas da Suécia. Contam também que a utilização de fluidos com viscosidade maior que a água, como a glicerina, tem a

vantagem de conseguir manter a saturação, mesmo durante a penetração em solos parcialmente saturados.

2.2.2.4 Equipamentos Acessórios

Os equipamentos acessórios são constituídos pelas hastes e pelos redutores de atrito (SCHNAID e ODEBRECHT, 2012).

Hastes

São constituídas de aço mecânico de alta resistência, com 35,7mm de diâmetro externo, 16mm de diâmetro interno e 1m de comprimento. A massa por unidade de comprimento deve ser de 6,65 kg. O aço utilizado deve aceitar tratamento térmico para conferir maior resistência as peças, em especial as roscas. Para cones mais robustos, permite-se o uso de hastes mais rígidas, com maior seção de aço.

A linearidade dos elementos deve atender as recomendações da IRTP/ISSMFE, que limita a 2mm o desvio máximo do eixo. Para as primeiras cinco hastes, porém, esse desvio não pode ultrapassar 1mm. A posição das hastes na composição deve ser mudada periodicamente para evitar curvaturas permanentes.

Redutores de Atrito

São dispositivos que têm o objetivo de reduzir o atrito da composição de hastes com o solo. São instalados imediatamente acima da ponteira, sempre com distância superior a 0,5m. Os redutores de atrito geralmente aumentam o diâmetro externo da haste em 25% no caso dos cones de 10 cm², e são dispensados em cones de 15 cm², quando do uso de hastes de 35,7 mm de diâmetro.

Existem várias geometrias para os redutores de atrito (LUNNE; ROBERTSON; POWELL, 1997); contudo, as duas mais utilizadas são as que possuem quatro aletas ou um anel, conforme indicado na Figura 8. Ambas as configurações devem ser cuidadosamente confeccionadas para evitar eventuais excentricidades.

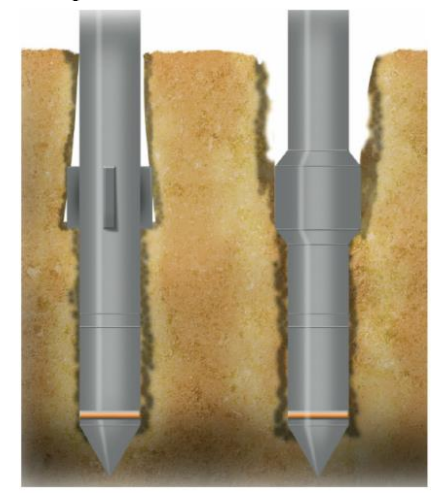


Figura 8 - Tipos de redutores de atrito mais comuns.

2.2.2.5 Calibração e Manutenção

Para a obtenção de parâmetros de boa qualidade, que representem bem as condições reais de campo, é imprescindível que os equipamentos utilizados no ensaio estejam dentro dos padrões exigidos pelas normas técnicas pertinentes. Dessa forma, a calibração, manutenção e inspeção dos equipamentos e acessórios devem fazer parte da prática corrente de execução do ensaio.

Segundo Schnaid e Odebrecht (2012) o sistema de cravação deve ser inspecionado periodicamente para verificação de eventuais vazamentos de óleo, perda de pressão, constância na velocidade de cravação, linearidade e concentricidade do equipamento. As hastes devem ser inspecionadas regularmente para aferir sua linearidade e integridade. As roscas também devem ser verificadas para evitar o uso de equipamentos com alguma avaria.

Com relação as ponteiras, deve-se inspecionar desgastes e avarias na ponta cônica e na luva, visando a manutenção das medidas e tolerâncias especificadas em normas e procedimentos de referência. Os pontos de vedação e conexão devem ser limpos e sua integridade garantida. Antes de cada ensaio, recomenda-se remover e limpar todas as vedações.

A calibração da ponteira deve ser realizada periodicamente, de acordo com o uso, sendo necessárias verificações durante campanhas extensas (SCHNAID e ODEBRECHT, 2012).

A Tabela 5 apresenta um resumo de verificação, manutenção e calibração do equipamento de ensaio.

Tabela 5 - verificação, manutenção e calibração do equipamento de ensaio

		Frequê	ncia	
Item	No início de um programa de sondagem	No início de cada sondagem	Ao final de cada sondagem	Em intervalos trimestrais
Verticalidade do sistema de cravação		X		
Inspeção do sistema de cravação:				
• Velocidade de cravação	X			X
• Vazamento	X			X
• Linearidade	X			X
Linearidade das hastes		X		X
Leitura Zero		X	X	
Desgaste da Ponteira:				
 Dimensões 	X			X
• Rugosidade	X			X
Vedações:				
 Presença de solo 	X	X		
• Integridade	X	X		
Calibração:				
Célula de carga				X
• Parâmetro 'a'				X
Temperatura				X

. Fonte: Adaptado de Campanella (2005).

2.2.3 Correção da Resistência de Ponta e do Atrito Lateral

Baligh *et al.* (1981), verificaram que, ao calibrarem a ponta do piezocone por eles desenvolvidos em uma câmara de água, o valor da resistência de ponta q_c era 67% da pressão aplicada na câmara. Por outro lado a resposta do transdutor de pressão do piezocone era 100%. A diferença na medida da resistência de ponta q_c era devida a entrada de água na região entre a ponta e a luva de atrito (SCHNAID e ODEBRECHT, 2012).

Dessa forma Baligh *et al.* (1981), sugerem que a resistência de ponta seja corrigida, através da Equação 1:

$$q_t = q_c + 0.33u_2 \tag{1}$$

Onde, q_t é a resistência de ponta corrigida; q_c é a resistência de ponta medida e u_2 é a poropressão medida na base do piezocone.

Campanella *et al.* (1982), sugerem, para a correção de q_c a seguinte expressão, que é a generalização da expressão proposta por Baligh *et al.* (1981), Equação 2.

$$q_t = q_c + u_2(1 - a) (2)$$

Onde, $a = A_N/A_T$, relação de áreas de ponta.

O coeficiente (1 - a) é facilmente determinado por meio de calibração, conforme ilustra a Figura 9.

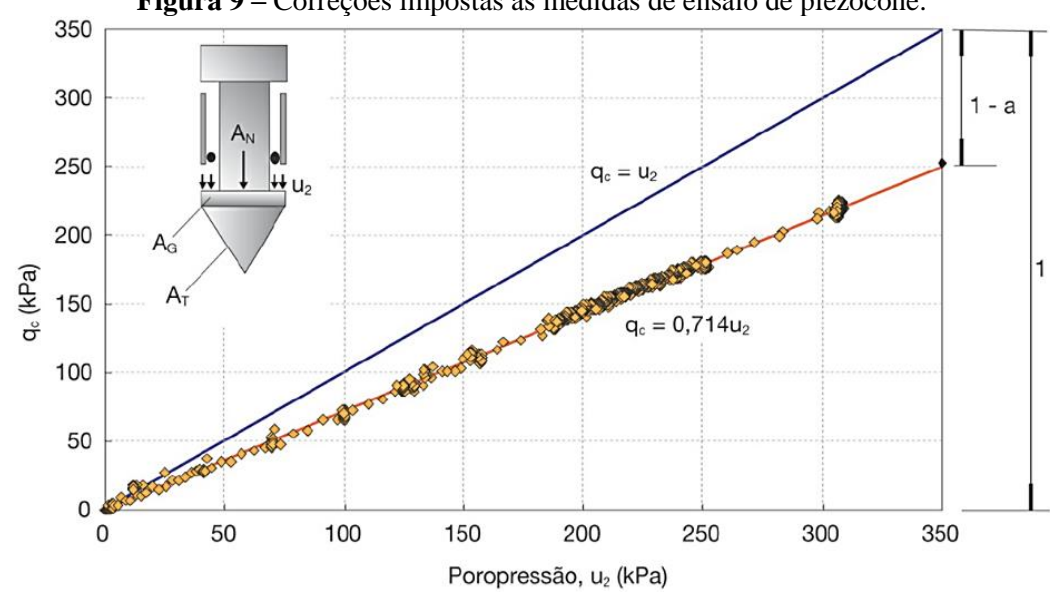


Figura 9 – Correções impostas as medidas de ensaio de piezocone.

Fonte: Schnaid e Odebrecht (2012).

O atrito lateral pode ser corrigido segundo a Equação 3 (SCHNAID e ODEBRECHT, 2012):

$$f_t = f_s - \frac{u_2 A_{sb}}{A_l} + \frac{u_3 A_{st}}{A_l} \tag{3}$$

Onde f_t é o atrito lateral corrigido; A_{sb} e A_{st} são as áreas de base e topo da luva de atrito, respectivamente; e A_l é a área da luva de atrito.

A correção da resistência de ponta dos ensaios onde há monitoramento das pressões durante a cravação, especialmente para determinação de propriedades de argila mole, deve ser feita em todos os ensaios (SCHNAID e ODEBRECHT, 2012). Segundo a experiência do meio técnico e científico, a correção do atrito lateral não é utilizada na prática da engenharia, até porque u₃, raramente é medido (CAMPANELLA *et al.*; JAMIOLKOWSKI *et al.*, 1985; ROBERTSON, 1982).

2.2.4 Aplicações do Ensaio de Piezocone

2.2.4.1 Classificação do Solo

A determinação do tipo de solo a partir dos resultados de ensaios CPTU é feita por meio de procedimentos indiretos de classificação, estabelecidos com base em padrões de comportamento e definidos pela sigla SBT (*Soil Behaviour Type Classification Chart*). Existem diversas propostas de classificação, pode-se citar: Olson e Mitchell, (1995), Robertson e Campanella (1983), Robertson *et al.* (1986), Schneider *et al.* (2008), Schmertmann (1978). Esses métodos utilizam as grandezas fundamentais medidas nos ensaios de cone ou piezocone (q_c ou q_t, f_s e u₂) e permitem definir o tipo de solo pelas medidas obtidas durante a cravação da sonda.

As propostas de classificação foram evoluindo com o passar do tempo. Inicialmente Robertson e Campanella (1983) apresentam um ábaco no qual os valores de q_c e R_f são usados para delimitar cinco regiões distintas de comportamentos do solo. Robertson *et al.* (1986), expandiu esse método com a inclusão do parâmetro de poropressão normatizado, B_q, sendo os resultados plotados em dois ábacos, Q_t x F_r (%) e Q_t x B_q para identificação de 12 zonas de comportamento. Em 1990, Robertson apresentou uma evolução dos métodos anteriores, considerando o nível de tensões. A proposta de Robertson (1990) é estruturada na normalização de três grandezas fundamentais do ensaio, Equações 4, 5 e 6, com os resultados também plotados em dois ábacos (Q_t x F_r e Q_t x B_q), identificando-se nove zonas destinadas a agregar materiais de diferentes tipos de comportamento (Figura 10 e Tabela 6).

$$Q_t = \frac{q_t - \sigma_{v0}}{\sigma_{v0} - u_0} \tag{4}$$

$$B_q = \frac{u_2 - u_0}{q_t - \sigma_{v0}} \tag{5}$$

$$F_r = \frac{f_s}{q_t - \sigma_{v0}} .100\% \tag{6}$$

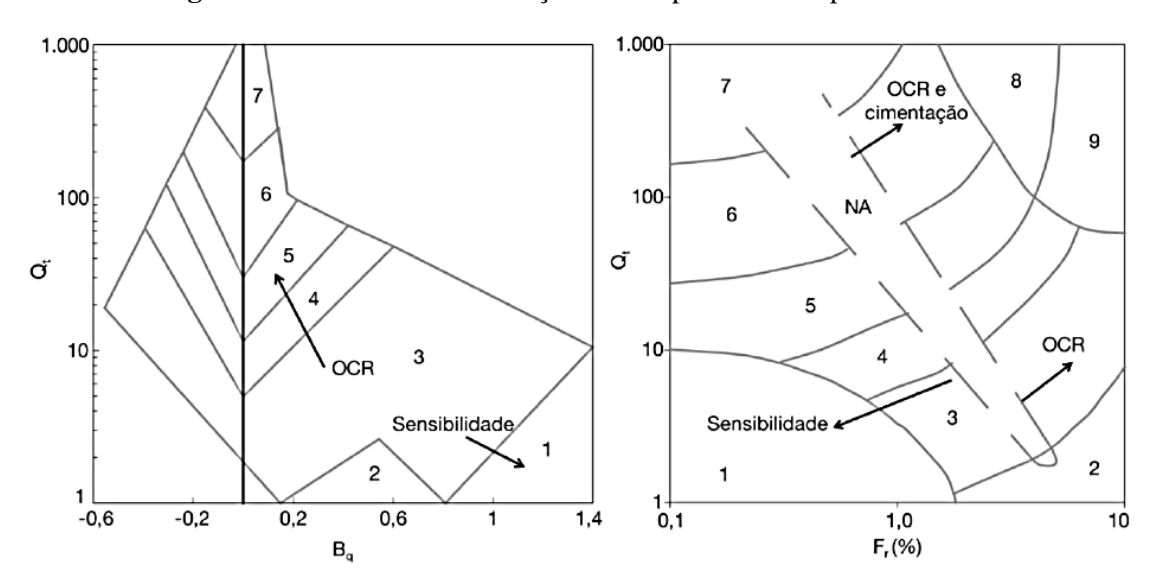


Figura 10 - Ábaco de identificação do comportamento típico de solos.

Tabela 6 - Classificação de solos por tipo de comportamento.

ZONA	TIPO DE SOLO
1	Solo fina sensível
2	Solo orgânico e turfas
3	Argilas – argilas siltosas
4	Argila siltosa – silte argiloso
5	Siltes arenosos – areias siltosas
6	Areias limpas – areias siltosas
7	Areias com pedregulho - areias
8	Areias – areias limpas
9	Areias finas rígidas
	Fonte: Robertson (1990).

A evolução das propostas de classificação dos solos continuou com Jefferies e Davies (1993) que modificaram a proposta de classificação de Robertson (1990) introduzindo uma nova variável, baseada nos valores de q_t e u_2 (Q_t . (1- B_q)). Essa nova variável proposta por Jefferies e Davies (1993) é plotada em um ábaco, válido para $B_q < 1$, que caracteriza regiões definidas por arcos concêntricos de círculos cujo centro é dado por $log(Q_t) = 3$ e $log(F_r) = -1,5$ (Figura 11). Jefferies e Davies (1993) definiram o índice de classificação do material (Ic = 1)

material classification index), Equação 7:

$$I_{C} = \sqrt{\left\{3 - \log(Q_{t}) \cdot \left[1 - B_{q}\right]\right\}^{2} + \left\{1, 5 + 1, 3 \cdot \log(F_{r})\right\}^{2}}$$
 (7)

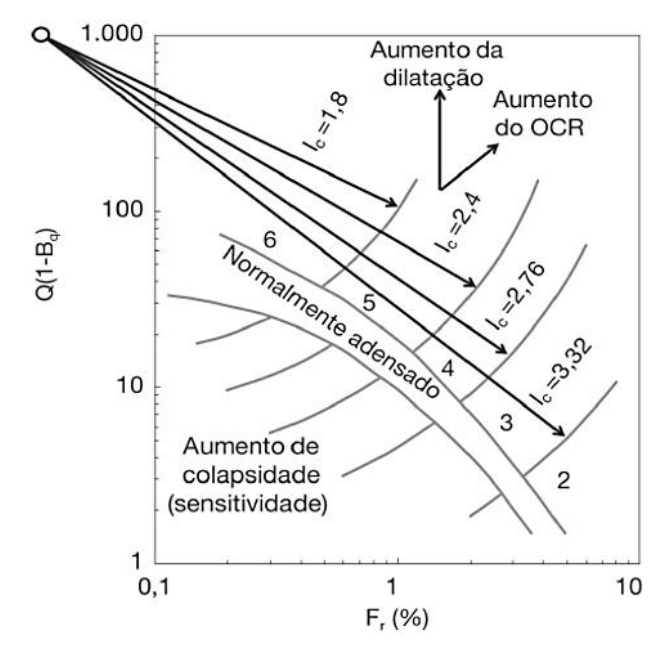


Figura 11 - Classificação de solos por tipos de comportamento.

Fonte: Jefferies e Davies (1993).

A metodologia baseada no valor de I_c permite também a identificação rápida das condições de drenagem para solicitações corrente em obras de engenharia. Podem-se considerar como drenados os solos com valores de $I_c < 1.8$ e não drenados os solos com valores de $I_c > 2.76$.

Robertson e Wride (1998) proporam uma versão simplificada da proposta de Jefferies e Davies (1993), na qual o índice de classificação do material (I_{cRW}) é determinado conforme a Equação 8.

$$I_{cRW} = \sqrt{\{3,47 - \log(Q_{tn})\}^2 + \{1,22 + \log(F_r)\}^2}$$
 (8)

As zonas referentes aos tipos de solos são definidas na Tabela 7, segundo suas faixas de comportamento. Nessa proposta, o valor da resistência normalizada da ponta do cone é redefinido pela Equação 9 (ROBERTSON, 2004):

$$Q_{tn} = \frac{(q_t - \sigma_{v0})}{\sigma_{atm}} \cdot \left(\frac{\sigma_{atm}}{\sigma'_{v0}}\right)^n \tag{9}$$

Onde σ_{atm} =1 atmosfera (\approx 1 bar = 100kPa) e o expoente n = 1 para argilas (I_{cRW} > 2,95); n = 0,75 para solos siltosos; e n = 0,5 para areias (I_{cRW} < 2,05). Pode-se utilizar um procedimento interativo para a determinação de n para solos intermediários, definido pelo próprio valor de I_{cRW} e para o nível de tensão efetiva normalizada, Equação 10:

$$n = 0.381 \cdot I_{cRW} + 0.15 \left(\frac{\sigma'_{v0}}{\sigma_{atm}}\right) - 0.15 \le 1.0$$
 (10)

Tabela 7 - Classificação u	Tabela 7 - Classificação de solos em runção do indice de classificação do mater				
Classificação do Solo	Nº da Zona	Índice I_c	Índice I_{cRW}		
Argilas orgânicas	2	$I_c = 3,22$	$I_{cRW} > 3,60$		
Argilas	3	$2,82 < I_c < 3,22$	$2,95 < I_{cRW} < 3,60$		
Misturas de siltes	4	$2,54 < I_c < 2,82$	$2,60 < I_{cRW} < 2,95$		
Misturas de areia	5	$1,90 < I_c < 2,82$	$2,05 < I_{cRW} < 2,60$		
Areias	6	$1,25 < I_c < 1,90$	$1,31 < I_{cRW} < 2,05$		
Areias com pedregulho	7	$I_{\rm c} < 1,25$	$I_{cRW} < 1,31$		

Tabela 7 - Classificação de solos em função do índice de classificação do material I_c

Notas: 1. Fator I_c – Jefferies e Been (2006).

Solos sensitivos

1

NA

Ver nota

Segundo Schnaid e Odebrecht (2012) existem ainda abordagens baseadas em métodos probabilísticos, processo fuzzy e redes neurais que procuram classificar os solos em faixas de ocorrência, bem como inferir as porcentagens de areia, silte e argila contidas em determinada camada.

2.2.4.2 Estimativa da Resistência Não Drenada (Argilas)

A resistência ao cisalhamento do solo pode ser estimada pelo resultado dos ensaios de cone/piezocone. Em argilas, a resistência medida em condições não drenada, Su, pode ser determinada de forma indireta por meio das Equações 11 e 12:

$$S_u = \frac{q_c - \sigma_{v0}}{N_k} \tag{11}$$

$$S_u = \frac{q_t - \sigma_{v0}}{N_{kt}} \tag{12}$$

Para depósitos argilosos, a estimativa do fator de capacidade de carga N_k (ou N_{kt}) pode ser obtida por meio da aplicação da teoria de equilíbrio limite ou método de trajetória de deformações. No caso mais simples, relaciona-se a medida da resistência de ponta do cone que (ou q_t) com a resistência não drenada S_u, medida por meio de ensaio palheta, possibilitando a determinação direta dos fatores de cone, Equações 13 e 14, (SCHNAID e ODEBRECHT, 2012):

$$N_k = \frac{q_c - \sigma_{v0}}{s_u} \tag{13}$$

$$N_{kt} = \frac{q_t - \sigma_{v0}}{s_v} \tag{14}$$

Resultados de uma revisão de valores de N_{kt} obtidos na prática nacional são apresentados na Tabela 8.

^{2.} Índice I_{cRW} – Robertson e Wride (1998).

^{3.} Solos sensitivos para a zona 1 caracterizado quando $Q_{t1} < 12 \ e^{(-1,4 \ Fr)}$. Fonte: Schnaid e Odebrecht (2012).

Tabela 8 - F	atores de d	cone de	argilas	brasileiras
--------------	-------------	---------	---------	-------------

Autor	Local/Solo	N _{kt}	Ensaios
Rocha Filho e Alencar (1985)	Sarapuí/RJ	10-15	Palheta
Danziger (1990)	Sarapuí/RJ	8-12	Palheta
Coutinho, Oliveira e Danziger (1993)	Recife/PE	10-15	UU e CIU
Árabe (1995)	Vale Quilombo/SP	12-15	Palheta e CIU
Soares <i>et al.</i> (1997)	Porto Alegre/RS	8-16	Palheta
Sandroni et al. (1997)	Sergipe	14-18	Palheta e CIU
Baptista e Sayão (1998)	Salvador/BA	12-18	Palheta

Propostas não empíricas para determinação do N_{kt} podem ser consultadas em Baligh (1986), Houlsby e Teh (1988).

2.2.4.3 História de Tensões (Argilas)

Entre muitas abordagens existentes na literatura para a estimativa da história de tensões, destacam-se as abordagens em que a tensão de pré-adensamento é diretamente correlacionada a resistência de ponta do piezocone $(q_t - \sigma_{v0})$ ou ao excesso de poropressão gerado durante a cravação $(q_t - u_2)$, expressas pelas Equações 15 e 16, (CHEN e MAYNE, 1996; DEMERS e LEROUEIL, 2002; LARSSON e MULABDIC, 1991; KONRAD e LAW, 1987; LEE *et al.*, 2003):

$$\sigma'_{vm} = K_1 (q_t - \sigma_{vo}) \tag{15}$$

$$\sigma'_{vm} = K_2 (q_t - u_2) \tag{16}$$

Valores de K₁ apresentados na literatura internacional apontam para um valor médio da ordem de 0,30 (CHEN e MAYNE, 1996); contudo, outros autores indicam variação na faixa entre 0,1 e 0,5, que podem estar associados ao limite de liquidez e a presença de matéria orgânica. A Tabela 9 apresenta valores de K₁ relatados na literatura brasileira (SCHNAID e ODEBRECHT, 2012).

Tabela 9 - Valores de K₁ das argilas brasileiras.

Local	$\begin{array}{c} \gamma_n \\ (kN/m^3) \end{array}$	\mathbf{K}_{1}	Referência
Santo Amaro (SP)	15,5	0,333	Massad (2009)
Unisanta (SP)	15,0	0,333	Massad (2009)
Barnabé (SP)	14,9	0,256	Massad (2009)
Sarapuí (RJ)	12,9	0,290	Almeida et al. (2005 apud Massad, 2009)
Duque de Caxias (RJ)	12,8	0,143	Futai, Almeida e Lacerda (2001 apud Massad, 2009)
Recife (PN) (RRS1) Camada 1	15,6	0,222	Coutinho, Oliveira e Oliveira (2000 apud Massad, 2009)
Recife (PN) (RRS1) Camada 2 (4 \leq z \leq 11m)	16,6	0,244	Coutinho, Oliveira e Oliveira (2000 apud Massad, 2009)
Sergipe (SE) TPS $(14 \le z \le 21m)$	16,0	0,313	Brugger et al. (1997 apud Massad, 2009)
Santa Catarina (SC) $(16 \le z \le 8m)$	13,6	0,263	Oliveira et al. (2001 apud Massad, 2009)
Santos (SP)	15,0	0,180	Odebrecht, Schnaid e Mantaras (2012)
Sarapuí (RJ)	12,5	0,150	Jannuzzi (2009)
Barra da Tijuca (RJ)	12,0	0,150	Baroni (2010)
Porto Alegre (RS)	14,0	0,301	Soares (1997)
Barra da Tijuca (RS)	12,5	0,200	Teixeira, Sayão e Sandroni (2012)

Em geral, os valores de K_2 situam-se na faixa entre 0,5 e 0,6, podendo reduzir-se na presença de matéria orgânica, de teores de umidade muito elevados (w > 100%) e/ou argilas moles. Valores característicos de K_2 , referentes a praticas brasileiras, estão resumidos na Tabela 10 (SCHNAID e ODEBRECHT, 2012).

Tabela 10 - Valores de K₂ das argilas brasileiras.

Referência	Valor médio de K ₂	Faixa de variação de K ₂	Dados da análise estatística	Observação
Baroni (2010)	0,265	-	-	Argilas orgânicas muito moles da Barra da Tijuca – Rio de Janeiro
Jannuzzi (2009)	0,265	-	-	Argilas orgânicas muito moles de Sarapuí – Rio de Janeiro
Soares (1997)	0,53	-	-	Argilas – Porto Alegre

Fonte: Schnaid e Odebrecht (2012).

Alternativamente, pode-se estimar a razão de pré-adensamento OCR ($\sigma'_{vm}/\sigma'_{v0}$), conforme postulado por Mayne (1991), Senneset *et al.* (1988), Konrad e Law; Tavenas e Leroueil (1987), e Wroth (1984).

Kulhawy e Mayne (1990) propõem a Equação 17 para determinação do OCR:

$$OCR = 0.32 \cdot \frac{q_t - \sigma_{v0}}{\sigma'_{v0}} \tag{17}$$

Coutinho (2007, 2008) adaptou a proposta de Kulhawy e Mayne (1990), para as argilas do Recife, tendo como resultado a Equação 18.

$$OCR = 0.23 \cdot \frac{q_t - \sigma_{v0}}{\sigma'_{v0}} \tag{18}$$

2.2.4.4 Coeficiente de adensamento (Argilas)

Ensaios de dissipação do excesso de poropressão gerada durante a cravação do piezocone no solo podem ser interpretados para a estimativa do coeficiente de adensamento horizontal (Ch). O ensaio consiste, basicamente, em interromper a cravação do piezocone em profundidades preestabelecidas, por um período de aproximadamente uma hora, até atingir 50% de dissipação do excesso de poropressões, e monitorar a dissipação das pressões geradas nesse período (SCHNAID e ODEBRECHT, 2012). Essa técnica possui um grande interesse prático na engenharia, visto que oferece uma alternativa confiável aos ensaios de laboratório o que pode implicar na redução de custos da campanha de investigação geotécnica.

O campo de tensões e poropressões mobilizados ao redor do cone pode ser avaliado com base nos métodos de expansão de cavidade e trajetória de deformações (*strain path method*), segundo abordagens propostas por Baligh e Levadoux (1986) Houlsby e Teh (1988), e Teh e Houlsby (1991). A solução é concebida em duas etapas: primeiramente calcula-se a distribuição de pressões neutras geradas pela penetração de um elemento cônico em um meio elastoplástico homogêneo e isotrópico; o segundo estágio assume essas poropressões como valores iniciais da teoria de adensamento de Terzaghi, calculando-se a dissipação ao redor de um cone estacionário. O processo de dissipação assim definido pode ser convenientemente expresso por meio de um fator de tempo adimensional, Equação 19, (SCHNAID e ODEBRECHT, 2012):

$$T^* = \frac{C_h t}{R^2 \sqrt{I_r}}; \qquad C_h = \frac{T^* R^2 \sqrt{I_r}}{t}$$

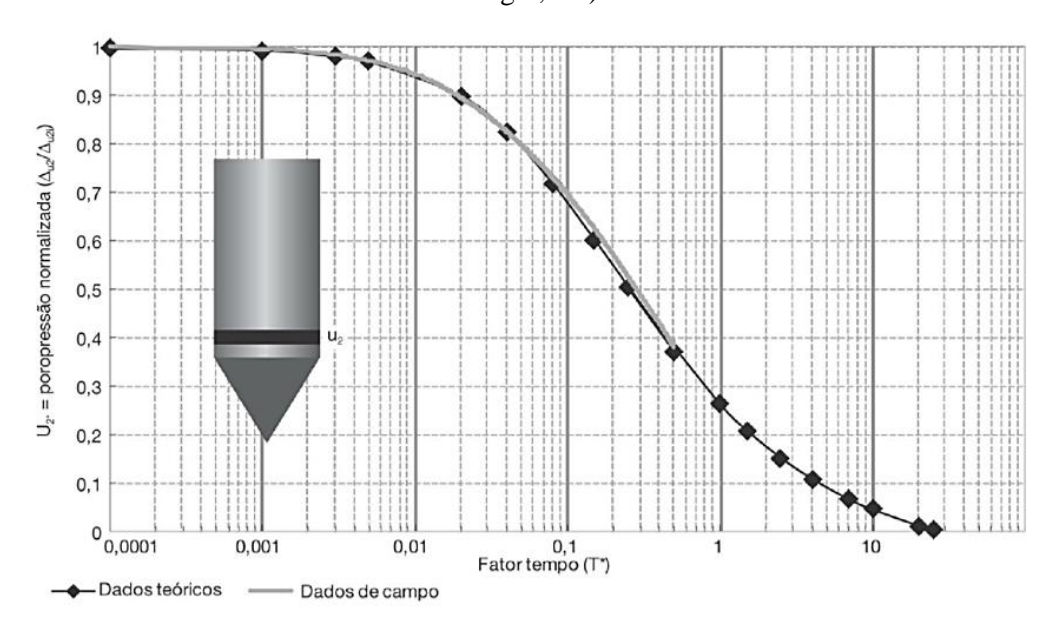
$$\tag{19}$$

Onde R é o raio do piezocone; t é o tempo de dissipação (normalmente adotado como $t_{50\%}$); I_r , o índice de rigidez (=G/Su); e G, o módulo de cisalhamento do solo.

Na Tabela 11 são listados os valores do fator tempo T* em função da porcentagem de dissipação (1-u), para a proposição de Houlsby e Teh (1988). Pode-se notar que a solução é função da posição do elemento filtrante na face, na base ou no fuste do cone. Uma comparação entre o resultado experimental e a solução analítica obtida para um ensaio de dissipação típico é apresentado na Figura 12, na qual é possível observar que a teoria reproduz de forma adequada o comportamento medido, demonstrando a aplicabilidade da formulação proposta (SCHNAID e ODEBRECHT, 2012).

(1-u)	Posição do filtro					
(%)	Vértice do	Face do	Base do	5 raios acima da	10 raios acima da	
(70)	cone	cone	cone	base	base	
20	0,001	0,014	0,038	0,294	0,378	
30	0,006	0,032	0,078	0,503	0,662	
40	0,027	0,063	0,142	0,756	0,995	
50	0,069	0,118	0,245	1,110	1,460	
60	0,154	0,226	0,439	1,650	2,140	
70	0,345	0,463	0,804	2,430	3,240	
80	0,829	1,040	1,600	4,100	5,240	

Figura 12 - Curva teórica e experimental de dissipação de poropressão medida na posição u₂ (Porto Alegre, RS).



Fonte: Schnaid e Odebrecht (2012).

Segundo Schnaid *et al.* (1997) a determinação de C_h a partir dessa formulação envolve um processo simples e direto, que consiste na comparação entre a variação do excesso de poropressões e a pressão hidrostática. A Figura 13 é utilizada para ilustrar o procedimento de cálculo:

- Calcular a distância entre a poropressão no início da dissipação (u_i) e a poropressão hidrostática (u₀);
- 2) Calcular a porcentagem de dissipação $u_{50\%} = (u_i u_0)/2$) e, a partir da curva experimental, determinar o tempo real para ocorrer 50% da dissipação (t_{50});
- 3) Obter o valor de T* na Tabela 11 e calcular Ch por meio da Equação 19.

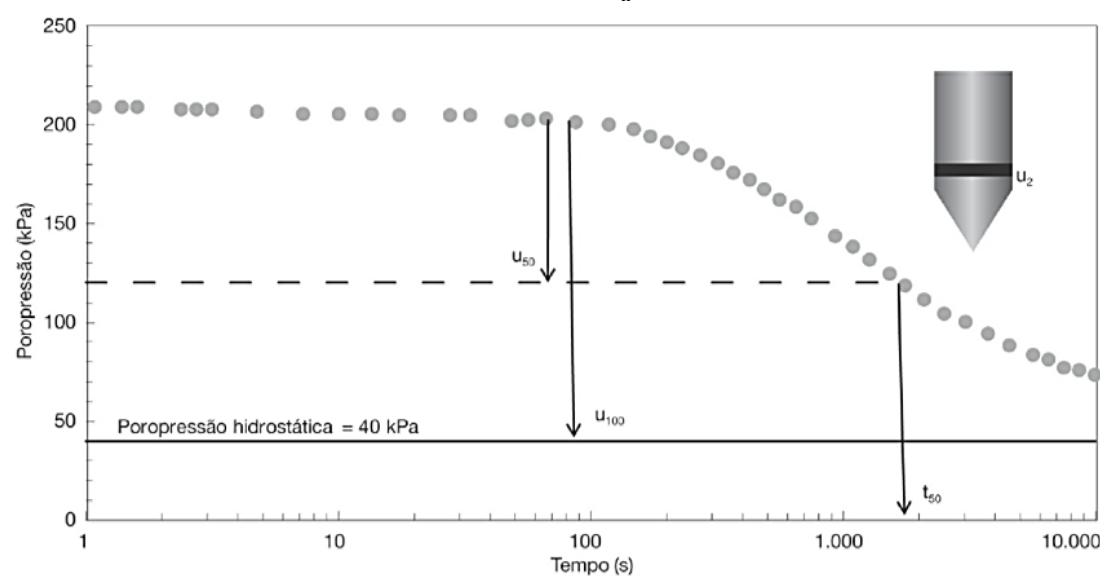


Figura 13 - Exemplo típico de um ensaio de dissipação utilizado para ilustrar o procedimento de cálculo de C_h .

A determinação precisa de u_i é fundamental para a correta determinação de C_h. Soares (1986) e Thomas (1986) sugerem procedimentos específicos para o cálculo de u_i por meio de extrapolação do trecho linear medido na curva de dissipação (SCHNAID e ODEBRECHT, 2012).

Os valores de C_h obtidos por esse procedimento correspondem a propriedades de solos na faixa pré-adensada, uma vez que, durante a penetração, o material ao redor do cone é submetido a elevados níveis de deformações e comporta-se como um solo em recompressão (BALIGH e LEVADOUX, 1986). Uma estimativa da magnitude do coeficiente de adensamento horizontal C_h na faixa de comportamento normalmente adensada pode ser obtida por meio da abordagem semi-empírica de Jamiolkowski *et al.* (1985), Equação 20:

$$C_h(NA) = \frac{RR}{CR}C_h (Piezocone)$$
 (20)

Valores experimentais medidos do coeficiente RR/CR variam na faixa entre 0,13 e 0,15 (JAMIOLKOWSKI *et al.*, 1985). Finalmente, os valores medidos de C_h (NA) podem ser convertidos em C_v (NA), para fins de comparação com ensaios de adensamento, por meio da Equação 21, (SCHNAID e ODEBRECHT, 2012):

$$C_h(NA) = \frac{k_h}{k_v} C_v(NA) \tag{21}$$

Sendo a anisotropia de permeabilidade vertical e horizontal (k_{ν}/k_h) apresentada na Tabela 12.

Tabela 12 - Razão de permeabilidade em argilas. Ladd et al. (1977) e Jamiolkowski et al. (1985)

Natureza da argila	K_h/K_v
Argilas homogêneas, sem macroestrutura definida	1,0 a 1,5
Macroestrutura definida, presença de descontinuidade e lentes permeáveis	2,0 a 4,0
Depósitos com ocorrência de várias camadas de material permeável	3,0 a 15

2.3 TEORIA DO ADENSAMENTO E ENSAIO DE ADENSAMENTO

2.3.1 Teoria do Adensamento

A teoria do adensamento desenvolvida por Terzaghi e Frohlich (1936) foi um marco na análise do comportamento de solos compressíveis submetidos a carregamentos verticais. A teoria propõe uma relação entre os valores de tensão efetiva e índice de vazios, de forma que estas grandezas físicas, além da deformação e poropressão, possam ser conhecidas em qualquer momento do processo de adensamento em qualquer posição da camada.

Entende-se por adensamento do solo a diminuição dos seus vazios com o tempo, devido a saída da água do seu interior. Na prática este processo pode ocorrer devido a um acréscimo de solicitação sobre o solo, seja pela edificação de uma estrutura, construção de um aterro, rebaixamento do nível de água do lençol freático ou drenagem do solo, entre outros.

Terzaghi e Frohlich (1936) admitiram as seguintes hipóteses simplificadoras para a dedução da equação do adensamento:

- 1) O solo é totalmente saturado;
- 2) A compressão é unidimensional;
- 3) O fluxo da água é unidimensional;
- 4) O solo é homogêneo;
- 5) As partículas sólidas e a água são tidas como incompressíveis;
- 6) O solo pode ser estudado como elementos infinitesimais;
- 7) O fluxo é governado pela Lei de Darcy;
- 8) As propriedades do solo não variam no processo de adensamento; e,
- O índice de vazios varia linearmente com o aumento da tensão efetiva durante o adensamento.

As três primeiras hipóteses indicam que a teoria se restringi ao caso de compressão edométrica, com fluxo unidimensional, e a solos saturados. As hipóteses '4' a '7', são perfeitamente aceitáveis. A hipótese '8', a rigor não se verifica, pois a medida que o solo adensa, muitas de suas propriedades variam. A hipótese '9' também é uma aproximação da realidade, visto que, o índice de vazios varia não linearmente com as tensões efetivas. Ocorre uma

variação linear, para tensões acima da tensão de pré-adensamento, mas com o logaritmo da tensão efetiva (PINTO, 2002).

Baseando nas hipóteses descritas acima, a equação fundamental do adensamento desenvolvida por Terzaghi e Frohlich (1936) está apresentada na Equação 22:

$$\frac{K_v(1+e)}{a_v \cdot \gamma_w} \frac{\partial^2 u}{\partial z^2} = \frac{\partial u_e}{\partial_t} \tag{22}$$

Onde: u_e = excesso de poropressão no tempo t; t = tempo; k_v = coeficiente de permeabilidade vertical; e= índice de vazios; a_v = coeficiente de compressibilidade; γ_w = peso específico da água; z = distância vertical entre um ponto e a superfície de aplicação do carregamento.

O coeficiente do primeiro membro da Equação 22 reflete características do solo (permeabilidade, porosidade e compressibilidade) e é denominado coeficiente de adensamento, Cv. A adoção deste coeficiente como uma constante do solo constitui a hipótese '8', previamente referida. Tem-se, pois, por definição, Equação 23:

$$C_{v} = \frac{K_{v}(1+e)}{a_{v}, \gamma_{w}} = \frac{K_{v}}{\gamma_{w} m_{v}}$$
 (23)

A equação diferencial do adensamento assume a expressão apresentada na Equação 24:

$$C_v \frac{\partial^2 u}{\partial z^2} = \frac{\partial u_e}{\partial_t} \tag{24}$$

Onde: k_v = coeficiente de permeabilidade vertical; γ_w = peso específico da água; e = índice de vazios; m_v = coeficiente de compressibilidade volumétrica; a_v = coeficiente de compressibilidade (a_v = - Δe / $\Delta \sigma'_v$); Δe = variação de índice de vazios.

A equação do adensamento unidimensional é uma equação diferencial linear parcial de segunda ordem, de coeficientes constantes, cujas variáveis independentes são z (variável espacial - profundidade) e t (tempo). Trata-se de um problema de valor inicial e de valores de contorno.

Considera-se o valor inicial e os valores de contorno do problema como:

- 1) t = 0; u = u0, para $0 \le z \le H$
- 2) z = 0; u = 0, para qualquer t > 0
- 3) para z = H; $\partial u \partial z = 0$, para qualquer t > 0

Estabelecidos os valores de contorno e o valor inicial, chega-se a seguinte solução para o problema, Equação 25:

$$u(z,t) = \sum_{m=0}^{\infty} \frac{2u_0}{M} \left(Sen \frac{M_z}{H} \right) e^{(-M^2 T_v)}$$

$$\tag{25}$$

Onde:

$$M = \frac{1}{2}\pi(2m+1) \tag{26}$$

$$T = \frac{C_v \cdot t}{Hd^2} \tag{27}$$

Em termos de grau de adensamento (Uz), tem-se que, Equação 28:

$$U(z,t) = 1 - \sum_{m=0}^{\infty} \frac{2}{M} \left(Sen \frac{M_z}{H} \right) e^{(-M^2 T_v)}$$
 (28)

Que permite, através da substituição de diversos pares de valores (z, t) a construção das isócronas de porcentagem de adensamento, conforme mostrado na Figura 14. Estas isócronas fornecem uma visualização de como se desenvolve o processo do adensamento ao longo de toda a camada compressível.

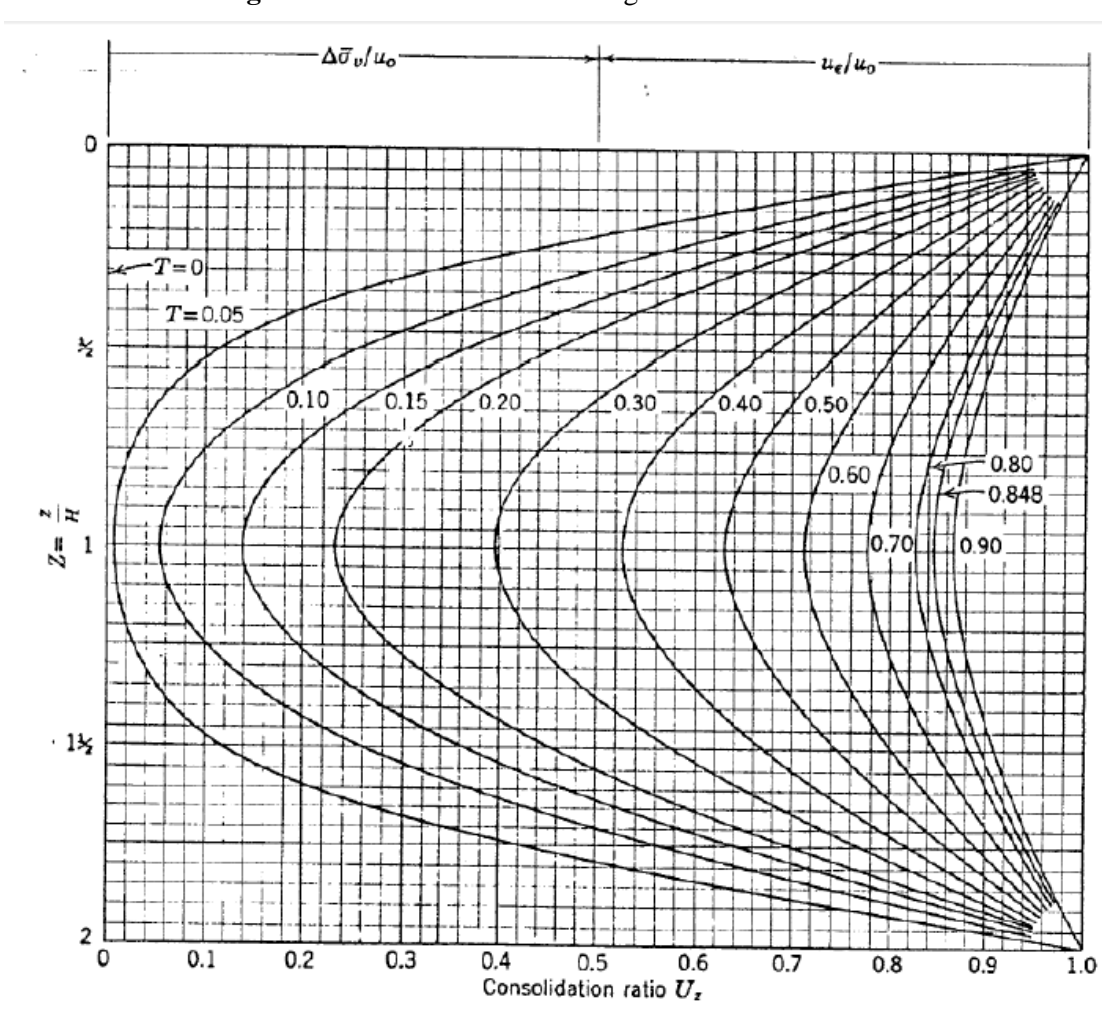


Figura 14 - Isócronas de Porcentagem de Adensamento.

Fonte: Lambe; Whitman, Soil Mechnics, Massachustts Institute of Technology, p.408, 1969.

Admite-se que a Equação 28 possa ser representada, aproximadamente, pelas seguintes Equações 29 e 30:

Quando U < 60%

$$T = -\frac{\pi}{4}U^2 \tag{29}$$

Quando U > 60%

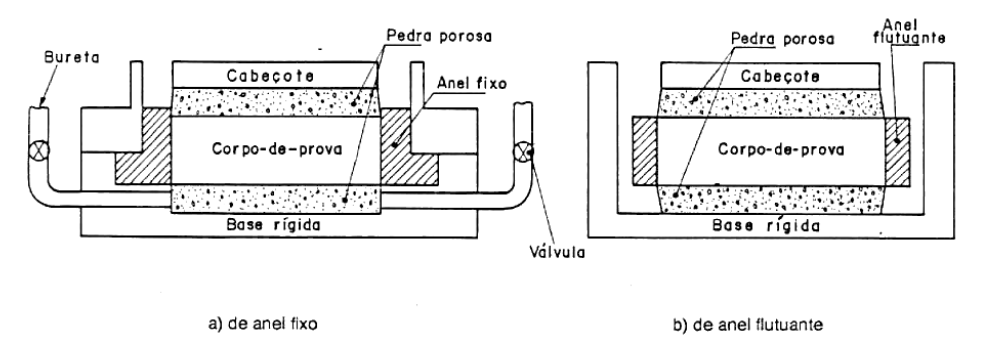
$$T = -0.9332log_{10}(1 - U) - 0.0851 (30)$$

2.3.2 Ensaio de Adensamento

O ensaio de adensamento edométrico, ou ensaio de adensamento unidimensional com carregamento incremental, tradicionalmente conhecido por SIC ("Standard Incremental Consolidation"), foi proposto por Terzaghi na década de 20, com a finalidade de reproduzir em laboratório as condições da teoria do adensamento unidimensional. De modo a prever não somente a grandeza e a velocidade das deformações que ocorrem em obras sobre depósitos de solos moles, como também a velocidade de dissipação da poropressão através de parâmetros obtidos no ensaio.

De um modo geral, o ensaio de adensamento unidimensional consiste na aplicação de incrementos de carga em um corpo de prova cilíndrico, de altura pequena em relação ao diâmetro, cuja amostra é confinada por um anel rígido de aço, limitando qualquer deformação lateral. No topo e na base são colocadas pedras porosas, permitindo a drenagem em ambas as extremidades, Figura 15. Com o auxílio de um extensômetro são registradas as deformações verticais em diversos intervalos de tempo e para cada estágio de carga.

Figura 15 - Representação esquemática da célula de adensamento.



Fonte: ABNT NBR 12007/1990.

Realiza-se o ensaio aplicando-se cargas verticais que vão sendo gradualmente aumentadas, geralmente segundo uma progressão geométrica de razão igual a 2. Cada estágio de carga deverá permanecer o tempo suficiente para permitir a deformação total da amostra, registrando-se, durante o mesmo, e a intervalos apropriados (15 s; 30 s; 1 min; 2 min; 4 min; 8 min; 16 min; 32 min e daí por diante em intervalos arbitrários) as deformações no extensômetro. No final de cada estágio, quase sempre 24 horas, as pressões são praticamente efetivas.

O anel rígido procura reproduzir no laboratório o que ocorre na natureza, onde a deformação lateral da massa de solo solicitada pelas cargas de construções é impedida pelo restante do maciço terroso que a envolve. Apesar da pequena altura das amostras, o atrito que se desenvolve entre o solo e a parede do anel, durante o ensaio, constitui uma causa de erro, embora não muito importante. Segundo tem sido observado, a força de atrito lateral atinge valores da ordem de 10 a 20% da pressão vertical aplicada.

Os ensaios devem ser executados em ambiente com temperatura aproximadamente constante, admitindo-se flutuação de, no máximo, ± 4°C e no qual não haja incidência direta de raios solares.

Os resultados do ensaio, normalmente, são apresentados em um gráfico em que nas ordenadas é representada a variação do índice de vazios final de cada estágio, representando a redução da altura da amostra, e nas abcissas, em escala logarítmica, as tensões aplicadas.

A partir do ensaio de adensamento, são obtidos os parâmetros de adensamento para estimativa dos recalques (parâmetros de compressibilidade) e de velocidade de recalque. Esses parâmetros são: o índice de compressão (C_c), o índice de recompressão (C_r), o coeficiente de compressão secundária (C_α), o coeficiente de adensamento (C_v), o coeficiente de permeabilidade (k_v), o coeficiente de compressibilidade (a_v) e o coeficiente de variação volumétrica (m_v).

Além dos parâmetros de adensamento mencionados, com o ensaio de adensamento, a partir do gráfico variação do índice de vazios vs. logaritmo da tensão efetiva aplicada, é possível determinar a tensão de pré-adensamento do solo, σ'_{vm} .

A tensão de pré-adensamento corresponde a máxima tensão efetiva que o solo foi submetido em toda sua história. O conhecimento do valor de σ'_{vm} é extremamente importante para o estudo do comportamento dos solos, pois representa a fronteira entre deformações relativamente pequenas e muito grandes.

Nos subitens a seguir serão mostrados os procedimentos necessários para a obtenção dos parâmetros de compressibilidade, adensamento e da tensão de pré-adensamento a partir dos resultados de ensaios edométricos.

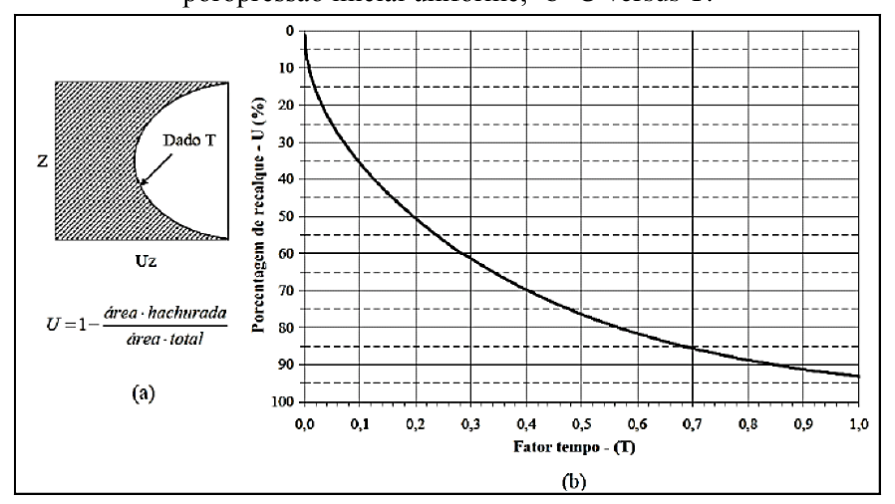
2.3.2.1 Coeficiente de Adensamento (C_v)

O valor do coeficiente de adensamento está relacionado a permeabilidade do solo e, portanto, ao tempo de recalque. Quando, em cada estágio de carregamento, registra-se as deformações do corpo de prova, ao longo do tempo, busca-se determinar, por meio da analogia com as curvas teóricas $U = f(T_v)$, apresentada na Figura 16, o coeficiente de adensamento, C_v .

Dois métodos são utilizados na prática para a determinação de C_{ν} através do ensaio de adensamento. São eles:

- Método de Casagrande Método do logaritmo do tempo.
- Método de Taylor Método da raiz quadrada do tempo

Figura 16 - Grau de adensamento médio de uma camada de solo saturado: 'a' incremento da poropressão inicial uniforme; 'b' U versus T.

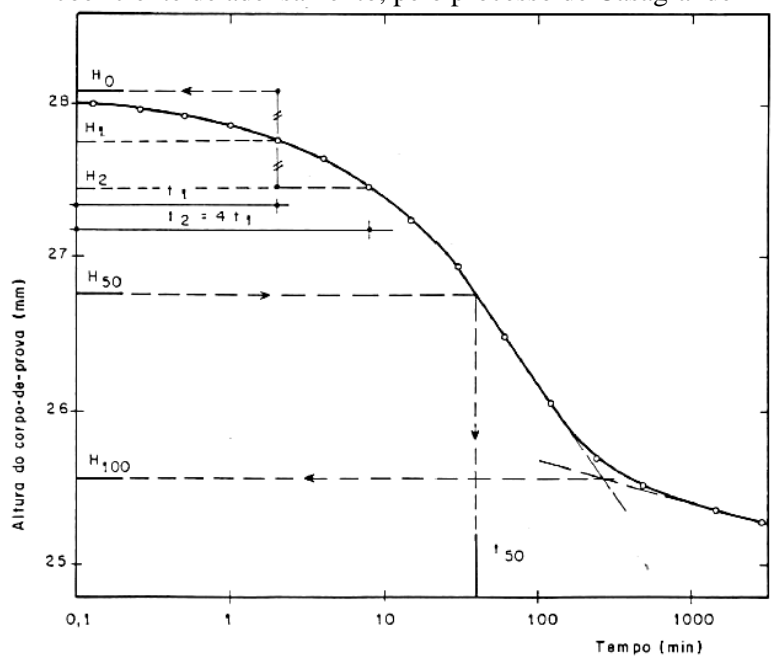


Fonte: Lambe e Whitman (1969).

Método de Casagrande

O método do logaritmo do tempo, proposto por Casagrande, determina que a altura do corpo de prova seja plotada em função do tempo de carregamento, em escala logarítmica, Figura 17.

Figura 17 - Curva de altura do corpo de prova, em função do logaritmo do tempo, para cálculo do coeficiente de adensamento, pelo processo de Casagrande



Fonte: ABNT NBR 12007/1990.

A NBR 12007/1990 descreve os procedimentos para obtenção do coeficiente de adensamento pelo processo de Casagrande:

- Para cada incremento de carga escolhido, desenhar a curva de adensamento, marcando-se no eixo das ordenadas a altura do corpo de prova e no eixo das abcissas o logaritmo do tempo.
- 2) Determinar o ponto correspondente a 100% do adensamento primário pela intersecção das retas tangentes aos ramos da curva que definem as compressões primária e secundária. Transportar o ponto encontrado para o eixo das ordenadas, obtendo-se a altura H₁₀₀.
- 3) Para determinar o ponto correspondente a 0% do adensamento primário, selecionar duas alturas do corpo de prova, H₁ e H₂, correspondentes respectivamente aos tempos t₁ e t₂, cuja relação t₂/t₁ seja igual a 4. A altura do corpo de prova, correspondente a 0% de adensamento primário, é calculado pela Equação 31:

$$H_0 = H_1 + (H_1 - H_2) \tag{31}$$

Nota: Para que este processo seja válido, a variação de altura, correspondente ao tempo t₂, deve ser maior do que ¼, mas menor do que ½, da variação total de altura no estágio de pressão considerado.

4) A altura do corpo de prova, correspondente a 50% do adensamento primário, é obtida pela Equação 32:

$$H_{50} = \frac{H_0 + H_{100}}{2} \tag{32}$$

- 5) O tempo t₅₀, correspondente a ocorrência de 50% do adensamento primário, é obtido tomando-se a abcissa do ponto da curva correspondente H₅₀.
- 6) Calcular o coeficiente de adensamento pela Equação 33:

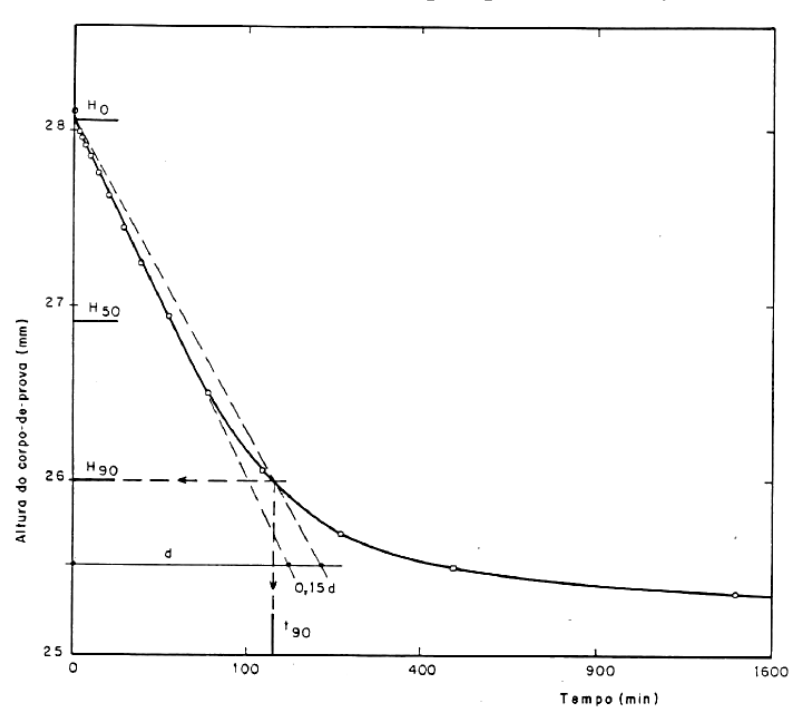
$$C_v = \frac{0.197(0.5 H_{50})^2}{t_{50}} \tag{33}$$

Onde C_v é o coeficiente de adensamento, em cm²/s; H_{50} é a altura do corpo de prova correspondente a 50% do adensamento primário, obtida conforme item 4, em cm; t_{50} é o tempo correspondente a ocorrência de 50% do adensamento primário, obtido conforme item 5, em s.

Método de Taylor

O método de Taylor baseia-se em uma curva cuja altura do corpo de prova seja plotada em função da raiz quadrada do tempo de carregamento, Figura 18.

Figura 18 - Curva de altura do corpo de prova, em função da raiz quadrada do tempo, para cálculo do coeficiente de adensamento, pelo processo de Taylor.



Fonte: ABNT NBR 12007/1990.

A NBR 12007/1990 descreve os procedimentos para obtenção do coeficiente de adensamento pelo método de Taylor.

- Para cada incremento de carga escolhido, desenha-se a curva de adensamento, marcando-se no eixo das ordenadas a altura do corpo de prova e no eixo das abcissas a raiz quadrada do tempo.
- Determinar o ponto correspondente a 0% do adensamento primário, prolongando a reta definida pelos pontos iniciais da curva de adensamento até o eixo das ordenadas.
- 3) Traçar por esse ponto uma linha reta com coeficiente angular igual a 1,15 vez o coeficiente angular da reta obtida em 2. A intersecção desta reta com a curva de adensamento define o ponto correspondente a 90% do adensamento primário, obtendo-se, dessa forma, os valores de t₉₀ e H₉₀.
- 4) A altura do corpo de prova, correspondente a 50% do adensamento primário, é obtida pela Equação 34:

$$H_{50} = H_0 - \frac{5}{9}(H_0 - H_{90}) \tag{34}$$

5) Calcular o coeficiente de adensamento, pela Equação 35:

$$C_V = \frac{0.848(0.5H_{50})^2}{t_{90}} \tag{35}$$

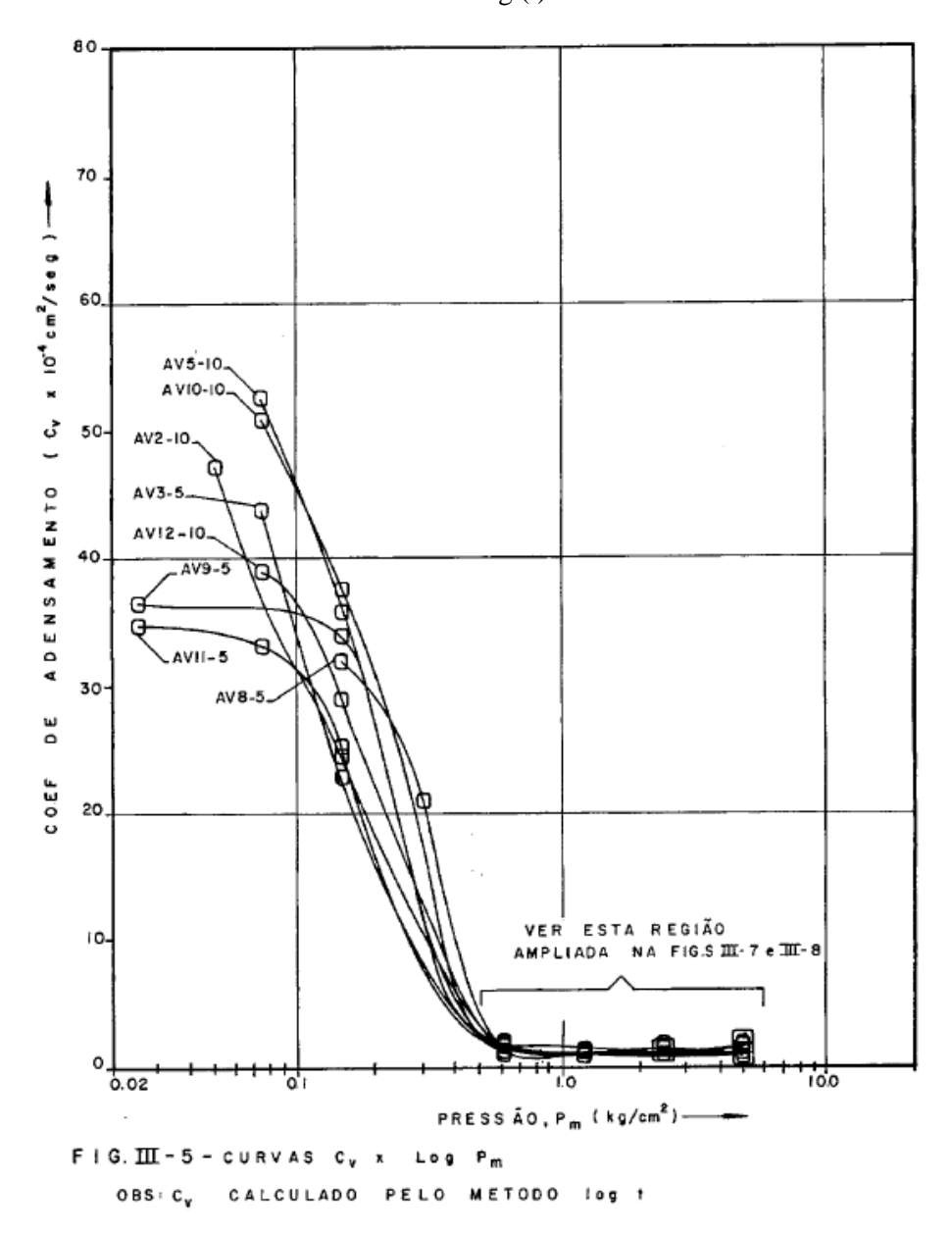
Onde C_v é o coeficiente de adensamento, em cm²/s; H_{50} é a altura do corpo de prova correspondente a 50% do adensamento primário, obtida conforme item 4, em cm; t_{90} é o tempo correspondente a ocorrência de 90% do adensamento primário, obtido conforme item 3, em s.

Efeito do Amolgamento do Corpo de Prova no Valor Calculado de Cv

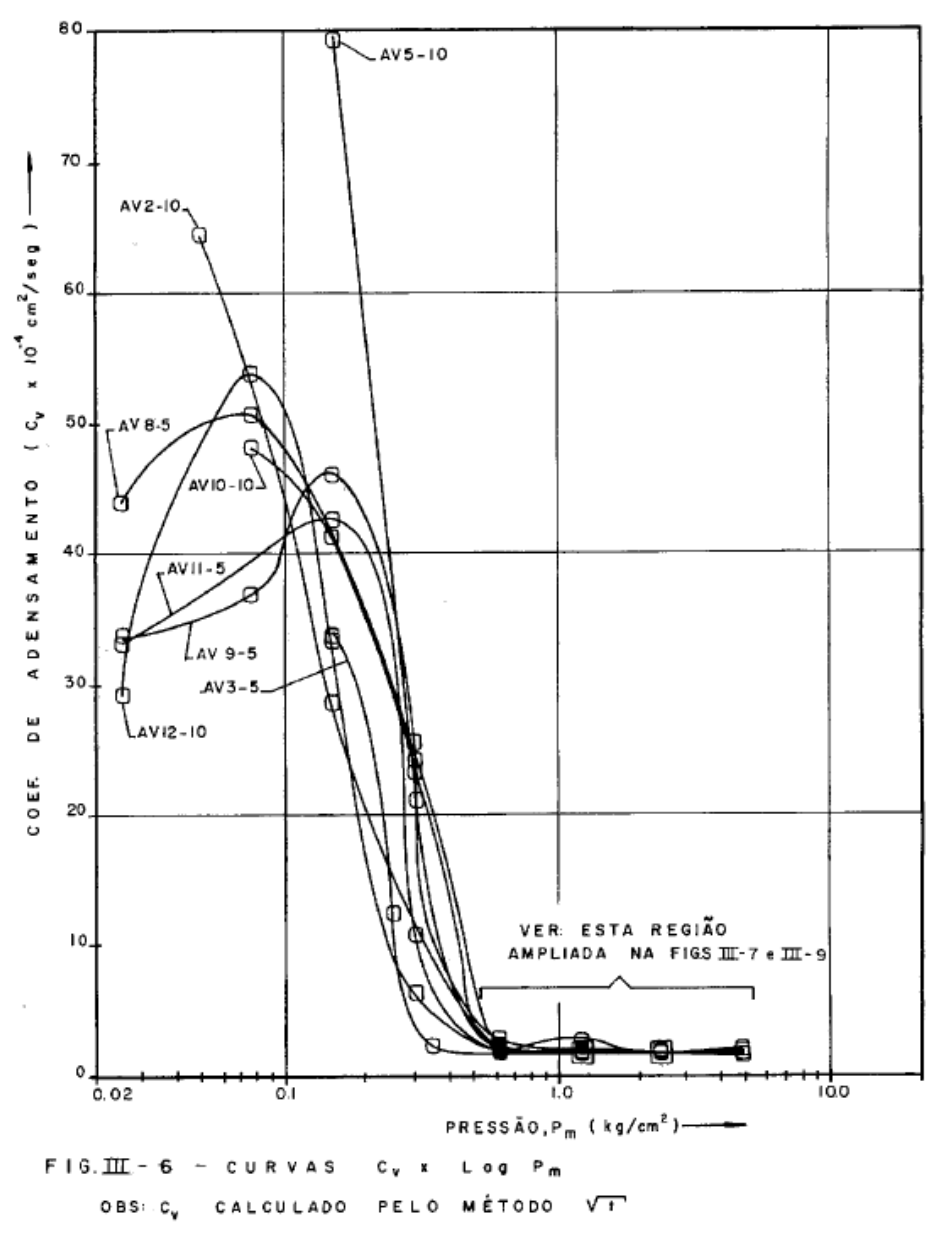
Roberto Quental Coutinho em sua dissertação de mestrado intitulada: "<u>Características</u> de Adensamento com Drenagem Radial de uma Argila Mole da Baixada Fluminense" defendida em 1976 na Universidade Federal do Rio de Janeiro, descreve os efeitos do amolgamento do corpo de prova nos resultados do coeficiente de adensamento calculado a partir de ensaios oedométricos.

Segundo o referido autor o valor do coeficiente de adensamento nas amostras indeformadas de boa qualidade, é substancialmente maior na região de recompressão que na região de compressão virgem, Figuras 19 e 20. O amolgamento no corpo de prova provoca uma grande queda no valor de Cv na faixa de recompressão e um menor efeito na faixa de compressão virgem, apresentando em geral um leve crescimento contínuo com a pressão, Figuras 19 a 23.

 $\begin{tabular}{l} \textbf{Figura 19 -} Curva C_v x Log(t)$ para amostras indeformadas de boa qualidade. OBS.: C_v Calculado pelo método log (t) \\ \end{tabular}$



 $\label{eq:Figura 20 - Curva C_v x Log(t) para amostras indeformadas de boa qualidade. OBS.: C_v Calculado pelo método $t^{-1/2}$.}$



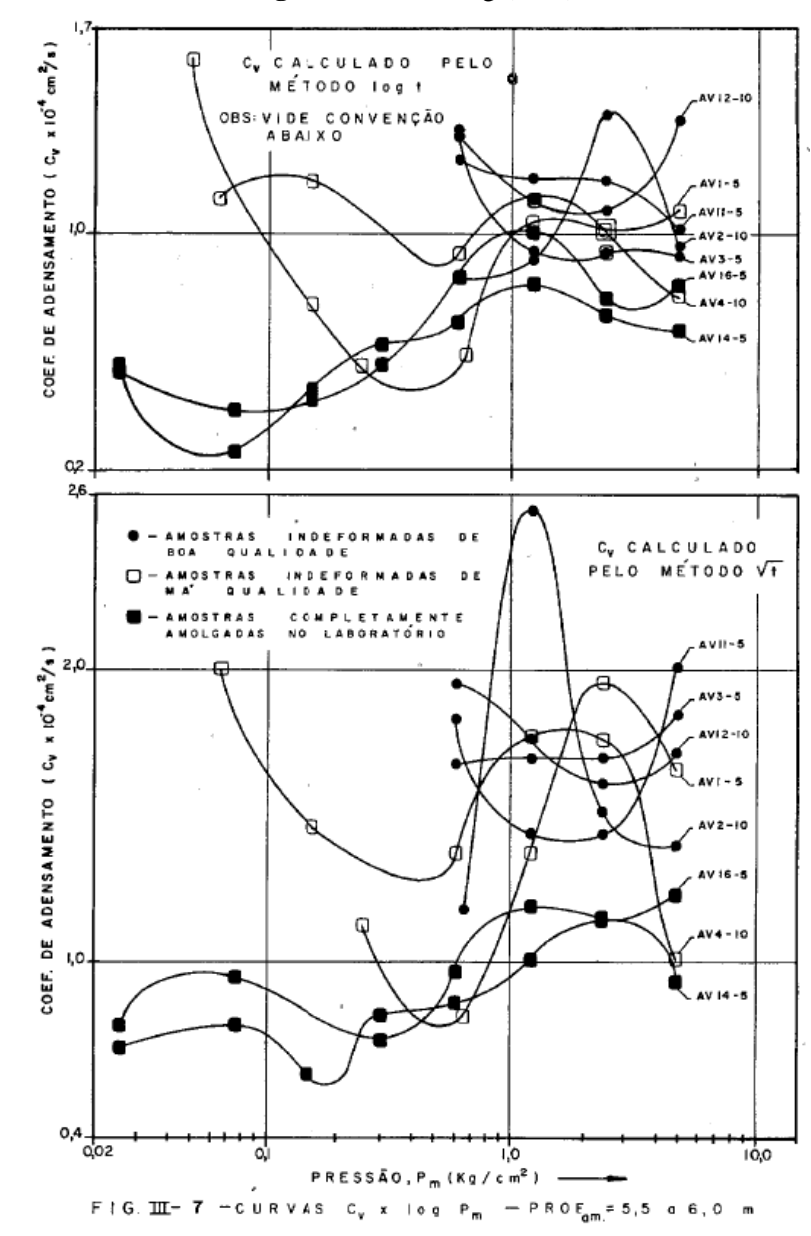


Figura 21 - $C_v x \text{ Log } (\sigma'_{vm})$.

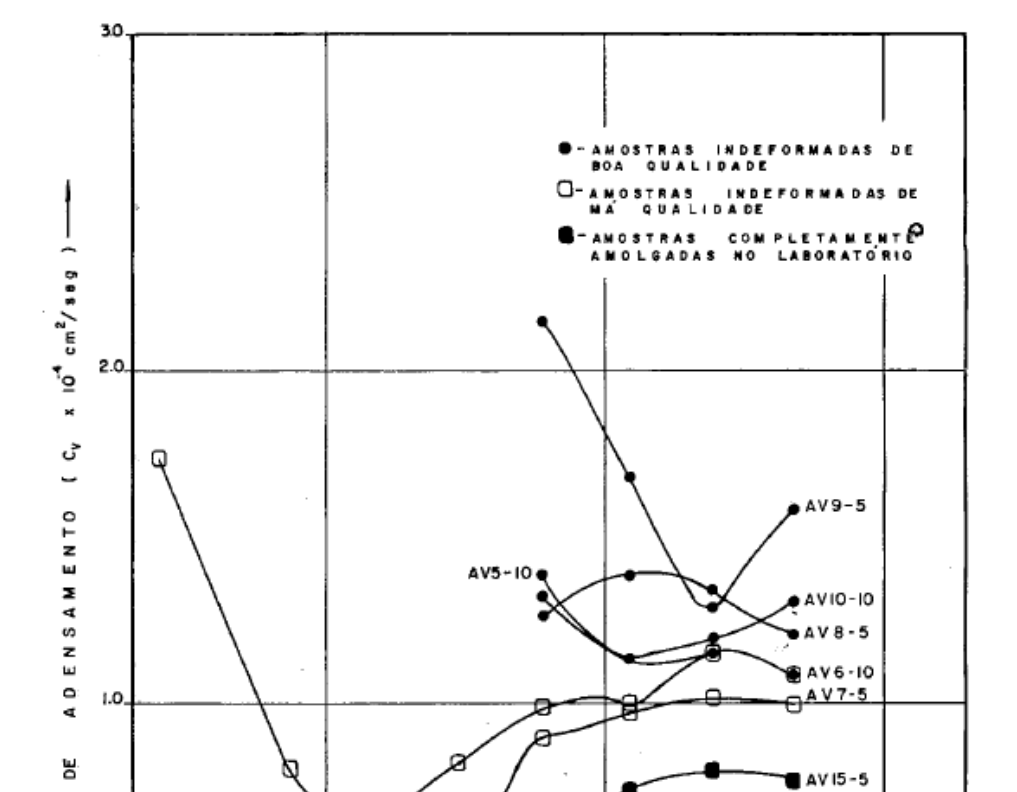


Figura 22 - $C_v \times Log (\sigma'_{vm})$.

COEF.

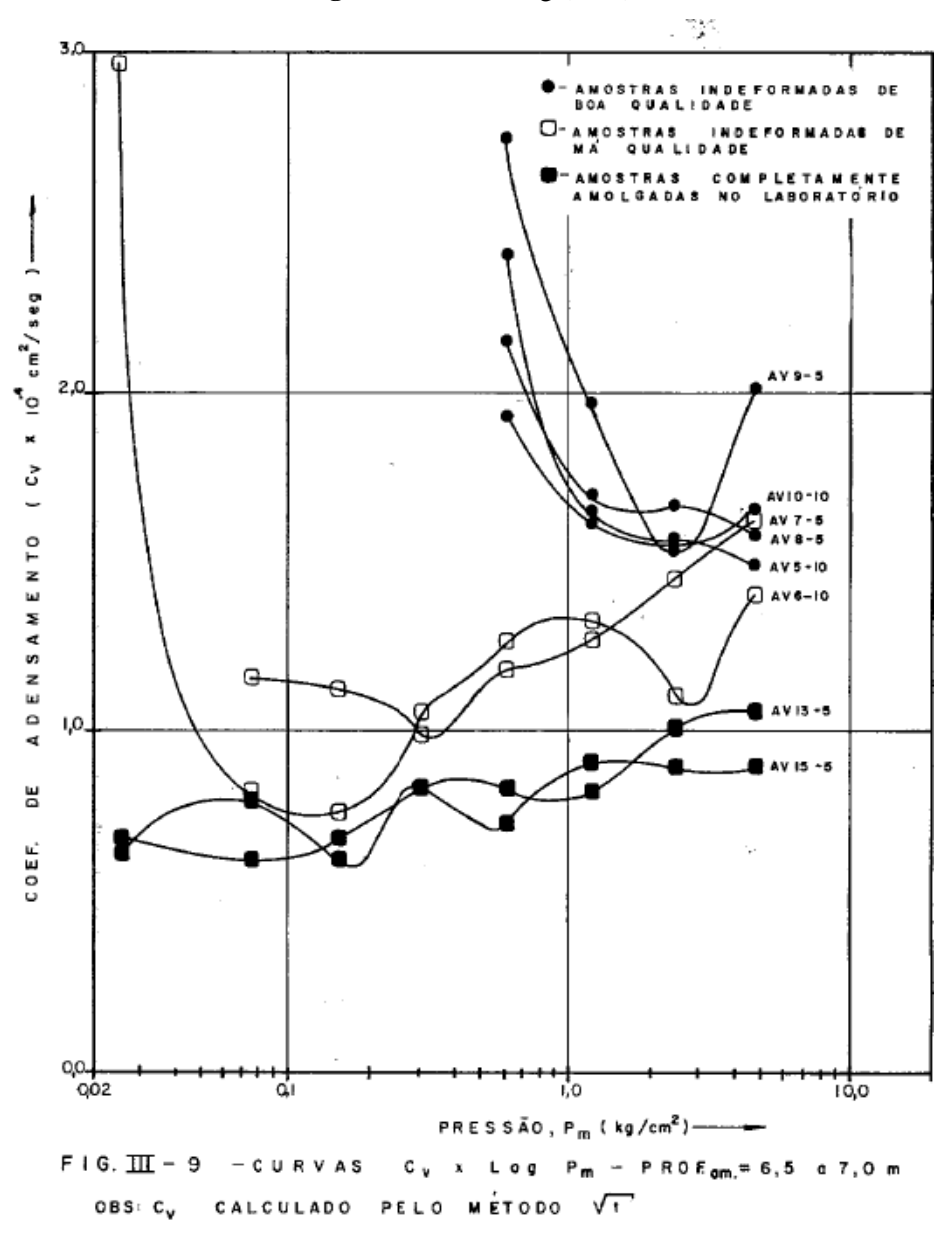


Figura 23 - $C_v \times Log (\sigma'_{vm})$.

Moran *et al.* (1958) *apud* Coutinho (1976) sugere a relação 3:2:1 para indicar razões entre os valores de C_v obtidos na região de compressão virgem, em corpos de prova indeformados de boa qualidade, indeformados de má qualidade e completamente amolgado. Ladd (1973) acha que estas razões geralmente representam o limite superior, enquanto que Johnson (1970) *apud* Coutinho (1976) baseado em dados não publicados, sugere que a razão acima entre corpos de prova indeformados de boa qualidade e completamente amolgados varia entre 6 a 1, com um valor médio de cerca de 3,5.

As relações encontradas em Coutinho (1976) entre os valores médios de Cv calculado pelo método log (t) foram:

- Profundidade 5,70 a 6,0m 1,44/1,24/1
- Profundidade 6,70 a 7,0m 2/1,5/1

Existindo uma diferença razoável entre as duas profundidades como pode ser visto nas Figuras 19 a 23.

Infelizmente os detalhes do ensaio de adensamento, tais como dimensões da amostra, razão do incremento de carga e perturbação da amostra, podem afetar seriamente os valores obtidos para C_v, e esses efeitos podem obscurecer o real comportamento do solo em muitos casos (COUTINHO, 1976).

2.3.2.2 Parâmetros de Compressibilidade

O resultado típico de um ensaio de adensamento unidimensional, com o índice de vazios (e) nas ordenadas vs. a tensão vertical efetiva (σ'_v) como abcissa, em escala logarítmica, é mostrado na Figura 24. A partir dessa curva, obtêm-se os coeficientes de compressibilidade, a_v, de variação volumétrica, m_v; e índices de compressão, C_c, e recompressão, C_r, bem como o coeficiente de permeabilidade k_v.

Recompressão

Expansão

O' (escala log)

Figura 24 - Índice de vazios versus tensão vertical efetiva.

Fonte: Craig (2004) apud Romanel (2011).

O coeficiente de variação volumétrica, m_v, é uma característica do esqueleto sólido do material, obtido pela Equação 36.

$$m_{v} = -\frac{a_{v}}{1+e} \tag{36}$$

Onde o coeficiente de compressibilidade, a_v , é obtido através da curva índice de vazios 'e', versus tensão vertical efetiva, σ'_v , Equação 37.

$$a_{v} = -\frac{\Delta e}{\Delta \sigma'_{v}} \tag{37}$$

Na Figura 24 o primeiro trecho mostra uma recompressão inicial, que representa a recompressão do solo, até um valor característico de tensão, correspondente a máxima tensão que o solo já sofreu na natureza. Tal reta apresenta um coeficiente angular denominado índice de recompressão (C_r). Em geral, recomenda-se a determinação de C_s, no ciclo de expansão e recompressão, pois no trecho inicial a amostra pode apresentar efeitos do amolgamento, ocorridos durante a etapa de extração e moldagem da amostra. Equação 38.

$$C_{\rm r} = \frac{e_2 - e_1}{\Delta \log \sigma_{\rm w}'} \tag{38}$$

Após o valor característico de tensão, o corpo de prova começa a ser comprimido, sob tensões superiores as máximas tensões por ele já suportadas na natureza. Definidas pelo trecho da reta virgem, tal reta apresenta um coeficiente angular denominado índice de compressão (C_c), Equação 39.

$$C_{c} = \frac{e_2 - e_1}{\Delta \log \sigma_{w}'} \tag{39}$$

A dedução da equação de adensamento define o coeficiente de adensamento a partir do conjunto de parâmetros presentes na equação diferencial, Equação 40:

$$C_v = \frac{k_v(1+e)}{a_v \cdot \gamma_w} \tag{40}$$

Dessa forma, uma vez conhecidos os parâmetros de compressibilidade e coeficiente de adensamento, é possível estimar indiretamente o valor do coeficiente de permeabilidade do solo, utilizando-se a Equação 41:

$$k_{v} = m_{v} \cdot c_{v} \cdot \gamma_{w} \tag{41}$$

2.3.2.3 Compressão Secundária (Cα)

A compressão secundária é considerada por alguns autores como aquela que ocorre após o término do adensamento primário, de modo que a curva recalque da amostra *versus* log(t) passa a representar um trecho aproximadamente constante. A deformação continua se processar, muito embora os excessos de poropressões já tenham sido quase totalmente dissipados. É representado pela Equação 42:

$$C_{\alpha} = -\frac{\Delta e}{\Delta \log(t)} \tag{42}$$

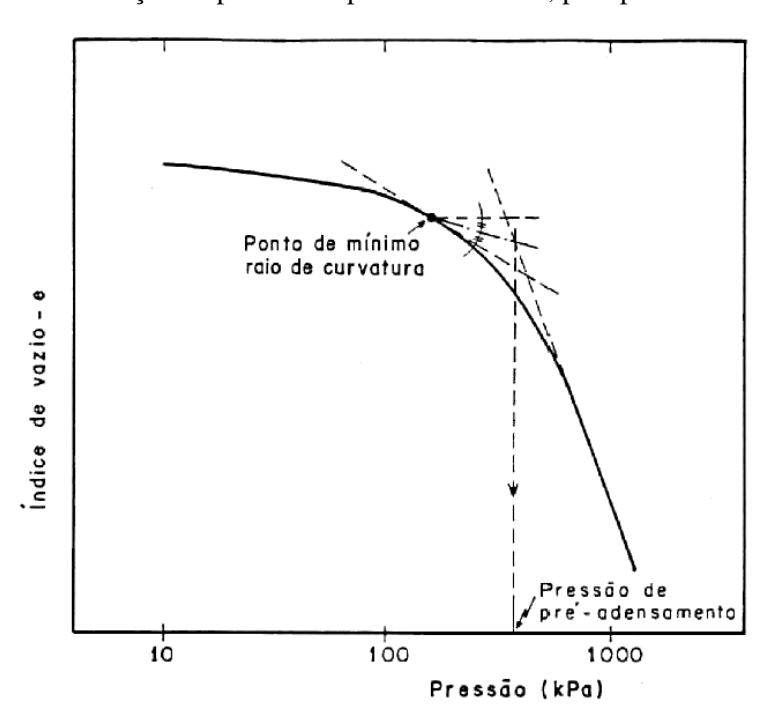
2.3.2.4 Tensão de Pré-Adensamento

A NBR 12007/1990 especifica dois processos para determinação da tensão de préadensamento: Processo de Casagrande e Processo Pacheco Silva.

Processo de Casagrande

- 1) De posse da curva índice de vazios x logaritmo da tensão vertical efetiva, obter, nessa curva, o ponto de mínimo raio de curvatura e, por ele traçar uma paralela ao eixo das abcissas e uma tangente a curva.
- 2) Traçar a bissetriz do ângulo formado por essas retas.
- 3) A abcissa do ponto de intersecção da bissetriz com o prolongamento do trecho virgem corresponde a pressão de pré-adensamento. Figura 25.

Figura 25 - Determinação da pressão de pré-adensamento, pelo processo de Casagrande



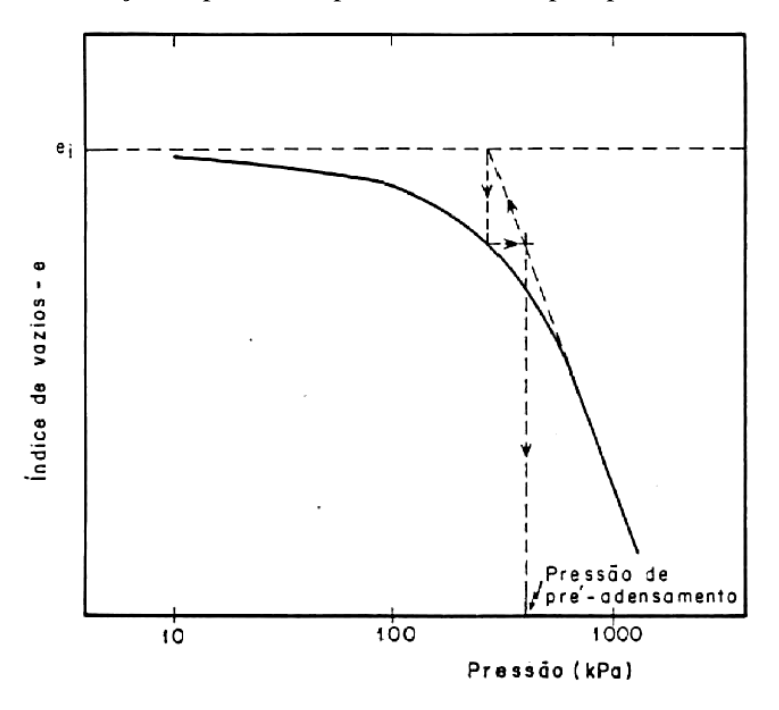
Fonte: ABNT NBR 12007/1990.

Processo de Pacheco Silva

- Traçar uma reta horizontal, passando pela ordenada correspondente ao índice de vazios inicial e_i.
- 2) Prolongar o trecho da reta virgem e determinar o seu ponto de intersecção com a reta definida no item 1.
- 3) Pelo ponto de intersecção, traçar uma reta vertical até interceptar a curva. Por este ponto, traçar uma reta horizontal, determinando-se a sua intersecção com o

prolongamento do trecho virgem. A abcissa deste ponto define a tensão de préadensamento, Figura 26.

Figura 26 - Determinação da pressão de pré-adensamento, pelo processo de Pacheco Silva



Fonte: ABNT NBR 12007/1990.

A relação entre a tensão efetiva de pré-adensamento (σ'_{vm}) e a tensão efetiva vertical de campo (σ'_{v0}) pode se dar de duas maneiras:

Solo Normalmente Adensado $(\sigma'_{vm} = \sigma'_{v0})$

Neste caso, o solo nunca foi submetido a uma tensão efetiva vertical maior que a atual. Para esta condição diz-se que o solo é normalmente adensado e sua Razão de Préadensamento (RPA) ou OCR ("Over Consolidation Ratio"), definida pela Equação 43:

$$OCR = \frac{\sigma'_{vm}}{\sigma'_{v0}} \tag{43}$$

Solo Pré-adensado $(\sigma'_{vm} > \sigma'_{vo})$

Se a tensão efetiva de pré-adensamento (σ'_{vm}) é maior que a tensão efetiva vertical de campo (σ'_{vo}) , conclui-se que, no passado, o depósito já foi submetido a um estado de tensões superior ao atual. A razão de pré-Adensamento (OCR) será sempre maior do que 1 e a este material dá-se o nome de solo pré-adensado.

Vários fatores podem causar pré-adensamento (LADD, 1973). A Tabela 13 resume os fatores mais usuais.

Variação Ação Remoção de sobrecarga superficial (processo erosão, ação do homem, recuo das águas do mar, por exemplo); Tensão total Demolição de estruturas antigas; e, Glaciação. Variação da cota do lençol freático; Pressões artesianas: Poropressão Bombeamento profundo; Ressecamento e evaporação; e, Ressecamento devido à vegetação Compressão secundaria; Estrutura do Mudanças ambientais tais como: temperatura, concentração Solo de sais, pH, etc.; e,

Tabela 13 - Causas de Pré-adensamento

Fonte: Ladd, 1973.

Casos especiais ($\sigma'_{vm} < \sigma'_{vo}$)

É possível que a determinação da pré-adensamento, em laboratório, forneça um valor inferior a tensão efetiva de campo, calculada com base no perfil de solo. Este resultado pode estar associado a duas situações:

Precipitação de agentes cimentantes, troca catiônica, etc.

- O solo se encontra em processo de adensamento devido a carregamentos recentes. Na realidade, o valor de σ'_{vo} não seria aquele calculado pelos dados do perfil, mas sim levando-se em consideração o desenvolvimento das tensões efetivas no processo de adensamento.
- ii. Erro na estimativa de σ'_{vm} , como resultado da má qualidade do corpo de prova. Sempre que ocorrem problemas de amolgamento da amostra nas fases de extração e preparação do corpo de prova, a curva de compressibilidade tende a ficar mais achatada, não sendo possível identificar corretamente a mudança dos trechos de recompressão e compressão virgem.

2.4 ENSAIO TRIAXIAL

Segundo Pinto (2002) o ensaio de compressão triaxial convencional consiste na aplicação de um estado hidrostático de tensões e de um carregamento axial sobre um corpo de prova cilíndrico de solo. O corpo de prova é colocado dentro de uma câmara de ensaio, cujo esquema é mostrado na Figura 27, e envolto por uma membrana impermeável de borracha. A câmara é cheia de água, a qual se aplica uma pressão, denominada pressão confinante ou pressão de confinamento do ensajo, σ_3 .

drenagem ou medição de poro-pressão

pedra porosa

membrana plastica

de prova entrada de agua para aplicação de σ_3

Figura 27 - Corpo de prova dentro de uma câmara de ensaio, submetido as tensões de confinamento e axial

Fonte: Souza Pinto (2006).

A tensão axial é aplicada por meio de uma haste de carregamento vertical (chamada de tensão desviadora). Essa tensão pode ser aplicada de duas formas (DAS, 2007):

- Aplicação de pesos ou pressão hidráulica em incrementos iguais até que o corpo de prova rompa.
- Aplicação da deformação axial a uma taxa constante por meio de uma prensa de carregamento mecânica ou hidráulica. Chamado ensaio de deformação controlada.

Como não existem tensões de cisalhamento nas bases e nas geratrizes do corpo de prova, os planos horizontais e verticais são os planos principais. Se o ensaio é de carregamento, o plano horizontal é o plano principal maior. No plano vertical, plano principal menor, atua a pressão confinante. A tensão devida ao carregamento axial é denominada acréscimo de tensão axial (σ_1 - σ_3) ou tensão desviadora.

A carga axial aplicada pela haste de carregamento correspondente a uma dada deformação axial é medida por uma célula de carga fixada a haste. As conexões para se medir a drenagem interna ou externa ao corpo de prova ou para se medir a poropressão (de acordo com as condições do ensaio) também são fornecidas.

O princípio básico do ensaio consiste em fazer crescer a tensão desviadora ($\sigma_d = \sigma_1$ - σ_3) até que ocorra a ruptura do corpo de prova, mantendo-se constante a pressão hidrostática (σ_3). A aplicação do acréscimo de tensão axial (σ_1 - σ_3) se faz a uma velocidade de deformação constante. Ao final do ensaio traça-se a curva tensão desviadora versus deformação específica, onde se pode identificar um valor máximo de σ_d . Esse valor somado a σ_3 fornece a tensão principal σ_1 aplicada ao corpo de prova no momento da ruptura, Figura 28.

Curvas tensão x deformação Ensaios CU601-CU602-CU603

Figura 28 - Exemplo de curvas "tensão desviadora x deformação axial". Para os 3 corpos de prova ensaiados foram utilizadas as tensões de confinamento de 100, 200 e 600 kPa.

Fonte: Marangon (2009).

8.00 12.00 Deformação axial (%) 16.00

20.00

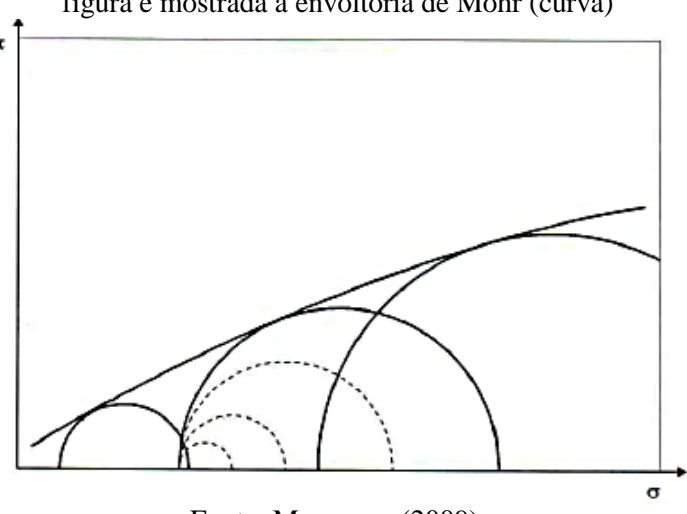
0.00

0.00

4.00

São realizados de três a quatro ensaios em corpos de prova idênticos com pressões hidrostáticas diferentes, determinando as tensões principais na ruptura. Com os pares de tensões principais, traça-se os círculos de Mohr correspondentes a cada um dos estados de tensões dos corpos de prova na ruptura, Figura 29. A literatura mostra que é possível traçar uma envoltória a estes círculos, que pode ser considerada, em primeira aproximação, como uma reta. Esta reta é chamada de envoltória de ruptura e é caracterizada pelos parâmetros c e ϕ .

Figura 29 - Traçado dos círculos de Mohr correspondentes a realização de 3 ensaios triaxiais. Na figura é mostrada a envoltória de Mohr (curva)



Fonte: Marangon (2009).

As amostras possuem relação altura: diâmetro de 2:1, na prática inglesa, enquanto que a relação 3:1 é permitida na ASTM. Se a relação é muito menor que 2:1, os resultados podem ser influenciados pela restrição das extremidades, a menos que sejam utilizadas "extremidades livres". Se a relação for maior que 3:1, instabilidade na direção da deformação pode ocorrer e a amostra não rompe na compressão verdadeira (HEAD, 1982).

A ruptura normalmente implica na condição em que a amostra não pode sustentar qualquer acréscimo de tensão, por exemplo, o ponto que oferece a máxima resistência para a deformação em termos de tensão axial. Segundo Head (1982) três principais tipos de ruptura são identificados:

- Ruptura plástica: onde a amostra sofre abaulamento lateralmente como num molde cilíndrico, sem intensidade (Figura 30 'a');
- Ruptura frágil: onde a amostra cisalha ao longo de uma ou mais superfícies bem definidas (Figura 30 'b'); e,
- Ruptura de modo intermediário: entre a ruptura plástica e a ruptura frágil (Figura 30 'c').

O modo de ruptura é um aspecto significante na descrição das propriedades do solo.



Figura 30 - Tipos de ruptura.

Fonte: Head (1982).

São três os tipos padrão de ensaios triaxiais geralmente realizados. São eles:

- Ensaio Adensado Isotropicamente e Drenado (CID)
- Ensaio Adensado Isotropicamente e N\u00e3o Drenado (CIU)
- Ensaio Não Adensado e Não Drenado (UU)

2.4.1.1 Ensaio Adensado Isotropicamente e Drenado (CID)

No ensaio CID, o corpo de prova saturado é submetido primeiro a uma pressão de confinamento isotrópica em toda sua volta (σ₃), por compressão do fluido da câmara. Na medida em que a pressão de confinamento é aplicada, a poropressão do corpo de prova aumenta.

Esse aumento na poropressão pode ser expresso como um parâmetro adimensional pela Equação 44:

$$B = \frac{u_c}{\sigma_3} \tag{44}$$

Onde B é o parâmetro de poropressão de Skempton para ensaio CID; u_c é a poropressão do corpo de prova devido σ_3 ; e σ_3 é a tensão confinante.

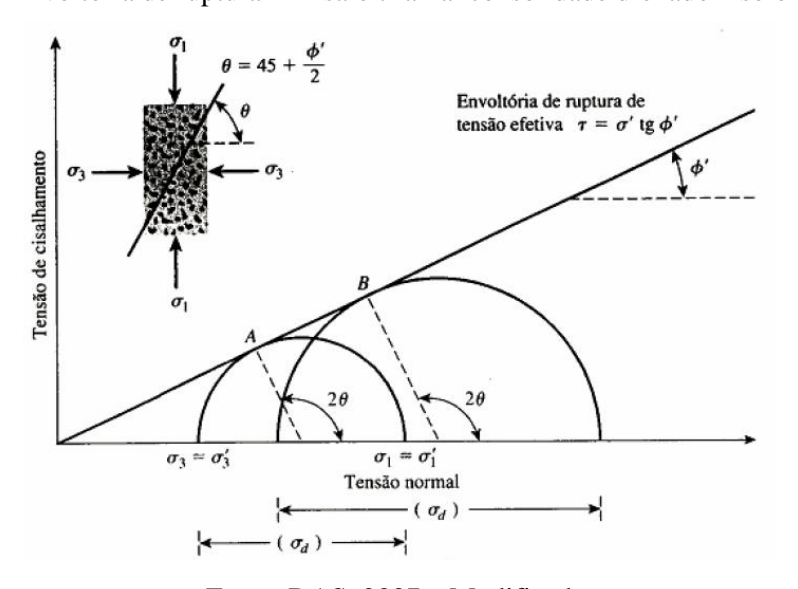
Segundo Das (2007), para os solos moles saturados, B é aproximadamente igual a 1, entretanto, para solos rígidos saturados, a magnitude de B pode ser inferior a 1.

Se a conexão para a drenagem estiver aberta, ocorre a dissipação do excesso de poropressão e, portanto, o adensamento ocorrerá. Com o tempo, u_c será igual a 0. Em solo saturado, a variação no volume do corpo de prova que ocorre durante o adensamento pode ser obtida do volume da água drenada dos poros. Depois a tensão desviadora no corpo de prova é aumentada muito lentamente. A conexão de drenagem é mantida aberta e a taxa lenta de aplicação da tensão desviadora permite a completa dissipação de qualquer poropressão que tenha se desenvolvido.

Como a poropressão desenvolvida durante o ensaio é completamente dissipada, tem-se a tensão total efetiva de confinamento (σ'_3) igual a σ_3 . Logo, no momento da ruptura, a tensão total efetiva axial (σ'_1) será igual a σ_1 , que serão iguais a σ'_3 mais a tensão desviadora.

Vários ensaios em corpos de prova similares podem ser realizados por variações de pressão de confinamento. Com as tensões principais maior e menor na ruptura para cada ensaio, os círculos de Mohr podem ser desenhados e as envoltórias de ruptura (Mohr-Coulomb) podem ser obtidas (Figura 31).

Figura 31 - Envoltória de ruptura - Ensaio triaxial consolidade drenado - solo não coesivo



Fonte: DAS, 2007 – Modificado.

Segundo Das (2007), um ensaio triaxial consolidado drenado em um solo argiloso pode demorar vários dias para terminar. Essa duração é necessária porque a tensão desviadora deve ser aplicada muito lentamente para assegura a drenagem plena do corpo de prova.

2.4.1.2 Ensaio Adensado Isotropicamente e Não Drenado (CIU)

O ensaio adensado isotropicamente e não drenado é o tipo mais comum de ensaio triaxial. Nesse ensaio, o corpo de prova saturado é primeiramente adensado por uma pressão isotrópica de fluido na câmara da mesma forma do ensaio CID. Após a poropressão gerada pela aplicação da pressão de confinamento ser dissipada, a tensão desviadora no corpo de prova é aumentada para provocar a ruptura por cisalhamento. Durante essa fase do ensaio, a linha de drenagem do corpo de prova é mantida fechada. Como a drenagem não é permitida, a poropressão aumentará. Durante o ensaio, medições simultâneas de tensão desviadora e poropressão são realizadas. O aumento da poropressão pode ser expresso de forma adimensional pela Equação 45:

$$\overline{A} = \frac{u_d}{\sigma_d} \tag{45}$$

Onde \bar{A} é o parâmetro de Skempton para ensaio CIU; u_d é a poropressão do corpo de prova devido σ_d ; e σ_d é a tensão desviadora.

Diferentemente do ensaio CID, no ensaio CIU as tensões principais, efetiva e total, não são as mesmas. Como a poropressão no momento da ruptura é medida nesse ensaio, as tensões principais podem ser analisadas das seguintes maneiras:

Tensão principal maior total no momento da ruptura (σ₁) expressa pela Equação
 46:

$$\sigma_1 = \sigma_3 + u \tag{46}$$

Tensão principal maior efetiva no momento da ruptura (σ'1) obtida pela Equação
 47·

$$\sigma_1' = \sigma_1 - u \tag{47}$$

Tensão Principal menor efetiva no momento da ruptura (σ'3) expressa pela
 Equação 48:

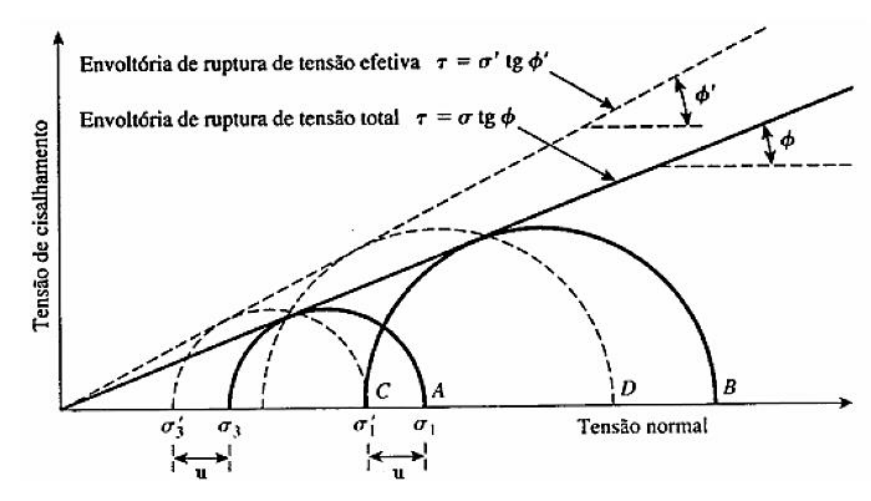
$$\sigma_3' = \sigma_3 - u \tag{48}$$

Onde u em todas as equações é a poropressão medida do momento da ruptura.

Ensaios em vários corpos de prova similares com pressões de confinamento variando podem ser realizados para determinação dos parâmetros de resistência ao cisalhamento. A

Figura 32 mostra os círculos de Mohr da tensão efetiva e total no momento da ruptura, obtidos dos ensaios triaxiais consolidados isotropicamente e não drenados.

Figura 32 - Envoltória de ruptura da tensão efetiva e total — Ensaio triaxial consolidado isotropicamente e não drenado — solo coesivo



Fonte: DAS, 2007 - modificado.

Verifica-se na Figura 32 que A e B são dois círculos de Mohr da tensão total obtidos a partir de dois ensaios, C e D são círculos de Mohr da tensão efetiva correspondentes aos círculos da tensão total A e B, respectivamente.

É importante destacar que os diâmetros dos círculos A e C são os mesmos; de maneira similar, os diâmetros dos círculos B e D são os mesmos. Desse princípio pode-se escrever que (Equação 49):

$$\sigma_1 - \sigma_3 = \sigma'_1 - \sigma'_3 \tag{49}$$

2.4.1.3 Ensaio Triaxial Não Consolidado Não Drenado (UU)

Em ensaios não consolidados não drenados, a drenagem do corpo de prova não é permitida durante a aplicação da pressão confinante (σ₃). O corpo de prova do ensaio é cisalhado até a ruptura pela aplicação da tensão desviadora (σ_d), e a drenagem é impedida. Como a drenagem não é permitida em nenhum estágio, o ensaio pode ser realizado rapidamente sem variação volumétrica e com geração de poropressão no interior do corpo de prova. Por causa da aplicação da pressão confinante na câmara, a poro pressão do corpo de prova devido a esta confinante (u_c), aumentará. Também ocorrerá um aumento adicional da poropressão devido a aplicação da tensão desviadora (u_d). Portanto a poropressão total (u) em um ensaio UU em qualquer estágio da aplicação da tensão desviadora pode ser obtida pela Equação 50.

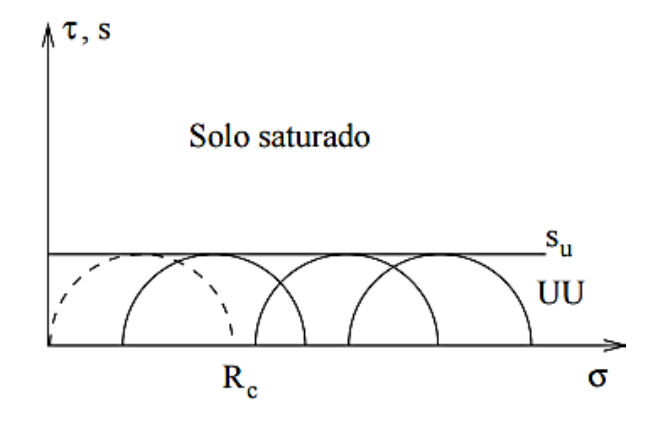
$$u = u_c + u_d \tag{50}$$

Nos ensaios UU a aplicação dos esforços com a válvula de drenagem fechada provoca uma recuperação do índice de vazios que a amostra tinha em seu estado natural. Portanto a

amostra apresenta a resistência ao cisalhamento que teria em campo, sem incorporar qualquer acréscimo das tensões efetivas. Assim a resistência ao cisalhamento pode ser expressa em termos de tensões totais.

A Figura 33 mostra a envoltória de ruptura em termos de tensões totais para um ensaio triaxial, não adensado, não drenado – UU.

Figura 33 - Envoltória de ruptura – Ensaio triaxial não consolidado não drenado – UU.



2.5 CRITÉRIOS DE CLASSIFICAÇÃO DA QUALIDADE DA AMOSTRA

A qualidade de amostras é de fundamental importância na confiabilidade dos valores dos parâmetros geotécnicos obtidos a partir de ensaios de laboratório, e que serão utilizados em projetos de obras de engenharia.

Esforços estão sendo feitos através de pesquisas para entender, quantificar e se possível corrigir o efeito da perturbação nas argilas (COUTINHO, 1976; COUTINHO *et al.*, 1998; FERREIRA, 1982 e FERREIRA e COUTINHO 1988).

Para uma avaliação quantitativa da qualidade da amostra Lunne *et al.* (1997), baseados nos estudos do Instituto Norueguês de Geotecnia (NGI) que utiliza a deformação volumétrica (ε_{v0}) correspondente as tensões geostática no campo (σ'_{v0}) como indicador de amolgamento e consequente qualidade da amostra; sugerem a utilização de $\Delta e/e_0$ para classificar amostras de argila.

Lunne *et al.* (1997) consideram e_0 o índice de vazios inicial da amostra, e_{σ^2v0} o índice de vazios correspondentes a tensão efetiva de campo e $\Delta e = e_0 - e_{\sigma^2v0}$. Os autores justificam que uma variação no volume de vazios inicial (Δe) é mais prejudicial a estrutura do solo quanto menor for o índice de vazios inicial (e_0) sendo então sugerido usar $\Delta e/e_0$ como parâmetro de classificação de qualidade da amostra. A Tabela 14 apresenta a referida proposta de classificação.

Tabela 14 -	Critério de	avaliação	de amolgamento/o	qualidade de amostras.
I abcia it -	CITICITO GC	a vanação v	uc amorgamento, c	juanuauc uc amostia.

OCR	$^{\Delta \mathrm{e}}/_{e_0}$			
	Vary good to excellent	Good to Fair	Poor	Vary poor
1 – 2	<0,04	0.04 - 0.07	0,07 - 0,14	>0,14
2 – 4	<0,03	0,03 - 0,05	0,05 - 0,10	>0,10

Fonte: Lunne *et al.* (1997)

Coutinho *et al.* (1998), Coutinho (2007) e Oliveira (2002) considerando a proposta de Lunne *et al.*, (1997) muito rigorosa para as argilas plásticas brasileiras, propôs uma adaptação do critério, conforme apresentado na Tabela 15.

Tabela 15 - Critério de classificação da qualidade do corpo de prova— Argilas moles de Recife

OCR	$^{\Delta \mathrm{e}}/e_{\mathrm{o}}$			
	Vary good to excellent	Good to Fair	Poor	Vary poor
1 – 2,5	<0,05	0,05 - 0,08	0,08 - 0,14	>0,14

Fonte: Coutinho et al. (1998), Oliveira (2002) e Coutinho (2007).

Os parâmetros de compressibilidade são fortemente influenciados pela qualidade da amostragem. O amolgamento afeta a curva de compressão de ensaios oedométricos em argilas pré-adensadas da seguinte forma (LADD, 1973):

- Diminui o índice de vazios (ou aumenta a deformação) para um valor de tensão de consolidação;
- Torna de difícil definição o ponto de menor raio de curvatura e consequentemente a determinação da tensão de pré-adensamento;
- Diminui o valor estimado da tensão de pré-adensamento para o método de Casagrande; e,
- Aumenta a compressibilidade na região de recompressão e diminui na região de compressão virgem.

A Figura 34 mostra curvas de adensamento de boa e má qualidade para os depósitos argilosos estudados por Coutinho (1986); Coutinho *et al.* (1998) e Ferreira e Coutinho (1988).

4,5 Boa Oual - Ibura e Boa Qual - Sarapui Má Qual - Ibura Má Qual - Sarapu Boa Qual. - Intern. Boa Qual. - Jutura Má Qual - Intern. Índice de Vazios (e) indice de Vazios (e) 1,5 1,5 0,5 100 1000 10000 10 100 1000 10000 log Pressão (kPa) log Pressão (kPa)

Figura 34 - Curvas comparativas e vs. Log (p) para 'a' Ibura e Internacional e 'b' Sarapuí e Juturnaíba.

Fonte: Ferreira e Coutinho (1988); Coutinho (1986) e Coutinho et al. (1998).

2.5.1 Correção da Curva de Compressibilidade

2.5.1.1 Proposta de Schmertmann (1955)

Diante da dificuldade de obter parâmetros geotécnicos confiáveis nas amostragens de má qualidade, Schmertmann propôs em 1955 um procedimento para correção da curva de compressibilidade, Figura 35, tornando-se mais próxima de uma amostra indeformada.

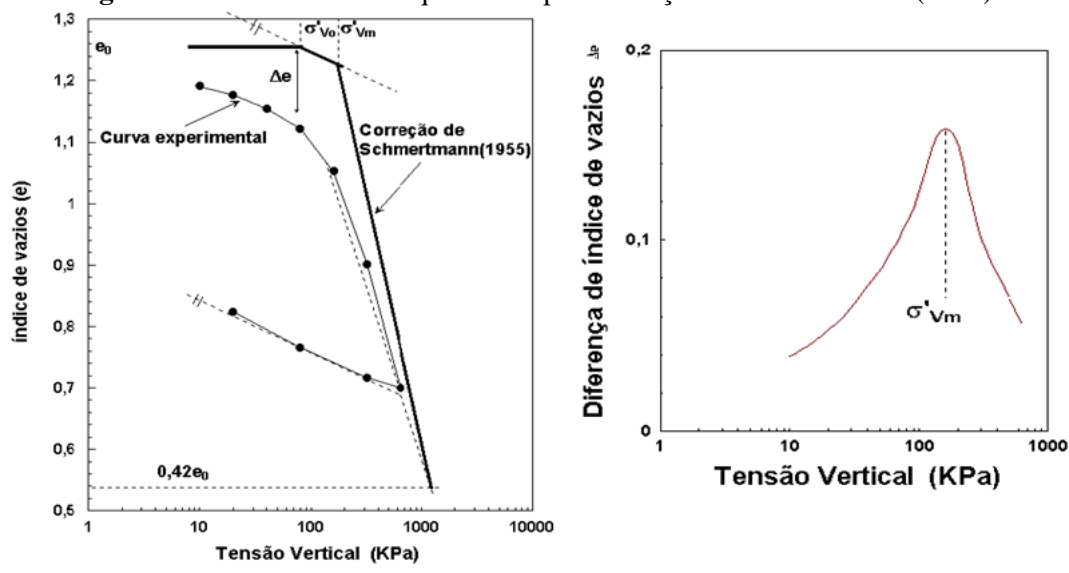


Figura 35 - Procedimento esquemático para correção de Schmertmann (1955)

Fonte: Oliveira (2002)

O procedimento para correção da curva de compressibilidade proposto por Schmertmann segue as seguintes etapas:

 A partir do índice de vazios inicial (e₀) traçar uma reta horizontal até atingir a tensão vertical efetiva de campo (σ'v₀);

- 2. Traçar uma paralela ao trecho de descarregamento do ensaio passando pelo ponto (e₀, σ'v₀);
- Adotar um valor da tensão de pré-adensamento (σ'vm) igual ou superior ao obtido no ensaio e marcar este valor na reta paralela da etapa 2;
- 4. Traçar uma linha reta a partir do ponto marcado na etapa 3 até o ponto da curva ou seu prolongamento correspondente ao índice de vazios igual a 0,42 eo; e,
- 5. Calcular as diferenças entre os índices de vazios da curva experimental e corrigida, plotando os valores em função do log σ'v. Se o valor da tensão de pré- adensamento estiver correto o gráfico da diferença será simétrico em relação a σ'vm. Caso contrário adotar outro valor para σ'vm e repetir as etapas 3 a 5.

2.5.1.2 Proposta de Oliveira (2002)

Oliveira (2002) desenvolveu uma metodologia para correção da curva de compressibilidade e tensão de pré-adensamento em parceria com o GEGEP/UFPE e com a COPPE/UFRJ. O referido autor propõe a utilização de procedimento operacionalmente mais simples, quando comparado com o de Schmertmann, além de ser baseado na utilização de banco de dados regionais.

Oliveira (2002) desenvolveu o ábaco, apresentado na Figura 36, no qual são apresentadas curvas correlacionadas à razão entre o índice de vazios final e índice de vazios inicial (e_r/e₀) versus o índice de vazios inicial (e₀), para cada uma das tensões normalmente utilizadas em laboratório (5, 10, 20, 40, 80, 160, 320, 640 e 1280 kPa). A Tabela 16 exibe as equações para o ábaco de Oliveira (2002).

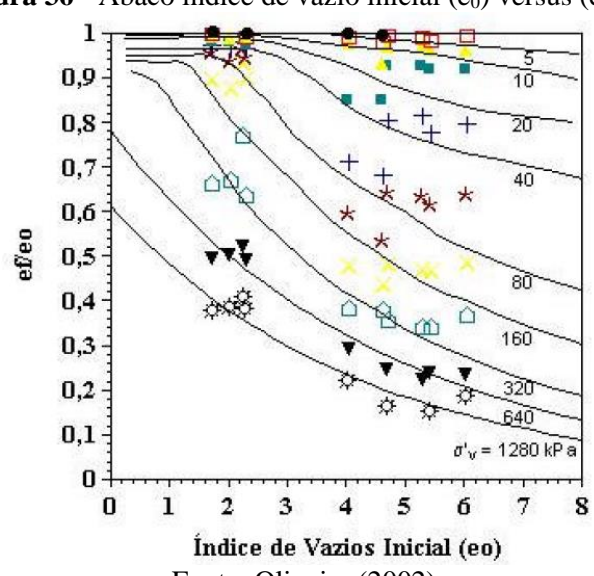


Figura 36 - Ábaco índice de vazio inicial (e_0) versus (e_f/e_0) .

Fonte: Oliveira (2002)

Tabela 16 - Equações para estimar curva oedométrica a partir do índice de vazios inicial (e₀) - Modificado do ábaco de Oliveira (2002)

Tensão aplicada (kPa)	Equação para relação e _t /e ₀	
2,5	$(-0.0014 e_0) + 1$	
5	$(-0.0012 e_0) + 0.99$	
10	$(0.002 e_0^2) - (0.0228 e_0) + 1.02$	
20	$(-0.066\ln(e_0)) + 1.01$	
40	$(-0.166\ln(e_0)) + 1.05$	
80	$(-0.283\ln(e_0)) + 1.09$	
160	$(-0.372\ln(e_0)) + 1.09$	
320	$(-0.343\ln(e_0)) + 0.92$	
640	$(-0.320ln(e_0)) + 0.76$	
1280	$(-0.272\ln(e_0)) + 0.61$	

Fonte: Melo (2016).

A metodologia de construção da curva estimada consiste em:

- 1) Identificar o índice de vazios inicial (e0) da amostra cuja curva será construída;
- 2) Entrar no ábaco com o índice de vazios inicial e determinar a relação e_f/e₀ para cada uma das tensões normalmente utilizadas no ensaio;
- 3) Calcular o índice de vazios final (e_f) para cada estágio de carga; e,
- 4) Construir a curva oedométrica estimada.

Oliveira (2002) ressalta que a correção de Schmertmann (1955) tem o objetivo de obter a curva de campo, enquanto o ábaco proposto por ele tem o objetivo de construir curvas equivalentes as de boa qualidade experimentais, que não estão livres de amolgamento ainda que pequeno. Por este motivo as curvas corrigidas pela metodologia de Schmertmann (1955) situam-se sempre acima das curvas de boa qualidade e consequentemente das curvas construídas a partir do ábaco proposto.

2.5.1.3 Coutinho (2007)

Coutinho (2007) apresentou em sua proposta correlações entre a razão de compressão (CR) e a razão de pré-adensamento (OCR) em função da deformação volumétrica (ενο) para o depósito do SESI-Ibura. Verificou-se que os valores de CR e OCR diminuem fortemente quando ενο aumenta e que existe um limite mínimo para valores de CR (20%) e para os valores de OCR (0,25), nos quais as amostras estão quase totalmente amolgadas. Este tipo de correlação pode ser útil para uma correção aproximada dos valores de CR e OCR (ou σ'νm), quando for considerada a qualidade de amostras em projetos práticos, ou seja, estas de má qualidade, podem ser corrigidas segundo a equiparação proposta e utilizada para os cálculos de projetos.

O autor ressalta ainda que a interpretação dos parâmetros deve ser feita por camada, sendo elaborada para cada camada estudada uma correspondência.

As Figuras 37 e 38 apresenta as curvas de CR e OCR vs ενο propostas por Coutinho *et al.* (1998) para o SESI-Ibura, Recife –PE.

CR = 13 +60 satisfatória 50 CR (%) 40 muito boa a excelent Lunne et al. (1997 **3**0 local boa a regular (Lunne et al. (**2**0 transição (experiênc pobre / muito pobre **1**0 $\mathbf{0}$ 3 20 5 15 25 10 ε_{v0} (%)

Figura 37 - Curvas de CR vs ε_{vo} para os depósitos do SESI-Ibura, Recife-PE.

Fonte: Coutinho et al. (1998).

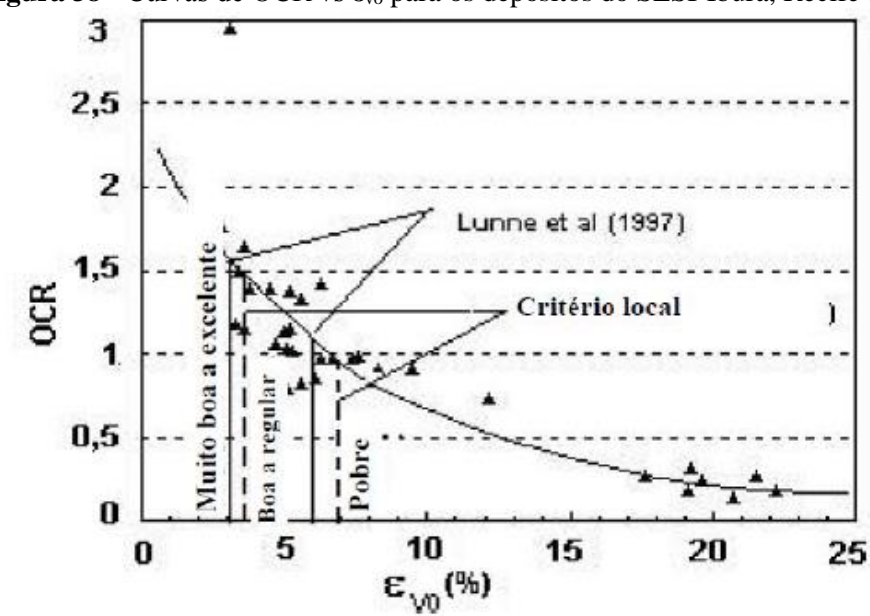


Figura 38 - Curvas de OCR vs ϵ_{vo} para os depósitos do SESI-Ibura, Recife-PE

Fonte: Coutinho et al. (1998)

3 DEPÓSITOS DE ARGILA MOLE NA CIDADE DO RECIFE

Neste capítulo será mostrada uma revisão da literatura referente aos depósitos de solo mole do Recife. Serão exibidas as principais características geotécnicas dos depósitos de solo mole baseados em dados de cinquenta locais da cidade: identificação, caracterização, adensamento e resistência, além de correlações estatísticas entre C_c x e_0 , C_c x W_n e e_0 x W_n .

3.1 SÍNTESE DAS CARACTERÍSTICAS GEOTÉCNICA DOS DEPÓSITOS DE ARGILAS MOLES DO RECIFE

Os depósitos de argila/solos orgânicos de consistência mole a média encontrados em cerca de 50% da área da planície do Recife, muitas vezes em subsuperfície, são depósitos flúvio-lagunares ou de mangues, argilo-siltosos com presença de matéria orgânica, formados durante a penúltima transgressão (Pleistoceno) e última transgressão marinha (Holoceno), apresentado idade máxima de 10.000 anos. A planície é limitada pelo mar e pela formação Barreiras, cuja deposição ocorreu no período pré-quaternário (LIMA FILHO e ALHEIROS, 1990).

A planície do Recife é predominantemente composta por solos argilosos orgânicos moles que, devido a reduzida altitude da planície em relação ao nível do mar, encontram-se geralmente saturadas. Entretanto, em consequência dos mecanismos de formação do solo, é frequente a presença de turfas, siltes, conchas e outros tipos de materiais.

As argilas orgânicas moles do Recife têm sido objeto de investigações de vários autores. Os perfis dos solos dos bairros do Derby foram analisados por Carvalho (1975), Soares (1975) e Teixeira (1972), do bairro do Bongi por Teixeira (1972); da Madalena por Amorim Júnior (1975), Coutinho (1980), Ferreira (1982), Ferreira *et al.* (1986), Ferreira e Coutinho (1988), Oliveira (1991, 2000, 2002) Teixeira (1972) no bairro da Caxangá, Ferreira e Coutinho (1988), do bairro de Dois Irmãos por Bello (2004) e no bairro Chão de Estrelas por Cadete (2016) e Rocha (2016).

O grupo de Geotecnia do Departamento de Engenharia Civil da Universidade Federal de Pernambuco, vem desenvolvendo, desde 1978, sob a coordenação do Prof. Roberto Quental Coutinho, um programa de pesquisa dos depósitos de argilas moles da cidade do Recife, coletando e analisando dados de ensaios de campo e laboratório de várias áreas da planície, (SESI Ibura, Clube Internacional, Madalena, Boa Viagem, entre outros) e formando um extenso banco de dados com informações geotécnicas de identificação, caracterização, adensamento, resistência e correlações estatísticas gerais dos parâmetros geotécnicos dos solos do Recife.

O universo do Banco de Dados dos solos do Recife estão sendo constantemente ampliados através do cadastramento, locação e análise de casos de problemas práticos da região.

Nos tópicos subsequentes serão exibidos a síntese das características geotécnica dos depósitos de argilas moles do Recife.

3.1.1 Perfis Típicos

No artigo intitulado "<u>Identificação e Classificação de Perfis Típicos de Solos na Planície do Recife</u>", apresentado no COBRAMSEG 2016 pelos autores: Manoely Oliveira, Felipe Rocha, Silvio Romero Ferreira e Joaquim Teodoro Oliveira, foram elaborados perfis típicos de solos da Cidade do Recife e agrupados de acordo com a granulometria e espessura das camadas. Este artigo é uma atualização e complementação de estudos anteriores como Coutinho (1980), Ferreira e Coutinho (1988) e Coutinho e Oliveira (2000).

No referido artigo, foram compilados 188 perfis de sondagem localizados em 21 da planície do Recife. Destes, 160 encontram-se sobre a rodovia BR-101/Recife, e foram fornecidos pelo Departamento Nacional de Infraestrutura e Transportes. 21 foram obtidos de Azevedo Filho (2015), 06 de Ferreira e Coutinho (1988) e 01 de Cadete (2016).

O resumo dos perfis e suas faixas de espessuras das camadas são mostrados na Figura 39. A quantidade e a porcentagem de cada perfil pode ser observada na Tabela 17. Foram catalogados: 25% de perfil típico I, 68% do tipo II, 3% do tipo III e 4% do tipo IV.

Tabela 17 - Quantidade e porcentagem dos perfis típicos da Planície do Recife/PE

PERFIL TÍPICO		•							
Quantidade	30	6	12	62	7	58	6	3	4
Porcentagem	16"%	3"%	6''%	33"%	4"%	31"%	3"%	2"%	2%

Fonte: Oliveira et al. (2016).

Figura 39 - Perfis típicos observados e suas faixas de espessuras das camadas na Planície do Recife/PE.

PERFIL I A	ESPESSURA (m)	PERFIL II A	ESPESSURA (m)	PERFIL III	ESPESSURA (m)
ATERRO	0,00 - 2,00	ATERRO	0,00 - 2,30	ATERRO	0,00 - 1,00
AREIA	0,95 - 22,25	SILTE	0,00 - 5,85	AREIA	17,68 - 44,62
TURFA	0,00 - 2,96	ARGILA	0,50 - 8,35	SILTE	0,00 - 3,90
ARGILA	0,40 - 9,00	TURFA	0,00 - 10,30	AREIA	0,00 - 6,50
AREIA	0,30 - 20,50	AREIA	0,15 - 33,10		
SILTE	0,00 - 4,50	ARGILA	0,00 - 9,95		
ARGILA	0,00 - 8,81	AREIA	0,00 - 28,75	PERFIL IV A	ESPESSURA (m)
				AREIA	0,00 - 3,30
				ARGILA	1,90 - 6,20
PERFIL I B 1	ESPESSURA (m)	PERFIL II B 1	ESPESSURA (m)	AREIA	3,40 - 7,90
ATERRO	0,00 - 2,00	ATERRO	0,00 - 2,70	TURFA	11,85 - 24,40
AREIA	4,73 - 15,80	ARGILA	11,60 - 20,60	AREIA	0,90 - 9,18
ARGILA	11,00 - 28,00	AREIA	0,00 - 10,55	TURFA	0,00 - 10,10
AREIA	0,00 - 15,00	ARGILA	0,00 - 9,95		
		AREIA	0,00 - 11,44		
				PERFIL IV B	ESPESSURA (m)
PERFIL I B 2	ESPESSURA (m)			ATERRO	0,00 - 2,70
ATERRO	0,00 - 2,30	PERFIL II B 2	ESPESSURA (m)	ARGILA	2,00 - 6,13
AREIA	1,10 - 7,90	ATERRO	0,00 - 2,78	TURFA	2,17 - 4,30
ARGILA	1,03 - 9,48	ARGILA	0,75 - 7,93	ARGILA	1,90 - 8,33
AREIA	1,70 - 7,88	TURFA	0,00 - 8,00	TURFA	0,00 - 3,10
ARGILA	11,00 - 28,88	AREIA	1,60 - 13,20		
	-	ARGILA	10,03 - 31,12		
		AREIA	0,00 - 16,67		

Fonte: Oliveira et al. (2016).

Oliveira *et al.* (2016) ainda explicam que no subsolo recifense as turfas podem ser encontradas em diferentes localidades e se apresentarem misturadas a outras camadas mais grosseiras como argila e areia ou em camadas bem definidas de espessuras diversas. Também foi possível observar a presença de conchas misturadas à camadas de argila e areia nos perfis analisados. Gusmão Filho e Amorim Jr (1998) afirmam que a presença de conchas de origem marinha é comum no subsolo recifense, aparecendo concentradas no perfil abaixo dos terraços marinhos, originados no Quaternário pela flutuação do nível do mar. Este material foi encontrado nos bairros do Curado (5 furos de sondagens), Cidade Universitária (10 furos de sondagens), Iputinga (1 furo de sondagem), Boa Viagem (1 furo de sondagem), e na Ilha do Retiro (1 furo de sondagem). Foram encontrados nos perfis típicos IA (2), IB-2 (3), IIA (12), IIB-2 (1).

Na Figura 40 apresentada por Coutinho *et al.* (2000) e Bello (2004) são exibidos quatro perfis geotécnicos típicos de solos moles da planície do Recife. Pode-se observar uma camada superior de aterro/areia, a estratificação dos depósitos de solos moles, e a existência de areias argilosas e/ou solos orgânicos. Estas características dos depósitos moles, em princípio, aumenta

o número de amostras/ensaios necessários a um projeto adequado. Em geral a consistência da argila é mole, mas camadas com consistência média também ocorrem. O nível d'água é normalmente localizado entre 0 e 2m de profundidade.

O NAAterroSPT SPT Aterro Aterro Areia Argila 2/45 Argila Turfa 3/40 5 1/63 Areia W/100 19 Siltosa Argilosa 1/50 13 W/230 2/54 Argila orgânica Siltosa (1) 2/58 - Argila siltosa 10 2 1/46 Profundidade (m) W/200 Orgânica 10 2/55 1/34 turfa con W/220Argila 2 1/45 15 Arenosa P/24 orgânica 2/54 1/31 Solo 2/52 W/215 2 Orgânico P/108 15 6 Argila 2/48 1/50 P/141 20 Siltosa (2) Siltosa (2 Orgânica W/200 P/134 Argila Orgânica 15 orgânica 3/61 P/131 3/46 1/39 20 Argila 25 25 8 2 4/54 Arenosa 3/33 kreia média Argila/Arei<u>a/45</u> Areia 16 Argilosa Areia Clube Internacional Cajueiro SESI-Ibura Boa Viagem Galpão BR-101

Figura 40 - Perfis geotécnicos típicos da planície do Recife.

Fonte: Coutinho et al. (2000) e Bello (2004).

Variação significativa no perfil obtido tem sido observada na planície do Recife em pequenas distâncias. Entretanto, parece existir tendência de que, à medida que se desloca do litoral para o interior a espessura da camada de argila tende a crescer. Os valores do ensaio de N_{SPT} obtidos nas sondagens catalogadas apresentam um máximo de 4 e em geral entre 0 e 2 golpes independentemente do tipo de perfil (COUTINHO *et al.*, 2000).

3.1.2 Índices Físicos

A Figura 41 apresenta a carta de plasticidade com os resultados de ensaios de laboratório para as argilas moles/média e solos orgânicos/turfas do Recife. Resultados do depósito de solos moles de Juturnaíba – RJ são também mostrados. Os solos foram divididos em quatro grupos: areia, silte, argilas orgânicas, e turfas/solos orgânicos, usando a ferramenta de criação de subgrupo (COUTINHO e LACERDA, 1987). Na carta foram incluídas proposta de intervalos para argilas orgânicas e inorgânicas e turfas.

Pode-se observar nesta carta que os resultados das argilas moles/médias de Recife estão em torno da linha A, com limite de liquidez (W_L) variando entre 23% a 235% e o índice de plasticidade (IP) variando entre 5 e 148%. Os resultados dos solos orgânicos de Recife e Juturnaíba estão abaixo da linha A e em torno dos intervalos propostos na literatura. O W_L está entre 175 e 235% e IP entre 40 e 120% (Recife). Os valores de umidade natural (W_N)

encontram-se entre 18 e 215% (argilas moles/médias) e entre 180 e 800% (solos /orgânicos/turfas) (COUTINHO *et al.*, 1998).

200 Argilas Orgânicas Linha - A * Argilas Siltosas Índice de Plasticidade (%) ▲ Argilas Arenosas ■Solos Orgânicos/Turfas △ Solos Org. Juturnaiba 150 Argilas Inorgânicas (Nagaray and Javadeva,1983) Turfas (Perrin, 1974) 50 Siltes e Argilas Orgânicas (Perrin, 1974) 0 50 100 0 200 250 300 400 150 350 Limite de Liquidez (%)

Figura 41 - Carta de Plasticidade – Resultados de solos moles de Recife e de Juturnaíba.

Fonte: Coutinho et al. (1998).

Segundo Ferreira e Coutinho (1988) a umidade natural das argilas do Recife apresentam-se na faixa de 30 a 110%. Os depósitos de solos orgânicos/turfas apresentam maiores umidades naturais (valor máximo da ordem de 500%). O limite de liquidez em geral próximo da umidade natural, sendo em algumas profundidades pouco inferior a umidade natural. O índice de plasticidade, em geral, mostra-se na faixa de 20 a 60%. A massa específica dos sólidos e dos grãos se situam na faixa de 14 a 19 kN/m³ e 25,1 a 26,8 kN/m³ respectivamente para solos argilosos e entre 10 a 15kN/m³ e 17 a 22 kN/m³ para solos orgânicos/turfas. Tabela 18.

Ressalta-se que esses locais foram investigados na época em que se utilizavam secagem prévia das amostras que ocasiona o aumento dos valores encontrados para o limite de liquidez. Atualmente, este procedimento não é recomendado.

Tabela 18 - Faixa de variação de valores e índices físicos por local investigado

	Tubell 10 Tubell									
		Análise		Limite	es de					
	Profundidade	gra	nulomét	rica	consist	tência		Índic	ces físicos	
Local			(%)		(%)				
	ensaiada (m)		a:14a	aua:1a	1171	ID	W		ρ	$\rho_{\rm s}$
		areia	silte	argila	WL	IP	(%)	e_0	(kN/m^3)	(kN/m^3)
Madalena	6-24	1-24	18-26	50-81	17-62	23-	43-	1,06-	14,7-	25,7-
I-16C	0-24	1-24	16-20	30-81	17-02	53	99	2,42	17,7	26,5
Bongi	4,5-20	3-31	13-31	39-69	63-71	18-	27-	0,71-	16,2-	25,9-
II-16G	4,5-20	3-31	13-31	37-07	03-71	44	73	1,93	19,5	26,7
Boa						23-	32-	0,86-	14,3-	25,0-
Viagem	10-18,6	7-49	24-44	12-67	25-60	36	90	2,33	19,1	26,7
III-28A						30	<i>9</i> 0	2,33	19,1	20,7
Caxangá	4-10	16-69	15-43	16-50	34-	8-29	28-	0,72-	13,1-	18,9-
IV-9A	4-10	10-09	13-43	10-30	107	0-29	212	3,38	19,8	26,1
Estância	3,5-13	16-79	11-23	10-61	96-	43	77-	2,22-	11,0-	24,6-
V-21A	3,3-13	10-79	11-23	10-01	124	43	518	14,39	14,7	26,5
Cajueiro	4-10,5	•				•	145-	2,65-	11,0-	18,0-
VI-37A	4-10,3	-	-	-	-	-	512	9,33	12,0	19,6

Fonte: Coutinho e Ferreira (1998)

A Figura 42 apresenta o perfil geotécnico de duas áreas de pesquisa da planície do Recife, Clube Internacional e SESI Ibura (COUTINHO e OLIVEIRA, 1997). No depósito do SESI Ibura a umidade natural é bem próxima do limite de liquidez. No Clube Internacional verifica-se maiores diferenças, entre 6 e 16m de profundidade. Uma explicação para essa diferença seria a realização de ensaios de caracterização com secagem prévia, visto que se trata de uma investigação mais antiga e esta era a prática da época.

 γ , $\gamma_S (kN/m^3)$ 100 100 200 Perfil Geotécnico Perfil Geotécnico ▲ Coutinho, 1978-1980 - Aterro γ grãos + LP • LP □ LL A WN Ferreira, 1982 ▲ γ solo DLL Aterro Areia Oliveira, 1991 Argilosa Turfa 3/40 1/63 2/54 Argila Siltosa Orgânica (1) P/230 Argila Siltosa Orgânica (1) 2/58 1/46 P/200 10 2/55 2/54 P/215 15 P/200 3/46 P/195 20 3/33 Areia Areia 4/45 Argilos Umidades Peso Específico Umidades Peso Específico (Clube Internacional) SESI - Ibura

Figura 42 - Resultados dos ensaios de caracterização – Clube Internacional e SESI Ibura.

Fonte: Coutinho e Oliveira (1997).

3.1.3 Matéria Orgânica

A quantidade (teor) e a qualidade (tipo e grau de decomposição) da matéria orgânica condicionam fortemente o comportamento dos solos orgânicos (BELLO, 2004).

Bello (2004) explica que a umidade natural dos solos cresce com a presença da matéria orgânica, devido à grande capacidade de absorção de água da matéria orgânica. Esta, quando pouco decomposta (textura fibrosa) apresenta os maiores valores. Os solos denominados normalmente de turfas (solos altamente orgânicos de origem vegetal), quando puras e "saturadas" geralmente apresentam umidade entre 500 e 1.500%, podendo ocorrer valores maiores e grande variedade erraticamente dentro de pequenos comprimentos.

Teixeira (1972) obteve teores de matéria orgânica em depósitos de argila mole do Recife para profundidades 20 a 30 metros da ordem de 0-5%, enquanto nas profundidades de 0 a 20 metros encontrou teores de 5-10%.

Analisando seus resultados, Teixeira (1972) apresentou três estágios distintos que passa a matéria orgânica nos solos. O primeiro, num nível mais superficial, a matéria orgânica é composta por restos de vegetal e animal, incluindo microrganismos e produtos em fase de decomposição. Numa faixa intermediária a matéria orgânica apresenta-se em plena decomposição orgânica, onde ácidos, álcoois, aldeídos e bases orgânicas serão absorvidos ou incorporados às partículas de argila. Por fim, na faixa mais profunda a matéria orgânica está praticamente mineralizada, não por outro motivo, quanto maior a profundidade menor o percentual de TMO – Teor de Matéria Orgânica.

Coutinho (1986) em seus estudos no aterro experimental de Juturnaíba, indica que o índice de vazios dos solos orgânicos podem ser extremamente elevados (3 a 20) tendo a turfa fibrosa os maiores valores.

Os solos orgânicos podem ser classificados segundo a classificação geral do LPC (MAGNAN, 1968; PERRIN, 1974) em três grupos:

- 1) Solos pouco orgânicos, 3 < TMO < 10%, incluído na classe de solos finos;
- 2) Solos medianamente orgânicos, 10 < TMO < 30% e;
- 3) Solos muito orgânicos, TMO \geq 30%.

Os dois últimos formando a classe dos solos orgânicos. Os solos denominados de turfa estariam nesse grupo.

Massad (1994) comenta que ao longo de toda a costa brasileira tem sido reportados, em argilas moles, baixos teores de TMO, entre 3 a 10%, como ocorre no Rio de Janeiro, no Recife e em Vitória-ES.

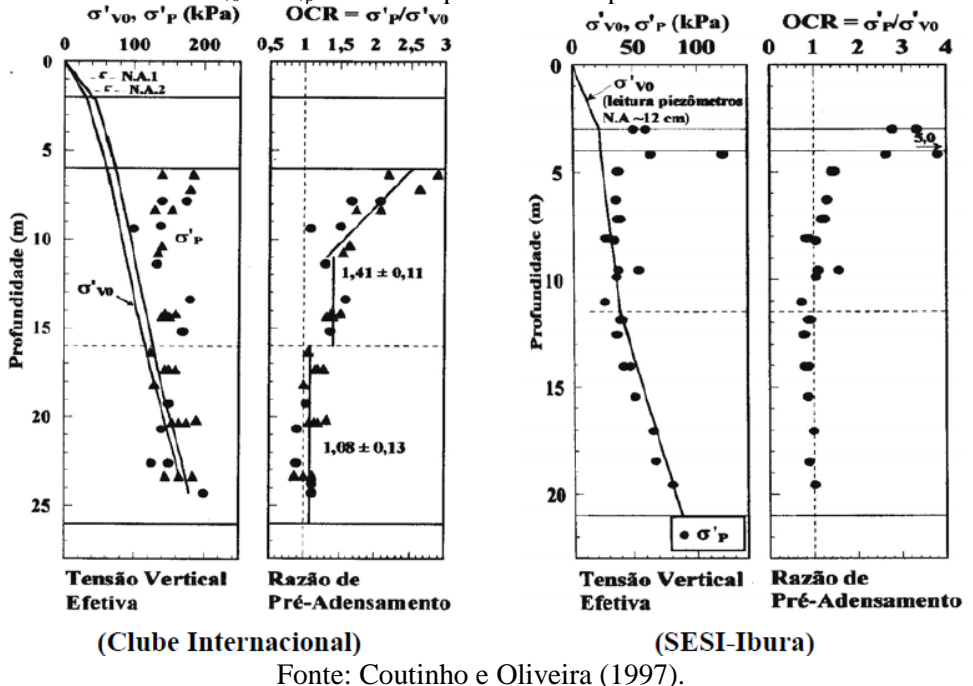
3.1.4 História de tensões

Segundo Coutinho e Oliveira (1994) e Coutinho *et al.* (1998), as argilas moles/médias e as turfas/solos orgânicos do Recife são ligeiramente pré-adensadas ($OCR \le 3,0$) ou levemente normalmente adensadas (OCR < 1,3) ao longo da profundidade. Sendo mais comum valores de OCR na faixa de 1 a 2,5.

Oliveira (2000) destaca que em alguns casos especiais, é possível que a determinação da tensão de pré-adensamento forneça um valor inferior a tensão efetiva de campo (OCR < 1). As possíveis causas deste subadensamento podem ser a dificuldade da amostragem (má qualidade dos corpos de prova) e/ou a colocação de um aterro recente (últimos 22 – 25 anos), o qual gerou um excesso de poropressão, que devido à baixa permeabilidade das camadas argilosas, pode ainda não ter sido totalmente dissipada.

A Figura 43 apresenta resultados de pressão vertical efetiva inicial (σ'_{v0}), pressão de pré-adensamento (σ'_{vp}) e OCR vs. profundidade dos depósitos representativos de argila do Recife - Clube Internacional e Sesi Ibura.

Figura 43 - Resultados de σ'_{v0} e σ'_{vp} e OCR vs profundidade para o Clube Internacional e SESI Ibura.



Pode-se observar que o depósito do Clube Internacional apresenta uma crosta préadensada (OCR de 1,3 a 2,9) e é geralmente subdividida em duas ou mais camadas, com tendência de diminuição do OCR com a profundidade até os 11m onde torna-se basicamente normalmente adensada com OCR = 1. Coutinho e Oliveira (1994) comentam que o

ressecamento da parte superior do depósito, o efeito do tempo (adensamento secundário) devido

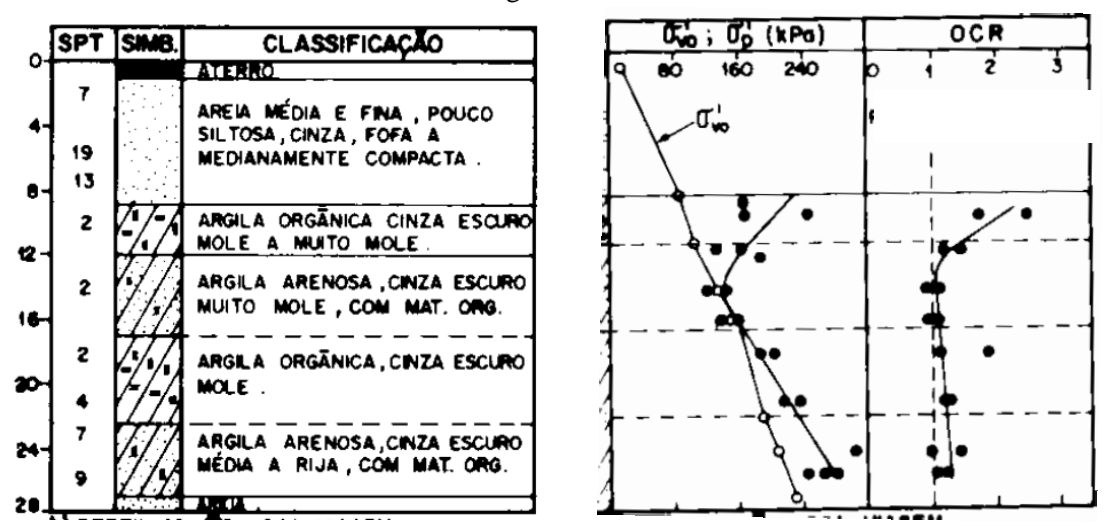
ao peso próprio do material e possivelmente a variação do nível d'água freático podem ser

causas de pré-adensamento no depósito. A presença eventual de uma camada de aterro bastante antiga entretanto, pode interferir nos resultados anteriores.

O depósito do Sesi Ibura apresenta a camada 1 como normalmente adensada e levemente pré-adensada, apresentando valores de OCR, em geral, menores que 3,0. Já a camada 2 apresenta valores de OCR menores que 1. Possíveis causas deste subadensamento observado podem ser a dificuldade na amostragem e/ou a colocação de um aterro recente (últimos 22 – 25 anos), o qual gerou um excesso de poropressão, que devidoà baixa permeabilidade das camadas argilosas, pode ainda não ter sido totalmente dissipada (OLIVEIRA, 2000).

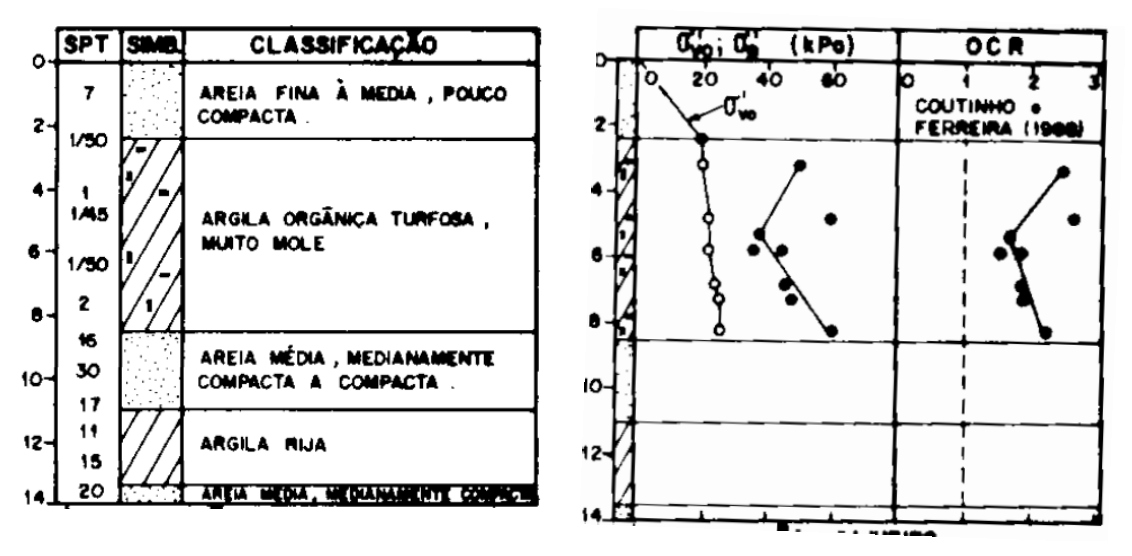
As Figuras 44 e 45 mostram os resultados de (σ'_{v0}) , (σ'_{vp}) e OCR vs. profundidade dos depósitos de Boa Viagem e Cajueiro, respectivamente.

Figura 44 - Resultados de σ'_{v0} e σ'_{vp} e OCR vs. profundidade para o depósito do bairro de Boa Viagem – Recife.



Fonte: Coutinho e Oliveira (1994).

Figura 45 - Resultados de σ'_{v0} e σ'_{vp} e OCR vs. profundidade para o depósito do bairro de Cajueiro – Recife.



|Fonte: Coutinho e Oliveira (1994).

Os perfis dos depósitos de Boa Viagem e Cajueiro são, em geral, normalmente adensados, conforme tendência geral das argilas do Recife, com o depósito do bairro de Cajueiro apresentando valores de OCR maiores (1,5 a 3).

3.1.5 Compressibilidade

Segundo Coutinho e Oliveira (1994) e Coutinho *et al.* (1998) o índice de compressão (C_c) dos depósitos argiloso do Recife está entre 0,1 e 2,8 para as argilas moles/médias e de 1,4 a 6,8 para turfas e solos orgânicos. É observado um crescimento dos valores de C_c com o aumento do índice de vazios inicial (e₀) e da umidade (W_n), com uma razoável correlação entre os parâmetros.

Coutinho *et al*. (1998) apresentam correlações estatísticas obtidas para as argilas moles de Recife-PE, através das quais podem-se estimar os parâmetros de compressibilidade C_c, C_s e e₀ a partir da umidade natural do solo W_n (%).

As correlações estão apresentadas graficamente nas Figuras 46 e 47 onde estão incluídos os resultados do depósito de Juturnaíba/ Rio de Janeiro (COUTINHO, 1986; COUTINHO e LACERDA, 1987) e das argilas do Recife.

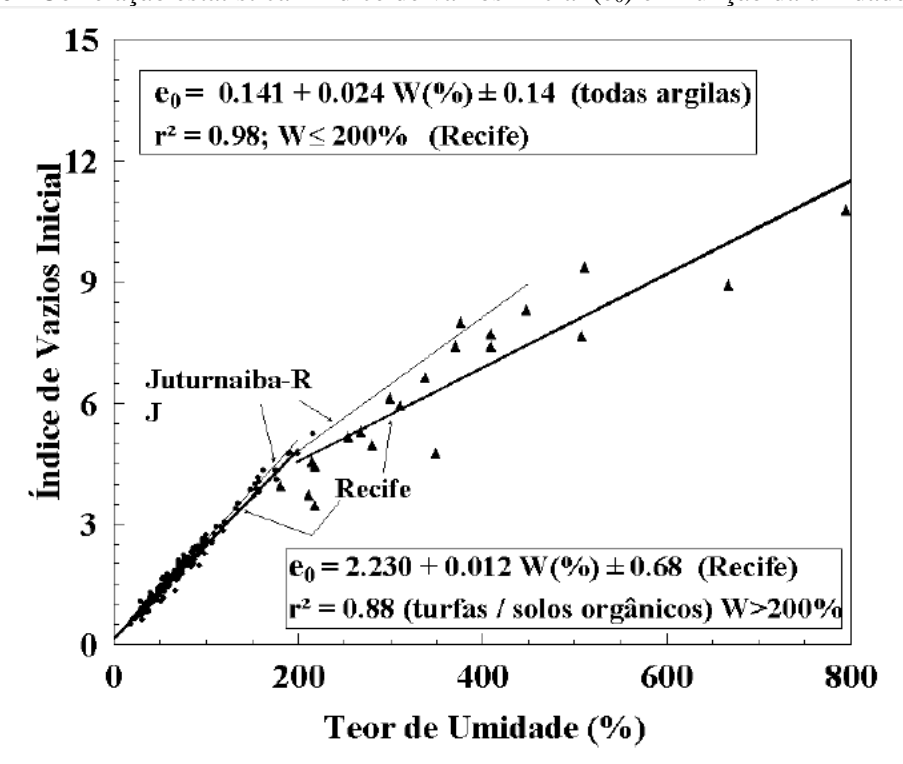


Figura 46 - Correlação estatística - índice de vazios inicial (e₀) em função da umidade (W%)

Fonte: Coutinho et al. (2000)

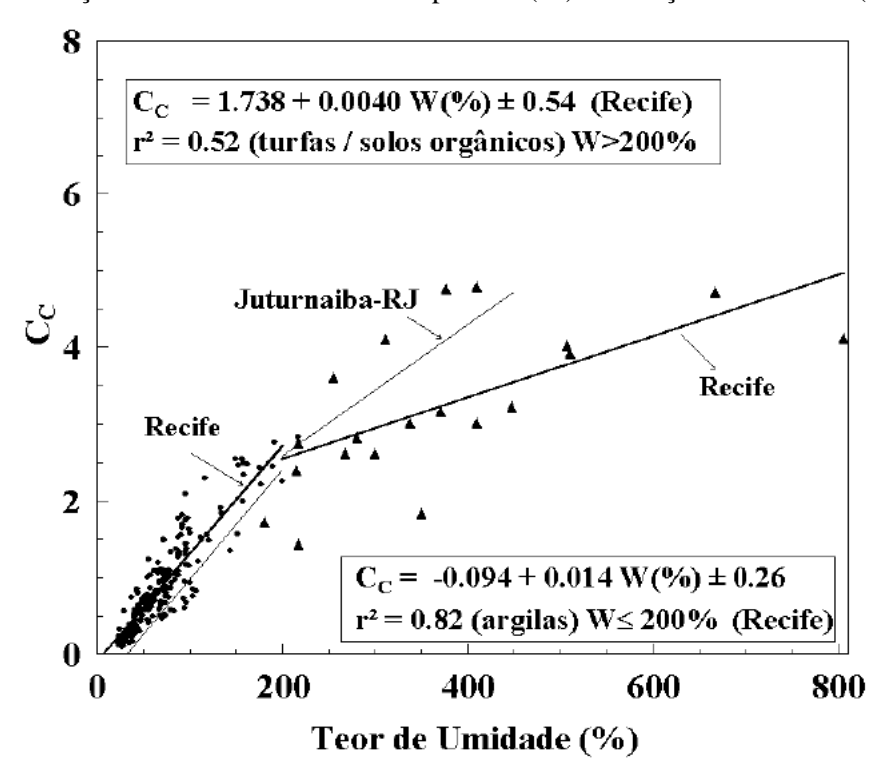


Figura 47 - Correlação estatística - índice de compressão (C_c) em função da umidade (W%)

Fonte: Coutinho et al. (2000)

A Tabela 19 resume as equações das correlações entre Wn, C_c e e_0 para as argilas do Recife.

Tabela 19 - Correlações estatísticas – solos orgânicos e argilas moles/médias – Recife/PE.

Solo	Correlação	Equação	r²	Desvio Padrão
	e _o vs. W(%)	$e_0 = 0.024 \text{ W} + 0.1410$	0,98	0,14
Argilas / Argilas Orgânicas	C _c vs. W(%)	$C_c = 0.014 \text{ W} - 0.0940$	0,82	0,26
$W \leq 200\%$	C _c vs. e ₀	$C_c = 0.586 e_0 - 0.165$	0,84	0,25
$e_0 \leq 4,0$	C_s vs. $W(\%)$	$C_s = 0,0019 \text{ W} + 0,0043$	0,80	0,04
	C_s vs. e_0	$C_s = 0.084 e_0 - 0.0086$	0,81	0,04
	e _o vs. W(%)	$e_0 = 0.012 \text{ W} + 2.230$	0,88	0,68
Solos Orgânicos / Turfas	C _c vs. W(%)	$C_c = 0,0040 \text{ W} + 1,738$	0,52	0,54
$W \geq 200\%$	C_c vs. e_0	$C_c = 0.411 \ e_0 + 0.550$	0,79	0,45
$e_0 \! \geq \! 4,\! 0$	C_s vs. $W(\%)$	$C_s = 0,0009 \text{ W} + 0,1590$	0,53	0,12
	C_s vs. e_0	$C_s = 0.055 e_0 - 0.0900$	0,62	0,10

Fonte: Coutinho et al. (1998).

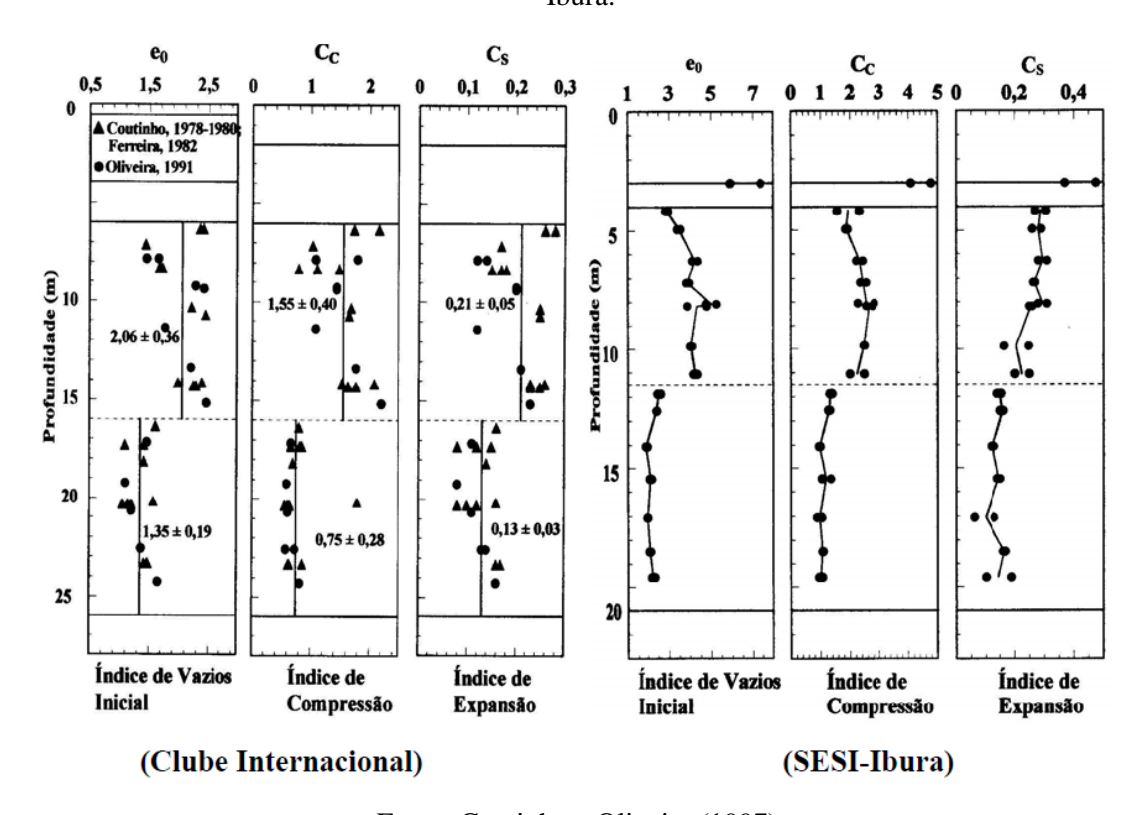
Segundo Coutinho e Bello (2005), as correlações estatísticas apresentadas na Tabela 19 foram desenvolvidas utilizando todos os resultados do banco de dados levantados pelo GEGEP/UFPE. Observa-se que as argilas apresentam coeficientes de correlação muito altos e menores desvios padrão (dispersão mais baixa) que as correlações para turfas e solos orgânicos. Este

fato decorre da maior dificuldade de obtenção de amostras de boa qualidade, junto com uma maior variabilidade desses solos.

Coutinho e Ferreira (1988) apresentam e comentam os valores de e₀, C_c e C_s obtidos nos ensaios oedométricos para quatro depósitos estudados. Os valores de índice de vazios inicial (e₀) estão entre 0,5 e 5,25 (argilas moles/médias) e entre 3,45 e 14,4 (turfas/solos orgânicos). O índice de compressão (C_c) está no intervalo entre 0,1 e 2,8 (argilas moles/médias), e entre 1,4 e 6,8 (turfas/solos orgânicos) que são valores muito altos. Os valores do índice de expansão (C_s) estão entre 0,02 e 0,46 (argilas moles/médias) e entre 0,11 e 0,85 (turfas/solos orgânicos). O coeficiente de adensamento vertical (C_v) está entre 20 e 70x10⁻⁸ m²/s no trecho pré-adensado e entre 0,5 e 10x10⁻⁸ m²/s no trecho normalmente adensado.

As Figuras 48 e 49 apresentam os parâmetros de compressibilidade e₀, C_c, C_s vs. profundidade para os quatro depósitos estudados. Pode-se verificar que tanto no depósito do Clube Internacional como no Sesi Ibura, o índice de vazios inicial (e₀), o índice de compressão (C_c) e o índice de expansão (C_s) apresentam valores maiores na primeira camada. O índice de compressão, por exemplo, da camada 1, é em média cerca de 2 vezes o da camada 2.

Figura 48 - Parâmetros de compressibilidade e_0 , C_c , C_s vs profundidade — Clube Internacional e Sesi Ibura



Fonte: Coutinho e Oliveira (1997).

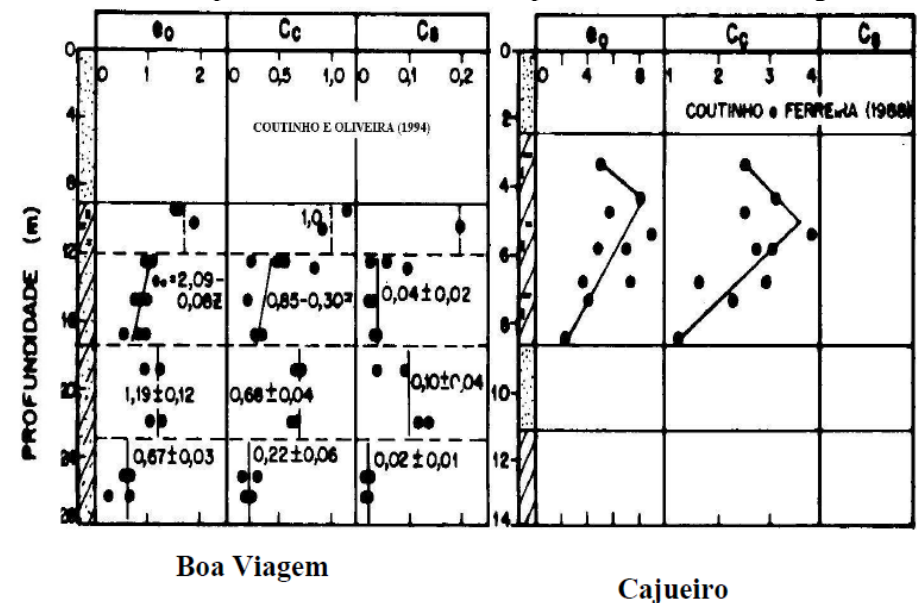


Figura 49 - Parâmetros de compressibilidade e₀, C_c, C_s vs profundidade – Boa Viagem e Cajueiro.

Fonte: Coutinho e Oliveira (1997).

3.1.6 Resistência Não Drenada

Em geral as argilas moles brasileiras apresentam resistência não drenada (Su) variando entre 5 a 60 kPa (faixa típica: 5 a 30 kPa). O depósito de argila mole do Recife situada no Clube Internacional apresenta um dos maiores resultados de Su (de 34 a 56 kPa) sendo classificado como de consistência média, em relação ao Su, apesar de ser classificado como mole pelo SPT (N_{SPT} = 2 a 4).

A Tabela 20 apresenta os resultados de Su obtidos através do ensaio palheta de campo para argilas do Recife, juntamente com os resultados de outras argilas brasileiras. A referida tabela também resume características de umidade natural e índice de plasticidade destes solos.

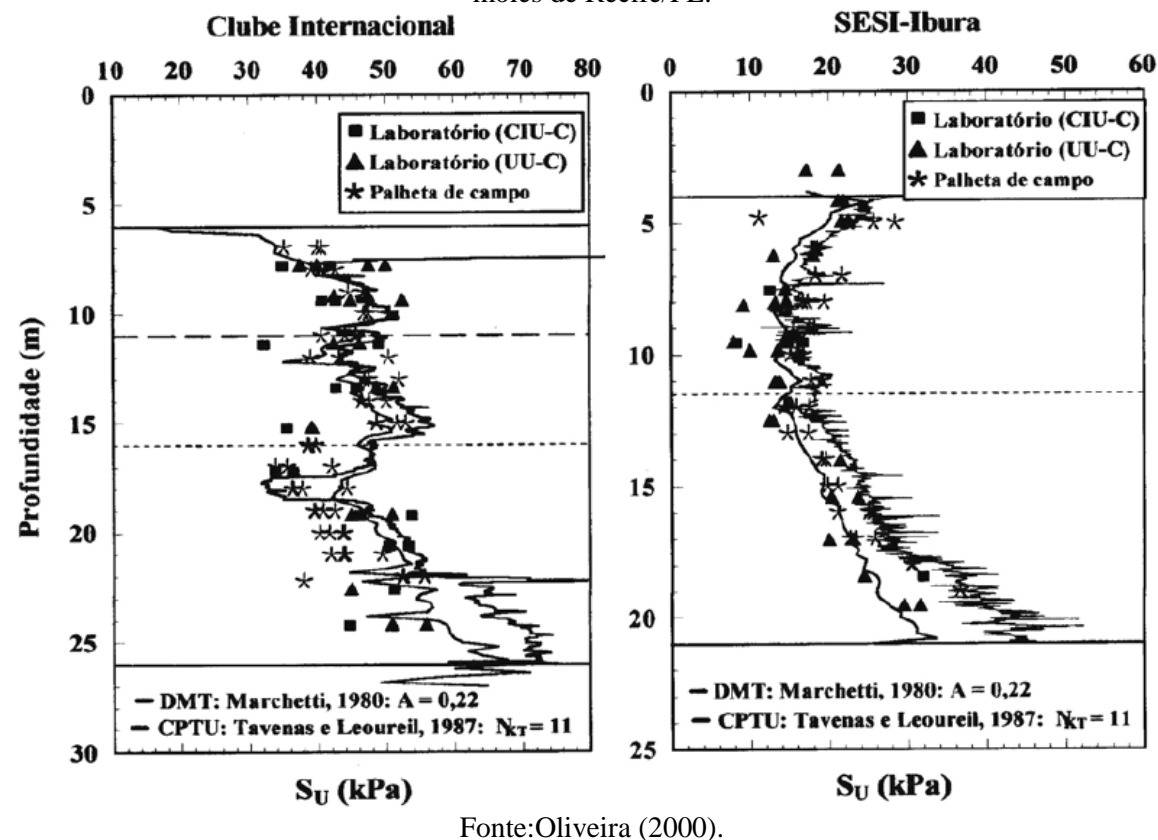
Tabela 20 - Valores de Su_{palheta}, IP e umidade natural para argila/solos orgânicos brasileiros.

Tubble 20 Valores de Supanicia, il e difficade fiatural para digita solos organicos oraș					
Local	Faixa Su (kPa)	IP (%)	W_n (%)	Referência	
Recife/PE (Clube Intern.)	34-56	33-70	45-100	Oliveira (2000)	
Recife/PE (SESI Ibura)	14-37	53-96	80-150	Oliveira e Coutinho (2000)	
Juturnaíba/RJ (aterro experimental)	6-36	27-100	46-153	Coutinho (1986)	
Juturnaíba/RJ (barragem – trechos II e V)	10-30	27-100	46-153	Coutinho et al. (1988)	
Juturnaíba/RJ (barragem – trecho III-2)	5-25	27-100	46-153	Coutinho et al. (1988)	
Sarapuí/RJ	7-22	30-110	100-170	Ortigão e Collet (1988)	
Porto Alegre/RS	10-32	40-80	50-130	Soares (1997)	
Barra da Tijuca/RJ	6-30	120-250	100-500	Lacerda e Almeida (1995)	
Itaípu/RJ	8-26	60-200	100-475	Sandroni et al. (1984)	
Santos/SP	10-60	15-90	90-140	Massad (1999)	
Sergipe	12-25	20-70	40-60	Sandroni et al. (1997)	
Enseada Cabritos/BA	9-17	50	65-110	Baptista e Sayão (1998)	
João Pessoa/PB	13-40	-	35-150	Conceição (1997) a partir de Soares (1997)	

Fonte: Coutinho et al. (2000a) e Oliveira (2000).

A Figura 50 mostra o perfil de Su obtidos com diferentes ensaios dos dois locais de pesquisa do GEGEP/UFPE. É possível observar uma boa concordância entre os ensaios, podendo-se assim, obter um perfil médio a ser utilizado na prática de projeto com as considerações técnicas adequadas, (OLIVEIRA, 2000).

Figura 50 - Perfil de Su obtidos a partir de EPC, Ensaios UU-C, CIU-C, CPTU e DMT para as argilas moles de Recife/PE.



3.1.7 Resumo Geral

Coutinho e Bello (2005) apresentam uma síntese geral das propriedades geotécnicas dos depósitos de solos moles do Recife subsidiadas pelo banco de dados desenvolvido pelo GEPEP/UFPE, contendo informações geotécnicas de 50 locais na cidade do Recife, com apresentação de resultados de identificação, caracterização, adensamento e resistência desses solos. A Tabela 21 simplifica a leitura dessas experiências ao longo da planície do Recife/PE.

Tabela 21 - Parâmetros geotécnicos das argilas do Recife

Parâmetros	Argilas moles/médias	Solos Orgânicos
Limite de Liquidez (W _L)	23 - 235%	175 – 235%
Índice de Plasticidade (IP)	5 – 148%	40 - 120%
Umidade Natural (W _n)	18 – 215%	180 - 800%
Índice de Vazios iniciais (e ₀)	0,5-5,25	3,45 – 14,4
Índice de Compressão (Cc)	0,1-2,8	1,4-6,8
Índice de Expansão (C _s)	0.02 - 0.46	0,11-0,85
Coeficiente de Consolidação Vertical (C_v) – trecho pré-adensado	$20 - 70 \times 10^{-8} \text{ m}^2/\text{s}$	-
Coeficiente de Consolidação Vertical (C_v) – trecho normalmente adensado	$0.5 - 10 \times 10^{-8} \text{ m}^2/\text{s}$	-
Resistência não-drenada (Su)	10 – 55 kPa	-
Densidade do solo (γ)	$10-20\ kN/m^3$	-
Densidade do sólido (γ _s)	$20-30\;kN/m^3$	-
Taxa de Matéria Orgânica (TMO)	0 – 15%	-

Fonte: Coutinho e Bello (2005)

4 CASO EM ESTUDO: LOCALIZAÇÃO DA ÁREA DE ESTUDO E CAMPANHA DE INVESTIGAÇÃO

Neste capítulo será mostrada a localização da área de estudo, a locação dos ensaios de campo e coleta de amostra indeformada. Também será exibida a metodologia de execução das sondagens/ensaios e um resumo da campanha de investigação e seus resultados.

4.1 LOCALIZAÇÃO DA ÁREA DE ESTUDO

O depósito de solo mole objeto do presente estudo está localizado na cidade do Recife no bairro do Curado entre a BR-101 e a Avenida Recife, no local de construção do Hospital da Mulher do Recife, Figura 51.

Os resultados dos ensaio de campo e laboratório foram fornecidos por empresas privadas, que foram contratadas para execução e fiscalização da referida obra.

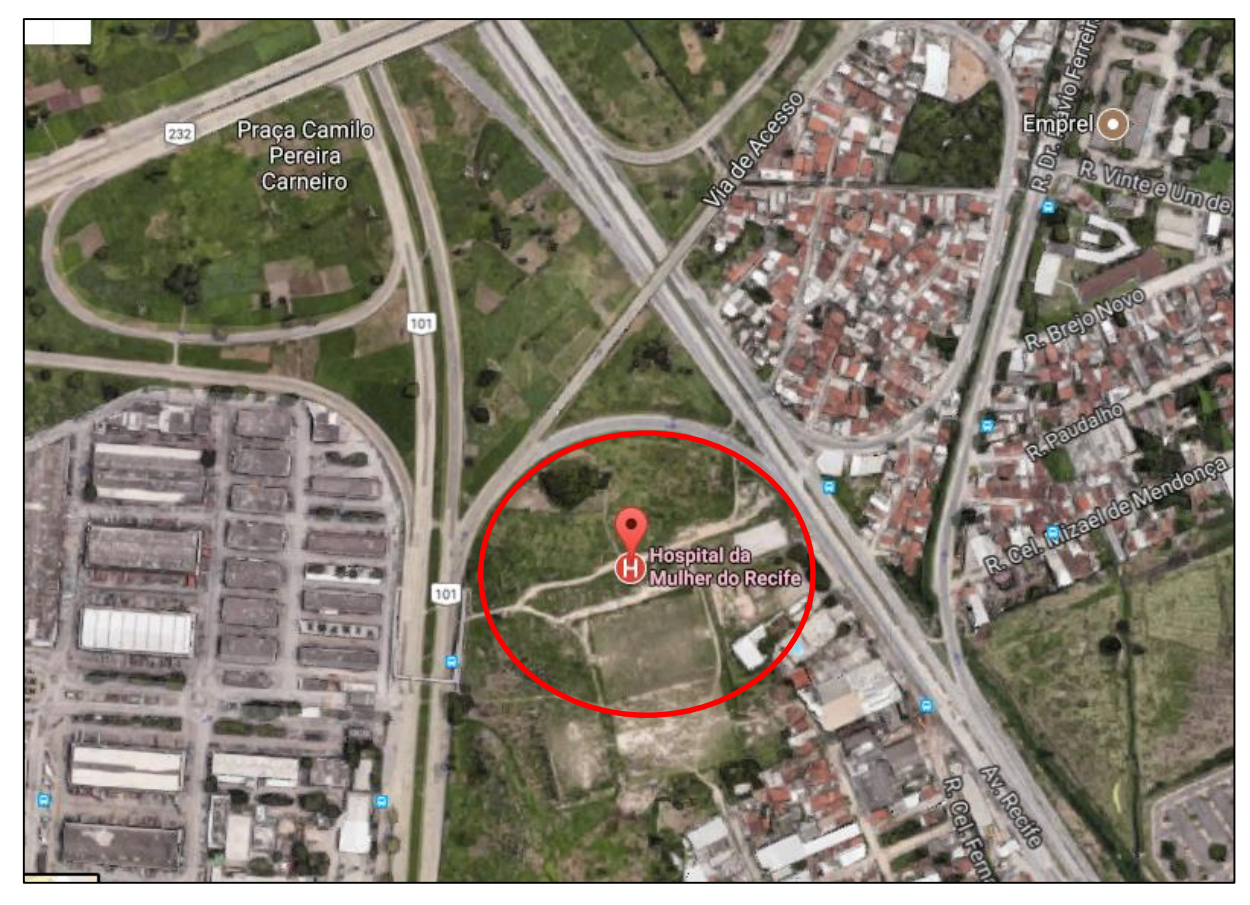


Figura 51- Localização da área de estudo.

Fonte: Google maps.

4.2 CAMPANHA DE INVESTIGAÇÃO

4.2.1 Sondagem a percussão

Com o objetivo de determinar a extensão, profundidade, espessura, descrição, compacidade, entre outras características das camadas do subsolo, foi realizada uma campanha de investigação por sondagens a percussão.

A campanha de sondagem SPT foi composta por 11 (onze) furos de sondagem, todos a percussão, com realização de ensaios SPT a cada 1,0m. A profundidade de realização das sondagens foi da ordem de 40 metros. As sondagens foram realizadas entre os meses de maio e agosto de 2013.

O perfil geotécnico e a resistência a penetração do amostrador padrão (N_{SPT}), foi caracterizado de acordo com a norma NBR-6484 – Método de Execução de Sondagem da ABNT.

O critério de parada das sondagens foi obter 5,00m consecutivos em material com índice $N_{SPT} > 30$. As sondagens executadas atingiram a profundidade mínima de 37,66 metros e máxima de 45,85 metros, tendo apenas uma das onze sondagens, profundidade inferior a 40,0m.

Na Figura 52 pode ser observada a locação dos furos de sondagem com suas respectivas coordenadas geográficas, além da exibição das duas áreas de concentração das investigações, Ilha 1 e Ilha 2.

\$P−10¹ **♦**SP-110 ILHA 1 **♦**SP-103 **♦**SP-104 **♦**SP-03 **S**P−02 SP-105 **S**P−106 SP-109 SP-111 ILHA 2

Figura 52- Locação das sondagens SPT e suas respectivas coordenadas geográficas com destaque para as ilhas 1 e 2 onde foram concentradas as investigações.

SONDAGENS	COORDENADAS					
REFERÊNCIA	E	N				
SP - 101	286050.5135	9107435.5633				
SP - 102	286101.0232	9107422.6910				
SP - 103	286057.1580	9107407.1920				
SP - 104	286065.0978	9107400.3104				
SP - 105	286072.2553	9107383.7656				
SP - 106	286012.7072	9107378.3665				
SP - 107	286033.2122	9107361.9743				
SP - 108	286009.0591	9107400.6186				
SP - 109	286071.9734	9107367.4364				
SP - 110	286011.5830	9107423.8170				
SP - 111	286123,2900	9107362.6917				

Fonte: Planta de locação de sondagens e ensaios da empresa Gusmão Engenheiros Associados LTDA.

Nos furos de sondagens SP-108 e SP-109 foram determinadas a umidade natural das amostras coletadas no bico do amostrador padrão. No furo SP-108 foram determinadas as umidades de 6 amostras e no furo SP-109 de 32 amostras. A Tabela 22 mostra as profundidades das amostras retiradas dos furos SP-108 e SP-109.

Tabela 22 - Profundidade das amostras coletadas nas sondagens SP-108 e SP-109

Furo SP-108			Furo S	SP-109	
Amostra	Profundidade (m)	Amostra	Profundidade (m)	Amostra	Profundidade (m)
03	2,00 - 2,48	03	1,00 - 1,45	19	17,00 – 17,55
05	4,00 - 4,46	04	1,93 - 2,38	20	18,00 - 18,58
07	6,00 - 6,48	05	3,00 - 3,48	21	19,00 - 19,66
09	7,80 - 8,25	06	4,00 - 4,45	22	20,00 - 20,58
12	10,80 - 11,39	07	4,91 - 5,36	23	21,00 - 21,57
14	13,00 - 13,60	08	6,00 - 6,45	24	22,00 - 22,52
		09	7,00 - 7,50	25	23,00 - 23,53
		10	7,95 - 8,40	26	24,00 - 24,57
		11	9,00 - 9,45	27	25,00 - 25,56
		12	9,86 - 10,42	28	26,00 - 26,56
		13	11,00 - 11,55	29	27,00 - 27,51
		14	12,00 - 12,50	30	28,00 - 28,61
		15	13,00 - 13,51	31	29,00 - 29,58
		16	14,00 - 14,54	32	30,00 - 30,57
		17	15,00 - 15,72	33	31,00 - 31,45
		18	16,00 - 16,58	34	32,00 - 32,51

Fonte: Boletim de sondagem da empresa GEOBETON.

As Figuras 53 e 54 mostram os resultados das sondagens a percussão para os furos SP-108 e SP-109, respectivamente.

Os demais boletins de sondagens estão apresentados no Apêndice A desta dissertação.

SONDAGEM N° SP-108 (*) 29.05.2013 9.107.443,4596 286.043,4692 DATA DO INÍCIO: AMOSTRADOR: Øe = 2" 06.06.2013 GEO-247/13 DATA DO TÉRMINO: RELATÓRIO: MARTELO: 65kg QUEDA: 75cm :UNDIDADE (m) CLASSIFICAÇÃO DOS MATERIAIS TC TC TC TC 0,60 1,20m AREIA fina e média, cinza clara. 2/17 4/32 2/20 2 CA ARGILA siltosa, com areia fina, pouca matéria orgânica e restos de vegetais, cinza, mole. 2.00 3/18 3 3 23,69 6 ARGILA siltosa, com areia fina, parda, média à 5 10/32 5/17 6 5 4/16 36,56 9/31 1/25 1 2/20 3/35 ARGILA siltosa, orgânica, com areia fina, cinza escura, mole à muito mole. 2/20 1/30 1/18 37,75 3/38 1/20 1/21 1/18 2/39 10 16 20,88 CL AREIA média e fina, com pouca areia gr matéria orgânica, cinza, medianamente 9 9 9 18 10,00 2/18 3 5/33 AREIA fina, com matéria orgânica, cinza escura, pouco compacta. 10,80 P/17 1/20 1/22 54.60 CA ARGILA orgânica, siltosa, com pouca areia fina, cinza escura, muito mole à mole. 12 1/25 1/22 P/20 2/47 13 P/17 1/23 1/20 53,27 2/43 P/20 1/28 1/20 2/48 1/20 1/23 2/43 16 1/25 1/20 P/17 2/45 17 1/20 1/22 2/42 18 1/30 1/22 2/52 Continuação no desenho 02 / 03 TRADO CONCHA **CINZEL ENGENHARIA LTDA** TRADO HELICOIDAL 1.00m 1.80m CL HOSPITAL DA MULHER RECIFE 29.05.2013 07.06.2013 JARDIM SÃO PAULO - RECIFE/PE Cleônio Aragão CREA 21085-D/RJ **GEO**BETON (*) COTA DA BOCA A SER FORNECIDA POSTERIORMENTE 19.06.2013 1/100 247/13

Figura 53 - Resultado da sondagem SPT, SP-108

SONDAGEM N° SP-108 (Continuação) 9.107.443,4596 COTA DA BOCA DIÂMETRO NOMINAL DO REVESTIMENTO: 21/2* 29.05.2013 286.043,4692 DATA DO INÍCIO: AMOSTRADOR: Øe = 2" 06.06.2013 GEO-247/13 RELATÓRIO: MARTELO: 65kg QUEDA: 75cm PROFUNDIDADE (m) CLASSIFICAÇÃO DOS MATERIAIS P/20 1/27 1/22 CA ARGILA orgânica, siltosa, com pouca areia 20 fina, cinza escura, muito mole à mole, 2/27 21 P/13 2/22 2/20 4/42 22 P/10 2/20 2/24 23 2/24 2/22 4/46 2/23 2/27 4/50 25 2/20 1/17 2/24 4/44 26,00 1/19 2/25 2/23 ARGILA orgânica, siltosa, com pouca areia 27 1/20 2/30 2/23 4/53 28 1/24 2/28 2/23 4/51 29 1/20 2/24 2/22 4/46 30 1/22 2/25 2/22 4/47 31 1/20 2/27 2/22 4/49 1/18 2/20 2/22 4/42 32,85 2 3 5 8 AREIA fina e média, siltosa, cinza, pouco compacta a compacta. 10 12 10 22 12 14 16 30 9 11 20 AREIA fina e média, pouco siltosa, parda, compacta. 25/31 10 11 14/16 Continuação no desenho 03 / 03 TRADO CONCHA CINZEL ENGENHARIA LTDA TH 1,00m 1,80m HOSPITAL DA MULHER RECIFE CIRCULAÇÃO DE LAMA JARDIM SÃO PAULO - RECIFE/PE 29.05.2013 07.06.2013 CULAÇÃO DE ÁGUA Cleônio Aragão CREA 21085-D/RJ **GEOBETON** (*) COTA DA BOCA A SER FORNECIDA POSTERIORMENTE 19.06.2013 02/03 Fabiano Oliveira 1/100 247/13

Figura 53 - Resultado da sondagem SPT, SP-108 (continuação)

SONDAGEM N° SP-108 (Continuação) 9.107.443,4596 286.043,4692 COTA DA BOCA (*) 29.05.2013 DIÂMETRO NOMINAL DO REVESTIMENTO: 21/2* DATA DO INÍCIO: AMOSTRADOR: Øe = 2" Ø = 13/8* 06.06.2013 GEO-247/13 DATA DO TÉRMINO: MARTELO: 65kg RELATÓRIO: QUEDA: 75cm PROFUNDIDADE (m) 2° CLASSIFICAÇÃO DOS MATERIAIS 16 17 33 14 CA AREIA fina e média, pouco siltosa, parda, 39 9 13 22 Obs.: Amostra "47" consistência muito compacta. 10 12 14 13 14 16 14 16 17 33 13 14 17 31 18 17 19 18 16 18 45,85 15/3 15/1 15/0 30/1 0 0 Impenetrável ao trépano CINZEL ENGENHARIA LTDA 1,00m 1,80m HOSPITAL DA MULHER RECIFE JARDIM SÃO PAULO - RECIFE/PE CIRCULAÇÃO DE LAMA 29.05.2013 07.06.2013 Cleônio Aragão CREA 21085-D/RJ **GEOBETON** 19.06.2013 (*) COTA DA BOCA A SER FORNECIDA POSTERIORMENTE 247/13 03/03 Fabiano Oliveira 1/100

Figura 53 - Resultado da sondagem SPT, SP-108 (continuação)

SONDAGEM N° SP-109 9.107.410,2774 (*) 14.06.2013 DATA DO INÍCIO: 286.106,3834 AMOSTRADOR: Øe = 2" 28.06.2013 GEO-247/13 DATA DO TÉRMINO: RELATÓRIO: MARTELO: 65kg QUEDA: 75cm CICANO CLASSIFICAÇÃO DOS MATERIAIS TC TC 0,50 AREIA fina e média, cinza clara, TC тс TC TC 12 10 22 9,87 CA AREIA fina e média, siltosa, pouco argilosa, parda, compacta. (aterro) CL 3 20,69 3 ARGILA siltosa, com pouca areia fina, parda, 2 2/18 3 29,37 67 2 2 1 3 29,69 2 1 1 2 27,29 AREIA fina e média, siltosa, com pouca matéria orgânica, cinza, fofa. 49,18 1 1 1 TURFA argilosa, orgânica, com pouca areia fina, preta, muito mole. 1/20 1 1 2 57,61 7,95 2 2 2 26,99 AREIA média e fina, com pouca matéria orgânica, cinza escura, fofa. 2 3 3 6 23,15 AREIA fina e média, com pouca matéria CA 1/26 1 67,99 orgânica, cinza escura, pouco compacta. ARGILA orgânica, siltosa, com pouca areia P/18 73,40 1/22 1/40 12 P/30 1/20 1/50 81.46 13 P/25 1/26 1/51 72.97 P/22 3/32 77,94 P/32 1/40 77,27 16 1/30 P/28 1/58 72.60 **∌19**. P/20 1/35 1/55 75.83 18 P/32 1/26 1/58 80,43 19 Continuação no desenho 02 / 03 CINZEL ENGENHARIA LTDA. TRADO HELICOIDAL NFE 1.85m CIRCULAÇÃO DE LAMA **HOSPITAL DA MULHER RECIFE** 14.06.2013 29.06.2013 JARDIM SÃO PAULO - RECIFE/PE Cleônio Aragão CREA 21085-D/RJ **GEO**BETON 04.07.2013 NFE - NÃO FOI ENCONTRADO ATÉ 1,00m (*) COTA DA BOCA A SER FORNECIDA POSTERIORMENTE Fabiano Oliveira 1/100 247/13

Figura 54 - Resultado da sondagem SPT, SP-109

SONDAGEM N° SP-109 (Continuação) 9.107.410,2774 COTA DA BOCA (*) 14.06.2013 DIÂMETRO NOMINAL DO REVESTIMENTO: 21/2* 286.106,3834 DATA DO INÍCIO: AMOSTRADOR: Øe = 2" 28.06.2013 GEO-247/13 RELATÓRIO: MARTELO: 65kg QUEDA: 75cm PROFUNDIDADE (m) CLASSIFICAÇÃO DOS MATERIAIS CA ARGILA orgânica, siltosa, com pouca areia 20 fina, cinza escura, muito mole à mole, P/31 2/27 2/58 44.94 P/24 1/33 1/57 51,21 22 P/22 1/30 1/52 51,65 23 1/28 P/25 1/53 1/25 52.62 1/32 2/57 25 1/29 1/27 2/56 48,57 P/23 2/33 2/56 47,63 P/20 2/31 2/51 P/19 2/24 2/18 4/42 66,50 1/21 2/22 2 4/37 69.86 P/15 2/23 2/19 63,92 4/42 2/21 2/24 4/45 55,27 2/20 2/16 41,28 4/31 32,85 2/14 3 AREIA média e fina, pouco siltosa, cinza, pouco compacta à compacta. 3 6 10 16 5 9 12 21 10 13 11 Continuação no desenho 03 / 03 PROFUNDIDADE NÍVEL D'ÁGUA TRADO CONCHA CINZEL ENGENHARIA LTDA. TH CIRCULAÇÃO DE LAMA HOSPITAL DA MULHER RECIFE JARDIM SÃO PAULO - RECIFE/PE CULAÇÃO DE ÁGUA Cleônio Aragão CREA 21085-D/RJ **GEOBETON** 04.07.2013 NFE - NÃO FOI ENCONTRADO ATÉ 1,00m (*) COTA DA BOCA A SER FORNECIDA POSTERIORMENTE 02/03 Fabiano Oliveira 1/100 247/13

Figura 54 - Resultado da sondagem SPT, SP-108 (continuação)

106

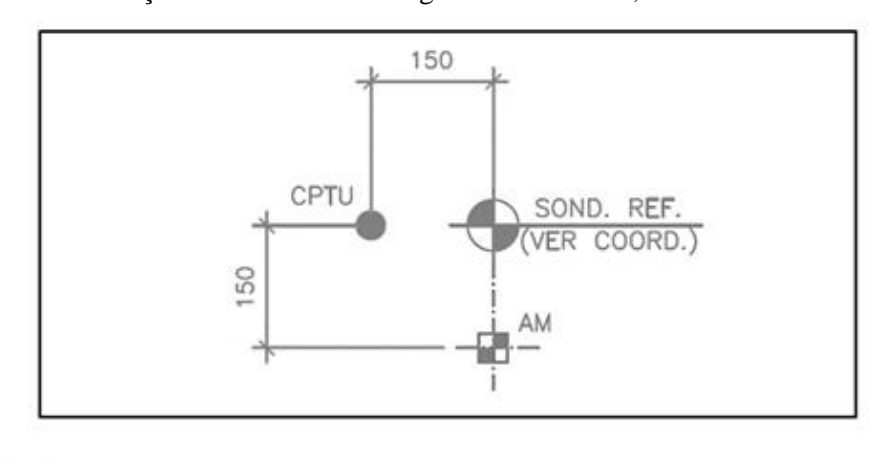
SONDAGEM N° SP-109 (Continuação) 9.107.410,2774 286.106,3834 GEO-247/13 (*) 14.06.2013 28.06.2013 DATA DO INÍCIO: AMOSTRADOR: Øe = 2" DATA DO TÉRMINO: RELATÓRIO: MARTELO: 65kg QUEDA: 75cm FUNDIDADE (m) CLASSIFICAÇÃO DOS MATERIAIS 11 12 23 CA AREIA média e fina, pouco siltosa, cinza, pouco compacta à compacta. 10 11 21 Obs.: Amostra "44" consistência muito compacta. 8 8 16 10 13 23 42 14 18 15/7 33/22 42,42 2 2 Impenetrável ao trépano TRADO CONCHA TC CINZEL ENGENHARIA LTDA. TRADO HELICOIDAL CL HOSPITAL DA MULHER RECIFE JARDIM SÃO PAULO - RECIFE/PE ENGENHEIRO: Cleônio Aragão CREA 21085-D/RJ **GEOBETON** 04.07.2013 NFE - NÃO FOI ENCONTRADO ATÉ 1,00m (*) COTA DA BOCA A SER FORNECIDA POSTERIORMENTE 03/03 Fabiano Oliveira 1/100 247/13

Figura 54 - Resultado da sondagem SPT, SP-108 (continuação)

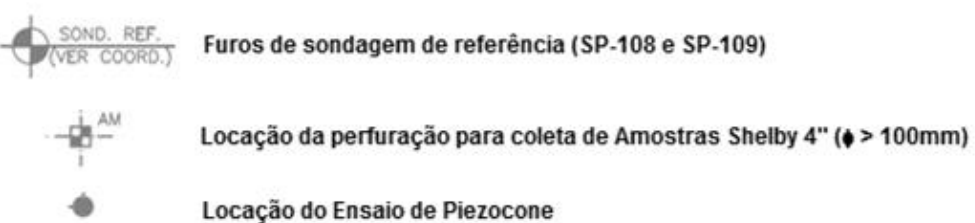
4.2.2 Ensaios CPTU

A campanha de ensaio de piezocone foi realizada conforme os padrões da norma NBR 12069/1991 (MB-3406) (ABNT, 1991) e foi composta por dois ensaios, CPTU-108 e CPTU-109. O ensaio CPTU-108 foi realizado na ilha 1 e o CPTU-109 na ilha 2 (ver Figura 52). A Figura 55 mostra a locação ampliada dos ensaios CPTU em relação as sondagens a percussão de referência.

Figura 55 - Locação ampliada da perfuração para coleta das amostras Shelby e do Ensaio de piezocone em relação aos furos das sondagens de referência, SP-108 e SP-109.



LEGENDA:



Fonte: Planta de locação de sondagens e ensaios da empresa Gusmão Engenheiros Associados LTDA.

Os ensaios de piezocone foram realizados até a profundidade de 10,38m na vertical do CPTU-108 e 17,89m na vertical do CPTU-109. O ensaio da vertical CPTU-108 foi encerrado na profundidade de 10,38m por falta de reação do equipamento de cravação.

As Figuras 56 e 57 mostram os resultados dos ensaios CPTU-108 e CPTU-109.

fs (kPa) u₂ (kPa) qt (MPa) 0 3 5 8 10 13 15 100 150 200 **-**u2 ·u0

Figura 56 - Resultados do CPTU-108, ilha 1.

Fonte: Relatório do ensaio CPTU - GEOBETON.

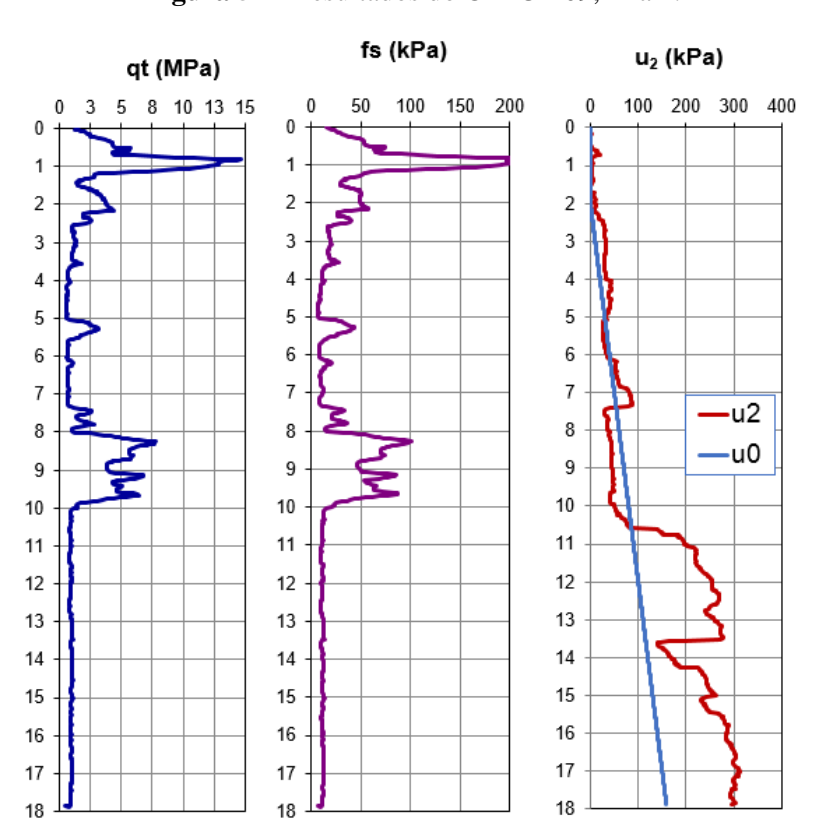


Figura 57 - Resultados do CPTU-109, ilha 2.

Fonte: Relatório do ensaio CPTU – GEOBETON.

4.2.3 Retirada de amostras indeformadas tipo Shelby

A campanha de amostragem tipo "Shelby" foi executada de acordo com os padrões estabelecidos na norma NBR 9820 – ABNT e se concentraram nas ilhas de investigação, ilha 1 e 2. As Figuras 52 e 55 exibem a locação da amostragem.

A técnica utilizada compreendeu a perfuração mecanizada por meio de trados vazados e posterior cravação do amostrador Shelby de 4" por meio de penetrômetro hidráulico. Após a retirada do amostrador da perfuração, selou-se suas extremidades com parafina. Este procedimento é feito para que a umidade do material coletado seja mantida inalterada.

As amostras foram armazenadas em caixas com serragem, mantidas sempre na posição vertical, de forma que a parte inferior seja a correspondente a parte inferior da amostra antes de ser retirada da escavação, e transportadas para o laboratório.

O transporte desse tipo de material deve ser feito de forma cuidadosa, evitando qualquer perturbação externa visto que o material é sensível e essas perturbações podem alterar ou danificar as amostras.

A campanha de amostragem do local de estudo, contemplou a coleta de 10 (dez) amostras indeformadas do tipo Shelby, 5 (cinco) amostras provenientes do material da ilha 1, e 5 (cinco) amostras provenientes do material da ilha 2.

As profundidades das amostras coletadas podem sem observadas na Tabela 23.

Tabela 23 - Profundidade das amostras Shelby coletadas nas ilhas 1 e 2.

	Ilha 1			Ilha 2	
Amostra	Profundidade (m)	Prof. Média (m)	Amostra	Profundidade (m)	Prof. Média (m)
AM-1-1	2,00 a 2,32	2,2	AM-2-1	2,00 a 2,49	2,3
AM-1-2	4,00 a 4,47	4,2	AM-2-2	4,00 a 4,25	4,1
AM-1-3	6,00 a 6,83	6,4	AM-2-3	6,00 a 6,62	6,3
AM-1-4	11,00 a 11,57	11,3	AM-2-4	11,00 a 11,62	11,3
AM-1-5	13,00 a 13,57	13,3	AM-2-5	13,00 a 13,53	13,3

Fonte: Boletim de sondagem da empresa GEOBETON.

A Figura 58 exibe a execução da sondagem a trado para obtenção das amostras indeformadas tipo Shelby.



Figura 58 - Execução de sondagem a trado para retirada de amostra tipo Shelby

4.2.4 Ensaios de laboratório

Os ensaios de laboratório foram executados pelo GEGEP/UFPE, sob coordenação do professor Roberto Quental Coutinho, obedecendo rigorosamente as normas NBR/ABNT, Bibliografias de referência e sob temperatura controlada por arcondicionado (em torno de 21° C).

Para as amostras indeformadas extraídas das duas áreas de investigação, ilha 1 e 2, foram realizados:

Ilha 1:

- Ensaio triaxial tipo UU: 5 ensaios com 3 corpos de prova cada.
- Ensaio triaxial do tipo CIU: 2 ensaios com 3 corpos de prova cada.
- Ensaio de adensamento com drenagem vertical: 5 ensaios.

Ilha 2:

- Ensaio triaxial tipo UU: 5 ensaios com 3 corpos de prova cada.
- Ensaio triaxial do tipo CIU: 2 ensaios com 3 corpos de prova cada.
- Ensaio de adensamento com drenagem vertical: 5 ensaios.

4.2.4.1 Ensaio de adensamento com drenagem vertical

Os ensaios de adensamento com drenagem vertical foram realizados em corpos de prova com diâmetro de 8,71cm, área de 60 cm² e altura de 2cm com relação diâmetro altura superior a 2,5, conforme recomendação de Lambe (1951) e Bowles (1978). A moldagem dos corpos de prova seguiram as recomendações elaboradas com base no trabalho de Ladd e Degroot (2003).

Foram utilizadas prensas do tipo Bishop, de fabricação nacional, com relação de braço de alavanca de 10:1. O sistema empregado foi o de anel fixo.

Na medidas de variação da altura dos corpos de prova foram utilizados extensômetros mecânicos com sensibilidade de 0,01mm.

A drenagem vertical foi realizada no topo e na base dos corpos de prova, utilizando-se papel filtro saturado entre o corpo de prova e as pedras porosas, sendo estas previamente fervidas até a saturação e, em seguida, esfriadas com jato de água.

Foram aplicados estágios $\Delta p/p = 1$. As pressões aplicadas durante os ensaios foram: 2,5; 5,0; 10; 20; 40; 80; 160; 320 e 640kPa.

O tempo de atuação de cada estágio de carregamento foi o necessário para ocorrer o adensamento primário, tendo sido adotado como igual a 24 horas.

A Figura 59 exibe algumas etapas da execução do ensaio de adensamento.



(a) Moldagem dos corpos de prova em anéis de aço



(b) Ensaios de adensamentos com drenagem vertical em execução nas prensas oedométricas.

Fonte: Relatório dos ensaios de laboratórios - GEGEP.

4.2.4.2 Ensaio triaxial UU

Os corpos de prova foram moldados com diâmetro de 1,4 polegadas (35,6 mm) e altura de 89,0 mm, talhados no torno de moldagem, a partir de amostras indeformadas tipo Shelby.

Após a moldagem os corpos de prova foram montados em células triaxiais em seguida, aplicava- se a tensão confinante.

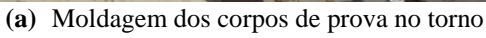
Após aplicar a tensão confinante os corpos de prova foram rompidos em prensa com velocidade constante igual a 0,480 mm/min, conforme recomendação de Lambe (1951), Bishop e Henkel (1962) e Bowles (1978). Foram aplicados nos diversos ensaios pressões confinantes iguais a 50, 100 e 200 kPa.

A força vertical aplicada e a deformação dos corpos de provas foram medida através de células de cargas elétricas com capacidade para 100 kgf e extensômetro elétricos tipo LVDT com sensibilidade 0,01mm.

A Figura 60 exibe algumas etapas da execução do ensaio triaxial não consolidado, não drenado.



Figura 60 - Ensaio triaxial UU.





(b) Montagem dos corpos de prova em células triaxiais

Fonte: Relatório dos ensaios de laboratórios - GEGEP/UFPE.

4.2.4.3 Ensaio triaxial CIU

Os corpos de prova foram moldados com diâmetro de 1,4 polegadas (35,6mm) e altura de 89 mm, talhados no torno de moldagem, a partir de amostras indeformadas tipo Shelby.

Após a moldagem os corpos de prova foram montados em células triaxiais para serem saturados por contra pressão; aplicava- se a tensão confinante e a contrapressão a cada 4 horas, verificando a sua saturação através do parâmetro B=1.

Em seguida os corpos de prova eram colocados para serem adensados com pressões de 50,100 e 200 kPa até a sua estabilização, com o controle da estabilização da poropressão, e também pela compressão primária através do gráfico de adensamento pelo método de Robert Taylor (deformação x Raiz do tempo).

O cisalhamento dos corpos de prova foi realizado em prensa com velocidade constante igual a 0,0603 mm/min, conforme recomendação de Lambe (1951), Bishop e Henkel (1962) e Bowles (1978). Foram aplicados nos diversos ensaios pressões confinantes iguais a 50, 100 e 200 kPa.

A força vertical aplicada e a deformação dos corpos de provas foram medida através de células de cargas elétricas com capacidade para 100 kgf e extensômetro elétricos tipo LVDT com sensibilidade 0,01 mm. A variação do volume durante o adensamento foi medida através do medidor de volume elétrico, marca ELE com capacidade para 90ml e sensibilidade de 0,01ml.

A Figura 61 exibe algumas etapas da execução do ensaio triaxial consolidado não drenado.

Figura 61 - Ensaio triaxial CIU.



(a) Moldagem dos corpos de prova em torno de moldagem



(b) Montagem e saturação dos corpos de prova em células triaxiais



(c) Adensamento dos corpos de prova

Fonte: Relatório dos ensaios de laboratórios – GEGEP/UFPE.

4.2.5 Resumo dos ensaios

A seguir as Tabelas 24 e 25 apresentam uma síntese dos ensaios de campo e laboratório realizado na campanha de investigação que faz parte deste trabalho.

Tabela 24 - Resumo dos ensaios de campo

Ensaios	Ilha 1	Ilha 2	Total
Sondagem a percussão	-	-	11
Ensaios CPTU	1	1	2
Coleta de amostras tipo Shelby	5	5	10

Tabela 25 - Resumo dos ensaios de laboratório

Ensaios	Ilha 1	Ilha 2	Total
Descrição táctil-visual das amostras	5	5	10
Densidade dos grãos	5	5	10
Umidade natural	5	5	10
Teor de matéria orgânica	5	5	10
Ensaio de adensamento	5	5	10
Ensaio triaxial UU	5	5	10
Ensaio triaxial CIU	2	2	4

5 ANÁLISE E DISCUSSÃO DOS RESULTADOS

Este capítulo dedica-se apresentação e discussão dos resultados dos ensaios de campo e laboratório, classificação das amostras coletadas quanto a qualidade pelos critérios de Lunne *et al.* (1997) e Coutinho *et al.* (1998) e correção da curva de compressibilidade das amostras que apresentaram qualidade insatisfatória pelo método de Schmertmann (1955), Oliveira (2002) e CR e OCR pela proposta de Coutinho (2007). Neste capítulo também será mostrado a utilização das correlações propostas por Coutinho *et al.* (2007) para estimativa de C_c e e₀. Além disso serão comparados os parâmetros de compressibilidade e resistência obtidos em ensaios de laboratório com os obtidos no ensaio de piezocone e com os resultados de outros estudos que fazem parte do banco de dados do GEGEP/UFPE.

5.1 PERFIL GEOTÉCNICO DA ÁREA DE ESTUDO

Baseado nos resultado das onze sondagens SPT, foram elaborados 06 perfis geotécnicos de forma a abranger a maior área possível e fornecer uma visão geral dos tipos de solos presentes no local de estudo. A Figura 62 mostra a locação dos perfis geotécnicos elaborados a partir das sondagens SPT.

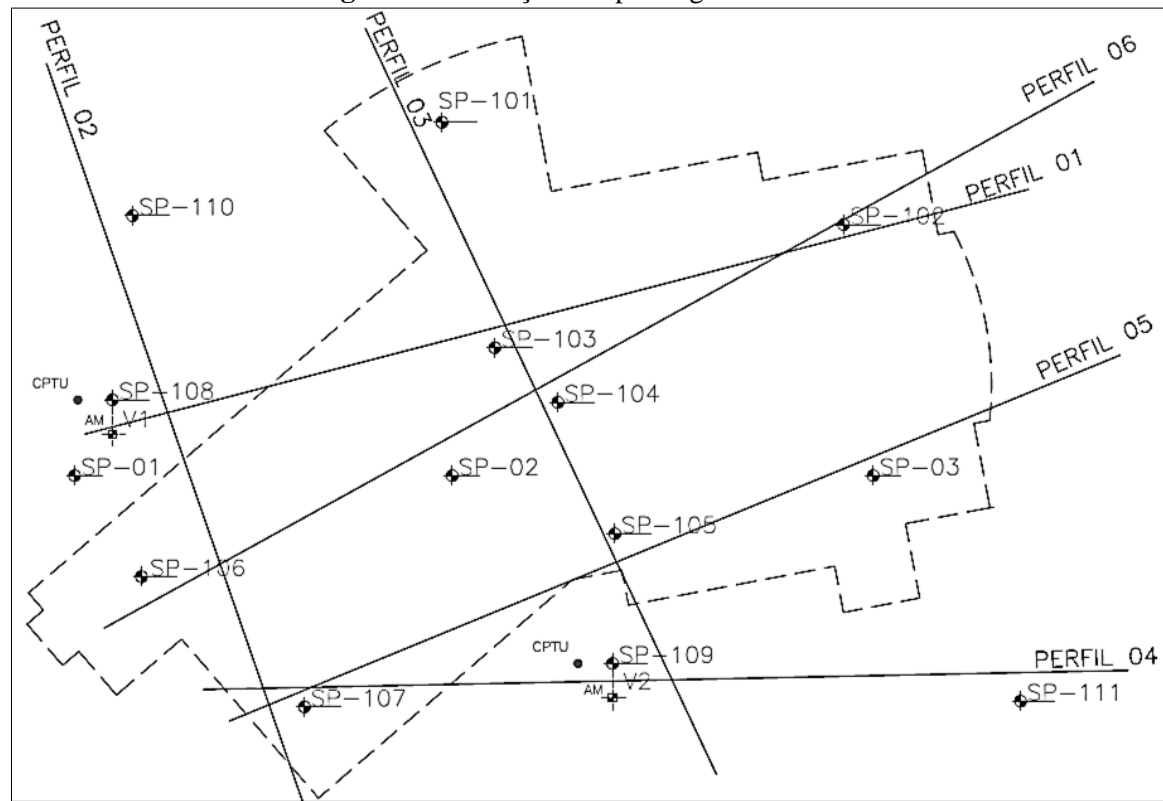


Figura 62 - Locação dos perfis geotécnicos.

Os perfis geotécnicos tipo, perfil 02 e 04, são exibidos nas Figuras 63 e 64. Foram escolhidos perfis que contemplam as sondagens SP-108 e SP-109 visto que em suas proximidades foram realizados outros ensaios bem como a coleta de amostras indeformadas do solo (Ilha 1 e 2).

Figura 63 - Perfil 02, ilha 1.

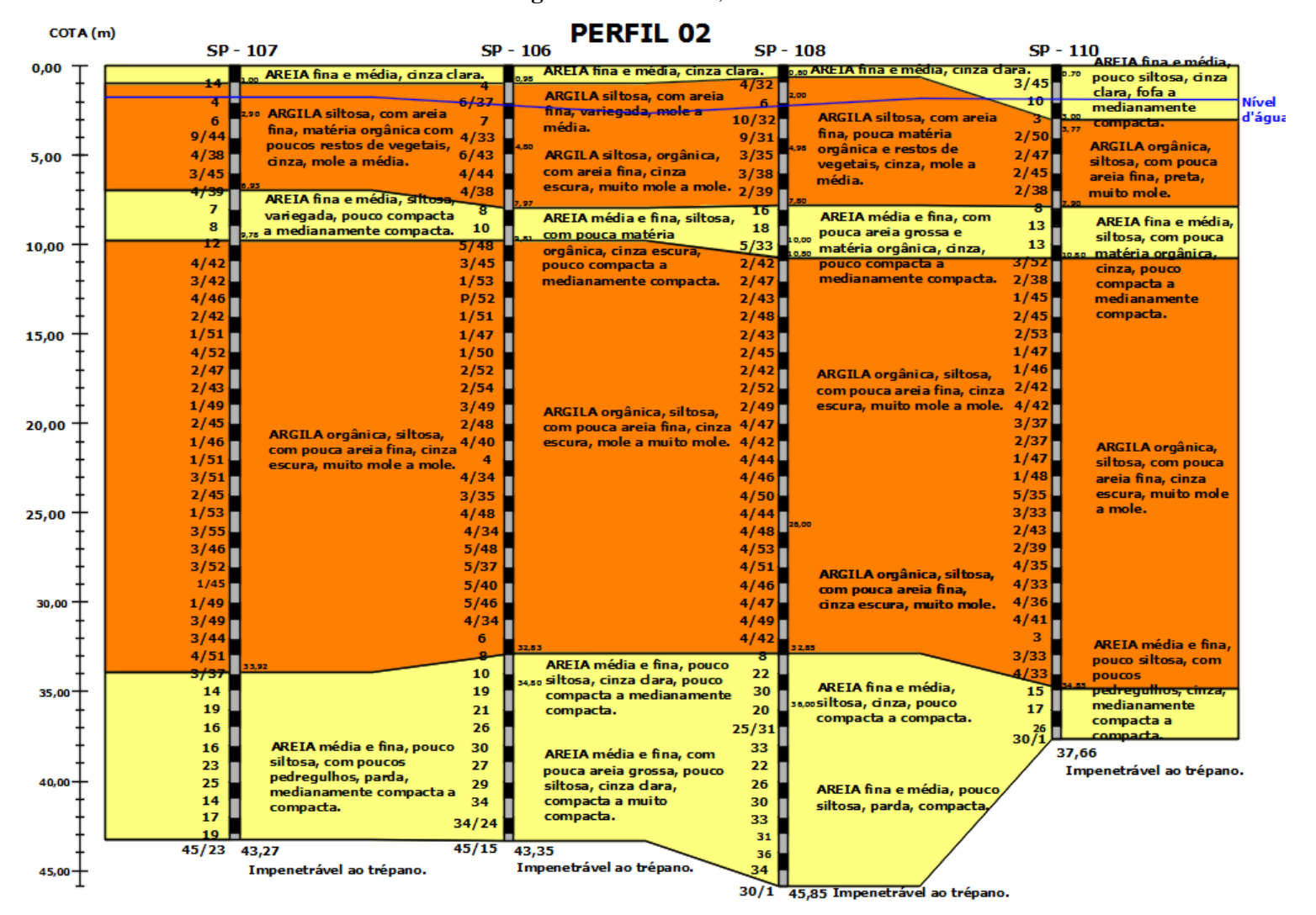
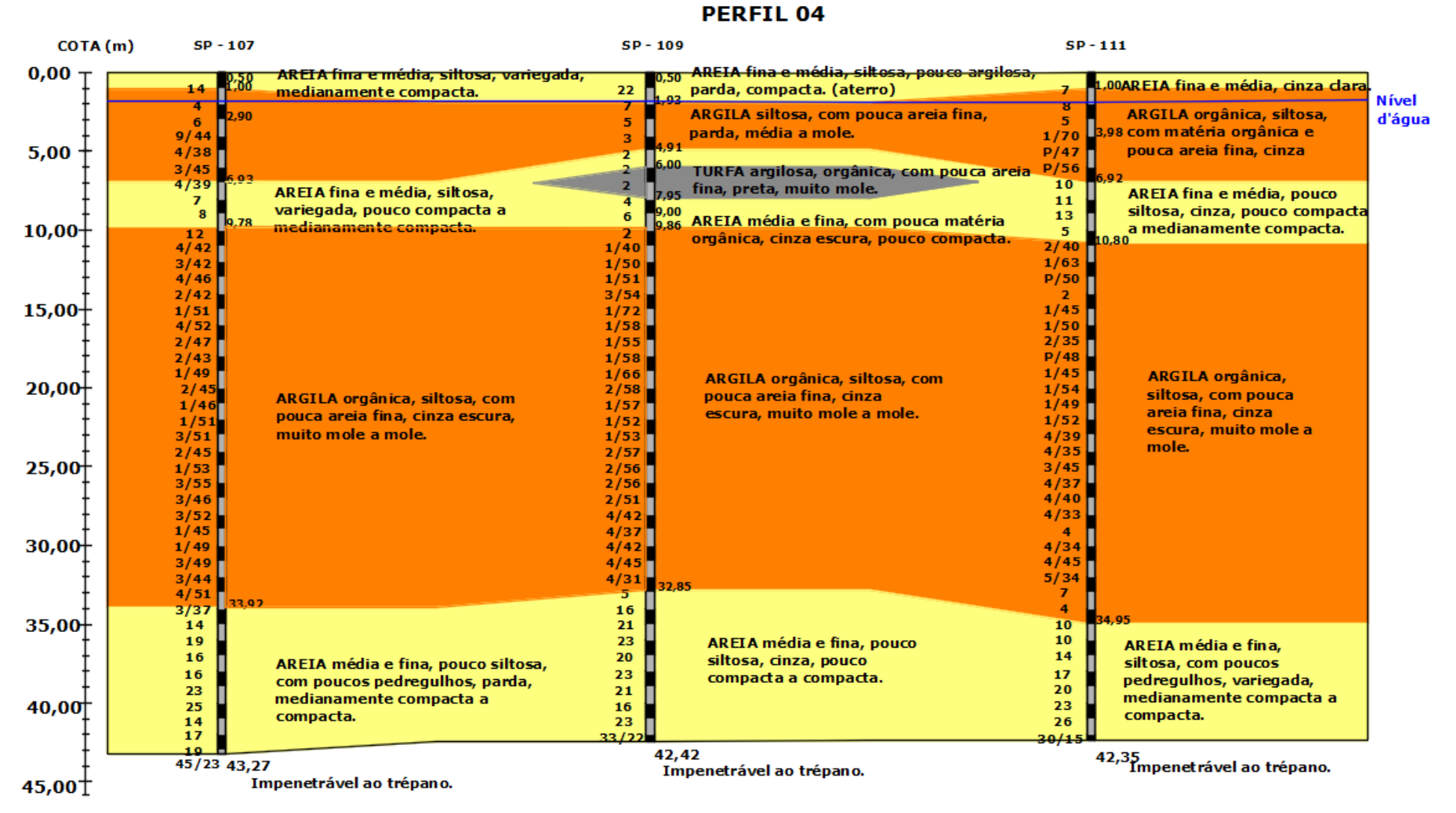
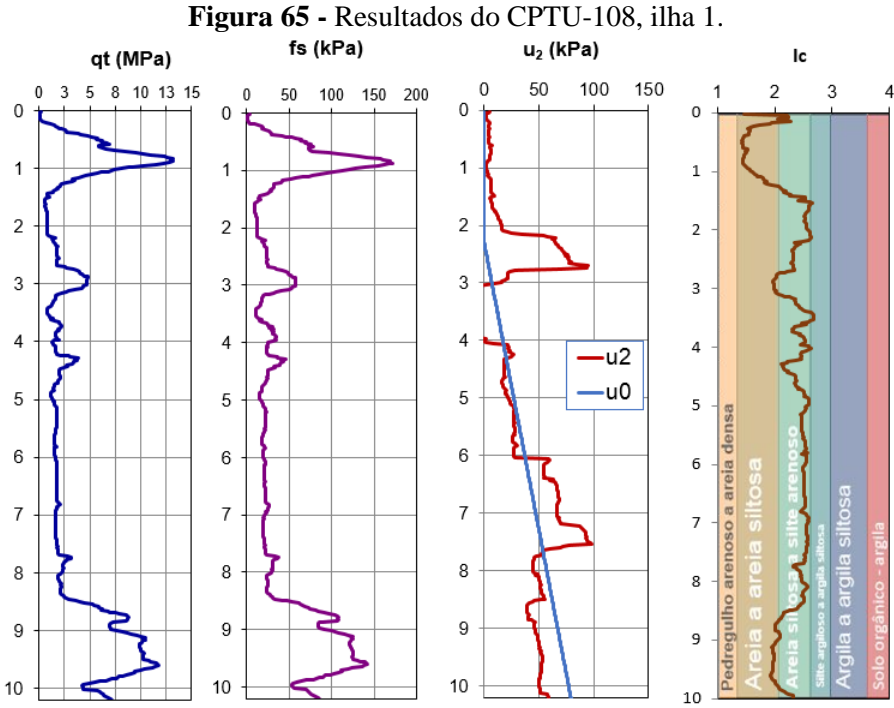


Figura 64 - Perfil 04, ilha 2.



As Figura 65 e 66 exibem os resultados dos ensaios CPTU para as duas ilhas de investigação. A classificação do solo foi feita pela proposta de Jefferies e Davies (1993) através do índice de classificação do material, Ic. Esta proposta de classificação foi discutida no Capítulo 2 desta dissertação.



Fonte: Relatório do ensaio CPTU – GEOBETON.

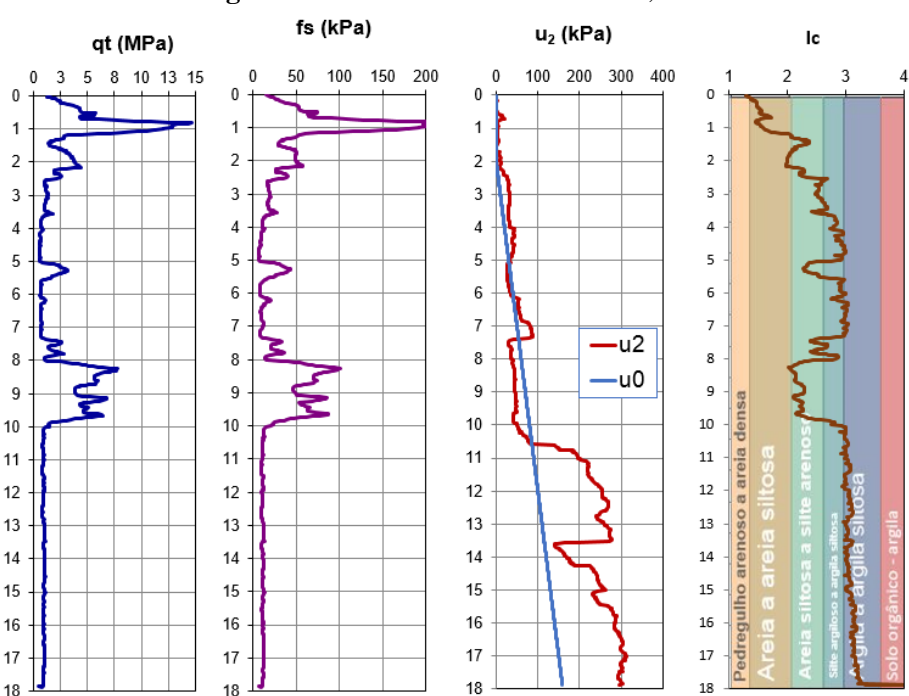


Figura 66 - Resultados do CPTU-109, ilha 2

Fonte: Relatório do ensaio CPTU – GEOBETON.

O resultado do ensaio CPTU-109 apresenta características condizentes com os demais ensaios realizados no depósito estudado. O mesmo não pode ser dito sobre o

CPTU-108 que apresenta resultado bastante discrepante dos demais. O perfil apresentado na Figura 65 mostra como resultado um solo arenoso: areia a areia siltosa até 1,5m de profundidade e areia siltosa a silte arenoso nas demais profundidades até o final do ensaio a pouco mais de 10 metros.

O ensaio CPTU-108 possui uma profundidade de apenas 10,38m. Como dito anteriormente no Capítulo 4, o equipamento utilizado para a execução do ensaio não possuiu reação suficiente para a continuidade à profundidades maiores. Analisando a sondagem a percussão realizada nas proximidades do CPTU-108 (SPT-108) observa-se a existência de uma camada de mais de 20 metros de argila siltosa a partir da profundidade de 10,80m. Como a camada de solo de maior relevância da ilha 1não foi ensaiada, as análises relativas ao ensaio CPTU serão concentradas nos resultados do CPTU-109 (ilha 2).

Além das sondagens SPT e ensaios CPTU foram coletadas 10 amostras indeformadas tipo Shelby, cinco na ilha 1 e cinco na ilha 2. As cotas de amostragem foram apresentadas no Capítulo 4, Tabela 23.

A Tabela 26 apresenta um resumo da descrição das amostras coletadas nas duas áreas em questão.

Tabela 26 - descrição das amostras das ilhas 1 e 2.

Tabeta 20 - descrição das amostras das mas 1 e 2.									
Área	Amostra	Prof. ostra Média Cor (m)		Classificação	Observações				
	AM-1-1	2,2	Verde escura	Argila arenosa siltosa esverdeada	-				
	AM-1-2	4,2	Escura	Argila orgânica escura	Apresentou cheiro de matéria orgânica e pequenas conchas				
Ilha 1	AM-1-3	6,4	Escura	Argila orgânica preta					
	AM-1-4	11,3	Escura	Argila orgânica preta					
	AM-1-5	13,3	Escura	Argila orgânica preta					
-	AM-2-1	2,2	Verde escura	Argila siltosa dura	-				
	AM-2-2	_,_	, 0100 050010	Argila orgânica	Apresentou pequenos pedaços de				
	AM-2-2 4,1 AM-2-3 6,3 AM-2-4 11,3		Escura	plástica escura	matéria orgânica e pequenas conchas				
Ilha 2			Escura	Argila orgânica plástica escura	Apresentou forte cheiro de matéria orgânica, vegetais em decomposição e pequenas conchas				
ma 2			Preta	Argila orgânica preta					
	AM-2-5	13,3	Muito escura	Argila orgânica muito escura e plástica					

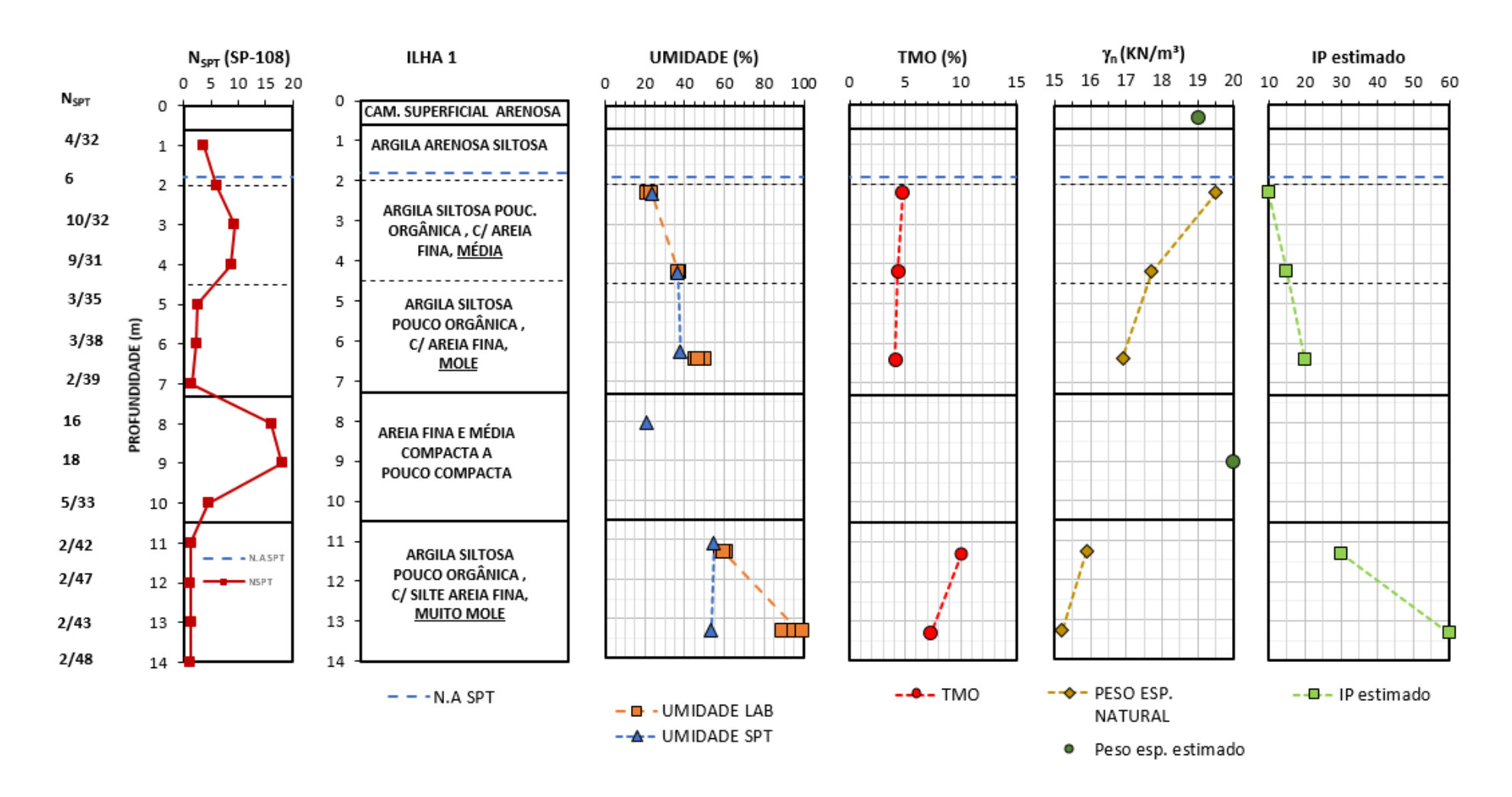
Fonte: Relatório dos ensaios de laboratórios – GEGEP/UFPE.

Para a caracterização geotécnica do solo com relação ao teor de matéria orgânica foi utilizada a classificação geral do LPC (MAGNAN 1980; PERRIN 1974) conforme descrito no Capítulo 3.

Considerando esse critério de classificação: 70% das amostras obtidas neste trabalho, foram classificas como pouco orgânicas, 20% mediamente orgânica e os 10% restante com TMO < 3% (não orgânica).

As Figuras 67 e 68 apresentam um resumo das características obtidas a partir dos resultados dos ensaios de laboratório das áreas estudada.

Figura 67 - Perfil geotécnico final da ilha 1 e síntese dos resultados dos ensaios de laboratório para caracterização da área.



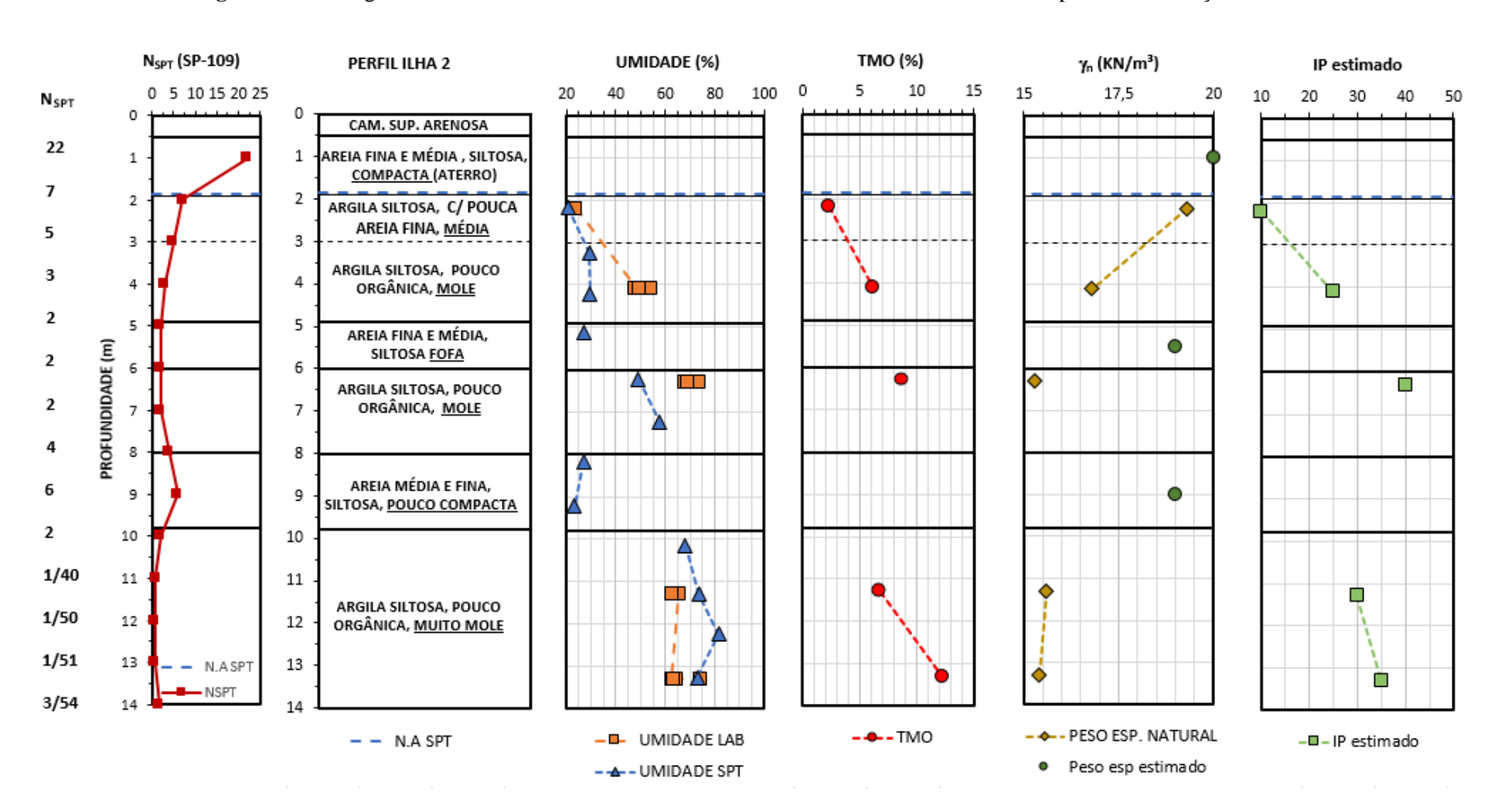


Figura 68 - Perfil geotécnico final da ilha 2 e síntese dos resultados dos ensaios de laboratório para caracterização da área.

Analisando-se os referidos perfis, observa-se que ambos apresentam uma camada superior de aterro/areia, estratificação dos depósitos de solos moles e existência de argilas siltosas orgânicas. O nível d'água foi encontrado na profundidade de 1,80m na ilha 1 e 1,90m na ilha 2. Todas essas características são condizentes com os dados regionais apresentado no Capítulo 3 desta dissertação.

Levando em consideração a proposta de classificação dos perfis típicos de Recife de Oliveira *et al.* (2016), apresentado no Capítulo 3, o perfil da ilha 1 pode ser enquadrada no perfil II B2, figura 69 (b).

O perfil da ilha 2 possui uma pequena diferença em relação ao perfil II B2 proposto por Oliveira *et al.* (2016) nas camadas superficiais. O perfil da ilha 2 possui uma pequena camada de areia e uma pequena camada de argila a mais que o perfil II B2 original, mas mesmo assim foi enquadrado neste tipo de perfil pois suas camadas de maior relevância são compatíveis com o perfil tipo II B2 proposto por Oliveira *et al.* (2016), figura 69 (c).

Figura 69 - (a) Perfil típico II B2 proposto Oliveira *et al.* (2016); (b) e (c) enquadramento dos perfis estudado. *Camada que não está prevista no perfil II B2 originalmente.

PERFIL II B 2	ESPESSURA (m)	PERFIL ILHA 1	ESPESSURA (m)	PERFIL ILHA 2	ESPESSURA (m)
ATERRO	0,00 - 2,78	ATERRO	0,6	ATERRO	1,9
TURFA	0,75 - 7,93 0,00 - 8,00	ARGILA	6,7	ARGILA	3,0
AREIA	1,60 - 13,20	AREIA	3,2	AREIA	1,1*
ARGILA	10,03 - 31,12	ARGILA	22	ARGILA	2,0 *
AREIA	0,00 - 16,67	AREIA	10	AREIA	1,8
(a)		(b)	_	ARGILA	32,0
(-)		(6)		AREIA	10,0
				(c)	

Em oito das dez amostras coletadas nas duas ilhas de investigação foi verificado a presença de concha (Amostras coletadas nas profundidades de 4,0 a 13,0m). Gusmão Filho e Amorim Jr. (1998) afirmam que a presença de conchas de origem marinha é comum no subsolo recifense. De acordo com Oliveira *et al.* (2016) foi encontrado conchas nos bairros do Curado (5 furos de sondagens), Cidade Universitária (10 furos de sondagens), Iputinga (1 furo de sondagem), Boa Viagem (1 furo de sondagem), e na Ilha do Retiro (1 furo de sondagem). Foram encontrados nos perfis típicos IA (2), IB-2 (3), IIA (12), IIB-2 (1).

Ainda com relação aos perfis, merece ser dada atenção ao material encontrado na profundidade de 6,0m na ilha 1 (Figura 63) e classificado inicialmente pela sondagem SPT como turfa argilosa orgânica. No decorrer deste capítulo será mostrado que esse material foi classificado como turfa orgânica erroneamente, uma vez que apresenta umidade natural de 57,61% e conforme Coutinho *et al.* (1998) os solos orgânicos/turfas da planície do Recife

possuem umidade natural na faixa de 180 a 800%. Seguindo essa linha de raciocínio e os outros resultados de ensaios de campo e laboratório, o referido material passou a ser classificado como argila siltosa pouco orgânica, mole.

5.2 ÍNDICES FÍSICOS

As 10 amostras indeformadas coletadas nas duas ilhas de investigação bem como as amostras coletadas no amostrador SPT apresentaram umidade natural entre 21 e 99%, estando compatível com a faixa de umidade das argilas moles/médias do Recife, 18 a 215% (COUTINHO *et al.*, 1998).

A massa específica dos depósitos de argila estudados variaram de 15,2 a 19,5 kN/m³, com os valores decrescendo com a profundidade em ambos os perfis (Figuras 67 e 68). Estes valores estão dentro da faixa de valores presente na literatura, como em Coutinho e Bello (2005) que mostram valores de massa específica entre 10 a 20 kN/m³ para solos argilosos do Recife.

Como não foram realizados ensaios de caracterização das amostras Shelby coletadas no locas de estudo, estimou-se o índice de plasticidade utilizando-se a carta de plasticidade com os resultados de ensaios de laboratório para as argilas moles/média e solos orgânicos/turfas do Recife (COUTINHO e LACERDA, 1987).

Segundo Ferreira e Coutinho (1988) o limite de liquidez dos depósitos de argila da planície do Recife são, em geral, próximo da umidade natural, sendo em algumas profundidades pouco inferior a umidade.

Levando em consideração as duas proposições anteriores - o limite de liquidez dos depósitos de argilas do Recife apresenta valores próximos da umidade natural e utilizando a carta de plasticidade com resultados regionais - estimou-se o limite de liquidez e o índice de plasticidade para o depósito estudado. O item seguinte explica como foi realizada essa estimativa.

5.2.1 Estimativa dos valores do Limite de Liquidez e Índice de Plasticidade

De posse do perfil de umidade natural obtida nos ensaios de laboratório, Figuras 67 e 68, e considerando que a umidade natural das argilas do Recife, em geral, apresenta-se próxima ao limite de liquidez (COUTINHO E OLIVEIRA, 1994). Nesse trabalho, considerou-se o limite de liquidez com valor igual a umidade natural para estimativa do IP.

Através da carta de plasticidade apresentada por Coutinho *et al.* (1988) com os resultados de ensaios de laboratório para as argilas moles/média do Recife e de depósitos orgânicos brasileiros (Juturnaíba/RJ), e com os valores de W_L estimados a partir da umidade natural obtida do local de estudo através dos ensaios de laboratório, foi possível plotar os

valores do limite de liquidez estimado *vs.* índice de plasticidade, conforme classificação do solo que constitui cada camada.

Os valores de W_L foram posicionados em torno de cada linha correspondente ao tipo de solo, podendo então, ser estimado o valor do IP para cada amostra, conforme verificado na Figura 70. A Tabela 27 mostra os limites de liquidez e índice de plasticidade estimados para cada amostra.

Figura 70 - Determinação do IP através do W_L estimado, plotado na Carta de plasticidade das argilas do Recife

CARTA DE PLASTICIDADE 200 Linha - A Argila orgânica Argila siltosa Argila arenosa Solo orgânico/turfa 🗅 Solo orgânico/Juturnaíba 150 Galpão BR-101 (Bello, 2004) Argila inorgânica (Nagaray and Jayadeva, 1983) **⊗** 100 **a** Turfa (Perrin, 1974) 50 IP EST. ILHA 1 Argila e Siltes orgânicos (Perrin, 1974) IP EST. ILHA 2 50 100 150 200 250 300 350 400 LL (%) Fonte: Cou 1998).

Tabela 27 - Valores dos Limites de Liquidez e Plasticidade estimados

Área	Amostra	Prof. (m)	Descrição da camada	Wn (%) = W _L (%)	IP (%) Estimado
	AM-1-1	2,2	Argila siltosa pouco orgânica, c/ areia fina, média	22	10
	AM-1-2	4,2	Argila siltosa pouco orgânica, c/ areia fina, média	37	15
	AM-1-3	6,4	Argila siltosa pouco orgânica, c/ areia fina, mole	47	20
Ilha 1	AM-1-4	11,3	Argila siltosa pouco orgânica, c/ silte e areia, muito mole	60	30
	AM-1-5	13,3	Argila siltosa pouco orgânica, c/ silte e areia, muito mole	95	60
	AM-2-1	2,2	Argila siltosa c/ pouca areia fina, média	24	10
	AM-2-2	4,1	Argila siltosa, pouco orgânica, mole	50	25
Ilha 2	AM-2-3	6,3	Argila siltosa, pouco orgânica, mole	71	40
	AM-2-4	11,3	Argila siltosa, pouco orgânica, muito mole	64	30
	AM-2-5	13,3	Argila siltosa, pouco orgânica, muito mole	66	35

A extrapolação dos estudos realizados para outros depósitos de solos moles similares, principalmente alguns depósitos da cidade do Recife-PE, mostrou ser de vital importância nesta dissertação, visto que não se dispunha de alguns dados necessários para o desenvolvimento do trabalho.

5.3 RESULTADOS DO ENSAIO DE ADENSAMENTO

A partir dos resultados dos ensaios de adensamento foram determinados os parâmetros de compressibilidade e adensamento: índices de compressibilidade (Cr, Cc, e Cs), tensão de préadensamento (σ'vm) e coeficiente de adensamento Cv.

Foi determinada a curva de compressibilidade em termos de índice de vazio (e) versus tensão vertical efetiva (σ'v), este último, em escala log.

Além das curvas de compressibilidade, foram apresentadas as curvas de coeficiente de adensamento com drenagem vertical (C_v) versus tensão vertical efetiva σ'_v média do estágio, com σ'_v em escala log.

Para a determinação da tensão de pré-adensamento (σ'vm) foi utilizado o método de Pacheco e Silva (1970). O índice de recompressão (Cr) foi calculado no trecho de recompressão a partir da tensão vertical efetiva in situ (σ'v0), já o índice de compressão (Cc) foi determinado no trecho retilíneo da curva de compressão virgem logo após a tensão de pré-adensamento (σ'vm). Por fim, o índice de expansão (Cs) foi calculado sobre a reta secante a curva de expansão que une os pontos de início e fim do descarregamento.

A metodologia dos ensaios de adensamento e obtenção dos parâmetros de compressibilidade foram descritas no Capítulo 4 desta dissertação.

5.3.1 Tensão vertical efetiva

Para a determinação do perfil de tensão vertical efetiva, considerou-se os parâmetros de caracterização e índices físicos obtidos nas duas ilhas de investigação, com base nos valores obtidos de peso específico natural (γ_{nat}). Foi dividido o perfil em 7 camadas para ilha 1 e 9 camadas para ilha 2. Admitiu-se que o peso específico saturado (γ_{sat}) é igual ao peso específico natural (γ_{nat}). O peso específico das camadas arenosas (γ^*) foram estimados a partir da proposta de Godoy (1972) *apud* Cintra *et al.* (2003), conforme discutido no Capítulo 2. As Figuras 71 e 72 apresentam os perfis da tensão vertical obtido para as duas ilhas em questão.

Através do perfil descrito, foi determinada a tensão efetiva vertical (σ'_{v0}) nas profundidades das amostras coletadas das duas ilhas, conforme apresentado nas Tabelas 28 e 29.

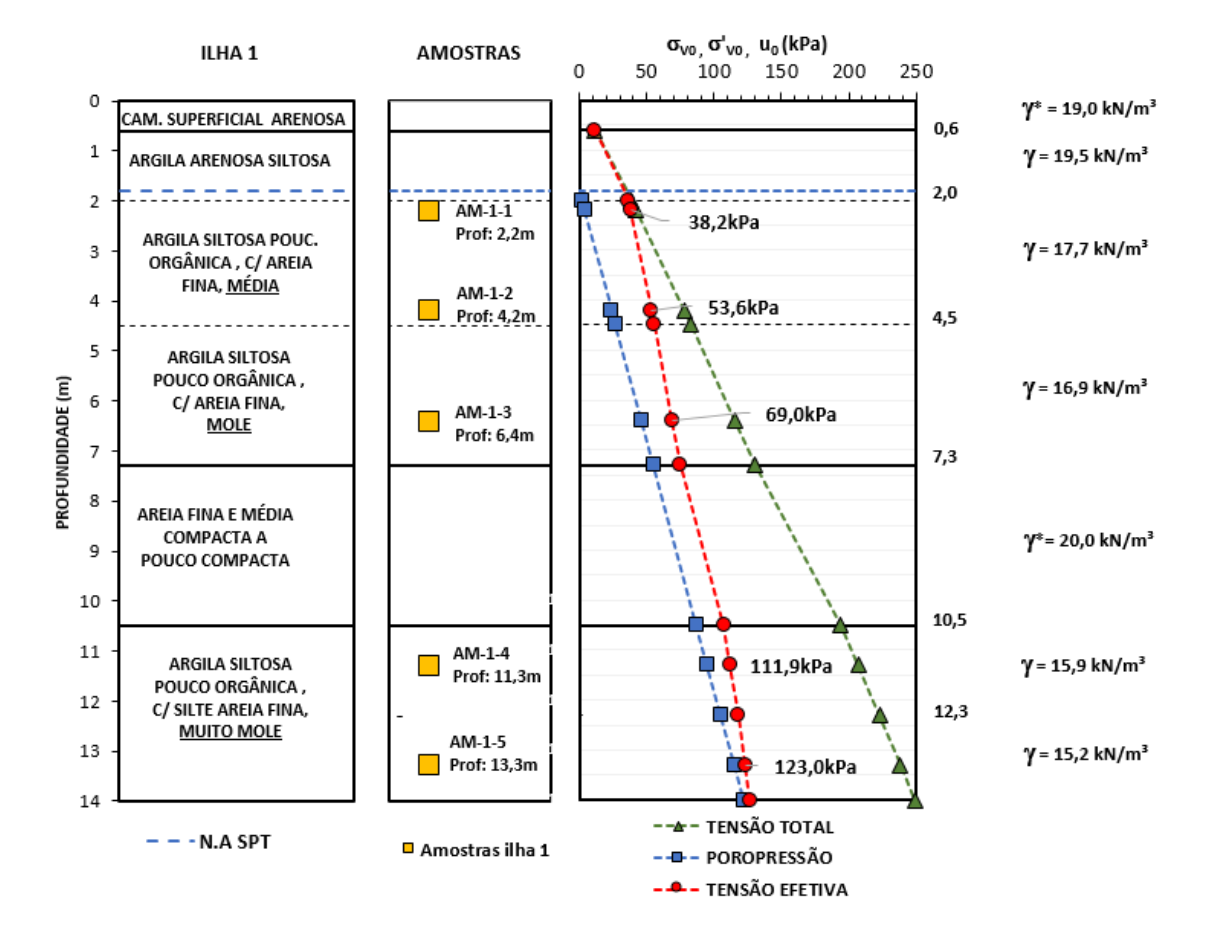


Figura 71 - Perfil de tensão vertical efetiva das ilha 1.

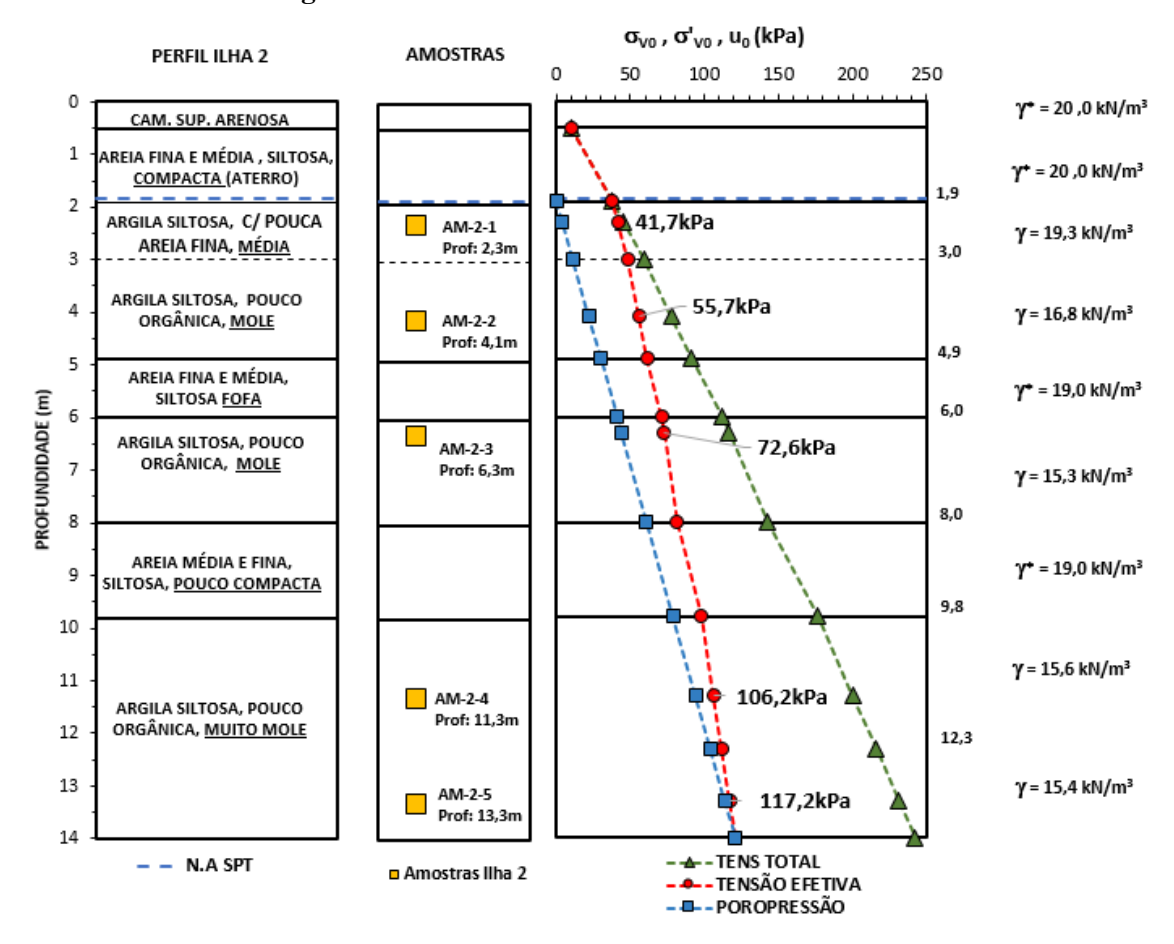


Figura 72 - Perfil de tensão vertical efetiva das ilha 2.

Tabela 28 - Tensão vertical efetiva das amostras da ilha 1.

Corpo de prova	Profundidade (m)	Profundidade média (m)	Tensão Vertical Efetiva - σ' _{v0} (kPa)
AM-1-1	2,0 a 2,32	2,2	38,2
AM-1-2	4,0 a 4,47	4,2	53,6
AM-1-3	6,0 a 6,83	6,4	69,0
AM-1-4	11,0 a 11,57	11,3	111,9
AM-1-5	13,0 a 13,62	13,3	123,0

Tabela 29 - Tensão vertical efetiva das amostras da ilha 2.

Corpo de prova	Profundidade (m)	Profundidade média (m)	Tensão Vertical Efetiva - σ' _{v0} (kPa)
AM-2-1	2,0 a 2,49	2,3	41,7
AM-2-2	4,0 a 4,25	4,1	55,7
AM-2-3	6,0 a 6,62	6,3	72,6
AM-2-4	11,0 a 11,72	11,3	106,2
AM-2-5	13,0 a 13,53	13,3	117,2

Ressalta-se que os valores encontrados para a tensão efetiva das camadas de solo das duas ilhas de investigação carregam uma certa incerteza em seus resultados atrelada a estimativa do peso específico das camadas arenosas por correlação com o N_{SPT} a partir da proposta de Godoy (1972) *apud* Cintra *et al.* (2003), como informado anteriormente.

5.3.2 Tensão de Pré-Adensamento

Como dito no início deste capítulo, a determinação da tensão de pré-adensamento (σ'vm) foi realizada pelo método de Pacheco e Silva (1970).

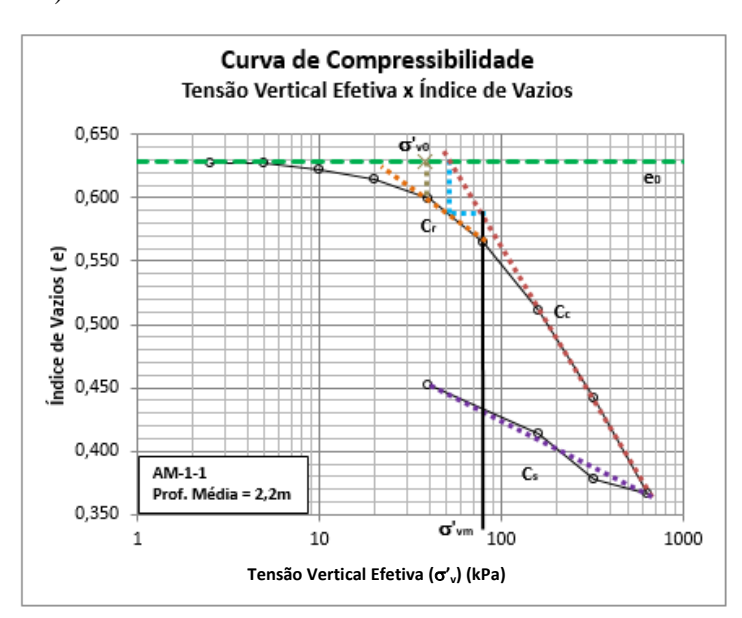
A Tabela 30 apresenta um resumo dos parâmetros obtidos nas ilhas de investigação.

Tabela 30 - Resumo dos parâmetros de compressibilidade das ilhas 1 e 2.

Local	Amostra	Prof. (m)	Cr	Cc	C_s	\mathbf{e}_0	$CR = C_c/(1+e_0)$	σ'vm (kPa)	OCR
	AM-1-1	2,2	0,11	0,23	0,07	0,629	0,14	80	2,1
	AM-1-2	4,2	0,06	0,27	0,05	0,910	0,14	114	2,1
ILHA 1	AM-1-3	6,4	-	0,59	0,10	1,142	0,28	60	0,9
	AM-1-4	11,3	-	0,52	0,14	1,488	0,21	75	0,7
	AM-1-5	13,3	-	0,73	0,17	1,825	0,26	70	0,6
	AM-2-1	2,3	0,07	0,18	0,04	0,632	0,11	90	2,2
	AM-2-2	4,1	0,24	0,37	0,07	1,216	0,17	60	1,1
ILHA 2	AM-2-3	6,2	-	0,83	0,16	1,819	0,29	70	1,0
	AM-2-4	11,3	-	0,68	0,18	1,621	0,26	80	0,8
	AM-2-5	13,3	-	0,81	0,18	1,823	0,29	65	0,6

A Figura 73 exemplifica a obtenção dos parâmetros de compressibilidade para uma amostra da ilha 1. A metodologia de obtenção dos parâmetros foi exibida no Capítulo 2. As curvas das demais amostras estão contempladas no Apêndice C desta dissertação.

Figura 73 - Curva de compressibilidade e determinação dos parâmetros (C_r , C_c , C_s e σ'_{vm}) da amostra AM-1-1. (ILHA 1)



Amostra AM-1-1								
Profundidade Média:	2,2							
e ₀ :	0,629							
e _{o'vo:}	0,600							
σ' _{v0} :	38,2							
C _{C1} :	0,23							
C _r :	0,11							
C _s :	0,070							
σ' _{vm} :	80							
OCR:	2,1							

Qualidade	
ε _{σ'ν0} (%):	1,80
Δ e/e ₀ :	0,050
	Muito boa a
Coutinho ($\Delta e/e_0$):	Excelente
Lunne (Δ e/e ₀):	Boa a regular
Lunne (ε _{σνο}):	Muito boa a
tunne (ε _{σ\0}):	Excelente

5.3.3 Avaliação da qualidade da amostra

Para a classificação da qualidade das amostras extraídas no local de estudo, foi utilizado a metodologia proposta por Lunne *et al.* (1997) e Coutinho (2007), este último desenvolveu sua proposta com base nas argilas brasileiras.

Conforme descrito no Capítulo 2, a metodologia consiste na determinação do OCR e do índice $\Delta e/e_0$, onde Δe é a variação do índice de vazios desde o início do ensaio até a tensão vertical efetiva in situ σ'_{v0} . A classificação também pode ser feita em termos da deformação volumétrica (ϵ_{vo}) para uma argila particular, multiplicando-se $\Delta e/e_0$ por $e_0/(1+e_0)$ correspondente.

A Tabela 31 apresenta as classificações obtidas nas amostras extraídas nas duas ilhas de investigação estudadas, segundo critérios de Coutinho (2007) e Lunne *et al.* (1997).

Tabela 31 - Resumo da análise da qualidade das amostras das duas ilhas estudadas.

	Tabela 31 - Resumo da ananse da quandade das amostras das duas finas estudadas.											
Local	Amostra	Prof.	σ'_{v0}	σ'_{vm}	OCR	e ₀	A	$\Delta e/e_0$	$\epsilon_{\sigma'vo}$	Coutinho	Lunne	Lunne
Locai	mostra	(m)	(kPa)	(kPa)	OCK	Cu	$e_{\sigma'v0}$	ν ₀ Δε/ε ₀	(%)	$(\Delta e/e_0)$	$(\Delta e/e_0)$	$(\epsilon_{\sigma'v_0})$
ILHA 1	AM-1-1	2,2	38,2	80	2,1	0,629	0,600	0,050	1,8	Muito boa a excelente	Boa a regular	Muito boa a excelente
	AM-1-2	4,2	53,6	114	2,1	0,910	0,882	0,031	1,5	Muito boa a excelente	Muito boa a excelente	Muito boa a excelente
	AM-1-3	6,4	69	60	0,87	1,142	0,940	0,18	9,4	Muito pobre	Muito pobre	Podre / Muito pobre
	AM-1-4	11,3	111,9	75	0,67	1,488	1,148	0,23	13,7	Muito pobre	Muito pobre	Pobre / Muito pobre
	AM-1-5	13,3	117,2	70	0,57	1,825	1,294	0,29	18,8	Muito pobre	Muito pobre	Pobre / Muito pobre
	AM-2-1	2,3	41,7	90	2,2	0,632	0,590	0,070	2,5	Boa a regular	Pobre	Muito boa a excelente
	AM-2-2	4,1	55,7	60	1,1	1,216	1,083	0,11	6,3	Pobre	Pobre	Boa a regular
ILHA 2	AM-2-3	6,2	72,6	70	1,0	1,819	1,649	0,090	5,9	Pobre	Pobre	Boa a regular
2	AM-2-4	11,3	106,2	80	0,75	1,621	1,253	0,23	14,0	Muito pobre	Muito pobre	Pobre / Muito pobre
	AM-2-5	13,3	117,2	65	0,55	1,823	1,132	0,38	24,5	Muito pobre	Muito pobre	Pobre / Muito pobre

Os resultados da análise da qualidade das amostras realizadas nas ilhas de investigação mostram que apenas 3 das 10 amostras ensaiadas apresentaram resultados satisfatórios, variando entre uma classificação regular a excelente pelo critério de classificação de Coutinho (2007). As demais amostras apresentaram resultado pobre a muito pobre.

Ressalta-se que a amostra AM-2-3 classificada como pobre pela classificação de Coutinho (2007) apresenta $\Delta e/e_0 = 0,093$ que é um valor muito próximo do limite entre as classificações boa a regular e pobre. Sendo assim, como sugestão e autorização do próprio autor da classificação, Coutinho (2007), a referida amostra pode ser considerada como de qualidade regular.

5.3.4 Correção da curva de Compressibilidade

Para a interpretação correta dos parâmetros nas amostras classificadas como pobre ou muito pobre, as curvas de compressibilidades foram corrigidas utilizando os métodos de Schmertmann (1955), Oliveira (2002) e Coutinho (2007), conforme descrito no Capítulo 2.

5.3.4.1 Proposta de correção de Oliveira (2002)

A proposta de Oliveira (2002) foi aplicada nas amostras que apresentaram $e_0 > 1,4$ uma vez que quando o método foi aplicado nas amostras com índice de vazios iniciais menores os resultados obtidos foram inconsistentes.

Para análise do comportamento do método de correção, recomenda-se aplica-lo em amostras que apresentaram qualidade satisfatória para verificar se a curva obtida por ele mantem a mesma tendência de comportamento da amostra de boa qualidade. Como nenhuma das amostras onde foi possível aplicar o método de correção de Oliveira (2002) apresentaram qualidade satisfatória com relação a classificação de qualidade da amostra, não foi possível analisar o comportamento da correção proposta.

A Figura 74, exemplifica a correção pelo método de Oliveira (2002), sendo apresentados as demais correções, no Apêndice D.

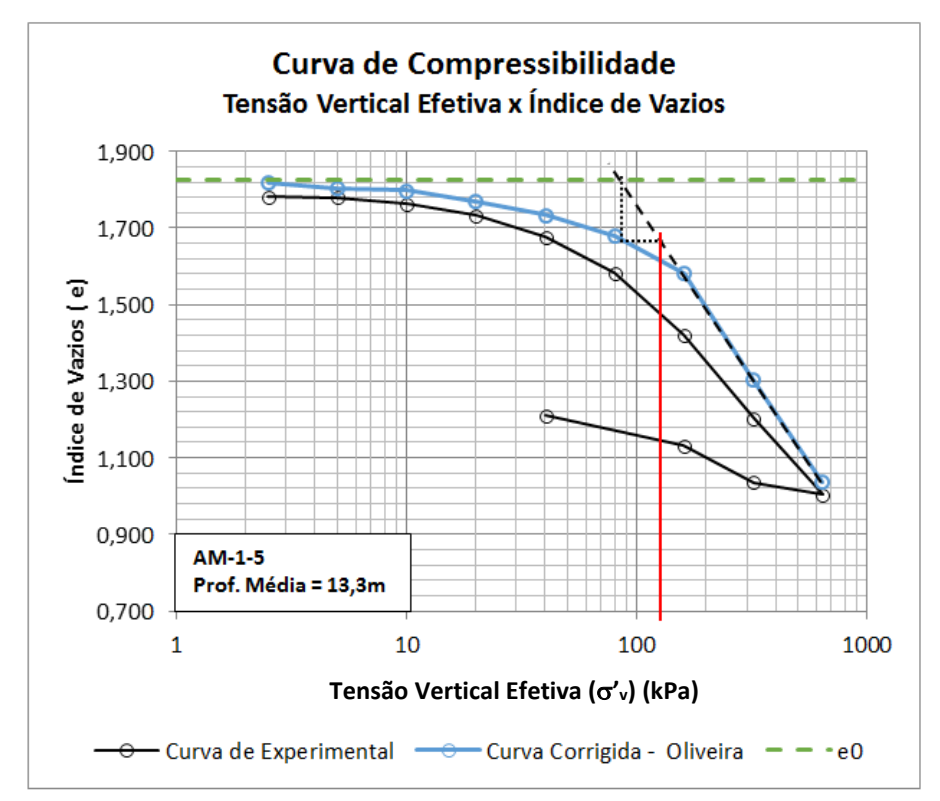


Figura 74 - Correção da curva de compressibilidade (OLIVEIRA, 2002), amostra AM-1-5, Ilha 1

A Tabela 32 apresenta a comparação entre os parâmetros obtidos com e sem correção, para as amostras onde foi possível a aplicação do método de Oliveira (2002). Percebe-se que a tensão de pré-adensamento foi mais influenciada pela correção que o índice de compressão.

Tabela 32 - Comparação entre os parâmetros de compressibilidade com e sem correção.

Local A	Amostro	A mostro	Amostra	Amostro	Amagtua	A magtus	Amagtus	A ma actua	Prof	σ' _{v0}	OEDO)MÉTI	RICO		RREÇÃ ÆIRA, 2		CORREÇA MÉTI	
	Amostra	(m)	(kPa)	$\begin{array}{c} \sigma'_{vm} \\ (kPa) \end{array}$	OC R	C_c	$\begin{matrix} \sigma'_{vm} \\ (kPa) \end{matrix}$	OCR	$\mathbf{C}_{\mathbf{c}}$	σ' _{vm} (kPa)	C_c							
Ilha 1	AM-1-4	11,3	111,9	75	0,7	0,52	158	1,4	0,76	2,11	1,46							
IIIIa I	AM-1-5	13,3	117,2	70	0,6	0,73	134	1,1	0,91	1,91	1,25							
	AM-2-3	6,3	72,6	70	1,0	0,83	147	2,0	0,90	2,10	1,08							
Ilha 2	AM-2-4	11,3	106,2	80	0,8	0,68	151	1,4	0,81	1,89	1,19							
	AM-2-5	13,3	117,2	65	0,6	0,81	137	1,2	0,90	2,11	1,11							

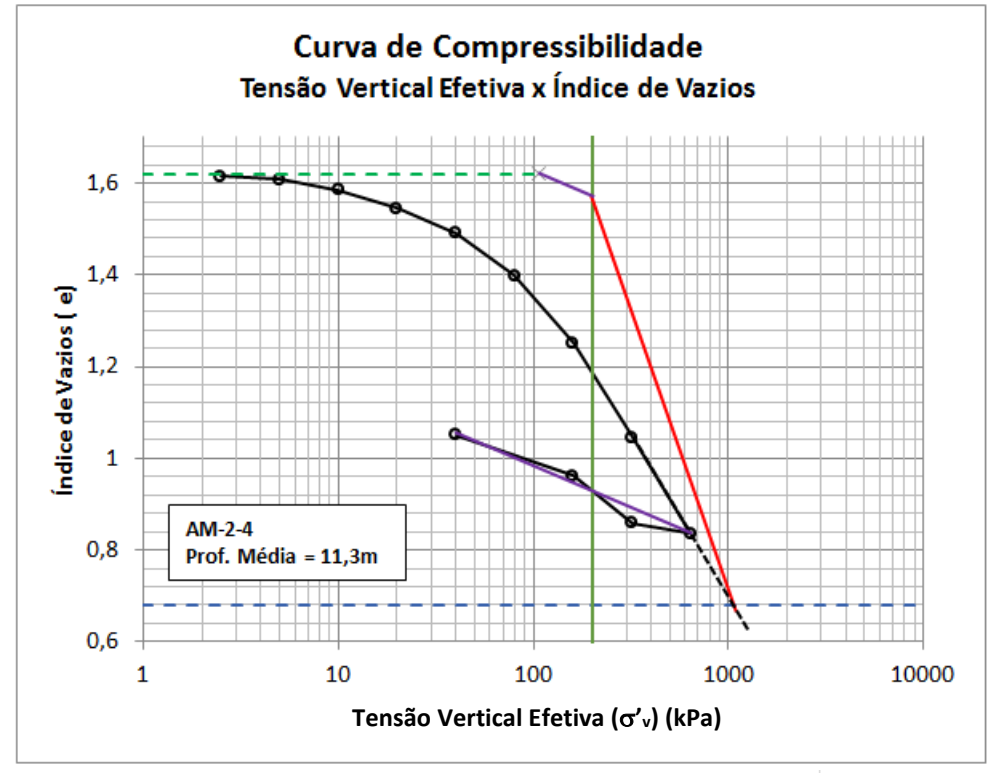
5.3.4.2 Proposta de correção Schmertmann (1955)

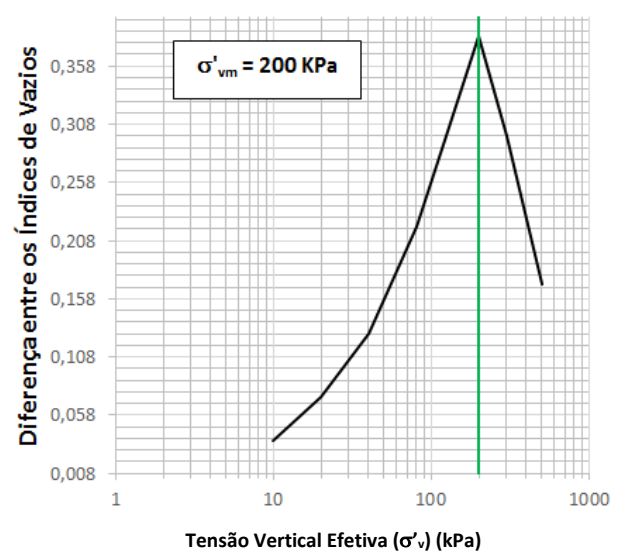
A correção da curva de compressibilidade utilizando o método de Schmertmann (1955) seguiu a metodologia descrita no Capítulo 2. A Tabela 33 apresenta os parâmetros corrigidos pela proposta de Schmertmann (1955). A Figura 75 apresenta uma das amostras corrigidas. No Apêndice E, encontram-se todas as demais amostras corrigidas.

Tabela 33 -	Parâmetros	corrigidos	pela pro	posta de	Schmertmann	(1955).

Local	Amostra	Prof.	σ'v0	OEDO	MÉTRI	CO	CORREÇÃO (SCHMERTMANN, 1955)			
		(m)	(kPa)	$\sigma'_{vm}(kPa)$	OCR	C_c	$\sigma'_{vm}(kPa)$	OCR	Cc	
	AM-1-3	6,4	69	60	0,9	0,59	80	1,1	0,63	
Ilha 1	AM-1-4	11,3	111,9	75	0,7	0,52	200	1,8	1,05	
	AM-1-5	13,3	117,2	70	0,6	0,73	200	1,7	1,2	
	AM-2-2	4,1	55,7	60	1,1	0,37	80	1,4	0,44	
Ilha 2	AM-2-3	6,3	72,6	70	1	0,83	200	2,8	1,63	
IIna Z	AM-2-4	11,3	106,2	80	0,8	0,68	200	1,9	0,73	
	AM-2-5	13,3	117,2	65	0,6	0,81	200	1,7	0,99	

Figura 75 - Correção da curva de compressibilidade, Schmertmann (1955), amostra AM-2-4 - (Ilha 2).





5.3.4.3 Proposta de Coutinho (2007)

A partir das curvas de compressibilidade obtidas em função da deformação específica (ε_{V0}) , foi determinada a deformação específica correspondente as tensões geostáticas no campo (σ'_{V0}) que segundo Lunne *et al.* (1997) é um indicador de amolgamento e consequentemente da qualidade de amostras.

Coutinho *et al.* (1998) e Coutinho *et al.* (2000) comentam que como esperado, os valores de CR e OCR diminuem fortemente quando ε_{vo} aumenta, propondo correlações entre parâmetros como o CR e OCR versus deformação especifica (ε_{vo}) para depósitos do SESI-Ibura em diferentes camadas.

Conforme proposto pelo referido autor, as análises da razão de compressão (CR) e razão de pré-adensamento (OCR) *versus* a deformação específica foram realizadas dividindo em camadas, sendo nomeada a camada 1 os depósitos argilosos com profundidade entre 1,9 e 5,0m e camada 2 os depósitos encontrados a profundidades superiores a 6 metros.

Como foram coletadas apenas 10 amostras indeformadas para todo o local de investigação, optou-se por juntar as amostras que fossem semelhantes nas duas ilhas de investigação em camadas iguais.

A Tabela 34 mostra o resumo das amostras que compõem cada camada.

Tabela 34 - Amostras que compõem as camadas 1 e 2.

			Camada 1			
Local	Amostra	Classificação (COUTINHO, 2007)	Prof. Média (m)	$W_{n}\left(\%\right)$	$\gamma_n(kN/m^3)$	e ₀
Ilha 1	AM-1-1	Muito boa a excelente	2,2	22	19,5	0,629
ima i	AM-1-2	Muito boa a excelente	4,2	37	17,7	0,910
Ilha 2	AM-2-1	Boa a regular	2,3	24	19,3	0,632
IIIIa 2	AM-2-2	Pobre	4,1	50	16,8	1,216
			Camada 2			
Local	Amostra	Classificação (COUTINHO, 2007)	Prof. Média (m)	$W_{n}\left(\%\right)$	$\gamma_n \; (kN/m^3)$	e ₀
	AM-1-3	Muito pobre	6,4	47	16,9	1,142
Ilha 1	AM-1-4	Muito pobre	11,3	55	15,9	1,488
	AM-1-5	Muito pobre	13,3	95	15,2	1,825
	AM-2-3	Pobre	6,2	71	15,3	1,819
Ilha 2	AM-2-4	Muito pobre	11,3	64	15,6	1,621
	AM-2-5	Muito pobre	13,3	66	15,4	1,823

O valor do OCR corresponde a relação entre a tensão efetiva de pré-adensamento (σ'_{vm}) e a tensão efetiva de campo (σ'_{v0}). Após a correção do OCR, será obtido matematicamente os valores de σ'_{vm} através da relação, pois a tensão efetiva de campo não sofre influência com o amolgamento da amostra, sendo possível a correlação.

Também serão obtidos matematicamente os valores de C_c, através dos valores de CR corrigido.

Correção do OCR e σ΄vm

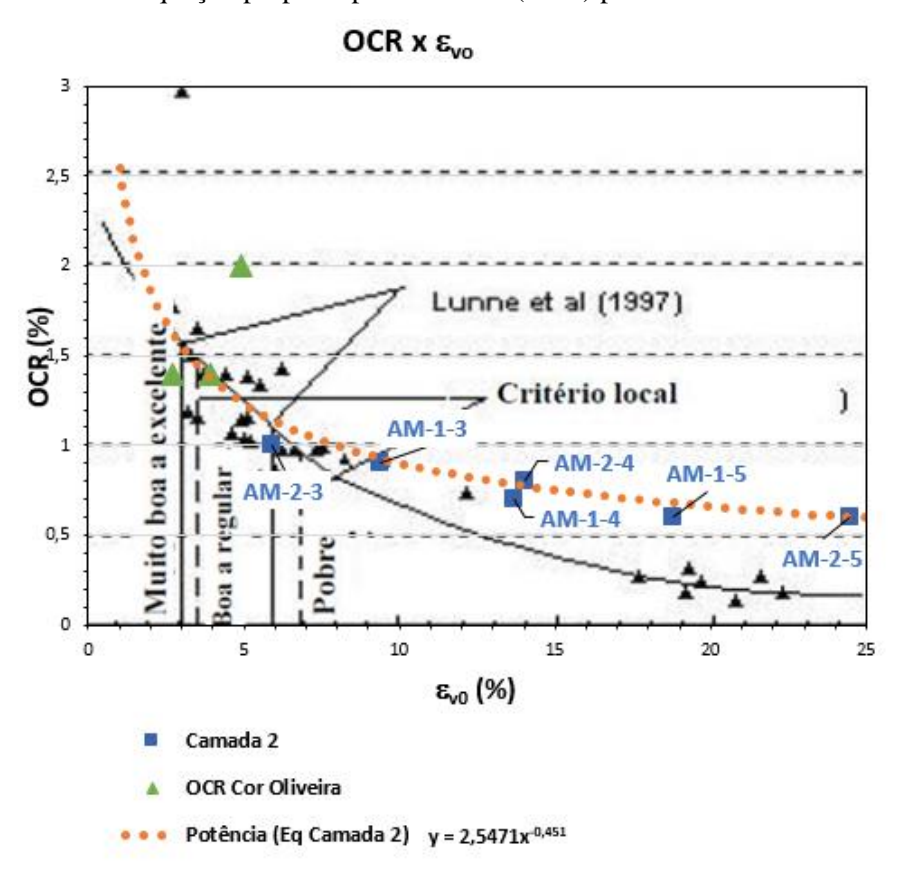
Para aplicabilidade do método de correção proposto por Coutinho (2007) é necessário que existam amostras com qualidade satisfatória e insatisfatória na mesma camada para que seja possível a obtenção da equação de correção dos parâmetros.

Como pode ser visto na Tabela 34, todas as amostras que apresentaram qualidade satisfatória estão localizadas na camada 1.

Como alternativa para utilização do método optou-se por fazer um ajuste na proposta de correção, que consistiu em utilizar as equações propostas por Coutinho (1998) para o Sesi Ibura (Capítulo 2) como uma referência para a tendência do gráfico da equação de correção.

A Figura 76 exibe a equação para correção do OCR das amostras pela proposta de Coutinho (2007). Os pontos corrigidos pelo método proposto por Oliveira (2002) também foi plotado no mesmo gráfico. Observa-se que as duas propostas de correção são coerentes entre si.

Figura 76 - Curva OCR x $\varepsilon_{\sigma'v0}$ para a camada 2 do local de estudo, tomando como referência a equação proposta por Coutinho (1998) para o Sesi Ibura.



A Tabela 35 exibe o resumo das correções da razão de pré-adensamento pelo método de Coutinho (2007). O valor de $\varepsilon_{\sigma'v0}$ adotado na equação foi de 4%.

Tabela 35 - Parâmetros σ'vm e OCR corrigidos por Coutinho (2007) para a Camada 2.

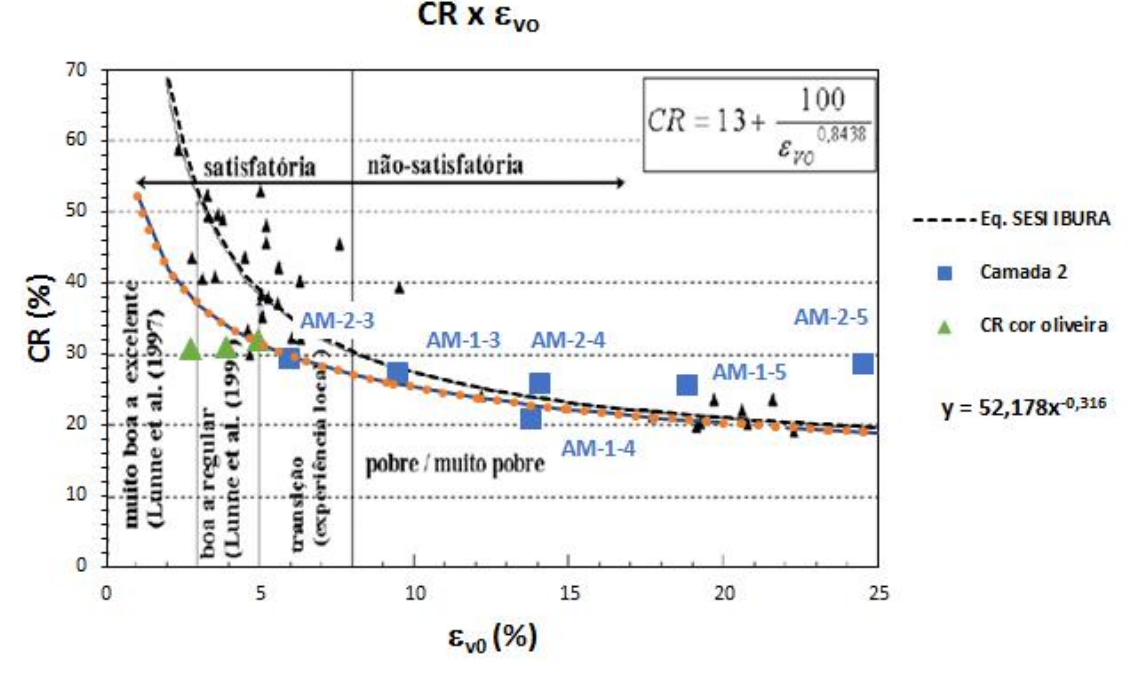
Ilha	Amostras	Prof.	E	Parâme corr		Correc Coutinho	CORREÇÃO/OE DOMÉTRICO	
		Média (m)	Equação	σ' _{vm} (kPa)	OCR	σ' _{vm} (kPa)	OCR	σ'vm
	AM-1-3	6,4	OCR = $2,5471.\epsilon_{\sigma,v0}^{-0,451}$	60	0,9	94	1,36	1,50
1	AM-1-4	11,3	$OCR = 2,5471.\epsilon_{\sigma,v0}^{-0,451}$	75	0,7	152	1,36	2,03
	AM-1-5	13,3	$OCR = 2,5471.\epsilon_{\sigma'v0}^{-0,451}$	70	0,6	159	1,36	2,27
	AM-2-3	6,2	$OCR = 2,5471.\epsilon_{\sigma,v0}^{-0,451}$	70	1,0	99	1,36	1,41
2	AM-2-4	11,3	$OCR = 2,5471.\epsilon_{\sigma,v0}^{-0,451}$	80	0,8	144	1,36	1,80
	AM-2-5	13,3	$OCR = 2,5471.\epsilon_{\sigma,v0}^{-0,451}$	65	0,6	159	1,36	2,45

■ Correção de CR e C_c

A mesma metodologia adotada na proposta de correção da razão de pré-adensamento (OCR) foi aplicada para o índice de compressão (CR).

A Figura 77 exibe a equação para correção do CR pela proposta de Coutinho (2007). Os pontos corrigidos pelo método proposto por Oliveira (2002) também foi plotado no mesmo gráfico. Mais uma vez, observa-se que as duas propostas de correção, de Oliveira (2002) e de Coutinho (2007), são coerentes entre si.

Figura 77 - Curva CR x $\epsilon_{\sigma'v0}$ para a camada 2 do local de estudo, tomando como referência a equação proposta por Coutinho (1998) para o Sesi Ibura.



A Tabela 36 exibe o resumo das correções do índice de compressão pelo método de Coutinho (2007). O valor de $\epsilon_{\sigma'v0}$ adotado na equação foi de 4%.

Ilha	Amostras	Prof. Média	Equação		metros orreção	Corre Coutinh	3	CORREÇÃO / OEDOMÉTRICO
		(m)		CR	$\mathbf{C_c}$	CR	C_c	$\mathbf{C_c}$
	AM-1-3	6,4	$CR = 52,178.\epsilon_{\sigma,v0}^{-0,316}$	27,5	0,59	33,67	0,72	1,22
1	AM-1-4	11,3	$CR = 52,178.\epsilon_{\sigma,v0}^{-0,316}$	20,9	0,52	33,67	0,84	1,62
	AM-1-5	13,3	$CR = 52,178.\epsilon_{\sigma,v0}^{-0,316}$	25,8	0,73	33,67	0,95	1,30
	AM-2-3	6,2	$CR = 52,178.\epsilon_{\sigma,v0}^{-0,316}$	29,4	0,83	33,67	0,95	1,44
2	AM-2-4	11,3	$CR = 52,178.\epsilon_{\sigma,v0}^{-0,316}$	25,9	0,68	33,67	0,88	1,29
	AM-2-5	13,3	$CR = 52,178.\varepsilon_{\sigma,v0}^{-0,316}$	28,7	0,81	33,67	0,95	1,17

Tabela 36 - Parâmetros C_ce CR corrigidos por Coutinho (2007) para a Camada 2.

5.3.4.4 Resumo das Correções

As correções foram discutidas por três métodos diferentes, o proposto por Oliveira (2002), desenvolvido com base na experiência de dados locais, propõe, de forma prática, a construção de uma curva teórica baseada nos valores de e₀. Na utilização do método, observouse que o mesmo não apresentou bom comportamento para amostras com e₀ pequenos, menores que 1,4, por este motivo as amostras AM-1-3 e AM-2-2 não puderam ser corrigidas por esta proposta.

A proposta de Schmertmann (1955) é um procedimento trabalhoso que corrige a tensão de pré-adensamento de uma maneira interativa, através do método de tentativas e erro, tendo como base a diferença de índice de vazios na curva edométrica, entre a curva corrigida e a curva de laboratório para diversos valores de tensão de pré-adensamento arbitradas. O ponto de simetria da curva de diferença de índice de vazios é a tensão de pré-adensamento supostamente real.

Para a utilização do método proposto por Coutinho (2007), primeiramente, foram avaliadas as características do depósito, procurando entender sua variabilidade. Só após as definições das camadas em diferentes regiões, é que foram propostas equações de CR e OCR em função do coeficiente deformação volumétrica (ε_{Vo}). Nesta proposta é essencial que uma mesma camada possua amostras com qualidade satisfatória e insatisfatória para elaboração da equação de correção. Como isso não aconteceu com as amostras estudadas, todas as amostras da camada 2 apresentaram qualidade insatisfatória e as amostras da camada 1 não dispunham de um número de pontos suficientes para aplicação do método, foi utilizada a equação proposta por Coutinho (1998) para o depósito de argila do Sesi Ibura como tendência da equação da camada 2 do local de estudo.

A seguir será apresentada na Tabela 37 um resumo com os valores obtidos nos três métodos descritos.

Tabela 37 - Resumo dos parâmetros corrigidos pelos três diferentes métodos, Oliveira(2002), Coutinho (2007) e Schmertmann (1955).

LOCAL	AMOSTRA	QUALIDADE Coutinho (2007)	OEDOMÉTRICO		OLIVEIRA (2002)			COUTINHO (2007)		SCHMERTMANN (1955)			METODOLOGIA		
			σ'vm (kPa)	OCR	Cc	σ'vm (kPa)	OCR	Cc	σ'vm (kPa)	OCR	Cc	σ'vm (kPa)	OCR	Cc	ADOTADA
	AM-1-3	Muito pobre	60	0,9	0,59	-	-	-	94	1,4	0,72	80	1,1	0,63	COUTINHO (2007)
Ilha 1	AM-1-4	Muito pobre	75	0.7	0,52	158	1,4	0,76	152	1,4	0,84	200	1,8	1,05	OLIVEIRA (2002)
	AM-1-5	Muito pobre	70	0,6	0,73	134	1,1	0,91	159	1,4	0,95	200	1,7	1,20	COUTINHO (2007)
	AM-2-2	Pobre	60	1,1	0,37	-	-	-	-	-	-	80	1,4	0,44	SCHMERTMANN (1955)
Ilha 2	AM-2-3	Regular a pobre*	70	1,0	0,83	147	2,0	0,90	99	1,4	0,95	200	2,8	1,63	OLIVEIRA (2002)
	AM-2-4	Muito pobre	80	0,8	0,68	151	1,4	0,81	144	1,4	0,88	200	1,9	0,73	COUTINHO (2007)
	AM-2-5	Muito pobre	65	0,6	0,81	137	1,2	0,90	159	1,4	0,95	200	1,7	0,99	COUTINHO (2007)

5.3.5 Parâmetros Geotécnicos de Compressibilidade obtidos através de Correlações

Conforme discutido no Capitulo 3, Coutinho *et al.* (2007), desenvolveram correlações estatísticas entre parâmetros de adensamento (C_c, C_s e e₀) em função da umidade inicial (Wn%), para o banco de dados das argilas moles do Recife.

Aplicando-se a equação proposta por Coutinho *et al.* (2007), para o depósito de argila mole estudado, obteve-se os resultados exibidos na Tabela 38.

Tabela 38 - C_C vs W_n e e₀ vs W_n obtidos a partir das equação propostas de Coutinho *et al.* (2007).

Local	Amostra	Profundidade (m)	$rac{ ext{Wn}_{(ext{Laboratório})}}{ ext{(\%)}}$	$C_c = 0.014W_n - 0.094$	$e_0 = 0.024W_n + 0.141$
	AM-1-1	2,2	22	0,21	0,669
	AM-1-2	4,2	37	0,42	1,018
Ilha 1	AM-1-3	6,4	47	0,56	1,269
	AM-1-4	11,3	59	0,73	1,557
	AM-1-5	13,1	95	1,24	2,421
	AM-2-1	2,3	24	0,24	0,717
	AM-2-2	4,1	50	0,61	1,341
Ilha 2	AM-2-3	6,2	71	0,90	1,845
	AM-2-4	11,3	64	0,80	1,677
	AM-2-5	13,3	66	0,83	1,725

As Figuras 78 e 79 mostram o perfil de C_c e e_0 obtidos a partir das referidas equações e dos resultados dos ensaios de laboratório já corrigidas, nos casos necessários.

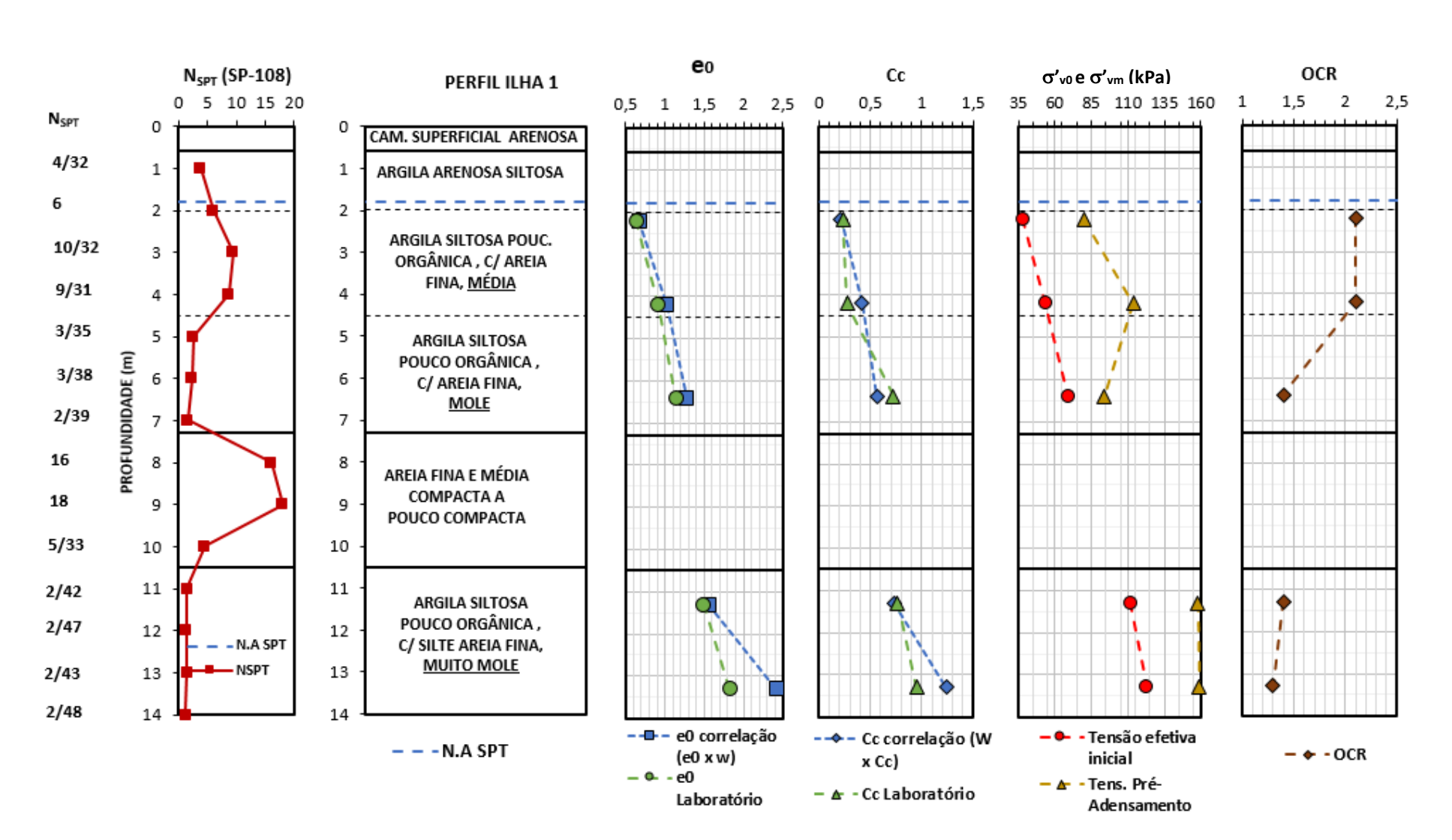


Figura 78 - Resultados do ensaio de adensamento da Ilha 1.

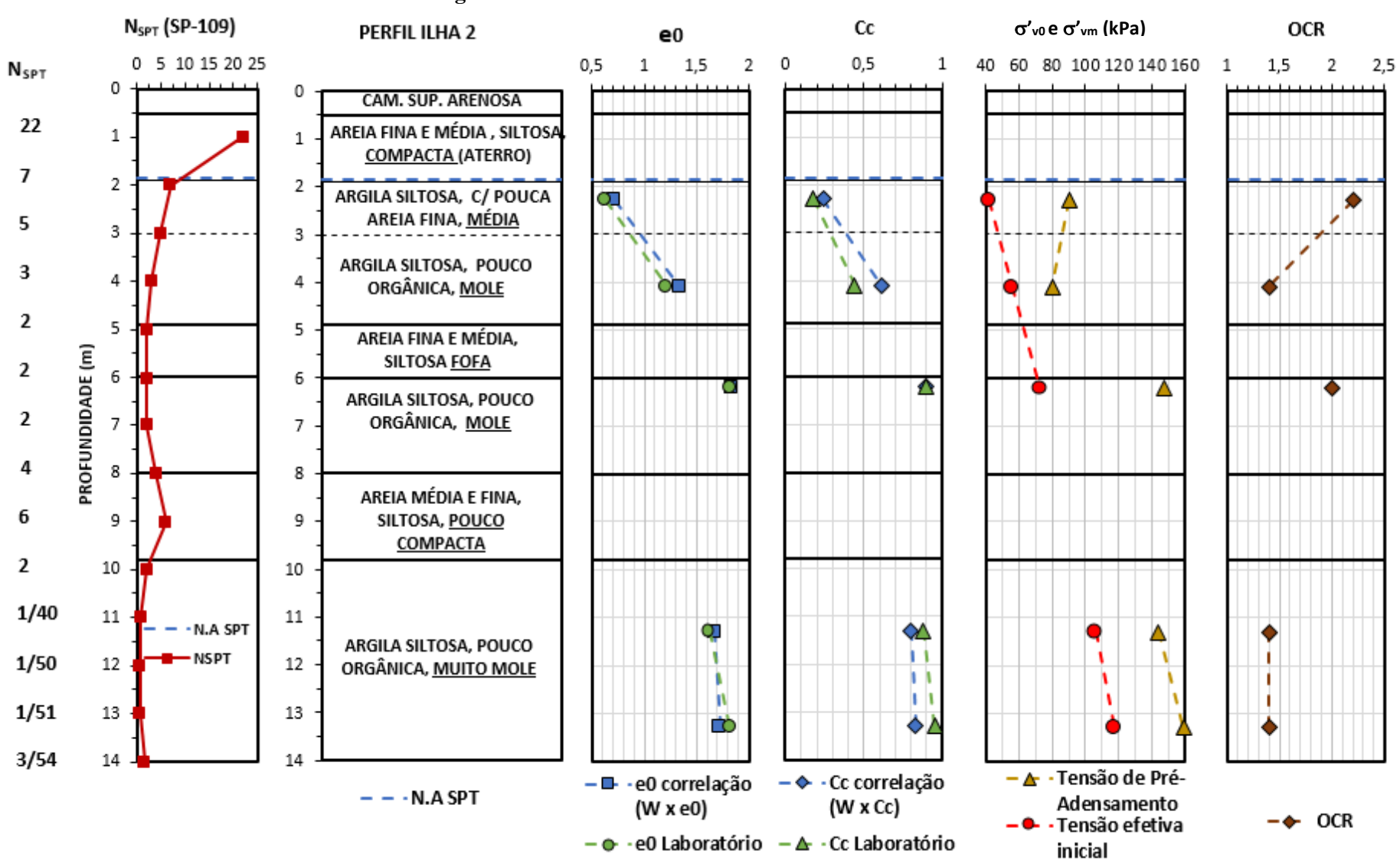


Figura 79 - Resultados do ensaio de adensamento da Ilha 2.

5.3.6 Síntese dos Parâmetros de Compressibilidade

A Tabela 39 mostra o resumo dos parâmetros de compressibilidade corrigidos, nos casos onde as amostras apresentaram qualidade insatisfatória, para as amostras das ilhas 1 e 2. As amostras que não necessitaram de correção foram as amostras AM-1-1 e AM-1-2 da ilha 1 e a amostra AM-2-1 da ilha 2.

Tabela 39 - Resumo dos parâmetros de compressibilidade corrigidos, quando necessário, para as amostras das ilhas 1 e 2.

Local	Amostra	Profundidade (m)	e ₀	σ' _{vm} (kPa)	OCR	Cc	Metodologia adotada
	AM-1-1	2,2	0,629	80	2,1	0,23	OEDOMÉTRICO
	AM-1-2	4,2	0,910	114	2,1	0,27	OEDOMÉTRICO
Ilha 1	AM-1-3	6,4	1,142	94	1,4	0,72	COUTINHO (2007)
	AM-1-4	11,3	1,488	158	1,4	0,76	OLIVEIRA (2002)
	AM-1-5	13,1	1,825	159	1,4	0,95	COUTINHO (2007)
Ilha 2	AM-2-1	2,3	0,632	90	2,2	0,18	OEDOMÉTRICO
	AM-2-2	4,1	1,216	80	1,4	0,44	SCHMERTMANN (1955)
	AM-2-3	6,2	1,819	147	2,0	0,90	OLIVEIRA (2002)
	AM-2-4	11,3	1,621	144	1,4	0,88	COUTINHO (2007)
	AM-2-5	13,3	1,823	159	1,4	0,95	COUTINHO (2007)

As Figuras 78 e 79 mostram os perfis de índice de vazios inicial, índice de compressão, tensão efetiva inicial, tensão de pré-adensamento e OCR parra as amostras das duas ilhas de investigação, ilha 1 e 2.

Observando-se as duas ilhas de investigação, percebe-se que tanto o índice de vazios inicial como o índice de compressão crescem com a profundidade nas duas ilhas de investigação. O índice de vazios inicial, e₀, apresenta valores entre 0,629 e 1,825. Essa faixa de valores está dentro dos valores registrados em Coutinho e Bello (2005) que apresentaram índice de vazios entre 0,5 e 5, 25 para as argilas moles/médias do Recife.

O índice de compressão C_c apresentou valores entre 0,18 e 0,95 que também está dentro da faixa de valores propostos por Coutinho e Bello (2005): 0,1< C_c < 2,8.

A razão de pré-adensamento apresentou-se com valores entre 1,4 a 2,1. A faixa de OCR para as argilas moles/médias da planície do Recife apresentam valores entre 1 a 2,5 (COUTINHO e OLIVEIRA, 1994).

A Figura 80 exibe os resultados dos ensaios de laboratório referentes a tensão de préadensamento e OCR juntamente com os resultados dos mesmos parâmetros obtidos a partir do ensaio CPTU, ambos na ilha 2. Verifica-se uma concordância dos resultados, principalmente para as camas mais profundas, a partir de 6m de profundidade (camada 2).

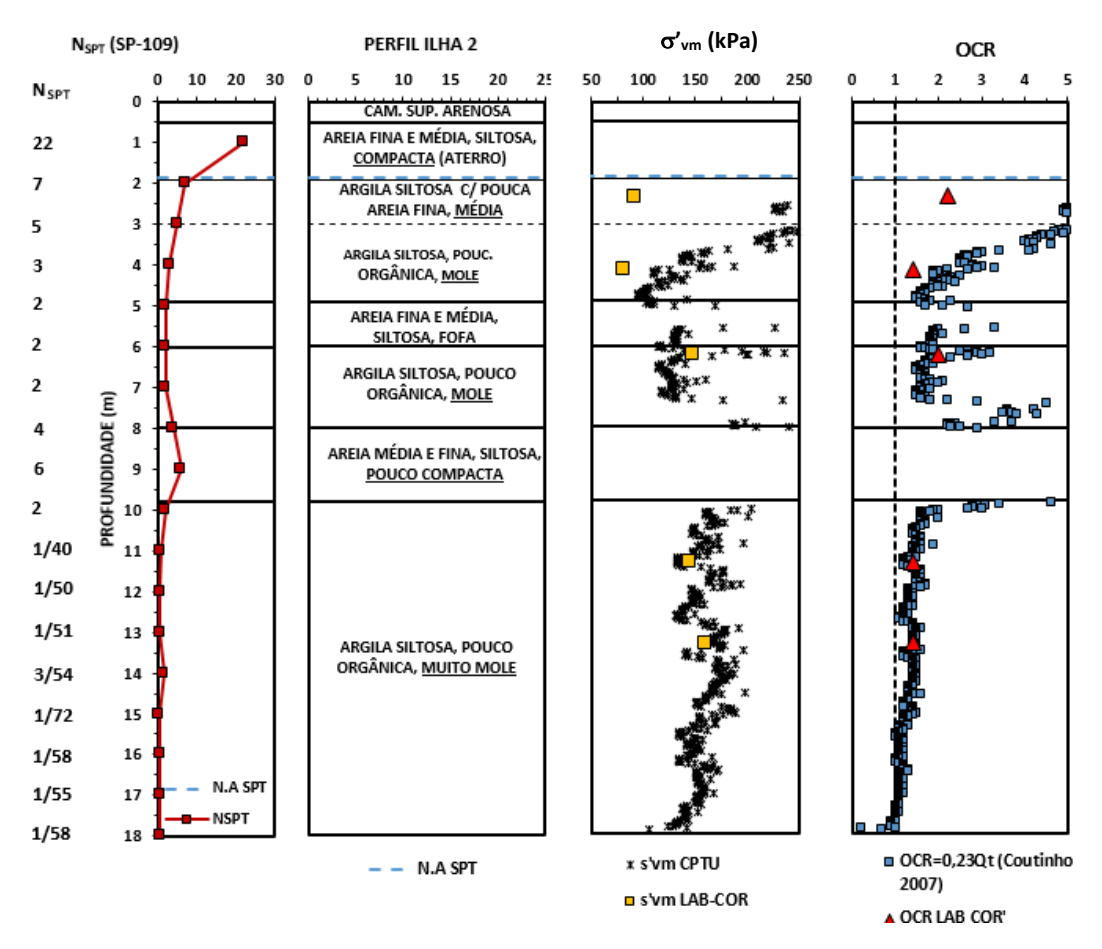


Figura 80 - Perfil de tensão de pré-adensamento e OCR obtidos através do ensaio CPTU para a ilha 2.

A metodologia adotada para a obtenção da tensão de pré-adensamento e OCR estão contempladas no Capítulo 2. Para a obtenção do OCR foi utilizado a proposta de Kulhawy e Mayne (1990) com a adaptação proposta por Coutinho (2007, 2008) para as argilas do Recife, sendo a formulação descrita pela Equação 51 juntamente com a Equação 52 utilizada para obtenção da tensão de pré-adensamento.

$$OCR = 0.23 \cdot \frac{q_t - \sigma_{v0}}{\sigma'_{v0}} \tag{51}$$

$$\sigma'_{vm} = 0.23 \cdot (q_t - \sigma_{v0}) \tag{52}$$

5.3.7 Coeficiente de Adensamento

O coeficiente de adensamento primário por drenagem vertical (C_v) é o parâmetro que regula a velocidade de dissipação dos excessos de poropressões, sendo que, quanto maior, mais rápido ocorrerá o adensamento.

A Equação 23 apresentada no Capítulo 2, traz a teoria clássica do adensamento unidimensional. Nela, fica claro que a velocidade do adensamento é inversamente proporcional ao coeficiente de compressibilidade (a_v), o que significa que para solos menos compressíveis o coeficiente de adensamento apresenta valores superiores aqueles mais compressíveis.

Diante disso, foi calculado o coeficiente de adensamento, considerando dois diferentes domínios, na fase de recompressão (C_{v recomp}) e no trecho de compressão virgem (C_{v virgem}).

Para a determinação do ($C_{vrecomp}$) foi considerado o intervalo pouco anterior ao trecho pré-adensado, destacado em vermelho na Figura 81. Esta consideração foi feita devido as incertezas atreladas a estimativa do peso específico das camadas arenosas a partir de correlações com o N_{SPT} que podem influenciar nos valores encontrados para a tensão efetiva de campo (σ'_{v0}), que apresentou valores um pouco superior aos resultados típicos de outros depósitos argilosos do Recife.

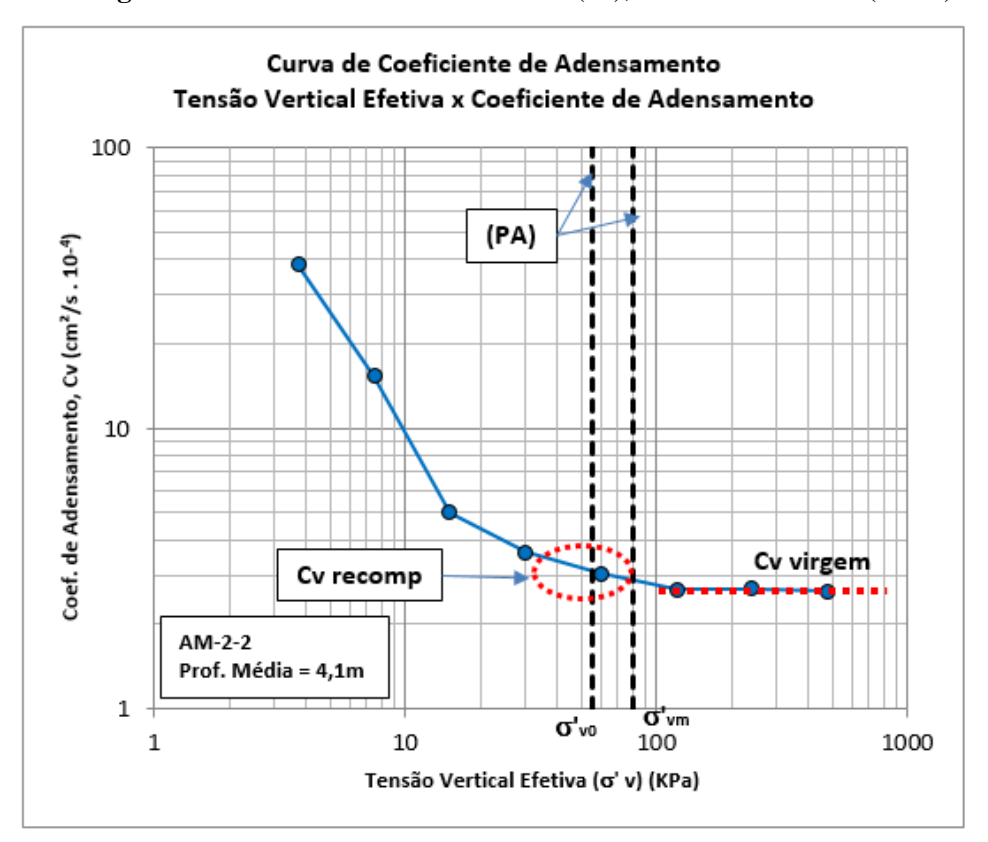


Figura 81 - Coeficiente de adensamento (C_v), amostra AM -2-2 - (Ilha 2).

Já para a obtenção do ($C_{v \ vigem}$), foi analisado o comportamento da curva $C_v x \ \sigma'_v (log)$ obtida do ensaio oedométrico. Nesta análise, o valor de C_v foi determinado no trecho onde a curva apresentou um comportamento constante.

A literatura apresenta duas proposições para o cálculo deste coeficiente, um através do método da raiz do tempo (Taylor), e o outro o método do logaritmo do tempo (Casagrande). Neste trabalho foi utilizado o método proposto por Taylor.

A Figura 81 apresenta a curva do coeficiente de adensamento da amostra AM-2-2, já a Tabela 40, traz os resultados do coeficiente de adensamento C_v, obtido nas duas ilhas de investigação. As demais curvas estão apresentadas no Apêndice F.

Tabela 40 - Resultados dos parâmetros de drenagem vertical obtido nos domínios de recompressão e compressão virgem.

Amostra	Profundidade (m)	Qualidade da Amostra (Coutinho, 2007)	σ' _{vm} (kPa)	Cv _{recomp} (x 10 ⁻⁸ m ² /s)	Cv _{virgem} (x 10 ⁻⁸ m ² /s)	Cv.recomp / Cv.virgem
AM-1-1	2,2	Muito Boa a Excelente	80	2,8	2,3	1,22
AM-1-2	4,2	Muito Boa a Excelente	114	7,7	7,7	1,00
AM-1-3	6,4	Muito Pobre	94	2,6	2,3	1,13
AM-1-4	11,3	Muito Pobre	158	2,4	2,4	1,00
AM-1-5	13,3	Muito Pobre	159	2,3	2,1	1,10
AM-2-1	2,3	Boa a Regular	90	5,4	4,3	1,26
AM-2-2	4,1	Pobre*	80	3,4	2,7	1,26
AM-2-3	6,2	Pobre	147	3,0	2,0	1,50
AM-2-4	11,3	Muito Pobre	144	3,0	2,8	1,07
AM-2-5	13,3	Muito Pobre	159	2,1	2,0	1,05

Como no trecho de recompressão são encontrados os menores valores de compressibilidade, é esperado que o coeficiente de adensamento no trecho de recompressão seja relativamente maior que o coeficiente de adensamento no trecho de compressão virgem (COUTINHO, 1976). No depósito de argila estudado isto não aconteceu. Os valores de coeficiente de adensamento no trecho de recompressão e no trecho de compressão virgem apresentaram valores praticamente iguais ($C_{v \, recomp} / C_{v \, virgem} = 1,0 \, a \, 1,50$).

A pequena diferença nos valores do coeficiente de adensamento na faixa de recompressão e de compressão virgem pode ser uma característica da argila estudada, mas também pode ter sido influenciada pelo amolgamento das amostras. Conforme mostrado no Capítulo 2, o amolgamento no corpo de prova provoca uma grande queda no valor de C_v na faixa de recompressão e um menor efeito na faixa de compressão virgem, apresentando em geral um leve crescimento contínuo com a pressão (COUTINHO, 1976).

Em síntese, o coeficiente de consolidação vertical (C_v) apresentou valores entre 2,1 e 7,7 x 10^{-8} m²/s no trecho de recompressão e entre 2,0 e 7,7 x 10^{-8} m²/s no trecho de compressão virgem. A faixa de valores de C_v para as argilas do Recife descrita em Coutinho e Bello (2005) é de 20 a 70 x 10^{-8} m²/s na fase de recompressão e entre 0,5 e 10 x 10^{-8} m²/s na fase de compressão virgem. Levando em consideração os referidos autores, o valor do coeficiente de adensamento no trecho de recompressão apresentaram valores inferiores aos encontrados em outros depósitos de argila do Recife. Já na faixa de compressão virgem, os coeficientes de adensamento encontrados estão dentro da faixa de valores de Recife.

A Figura 82 mostra em quais profundidades foram realizados ensaio de dissipação de poropressões, na vertical do CPTU-109, ilha 2. Percebesse que dos quatro ensaios realizados, apenas um, na profundidade de 15,0m, apresenta resultado consistente. Os demais ensaios foram realizados em cotas que apresentaram pequena variação entre a poropressão de início da dissipação (u_i) e a poropressão hidrostática (u₀). Além disso as profundidades de execução dos ensaios estão em faixas de transição entre camadas de solos arenosos e argilosos. Outra inconsistência é que em algumas cotas o valor da poropressão de início da dissipação apresenta valor inferior a poropressão hidrostática.

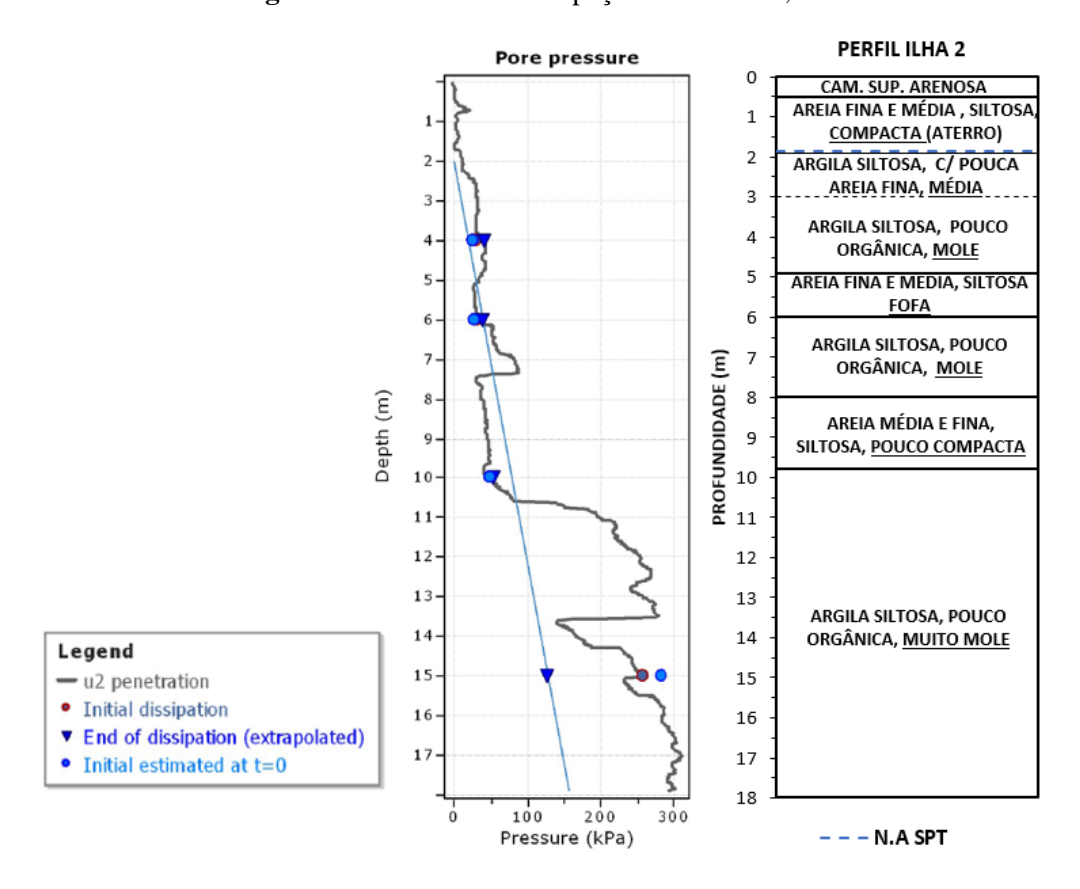


Figura 82 - Ensaios de dissipação. CPTU-109, Ilha 2

Fonte: Relatório do ensaio CPTU – GEOBETON.

A Figura 83 mostra o ensaio de dissipação realizado na profundidade de 15,0m, na vertical do CPTU-109, ilha 2.

A metodologia de obtenção do coeficiente de adensamento horizontal a partir de ensaios CPTU foi mostrada no Capítulo 2 desta dissertação.

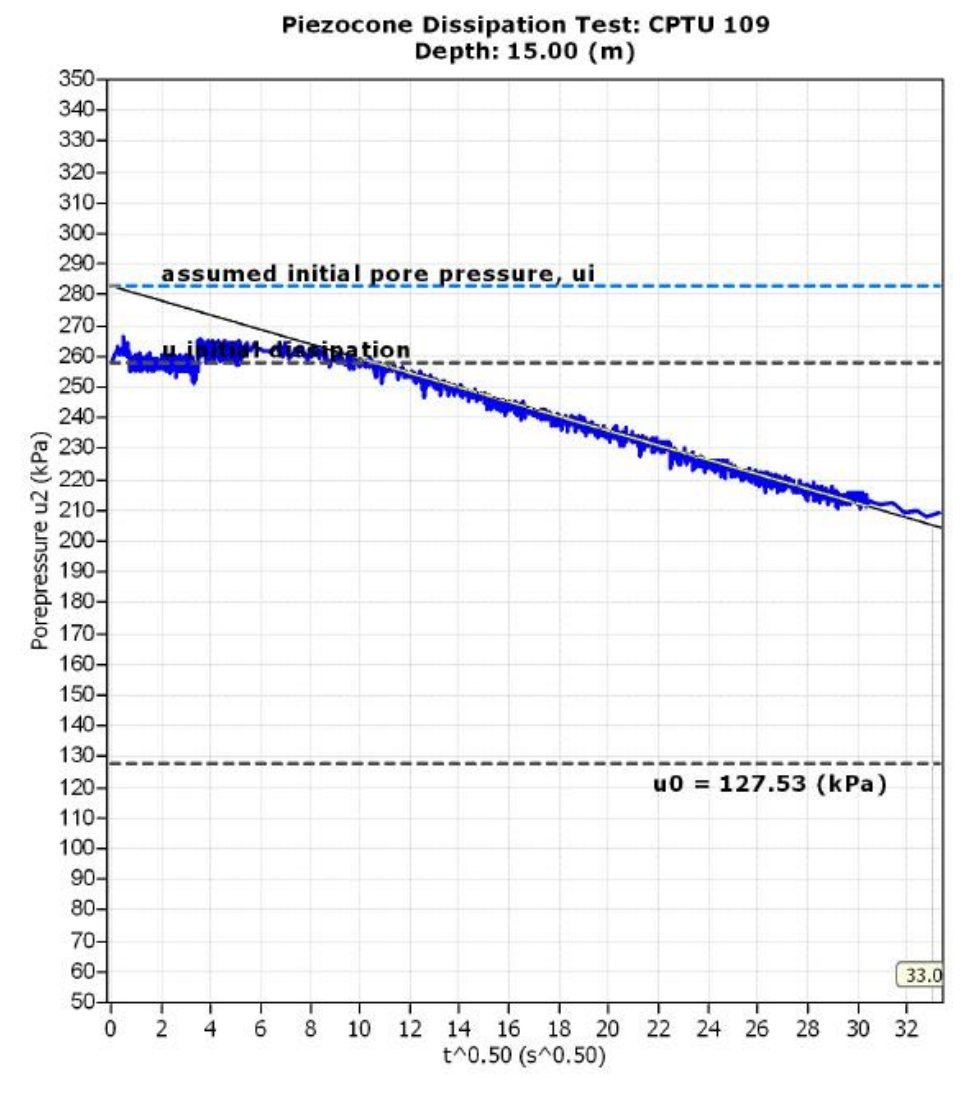


Figura 83 - Ensaio de dissipação na vertical do CPTU-109, Ilha 2, na profundidade de 15,0m.

Fonte: Relatório do ensaio CPTU - GEOBETON.

A formulação adotada para a obtenção do coeficiente de adensamento horizontal $C_{hpiezocone}$ foi mostrada no Capítulo 2 juntamente com a tabela proposta por Houlsby e Teh (1988) para obtenção do fator tempo. O raio do piezocone foi admitido como sendo igual a 1,785 cm. O índice de rigidez foi estimado a partir do gráfico proposto por Duncan e Buchignani (1975) como sendo igual 300 (Figura 84) utilizando o valor de IP estimado igual a 35 e utilizando as formulações expressas pelas Equações 53 e 54, baseadas na teoria da elasticidade para relação entre G e E_{u25} .

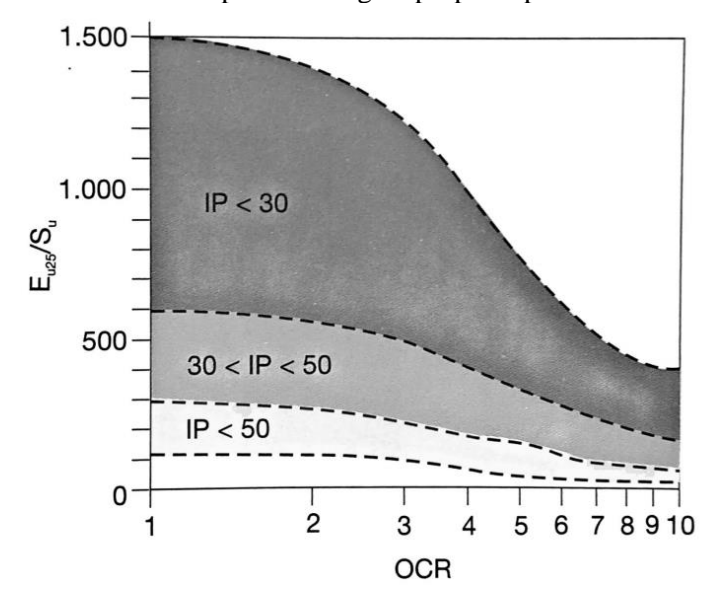


Figura 84 -Estimativa de E_{u25} /Su pela abordagem proposta por Duncan e Buchignani (1975).

Fonte: Schnaid e Odebrecht (2012).

$$E = 2G (1+\mu) \tag{53}$$

Sendo $\mu = 0.5$ (condição não drenada).

Dessa forma temos:

$$C_{h.piezocone} = \frac{TR^2 \sqrt{I_r}}{t} = \frac{0.245 \times (1.785 \times 10^{-2})^2 \times \sqrt{300}}{1090} = 1.24 \times 10^{-6} m^2 / s$$
 (54)

O valor de C_{h piezocone} obtido do ensaio de dissipação para a profundidade de 15,0 m foi 1,24 x 10⁻⁶ m²/s. Como explicado no Capítulo 2, os valores de C_h obtidos por ensaios de dissipação de poropressões correspondem a propriedades de solo na faixa pré-adensada. Utilizando a abordagem semiempírica proposta por Jamiolkowski *et al.* (1985), apresentada também no Capítulo 2, para estimativa da magnitude do coeficiente de adensamento horizontal C_h na faixa de comportamento normalmente adensada, temos a Equação 55:

$$C_h(NA) = \frac{RR}{CR} \times 1,24 \times 10^{-6}$$
 (55)

Valores experimentais medidos do coeficiente RR/CR variam na faixa entre 0,13 e 0,15 (JAMIOLKOWSKI *et al.*, 1985). Desta forma, utilizando-se o valor médio para RR/CR obteve-se a Equação 56:

$$C_{h.piezocone}(NA) = 0.14 \times 1.24 \times 10^{-6} = 1.74 \times 10^{-7} m^2/s$$
 (56)

Finalmente, os valores medidos de $C_{h.piezocone}(NA)$ podem ser convertidos em $C_{v.piezocone}(NA)$, para fins de comparações com ensaios de adensamento, por meio da Equação 57:

$$C_{h.piezocone}(NA) = \frac{k_h}{k_v} \times C_{v.piezocone}(NA)$$
(57)

Os valores de k_h/k_v para argilas homogêneas, sem macroestrutura definida, variam de 1,0 a 1,5 (LADD *et al.*, 1977 e JAMIOLKOWSKI *et al.*, 1985). Mais uma vez, utilizando o valor médio, temos a Equação 58:

$$1,74 \times 10^{-7} = 1,25 \times C_{v,piezocone}(NA)$$
 (58)

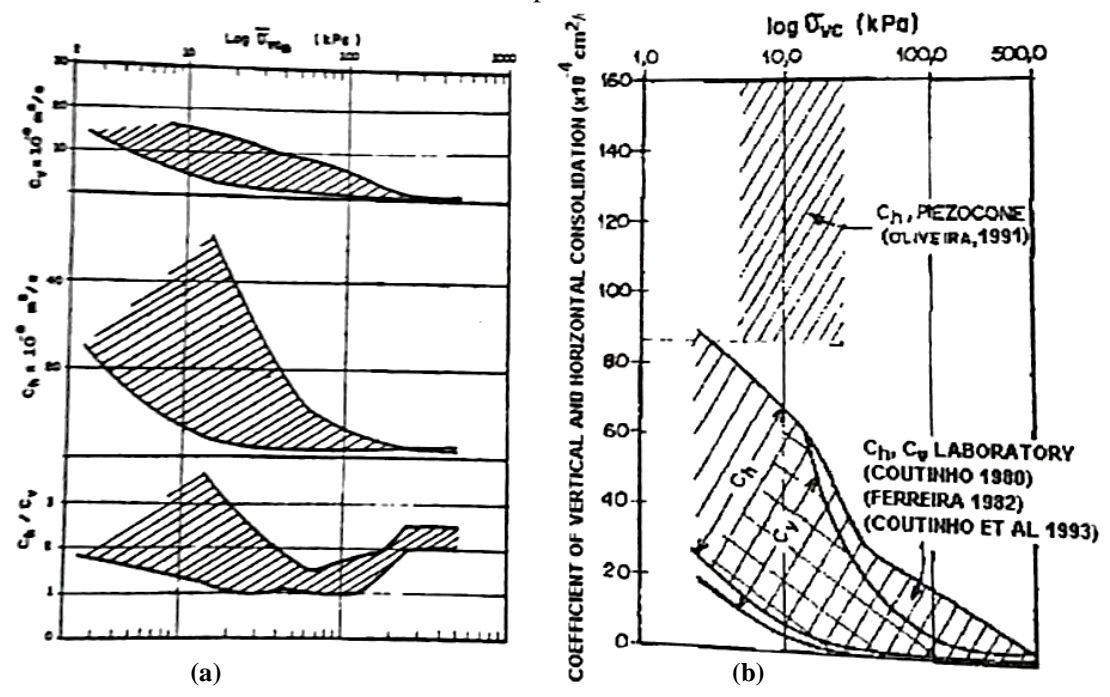
Resultando na Equação 59:

$$C_{v.piezocone}(NA) = 1.4 \times 10^{-7} m^2/s \tag{59}$$

Não foi retirado amostra na profundidade de 15,0m para comparação dos resultados obtidos pelo ensaio de dissipação e ensaio oedométrico. O valor do coeficiente de adensamento vertical encontrado para a amostra AM-2-5, com profundidade média de 13,3m, foi de 2,0 x 10^{-8} m²/s. Comparando os dois resultados, percebe-se que o valor de Cv encontrado pelo ensaio de dissipação é cerca de 10 vezes maior que o valor encontrado pelo ensaio oedométrico.

Esta diferença entre os valores encontrados para o coeficiente de adensamento a partir de ensaio de campo e laboratório ($C_{v.campo} \cong 10 \text{ x } C_{v.laboratório}$) é completamente aceitável, como exemplo, Coutinho (2007) mostra valores de coeficiente de adensamento horizontal obtidos por ensaio de dissipação, e coeficiente de adensamento horizontal e vertical obtidos a partir de ensaios de laboratório para o Clube Internacional do Recife (Figura 85) onde observa-se que os valores de coeficiente de adensamento horizontal obtidos a partir de ensaios de campo são sempre superiores aos obtidos em ensaios de laboratório.

Figura 85 - (a) C_v, C_h e C_h/C_v vs log σ'_{vm}; (b)Coeficiente de adensamento vertical e horizontal – laboratório vs. ensaios de campo.Clube Internacional, Recife/PE.



Fonte: Coutinho e Oliveira (1997)

5.4 RESISTÊNCIA AO CISALHAMENTO

5.4.1 Resistência não drenada

O depósito de argila estudado apresentou resultados de resistência não drenada (Su_{médio}) variando entre 28 e 79 kPa. Esses resultados foram obtidos através de ensaios triaxial UU cuja metodologia foi apresentada nos Capítulos 2 e 4.

As Figuras 86 e 87 exibem os perfis de resistência não drenada obtidas através de ensaio triaxial UU para as amostras das ilhas 1 e 2. A Tabela 41 exibe o resumo dos resultados do referido ensaio.

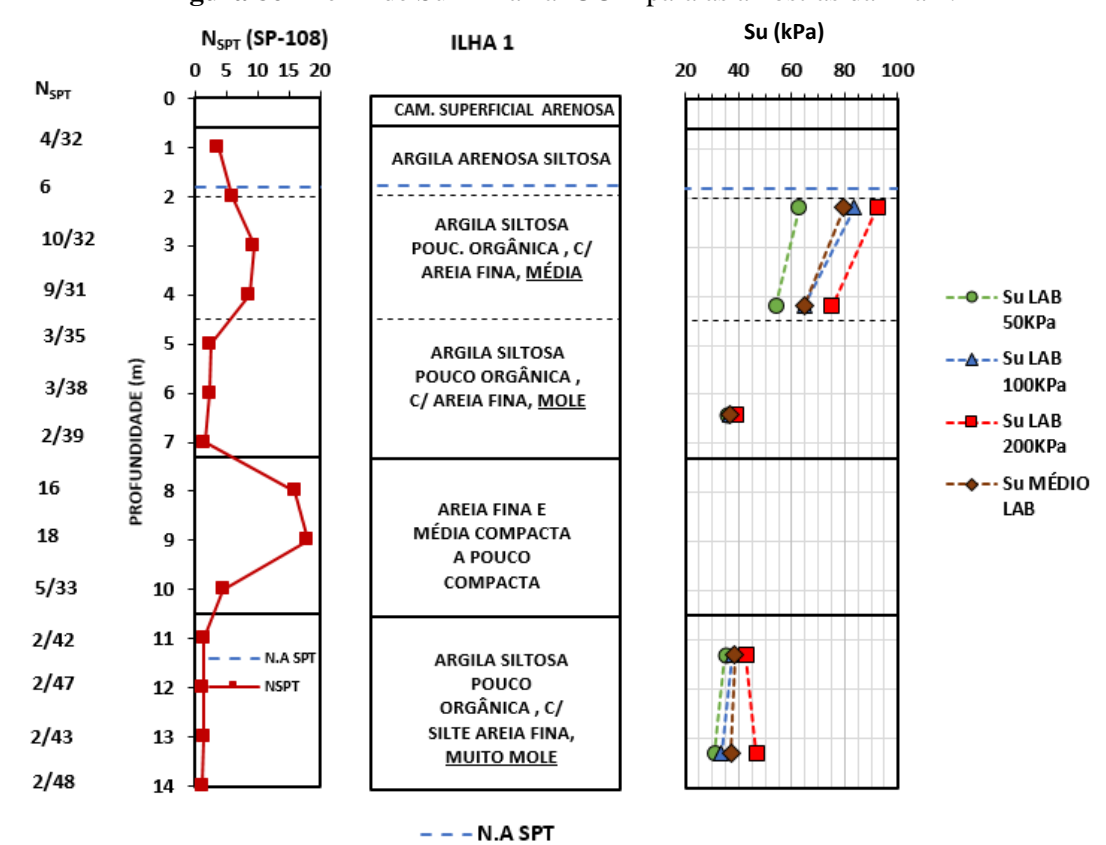


Figura 86 - Perfil de Su - Triaxial UU - para as amostras da ilha 1.

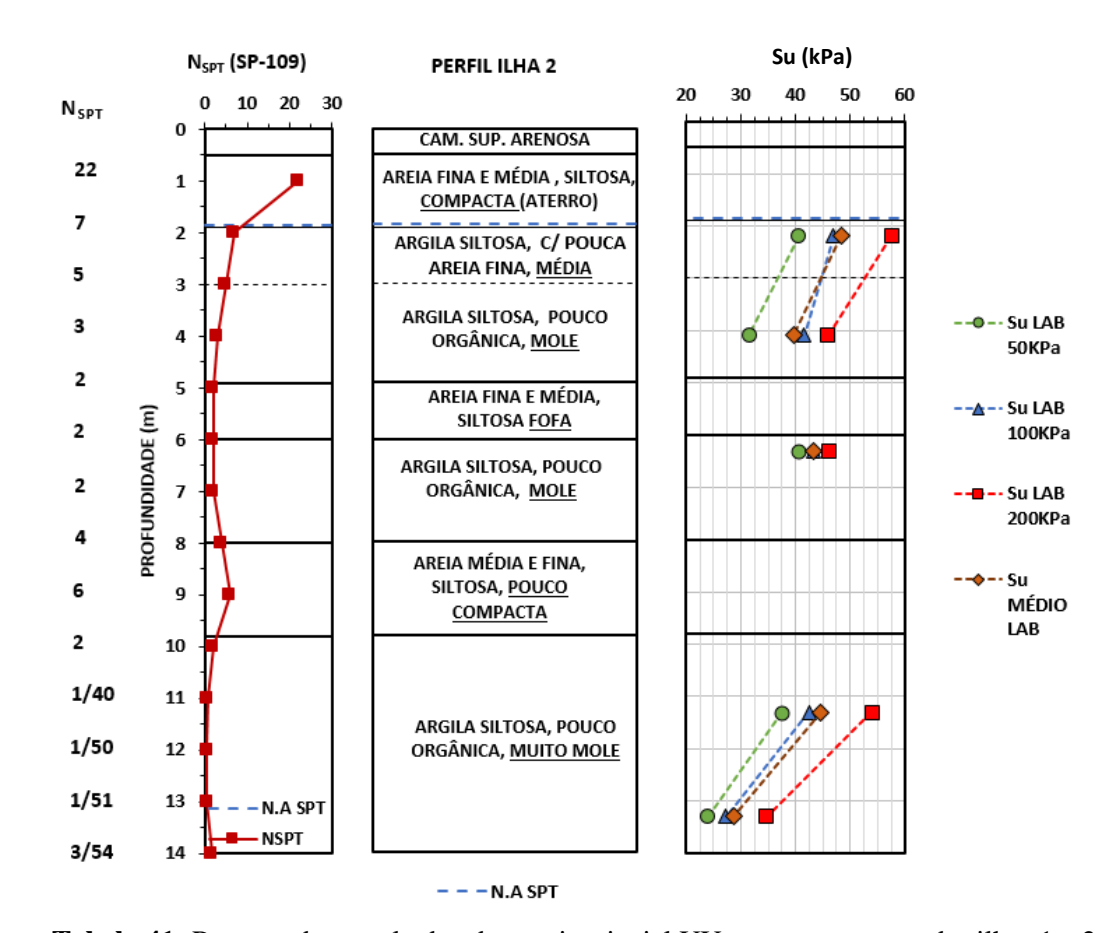


Figura 87 - Perfil de Su - Triaxial UU - para as amostras da ilha 2.

Tabela 41- Resumo dos resultados do ensaio triaxial UU para as amostras das ilhas 1 e 2.

Local	Amostra	Prof. (m)	Su _{50kPa} (kPa)	Su _{100kPa} (kPa)	Su _{200kPa} (kPa)	Su _{Médio} (kPa)
	AM-1-1	2,2	62,86	83,71	92,50	79,69
	AM-1-2	4,2	54,03	64,74	75,25	64,67
Ilha 1	AM-1-3	6,4	35,39	36,53	38,64	36,85
	AM-1-4	11,3	34,88	37,58	42,77	38,41
	AM-1-5	13,3	30,98	33,41	46,80	37,06
	AM-2-1	2,2	40,50	47,00	57,50	48,33
	AM-2-2	4,1	31,50	41,56	45,89	39,65
Ilha 2	AM-2-3	6,3	40,55	43,20	46,00	43,25
	AM-2-4	11,3	37,51	42,50	54,00	44,67
	AM-2-5	13,3	24,00	27,22	34,73	28,65

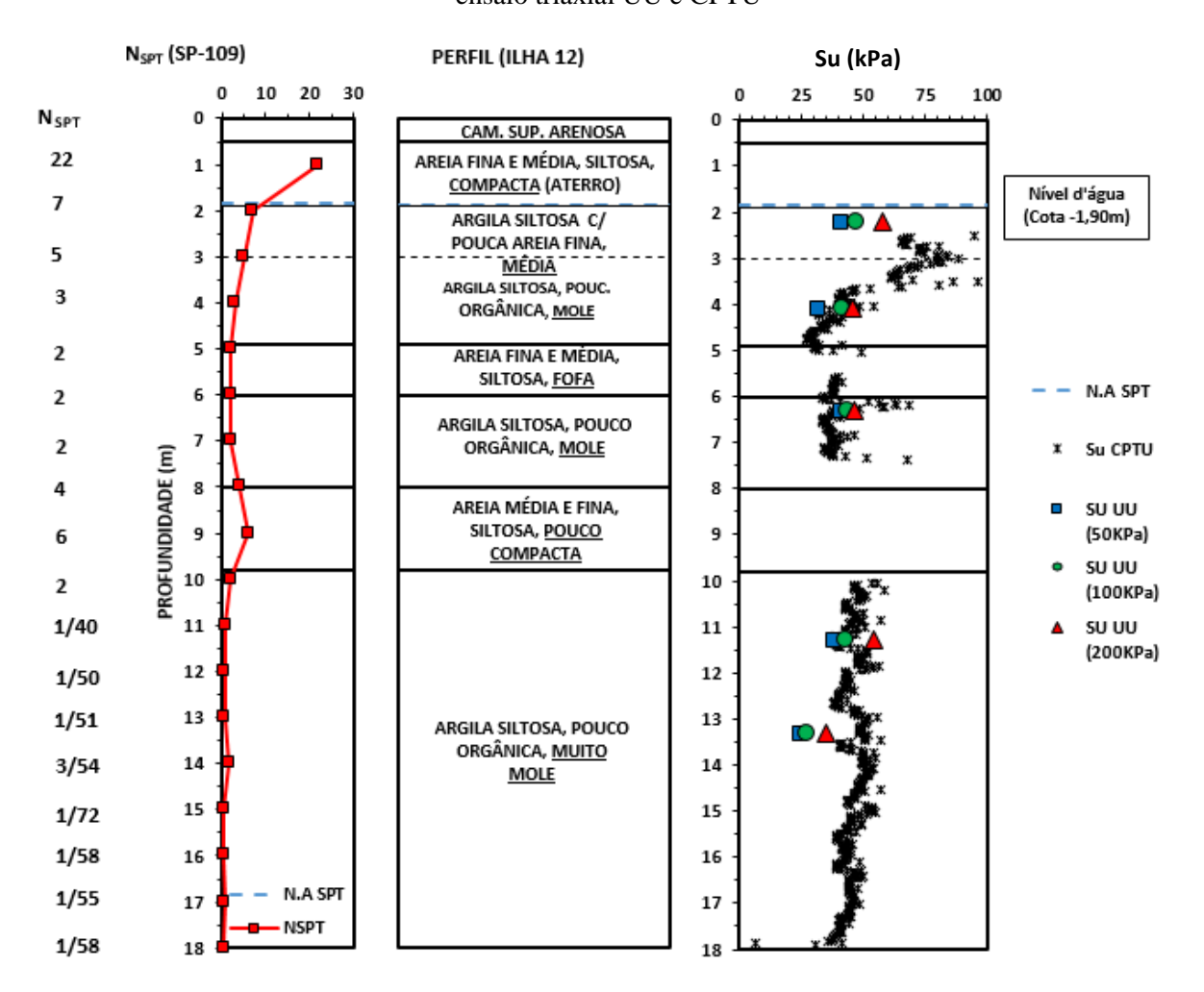
Percebe-se que as amostras AM-1-1 e AM-1-2 retiradas a 2,2 e 4,2 metros de profundidade, respectivamente, na ilha 1, apresentaram valores de resistência não drenada um pouco superior a faixa encontrada para as argilas do Recife, 5 a 60 kPa (COUTINHO *et al.*; OLIVEIRA, 2000).

As demais amostras apresentaram valores de resistência não drenada entre 28 e 48 KPa, valores estes que estão dentro dos resultados esperados para os depósitos de argila da planície

do Recife (5 a 60 kPa) estando um pouco acima da faixa típica (5 a 30 kPa) de acordo com (COUTINHO *et al.*; OLIVEIRA, 2000).

A Figura 88 exibe o perfil de resistência não drenada obtida através do ensaio CPTU para a ilha 2. Nela também estão plotados os resultados obtidos nos ensaios triaxiais UU para o mesmo local de investigação.

Figura 88 - Perfil de resistência não drenada para as amostras da ilha 2 com resultados obtidos em ensaio triaxial UU e CPTU



A metodologia adotada para obtenção da resistência não drenada a partir de ensaio CPTU foi exibida detalhadamente no Capítulo 2.

A resistência não drenada foi obtida a partir da Equação 60:

$$S_u = \frac{q_t - \sigma_{v0}}{N_{kt}} \tag{60}$$

Os valores de N_{kt} para as argilas de Recife segundo Coutinho *et al.* (1993) estão na faixa entre 10 e 15 (média de 12,7) para Su obtidos a partir de ensaios triaxial. No presente trabalho

considerando os resultados de resistência não drenada obtidos por ensaio triaxial UU, o valor de $N_{kt} = 15$ foi o que melhor ajustou os resultados, conforme demonstrado na Figura 88.

Ao analisar os resultados plotados, percebe-se coerência entre os valores de resistência não drenada obtidos pelo ensaio triaxial UU e pelo CPTU.

5.4.2 Resultado do ensaio Triaxial CIU

Em duas amostras de cada uma das ilhas de investigação, foram realizados os ensaios de compressão triaxial do tipo CIU (adensado hidrostaticamente, não-drenado, com medição de poropressão) sob tensões de confinamento de 50, 100 e 200 kPa.

Foram obtidos nesses ensaios os parâmetros de resistência em termos de tensões efetivas (c' e Φ '). Na Tabela 42 estão apresentados os parâmetros obtidos nas amostras ensaiadas das duas ilhas de investigação.

Tabela 42 - Resumo dos resultados dos ensaios triaxiais CIU para as amostras das duas ilhas de investigação.

mvestigução.							
Local	Amostra	Prof. (m)	c'	Φ			
Tile o 1	AM-1-1	2,2	0	26			
Ilha 1	AM-1-3	6,4	0	26			
III. a 2	AM-2-1	2,2	4	26			
Ilha 2	AM-2-3	6,3	3	28			

Estes valores estão condizente com os valores mostrados em Coutinho *et al.* (1993), contemplados na Tabela 43.

Tabela 43 - Ângulo de atrito e coesão em termos de tensão efetiva.

			Φ' (°) Piezocone		Φ' (°) Triaxial CIU-C		
Local	Camada	Prof. (m)	Senneset & Janbu (1984)	Lunne <i>et al.</i> (1985)	Coutinho et al. (1993)	Amorim Jr. (1975)	Oliveira (2000)
Clube	I	7-16	25-33	18-23	26	25	-
Internacional	II	16-26	31-33	24-27	23	28	-
SESI Ibura	I	-	-	-	-	-	25
	II	-	-	-	-	-	27

Fonte: Coutinho et al. (1993).

6 CONCLUSÕES E RECOMENDAÇÕES

6.1 CONCLUSÕES

O trabalho teve como objetivo estudar as propriedades geotécnicas do subsolo do local de construção do Hospital da Mulher do Recife, localizado no bairro do Curado, às margens da BR-101, Recife/PE. Para isso foi realizada uma campanha de investigação, com ensaios de campo e laboratório e foram comparados os resultados dos referidos ensaios com dados de estudos regionais.

Para a correta interpretação dos resultados obtidos nos ensaios de compressibilidade, foram avaliadas as qualidades das amostras através dos critérios propostos por Coutinho (2007) e Lunne *et al.* (1997). Nas amostras consideradas de má qualidade, os parâmetros foram corrigidos através dos métodos propostos por Schmertmann (1955), Oliveira (2002) e Coutinho (2007).

Também foras estimados o índice de plasticidade a partir da carta de plasticidade para os solos moles do Recife (COUTINHO *et al.*, 1998) e o índice de vazios inicial e índice de compressão a partir de correlações estatísticas propostas por Coutinho *et al.* (1998) baseada no banco de dados dos solos moles do Recife.

6.1.1 Programa de investigação

O trabalho contemplou duas ilhas de investigação contendo em cada uma, vertical de ensaio de piezocone, sondagem a percussão e coleta de amostras indeformadas do tipo Shelby para a realização dos ensaios de laboratório (teor de matéria orgânica, umidade natural, adensamento oedometrico e triaxial CIU e UU).

6.1.2 Qualidade das amostras

As avaliações da qualidade das amostras apontaram que apenas 3 das dez amostras apresentaram resultados satisfatórios segundo critério de Coutinho (2007), variando entre regular a excelente.

As amostragens que apresentaram qualidade insatisfatórias foram corrigidas através dos métodos propostos por Oliveira (2002), Schmertmann (1955) e Coutinho (2007). Os parâmetros analisados neste trabalho foram os corrigidos.

6.1.3 Caracterização geotécnica

6.1.3.1 Parâmetros de caracterização

Analisando-se os perfis geotécnicos das duas ilhas de investigação, observa-se que ambos apresentam uma camada superior de aterro/areia, estratificação dos depósitos de solos moles e existência de argilas siltosas orgânicas. O nível d'água foi encontrado na profundidade de 1,80m na ilha 1 e 1,90m na ilha 2. Características que estão em conformidade com estudos regionais, Coutinho *et al.* (1998), Ferreira e Coutinho (1988), Coutinho e Oliveira (1997), entre outros.

Levando em consideração a proposta de classificação dos perfis típicos de Recife contemplado em Oliveira (2016), os perfis das duas ilhas de investigação foram enquadrados no perfil II B2.

As amostras ensaiadas apresentaram umidade natural entre 21 e 99%, estando compatível com a faixa de umidade das argilas moles/médias do Recife, 18 a 215% (COUTINHO *et al.*, 1998). Apresentaram massa específica variando de 15,2 a 19,5 kN/m³, com os valores decrescendo com a profundidade em ambos os perfis. Estes valores estão dentro da faixa de valores presente na literatura, como em Coutinho e Bello (2005) que mostram valores de massa específica entre 10,0 a 20,0 kN/m³ para solos argilosos do Recife.

O limite de liquidez e índice de plasticidade foram estimados com base em estudos regionais (FERREIRA e COUTINHO, 1988) que mostram que o limite de liquidez se apresenta com valores bem próximos a umidade natural e pela carta de plasticidade para argilas moles/média e solos orgânicos/turfas do Recife (COUTINHO e LACERDA, 1987).

A extrapolação dos estudos realizados para outros depósitos de solos moles similares, principalmente alguns depósitos da cidade do Recife-PE, mostrou ser de vital importância nessa dissertação, visto que não se dispunha de alguns dados necessários para o desenvolvimento do trabalho. Isto ressalta a importância do Banco de Dados desenvolvido pelo GEGEP, para obtenção e complementação de informações geotécnica através de dados regionais.

6.1.3.2 Compressibilidade e Adensamento

Tanto o índice de vazios inicial como o índice de compressão crescem com a profundidade nas duas ilhas de investigação. O índice de vazios inicial, e₀, apresenta valores entre 0,629 e 1,825. Essa faixa de valores está dentro dos valores registrados em Coutinho e Bello (2005) que apresentaram índice de vazios entre 0,5 e 5, 25 para as argilas moles/médias do Recife.

O índice de compressão C_c apresentou valores entre 0,18 e 0,95 que também estão dentro da faixa de valores propostos por Coutinho e Bello (2005) – faixa de C_c entre 0,1 e 2,8.

A razão de pré-adensamento apresentou-se com valores entre 1,4 a 2,1. A faixa de OCR para as argilas moles/médias da planície do Recife apresentam valores entre 1 a 2,5 (COUTINHO e OLIVEIRA, 1994), estando os valores encontrados no presente estudo dentro da faixa de valores esperado.

O coeficiente de consolidação vertical (C_v) apresentou valores entre 2,1 e 7,7 x 10^{-8} no trecho de recompressão e entre 2,0 e 7,7 x 10^{-8} m²/s no trecho de compressão virgem. A faixa de valores de C_v para as argilas do Recife descrita em Coutinho e Bello (2005) é de 20 a 70 x 10^{-8} m²/s na fase de recompressão e entre 0,5 e 10 x 10^{-8} m²/s na fase de compressão virgem. Levando em consideração os referidos autores, o valor do coeficiente de adensamento no trecho de recompressão apresentaram valores inferiores aos encontrados em outros depósitos de argila do Recife. Na faixa de compressão virgem, os coeficientes de adensamento encontrados estão dentro da faixa de valores de Recife.

O coeficiente de adensamento vertical, normalmente adensado, obtido a partir do ensaio de piezocone (1,4 x 10⁻⁷ m²/s) apresentou valor cerca de dez vezes maior que o coeficiente de adensamento, normalmente adensado, obtido a partir de ensaio oedométrico (2,0 x 10⁻⁸ m²/s). Essa diferença é aceitável, conforme apresentado por Coutinho e Oliveira (1997), onde, os referidos autores, mostram em um gráfico que os valores do coeficiente de adensamento horizontal obtidos por ensaio de laboratório (aproximadamente 30 a 70 x 10⁻⁴ cm²/s) apresenta valores sempre inferiores aos obtidos por ensaio de campo (aproximadamente 90 a 160 x 10⁻⁴ cm²/s).

6.1.3.3 Resistência não Drenada (Su)

O depósito de argila estudado apresentou resultados de resistência não drenada (Su_{médio}), obtida de ensaios triaxial UU, variando entre 28 e 79 kPa tendo apenas duas (AM-1-1 e AM-1-2) das dez amostras ensaiadas apresentado valores de Su maiores que 60kPa.

Em geral as argilas moles brasileiras apresentam resistência não drenada (Su) variando entre 5 a 60 kPa (faixa típica: 5 a 30 kPa). O depósito de argila mole do Recife situada no Clube internacional apresenta um dos maiores resultados de Su (de 34 a 56 kPa), (COUTINHO *et al.*; OLIVEIRA, 2000), tendo o local objeto de estudo dessa dissertação apresentado Su com valores próximos aos encontrados no Clube Internacional.

Os resultados de resistência não drenada obtidos por meio de ensaio de campo (piezocone) foram ajustados utilizando $N_{kt} = 15$. Este valor de N_{kt} está no limite superior da

faixa de valores (10 a 15, com média de 12,7) para Su obtidos a partir de ensaio triaxial para as argilas do Recife, conforme Coutinho *et al.* (1993).

6.1.3.4 Resistência ao Cisalhamento (CIU)

Os parâmetros de resistência em termos de tensões efetivas (c' e ϕ ') encontrados para o local de estudo, a partir de ensaios triaxial CIU, estão dentro da faixa de valores obtidos por Amorim Jr. (1975), Coutinho *et al.* (1993) e Oliveira (2000) para as argilas de Recife.

Os valores de ϕ ' encontrado nas quatro amostras retiradas do local de construção do Hospital da Mulher do Recife, apresentaram valores entre 26 e 28°. Os valores de ϕ ' encontrados pelos autores mencionados (AMORIM JR., 1975; COUTINHO *et al.*, 1993 e OLIVEIRA, 2000) variaram entre 23 e 28°. Desta forma, os valores encontrados para o local de estudo estão dentro da faixa valores encontrados em outros depósitos de argila mole do Recife.

6.2 SUGESTÕES PARA FUTURAS PESQUISAS

Tendo em vista o desenvolvimento do assunto aqui abordado, com base nas análises e observações realizadas no presente trabalho e em face da importância do conhecimento das propriedades geotécnicas dos depósitos de argila mole da cidade do Recife, tem-se como sugestões:

- Dar continuidade aos estudos das propriedades geotécnicas dos depósitos de argila mole da cidade do Recife para a contínua alimentação do banco de dados do GEGEP/UFPE que se mostrou uma ótima ferramenta para obtenção e complementação de informações geotécnica através de dados regionais.
- 2. Ampliar o estudo das amostras amolgadas para compreender melhor os efeitos causados pelo fenômeno e assim evitá-lo.

REFERÊNCIAS

- ABNT ASSOCIAÇÃO BRASILEIRA DE NORMAS TÉCNICAS. NBR 12007/1990: Solo Ensaio de adensamento unidimensional.
- ABNT ASSOCIAÇÃO BRASILEIRA DE NORMAS TÉCNICAS. MB 3406/1991: Solo Ensaio de penetração de cone in situ (CPT).
- ABNT ASSOCIAÇÃO BRASILEIRA DE NORMAS TÉCNICAS. NBR 6484/2001: Solo Sondagens de simples reconhecimento com SPT Método de ensaio.
- ABNT ASSOCIAÇÃO BRASILEIRA DE NORMAS TÉCNICAS. NBR 7250/1982: Identificação e descrição de amostras de solos obtidas em sondagens de simples reconhecimento dos solos.
- ABNT ASSOCIAÇÃO BRASILEIRA DE NORMAS TÉCNICAS. NBR 8036/1983: Programação de sondagens de simples reconhecimento dos solos para fundação de edifícios. AMORIM JUNIOR, W.M. Contribuição ao estudo das argilas orgânicas de Pernambuco. Dissertação de mestrado. COPPE/UFRJ, Rio de Janeiro, 1975.
- ÁRABE, L. C. G. Comportamento das propriedades de engenharia de solos de uma área experimental na Baixada Santista. Cong. Bras. Mec. Solos e Eng. Fund., v. 7, n. 5, p. 25-47, 1995.
- AZEVEDO FILHO, F.P. Comparação do tempo e produtividade no estaqueamento de obras com fundação em estacas hélice contínua, metálicas e pré-moldadas de concreto. 54 f. TCC (Graduação) Curso de Engenharia Civil, Centro de Tecnologia e Geociências, Universidade Federal de Pernambuco, Recife, 2015.
- BALIGH, M. M. Undrained deep penetration I: shear stresses. Géotechnique, v.36, n.4, p. 471-485, 1986.
- BALIGH, M. M.; LEVADOUX, J. N. Consolidation after undrained piezocone penetration II: interpretation. J. Soil Mech. Found. Eng. Div., ASCE, v. 11, n.7, p. 727-745, 1986.
- BALIGH, M. M.; AZZOUZ, A. S.; WISSA, A. Z. E.; MARTIN, R. T.; MORRISSON, M. J. The Piezocone Penetrometer. Proc. of the Symposium on Cone Testing and Experience, ASCE. pp. 247-263. St. Louis, 1981.
- BARENTSEN, P.: Short description of a field testing method with cone-shaped sounding apparatus." Proceedings of the 1st Int. Soil Mech. and Found. Eng., Cambridge, v.1, n. B/3, p. 6-10, 1936.
- BARONI, M. Investigação geotécnica em argilas orgânicas muito compressíveis em depósitos da Barra da Tijuca. Dissertação (Mestrado) COPPE/UFRJ, Rio de Janeiro, Brasil, 2010. BATTAGLIO, M.; BRUZZI, D.; JAMIOLKOWSKI, M.; LANCELLOTTA, R. Interpretation of CPTs and CPTUs. Proceedings of the 4th Int. Geotech. Seminar, Singapore, p. 129-143, 1986.
- BAPTISTA, H. M.; SAYÃO, A. S. F. J. Características geotécnicas do depósito de argila mole da Enseada do Cabrito, Salvador, Bahia. Proceedings XI Cong. Bras. Mec. Solos Eng. Geotéc., Brasília, v. 2, p. 911-916, 1998.

BEGEMANN, H. K. S. The friction jacket cone as na aid in determining the soil profile. Proceedings of the 6th Int. Conf. Soil Mech. Found. Eng., Montreal, v.1, p. 17-20, 1965. BELINCANTA, A.; PEIXOTO, A. S. P.; MIGUEL, M. G. Sondagem de simples reconhecimento com SPT e torque. Editora da Universidade Estadual de Maringá (Eduem),

Coleção Fundamentum, n.63, 64. 2010.

BELINCANTA, A.; CINTRA, J. C. A. Fatores intervenientes em variantes do método ABNT para a execução do SPT. Solos e Rochas, v.21, n.3, Dezembro, 1998.

BELLO, M. I. M. C. Estudo de Ruptura em Aterros Sobre Solos Moles - Aterro do Galpão localizado na BR-101-PE. Dissertação de M.Sc., UFPE, Recife, PE, Brasil, 2004.

BISHOP, A.W., HENKEL, D.J. The measurement of soil properties in the triaxial test. 2nd ed., 1962, Edward Arnold, London.

BOONSTRA, G. C. Pile loading tests at Zwijndrecht, Holland. Proceedungs of the Int. Conf. Soil Mech. Found. Eng., Cambridge, p. 185-194, 1936.

BOWLES, J. E. Engineering properties of soil and their measurement – Mc Graw – Hill, 1978. CADETE, A. N. M. Avaliação da Resistência Não Drenada de uma Argila Orgânica Mole no Bairro de Chão de Estrelas em Recife-PE. Dissertação de M.Sc., UFPE, Recife, PE, Brasil, 2016.

CAMPANELLA, R. G. A manual on interpretation of seismic piezocone test data for geotechnical design. Geotech. Research Group, Department of Civil Engineering, University of British Columbia, 2005.

CAMPANELLA, R. G.; GILLESPIE, D.; ROBERTSON, P. K. Pore pressure during cone penetration testing. In: EUROPEAN SYMP. ON PENETRATION TESTING, ESOPT, 2., Amsterdam. Proceedings... Rotterdam: Balkema Publ., 1982. v.1, p. 507-512.

CAMPANELLA, R. G.; ROBERTSON, P. K.; GILLESPIE, D. G.; GREIG, J. Recent Developments in In-Situ Testing of Soils. Proc. of IX Int. Conf. on Soil Mech. and Found. Eng. - San Francisco, 1985.

CARVALHO, J.B.Q. Algumas propriedades física- químicas e de engenharia de uma argila orgânica do Recife. Dissertação de Mestrado, Campina Grande / UFPB, 1975.

CHEN, B. S. Y.; MAYNE, P. W. Profiling the overconsolidation ratio of clays by piezocone tests. Report GIT-CEE/GEO-94-1. Nacional Science Found., Georgia Institute of Technology, 1994.

CHEN, B. S. Y.; MAYNE, P. W. Statistical relationships between piezocone measurements and stress history of clays. Canadian Geotech. Journal, v. 33, n. 3, p. 488-498, 1996.

COUTINHO, R.Q. Características de Adensamento com Drenagem Radial de uma Argila Mole da Baixada Fluminense. Dissertação de M.Sc., COPPE/UFRJ, Rio de Janeiro, RJ, Brasil, 1976.

COUTINHO, R.Q. Estudo da Caracterização Geotécnica da Argila Orgânica do Recife. Pesquisa CNPq, Relatório de Atividades. Período 1978 – 1980.

COUTINHO, R. Q. Aterro experimental instrumentado levado à ruptura sobre solos orgânicos – Argilas moles da Barragem de Juturnaíba. Tese de D.Sc., COPPE/UFRJ, Rio de Janeiro, 1986.

- COUTINHO, R. Q., SANTOS, J. L. T., FRANÇA, A. E. Obtenção da Su para Utilização na Análise da Estabilidade da Barragem de Juturnaíba. XI Congresso Brasileiro de Mecânica dos Solos e Engenharia Geotécnica, Brasília (1988), Vol.2, pp. 947 956.
- COUTINHO, R. Q. Characterization and Engineering Properties of Recife Soft Clays Brazil. Livro: Characterization and Engineering Properties of Natural Soils, 2007, V.3. p. 2049-2100. Artigo especial Convidado.
- COUTINHO, R. Q.; OLIVEIRA, J. T. R. Geotechnical characterization of a Recife soft clay laboratory and in situ tests. Proceedings of the 14th Int. Conf. Soil Mech. Found. Eng., V. 1. P. 69-72, 1997.
- COUTINHO, R. Q.; OLIVEIRA, J. T. R. & OLIVEIRA, A. T. J. Estudo Quantitativo da Qualidade de Amostras de Argilas Moles Brasileiras Recife e Rio de Janeiro. In: XI COBRAMSEG Congresso Brasileiro de Mecânica dos Solos e Engenharia Geotécnica, ABMS. Brasília, 1998, v. 02. p.927-936.
- COUTINHO, R. Q.; OLIVEIRA, J. T. R.; OLIVEIRA, A. T.J. Geotechnical properties of Recife soft clays. Solos e Rochas, São Paulo, v.23, n.3, p. 177-204, 2000.
- COUTINHO, R. Q., OLIVEIRA, A. T. J., OLIVEIRA, J. T. R. Palheta: Experiência, Tradição e Inovação. SEFE IV Seminário de Engenharia de Fundações Especiais e Geotecnia, São Paulo, (2000a), pp. 53 a 79.
- COUTINHO, R. Q., OLIVEIRA, J. T. R., DANZIGER, F. A. B. Caracterização geotécnica de uma argila mole de Recife Solos e Rochas, São Paulo, 1993, p. 255- 266.
- COUTINHO, R. Q.; OLIVEIRA, J. T. R. Propriedades Geotécnicas das Argilas do Recife Banco de Dados. In: X Brazilian Conference on Soil Mechanics and Foundation Engineering. 1994, V.02. p. 563-572.
- COUTINHO, R. Q. & Bello, M. I. M. C. V. Geotecnia do Nordeste. Capítulo: Aterros sobre solos Moles, Livro ABMS Núcleo Nordeste. Ed. Universitária UFPE, cap. 3, pp. 111 153, 2005.
- COUTINHO, R. Q. e LACERDA, W. A. "Caracterization Consolidation of Juturnaíba Organic Clay". Proc. of the Intern. Symp. On geot. Eng. of Soft Soils, 1: 17-24, México (published also in Soils and Rocks 1994, 17 (2): 145-154, ABMS, ABGE, São Paulo, 1987.
- DANZIGER, F. A. B. Desenvolvimento de equipamento para realização de ensaio de piezocone: aplicação a argilas moles. 593 f. Tese (Doutorado) COPPE/UFRJ, Rio de Janeiro, 1990.
- DANZIGER, F. A. B.; ALMEIDA, M. S. S.; SILLS, G. C. The significance of the strain path analysis in the interpretation of piezocone dissipation data. Géotechnique, v. 47, n. 5, p. 901-914, 1997.
- DAS, B.M. Fundamentos de Engenharia Geotécnica tradução da 6a edição norte americana, 2007, 561 p.

- DE BEER. E. E. The Scale Effect in the Transposition of the Results of Deep-Sounding Tests on the Ultimate Bearing Capacity of Piles and Caisson Foundations Géotechnique Vol. 13. N°.1, pp. 39-75, 1963.
- DEMERS, D.; LEROUEIL, S. Evaluation of preconsolidation pressure and the overconsolidation ratio from piezocone tests of clay deposits in Quebec. Canadian Geotech. Journal, v.39, n.1, p. 174-194, 2002.
- DE RUITER, J. The Static Cone Penetration Test State-of-the-Art- Report. Proc. II European Symposium on Penetration Testing Amsterdam. Vol. 2. pp. 399-405, 1992. FERREIRA, S. R. M. Compressibilidade de uma Argila Orgânica do Recife. Tese MSc, COPPE/UFRJ, 1982.
- FERREIRA, S. R. M., AMORIM JÚNIOR, W. M.; COUTINHO, R. Q. (1986). Argila Orgânica Mole do Recife Banco de Dados. VIII Congresso Brasileiro de Mecânica dos Solos e Engenharia de Fundações ABMS, Porto Alegre. v. 1. p. 183-197.
- FERREIRA, S. R. M. & COUTINHO, R. Q. Quantificação do Efeito do Amolgamento nas Características de Compressibilidade de Argila Mole Rio de Janeiro e Recife. In: Simp. Depósitos Quaternários das Baixadas Litorâneas Brasileiras SIDEQUA, 1998. v. 01. p. 3.55-3.69.
- FRANK, C. The Bearing Capacity of Piles as Derived from Deepsounding, Loading Tests and Formulae" Proc. 2nd Int. Conf. on Soil Mech. and Found. Eng.- Rotterdam, 1948. Vol. IV, pp. 118-121.
- FREIRE, F. C. Análise das Propriedades Geotécnicas do solo mole do Cluster/Suape-PE. Dissertação de M.Sc., UFPE, Recife, PE, Brasil, 2016.
- GIBBS, H. J.; HOLTZ, W. G. Research on determining the density of sands by spoon penetration testing. Proceedings of the 4th Int. Conf. Soil Mech. Found. Eng., London, 1957. v.1, p. 35-39.
- GEGEP-UFPE- Relatório Técnico GEOBETON Engenharia Ltda. Resultados de ensaios de laboratório. Recife, 2013.
- HOULSBY, G. T.; TEH, C. I. Analysis of the piezocone in clay. In: INT. SYMP. ON PENETRATION TESTING, ISOPT, 1. Orlando. Proceedings... Rotterdam: Balkema, 1988. v.2, p. 777-783.
- JAMIOLKOWSKI, M.; LADD, C. C; GERMAINE, J. T.; LANCELLOTA, R. New Developments in Field and Laboratory Testing of Soils State-of-the-Art Paper at the XI Int. Conf. on Soil Mech. and Found. Eng. San Francisco, 1985.
- JANNUZZI, G. M. F. Caracterização do depósito de solos moles de Sarapuí através de ensaios de campo. Dissertação (Mestrado) COPPE/UFRJ, Rio de Janeiro, Brasil, 2009.
- JEFFERIES, M. G.; DAVIES, M. P. Use of the CPTu to estimate equivalent SPT N_{60} . Geotech. Testing J., v.16, n.4, p. 458-468, 1993.

KONRAD, J. M.; LAW, K. Preconsolidation pressure from piezocone tests in marine clays. Géotechnique, v.37, n.2, p. 177-190, 1987.

KULHAWY, F. H.; MAYNE, P. W. Manual on estimating soil properties for fundatiom design. Ithaca: Geotech. Eng. Group, Cornell Univ., 1990.

LADD, C. C. Estimating Settlements os Structures Supported on Cohesive Soils. Massachusetts, 1973, ASCE, Foundations and Soils Mechanics.

LADD, C. C.; FOOTT, R.; ISHIHARA, K.; SCHLOSSER, F.; POULOS, H. G. Stress-deformation and strength characteristics. State-of-the-art report. Precedings of the 9th Int. Conf. Soil Mech. Found. Eng., Tokyo, v.2, p. 421-494, 1977.

LAAD, C. C.; DEGROOT, D. J. Recommended Practice for soft Ground site characterization. Arthur Casa Grande Lecture 12th Panamerican Conference on Soil mechanics and Geotechnical Engineering, 2003.

LAMB, T. W. (1951). Soil testing for engineers – John Wiley.

LARSSON, R.; MULABDIC, M. Piezocone test in clays. Report 42. Linköping: Swedish Geotechnical Institute, 1991.

LEE, J.; SALGADO, R.; PAIK, K. Estimation of load capacity of pipe piles in sand based on cone penetration tests results. J. Geotech. Geoenv. Eng., v. 129, n.6, p. 391-403, 2003.

LIMA FILHO, M. F.; ALHEIROS, M. M. Planície do Recife: Origem e Características Geotécnicas. CIVIL 90-NE, 2, 502-517, ITEP, ABMS-NE, 1990.

LUKIANTCHUKI, J. A. Interpretação de Resultados do Ensaio SPT com Base em Instrumentação Dinâmica. Dissertação de D.Sc., EESC/USP, São Paulo, 2012. Brasil.

LUNNE, T., BERRE, T. &STRANVIK, S. Sample Disturbance Effects in Soft Low Plastic Norwegian Clay. Recent Developments in Soil and Pavement Mechanics, Almeida (ed), Balkema, Rotterdam, 1997.

LUNNE, T.; ROBERTSON, P. K.; POWELL, J. J. M. Cone penetration testing in geotechnical practice. Blackie Academic & Professional, 1997.

MARANGON, M. Resistência ao Cisalhamento dos Solos. Apostilas de aulas de Mecânica dos Solos II, UFJF, Minas Gerais, MG, 2009. Brasil.

MASSAD, F. Baixada Santista: Implicações da História Geológica no Projeto de Fundações. Conferência Pacheco Silva, Revista Solos e Rochas, São Paulo, vol. 22 (1), pp. 3-49. 1999.

MASSAD, F. Argilas marinhas da Baixada Santista: características e propriedades geotécnicas. São Paulo: Oficina de Textos, 2009.

MAYNE, P. W. Determination of OCR in clays by piezocone tests using cavity expansion and critical state concepts. Soil Found. v.31, n.1, p. 65-76, 1991.

- MEIGH, A. C. Cone Penetration Testing: methods and interpretation. Londres: Butterworths, 1987.
- MELO, M. P. B. Caracterização Geotécnica e Análise do Comportamento de Aterros Sobre Solos Moles para a Construção do Novo Acesso ao Complexo de Suape. Dissertação de M.Sc., UNICAPE, Recife, PE, Brasil, 2016.
- OLIVEIRA, J. T. R. Ensaio de Piezocone em um Depósito de Argila Mole da Cidade do Recife. Dissertação de M.Sc., UFRJ, Rio de Janeiro, RJ, Brasil, 1991.
- OLIVEIRA, A.T.J. Uso de um equipamento eletrônico de palheta em argilas do Recife. Dissertação de mestrado. UFPE, 2000.
- OLIVEIRA, J. T. R. Influência da Qualidade da Amostragem no Comportamento Tensão-Deformação-Tempo das Argilas Moles. Tese (Doutorado), COPPE/UFRJ DEC-UFPE, Recife, PE, Brasil, 2002.
- OLIVEIRA, M.S. Solos da planície do Recife uma visão panorâmica. 91 f. TCC (Graduação) Curso de Engenharia Civil, Universidade Católica de Pernambuco, Recife, 2015.
- OLIVEIRA, M. S.; ROCHA, F. M. A.; FERREIRA, S.R.; OLIVEIRA J, T. R. Identificação e Classificação de Perfis Típicos de Solos na Planície do Recife. In: XVIII Congresso Brasileiro de Mecânica dos Solos e Engenharia Geotécnica COBRAMSEG 2016.
- OLSON, R.; MITCHELL, J. K. CPT stress normalization and prediction of soil classification. In: INT. SYMP. ON CONE PENETRATION TESTING. Proceedings. Linköping: Swedish Geotech. Society, 1995. v.2, p. 257-262.
- ORTIGÃO, J. A. R., COLLET, H. B. Errous Caused by Friction on the Field Vane Tests. Vane Shear Strength Testing in Soils: Field and Laboratory Studies, ASTM STP 1014, Ed. A. F. Richards, American Society for Testing and Materials, Philadelfia, pp. 104-116. 1988.
- PINTO C. S. Curso Básico de Mecânica dos Solos em 16 Aulas. Oficina de Textos, SP, Brasil, 2002. 2ª Edição.
- PLANTEMA, G. Construction and Method of Operating of a New Deepsounding Apparatus Proc. II Int. Conf. on Soil Mech. and Found. Eng. Rotterdam, 1949. Vol. I, pp. 277-27.
- QUARESMA, A. R.; DÉCOURT, L.; QUARESMA FILHO, A. R.; ALMEIDA, M. S. S.; DANZIGER, F. A. B. Investigações geotécnicas. Cap.3. In: HACHICH, W. *et al.* Fundações: Teoria e Prática. Editora Pine, 1996. p. 119-162.
- ROBERTSON, P. K. Soil classification using the cone penetration test. Canadian Geotech. Journal, v. 27, n. 1, p. 151-158, 1990.
- ROBERTSON, P. K. Evaluating soil liquefaction and post-earthquake deformations using the CPT. In: INT. CONF. ON SITE CHARACTERIZATION, 2. Porto, Portugal. Proceedings... Rotterdam: Millpress, 2004. v.1, p. 233-249.

ROBERTSON, P. K.; SULLY, J. P.; WOELLER, D. J.; LUNNE, T.; POWELL, J. J. M.; GILLESPIE, D. G. Estimating coefficient of consolidation from piezocone tests. Canadian Geotech. Journal, v. 29, n. 4, p. 539-550, Aug. 1992.

ROBERTSON, P. K.; CAMPANELLA, R. G. Guidelines for geotechnical design using CPT and CPTU. Soil mech. series 120. Vancouver: Department of Civil Engineering, University of British Columbia, 1988.

ROBERTSON, P. K.; CAMPANELLA, R. G. Interpretation of cone penetration tests. Canadian Geotech. Journal, v. 20, n. 4, p. 734-745, 1983.

ROBERTSON, P. K.; HUGHES, J. M. O. Determination of properties of sands from self-boring pressuremeter tests. 2nd Symp. Pressuremeter and its Marine Applications, ASTM, STP 950, p. 283-302, 1986.

ROBERTSON, P. K.; WRIDE, C. E. Evaluating cyclic liquefaction potential using the cone penetration test. Canadian Geotech. Journal, Ottawa, v.35, n.3, p. 442-459, 1998.

ROCHA, F.M.A. (2016). Compressibilidade de uma Argila Orgânica Mole do Bairro de Chão de Estrelas em Recife-PE. Dissertação de Mestrado- UNICAP. 2016

ROCHA FILHO, P.; SCHNAID, F. Cone penetration testing in Brazil. In: SWEDISH GEOTECHNICAL SOCIETY (Org.). Cone penetration testing. 1. Ed. Stockholm: Swedish Geotechnical Society, 1997. v.1, p. 29-42.

ROCHA FILHO, P.; ALENCAR, J. A. Piezocone tests in the Rio de Janeiro soft clay deposit. Proceedings of the 12th Int. Conf. Soil Mech. Found. Eng., San Francisco, v. 2, p. 859-862, 1985.

SANDRONI, S. S.; SILVA, J. M. J, PINHEIRO, J. C. N. Site Investigations for Undraines Excavations in a Soft Peaty Deposit. Canadian Geotechnical Journal, Vol. 21, N°, pp. 36-59. 1984.

SANDRONI, S. S.; BRUGGER, P. J.; ALMEIDA, M. S. S.; LACERDA, W. A. Geotechnical properties of Sergipe clay. Proceedings of the Int. Symp. Recent Develop. Soil Pav. Mech., Rio de Janeiro, p. 271-277, 1997.

SANGLERAD, G. The penetrometer and soil exploration. Amsterdam: Elsevier, 1972.

SCHMERTMANN, J. H. The Undisturbed Consolidation Behaviour of Clay. – Transactions ASCE – Vol. 120: 1201 – 1227. 1955.

SCHMERTMANN, J. H. Guidelines for cone penetration test, performance and design. Report FHW-TS-78-209. Washington, D. C.: US Federal Highway Administration, 1978.

SCHNAID, F., e ODEBRECHT, E. Ensaios de Campo e suas aplicações à Engenharia de Fundações. Oficina de Textos, SP, Brasil, 2012. 2ª Edição.

SCHNAID, F; SILLS, G. C.; SOARES, J. M.; NYIRENDA, Z. Predictions of the coeficiente of consolidation from piezocone tests. Canadian Geotech. Journal, v. 34, n. 2, p. 143-159, 1997.

- SCHNEIDER, J. A.; LEHANE, B. M.; SCHNAID, F. Evaluation of piezocone pore pressure response in normally consolidated and overconsolidated clay. Int. J. of Physical Modeling in Geotech., 2008.
- SKEMPTON, A. W. Standard penetration test procedures and the effects in sands of overburden pressure, relative density, particle size, ageing and overconsolidation. Géotechnique, v.3, n.1, p. 72-78. 1986.
- SENNESET, K..; SANDVEN, R.; LUNNE, T.; BY, T.; AMUNDSEN, T. Piezocone testing in silty soil. Penetration testing 88. Balkema Pub., 1988. p. 955-966.
- SOARES, J. M. D. Caracterização do depósito de argilas moles da região metropolitana de Porto Alegre. 330 f. Tese de Doutoramento (Ph. D) CPGEC/UFRGS, Porto Alegre, 1997.
- SOARES, V. B. Propriedades de Resistência de uma argila orgânica do Recife, Dissertação de Mestrado, Universidade Federal da Paraíba, 64 p., 1975.
- SOARES, M. M. Interpretation of dissipation tests in Oslo clay. Report 40015-5. Oslo: Norwegian Geotech. Institute, 1986.
- SOARES, J. M. D.; SCHNAID, F., BICA, A. V. Determination of the characteristics of a soft clay deposit in Southern Brazil. In: INT. SYMP. RECENT DEVELOP. SOIL PAV. MECH. Proceedings... Amsterdam. Rotterdam: Balkema Publ., 1997. p. 297-302, 1997.
- TAVENAS, F.; LEROUEIL, S. State-of-the-art on Laboratory and in situ stress-strain-time behavior of soft clays. Proceedingd of the Int. Symp. on Geotech. Eng. of Soft Soils, Mexico City, v.2, p. 1-46, 1987.
- TEIXEIRA, D.C.L. Características Geotécnicas dos Depósitos de Argila Mole do Recife à Influência da Matéria Orgânica. Dissertação de Mestrado COPPE/UFRJ, 1972.
- TEIXEIRA, A. H. Projeto e execução de fundações. Seminário de Engenharia de Fundações Especiais e Geotecnia, SEFE, São Paulo, v.1, p. 33-55, 1996.
- TEIXEIRA, C. F.; SAYÃO, A. S. F. J.; SANDRONI, S. S. Avaliação da qualidade de corpos de prova de solos muito moles da Barra da Tijuca, Rio de Janeiro. XVI Cong. Bras. Mec. Solos Eng. Fund., Porto de Galinhas, Pernambuco, 2012.
- TERZAGHI, K. Die Tragfahigkeit von Pfahlgründungen in "Die Boutechnik". Citado por Danziger (1990).
- TERZAGHI, K. The Shearing Resistance of Saturated Soils and the Angle between the Planes of Shear. In: Proceedings of 1st ICSMFE, Cambridge, 1936.
- THOMAS, S. D. Various techniques for the evaluation in the coefficient of consolidation from a piezocone dissipation test. Report SM064/86. Oxford University, 1986.
- THE, C. I.; HOULSBY, G. T. An analytical study of the cone penetration test in clay. Géotechnique, v.41, n.1, p. 17-34, 1991.

VELLOSO, D.A. O Ensaio de Diepsondering e a Determinação da Capacidade de Carga do Solo - Rodovia, No. 29, pp. 3-7, Rio de Janeiro, 1959.

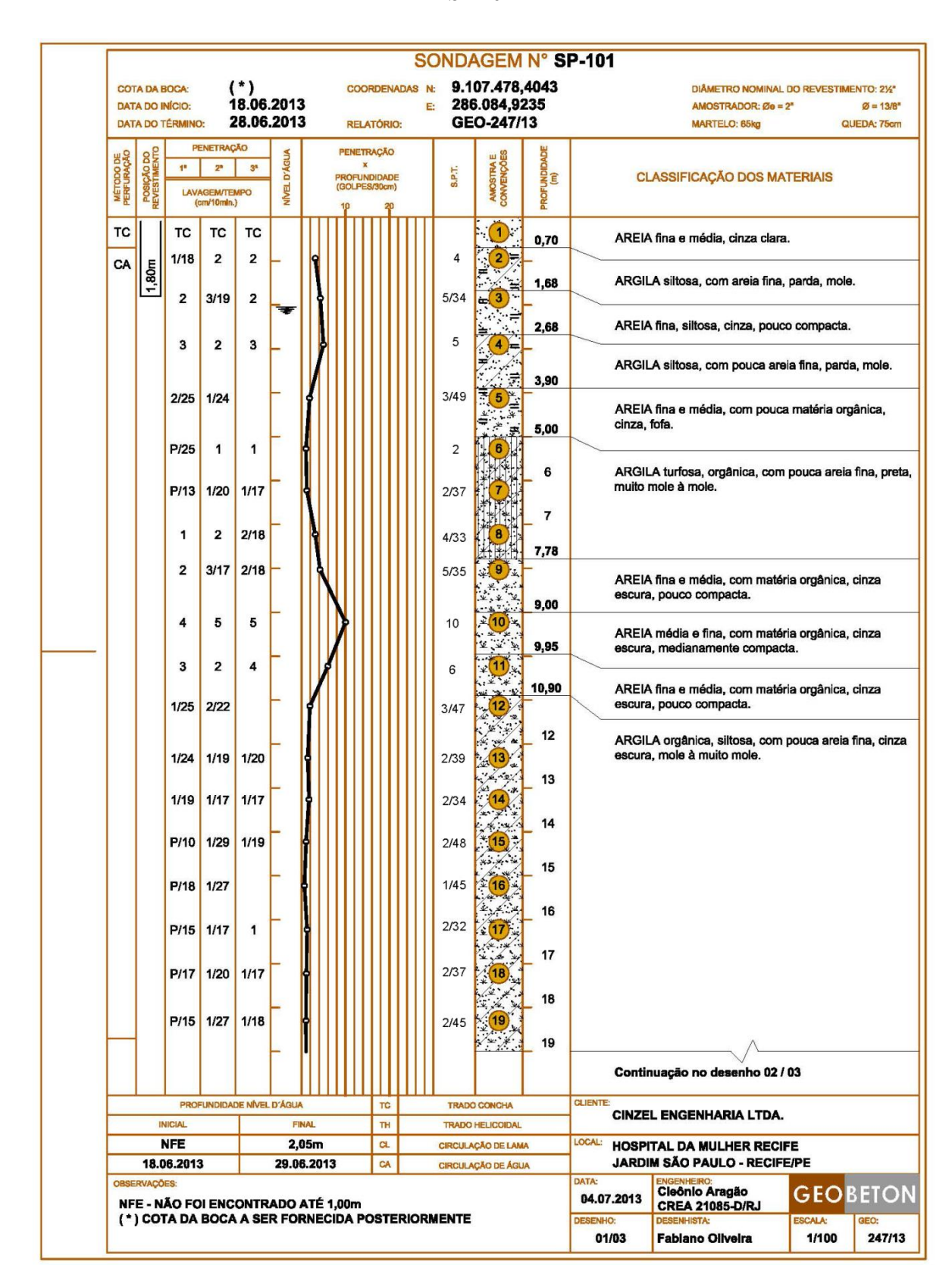
VERMEIDEN, J. Improved Soundings Apparatus, as Developed in Holland since 1936 - Proc. II In'l. Conf. on Soil Mech. and Found. Eng. - Rotterdam, Vol. 7, pp. 280-287, 1948.

VIANA DA FONSECA, A.; COUTINHO, R. Q. Characterization of residual soils. Keynote Lecture. In: HUANG, A. B.; MAYNE, P. (Eds.). Geotechnical and geophysical characterization. Taylor & Francis, 2008. p. 195-248.

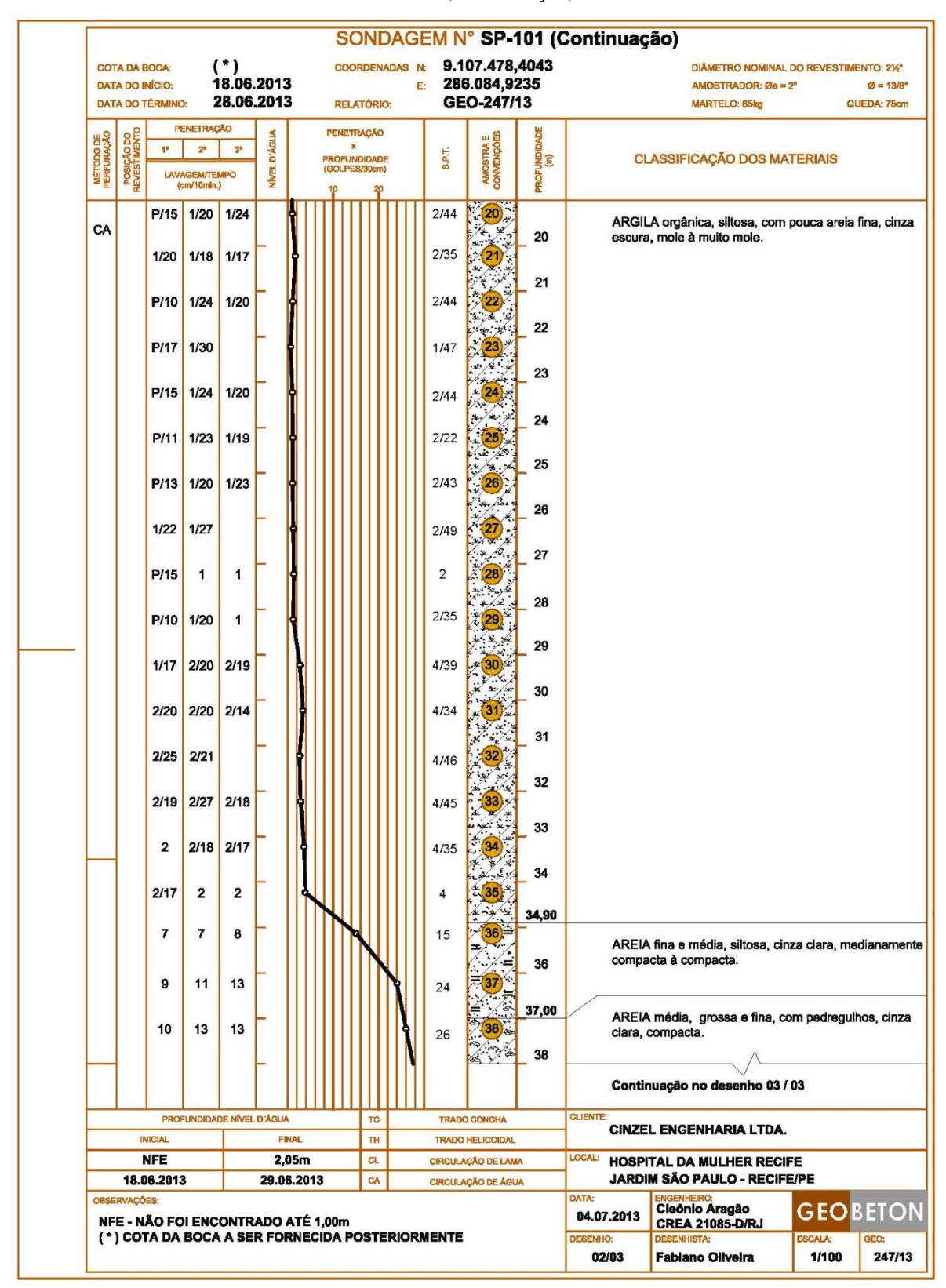
WROTH, C. P. The interpretation of in situ soil tests. 24th Rankine Lecture. Géotechnique, v.41, n.4, p 449-489, 1984.

APÊNDICE A - RESULTADOS DAS SONDAGENS SPT

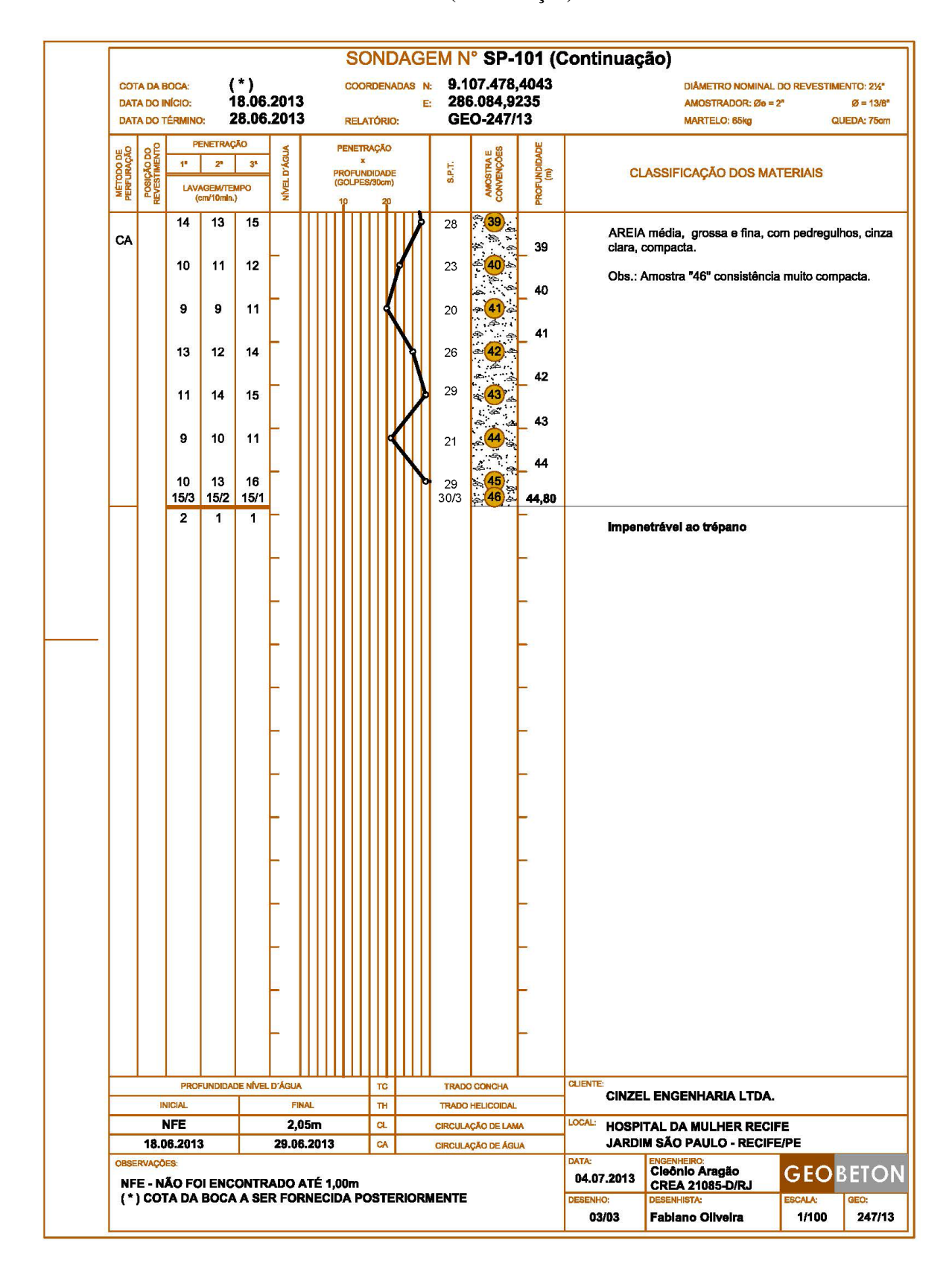
SP-101



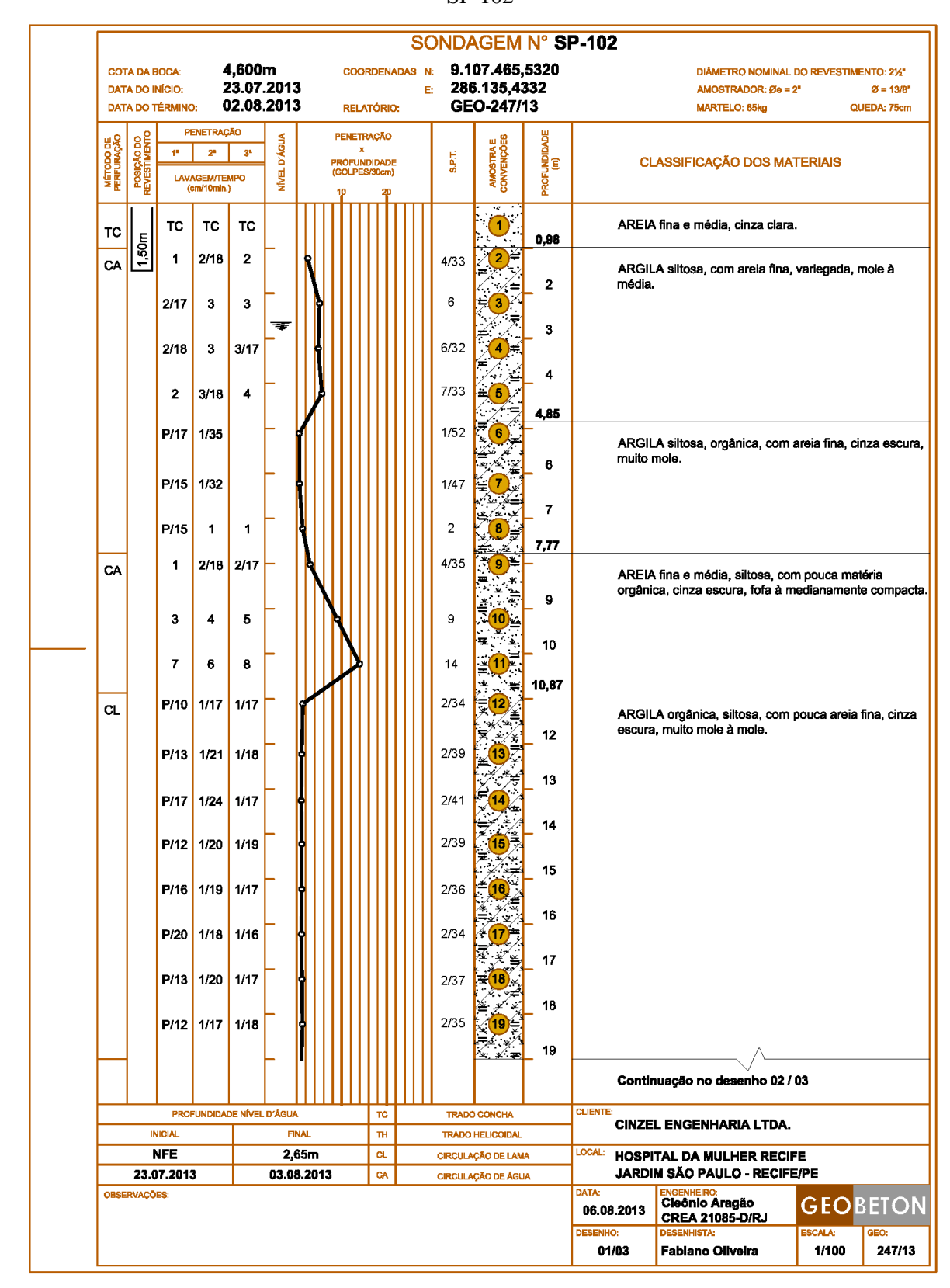
SP-101 (Continuação)



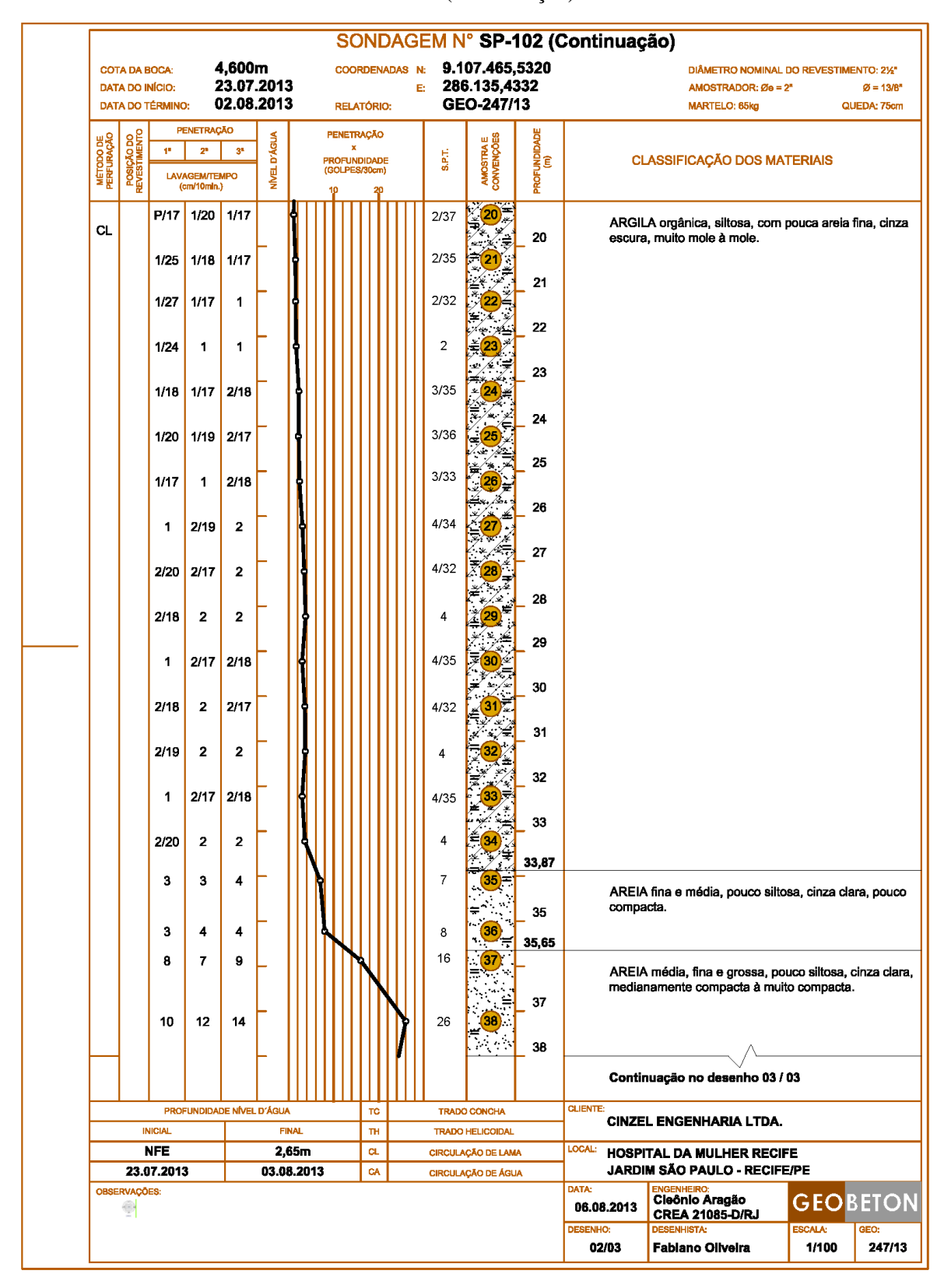
SP-101 (Continuação)



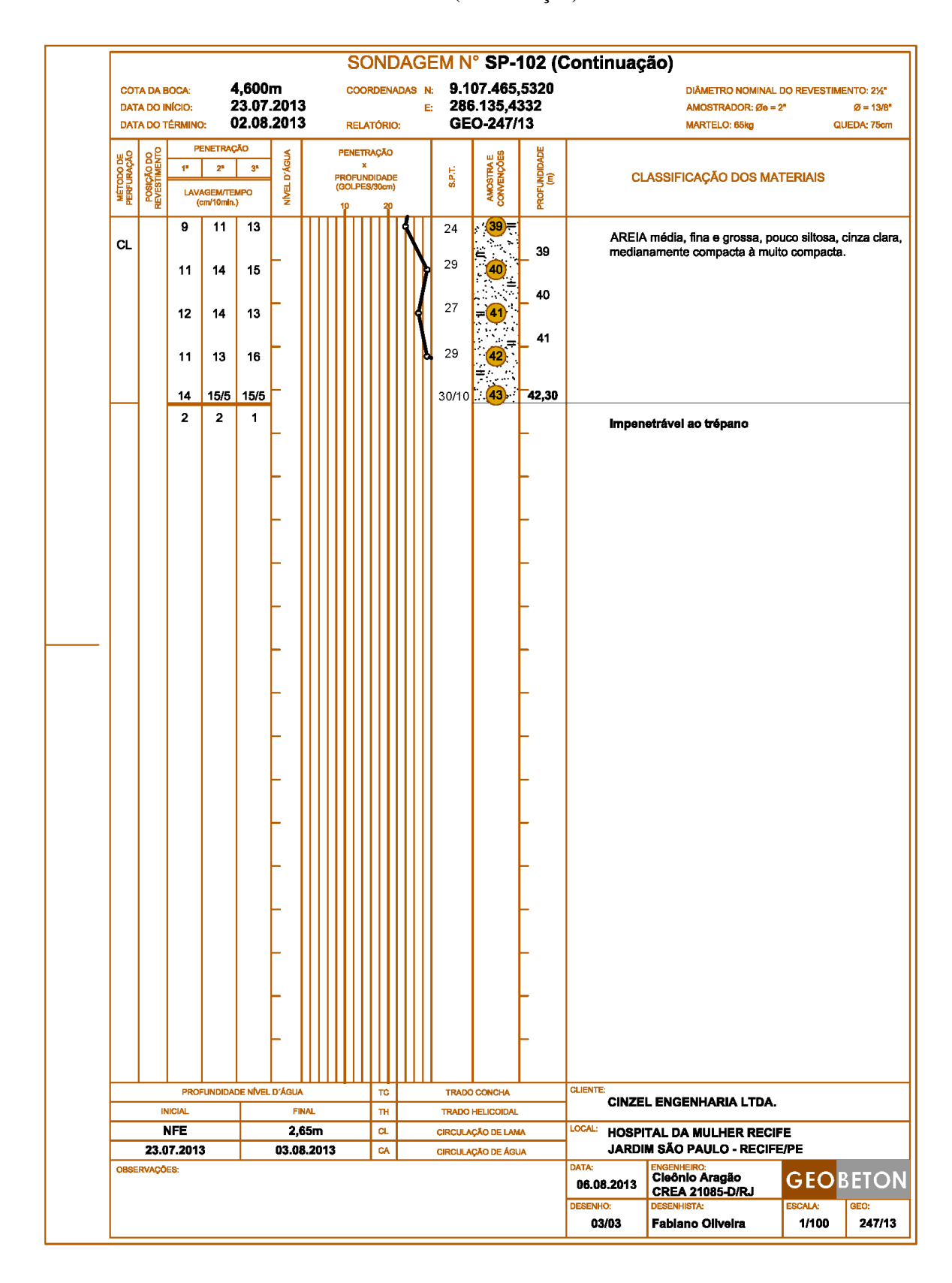
SP-102



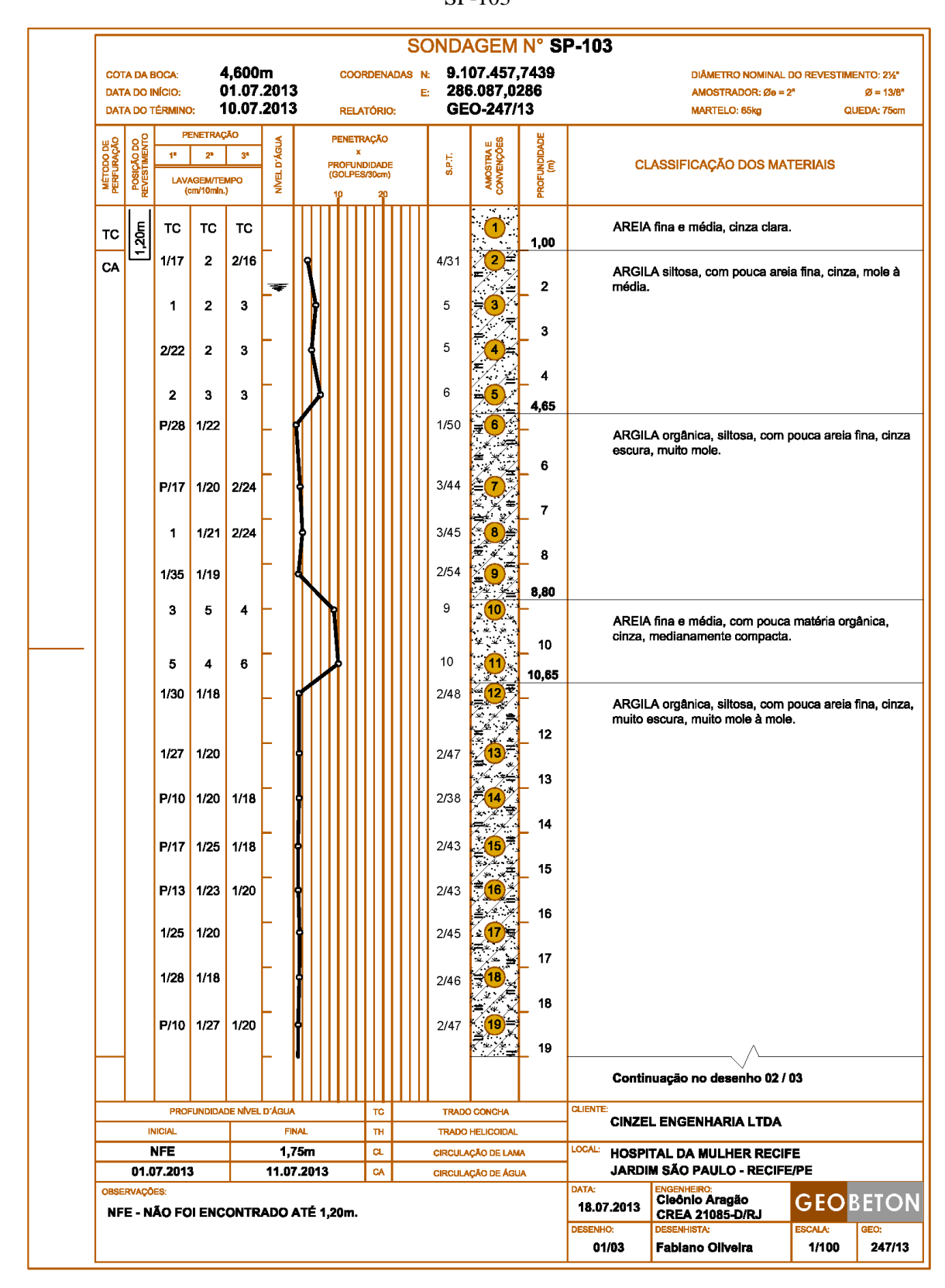
SP-102 (Continuação)



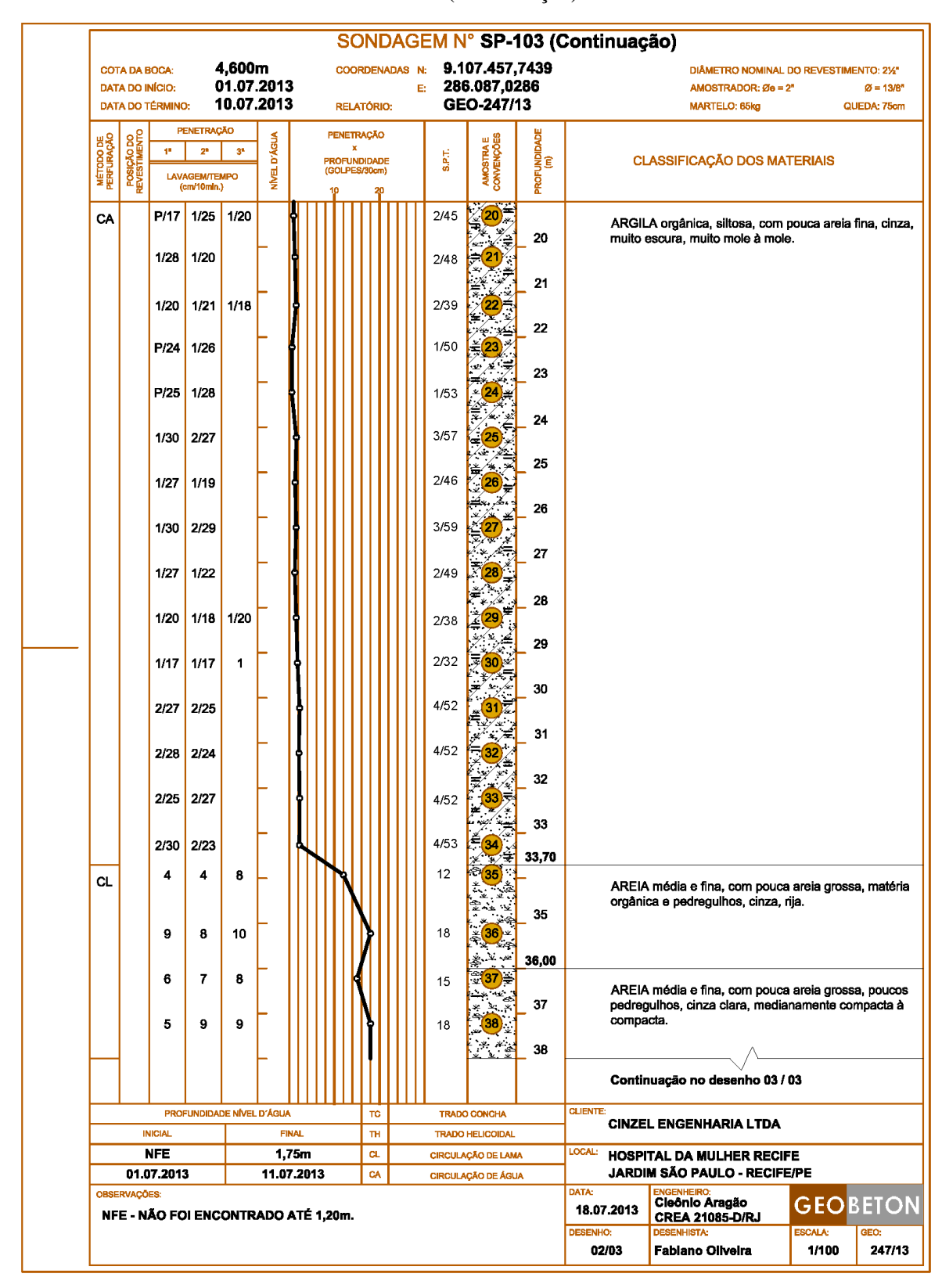
SP-102 (Continuação)



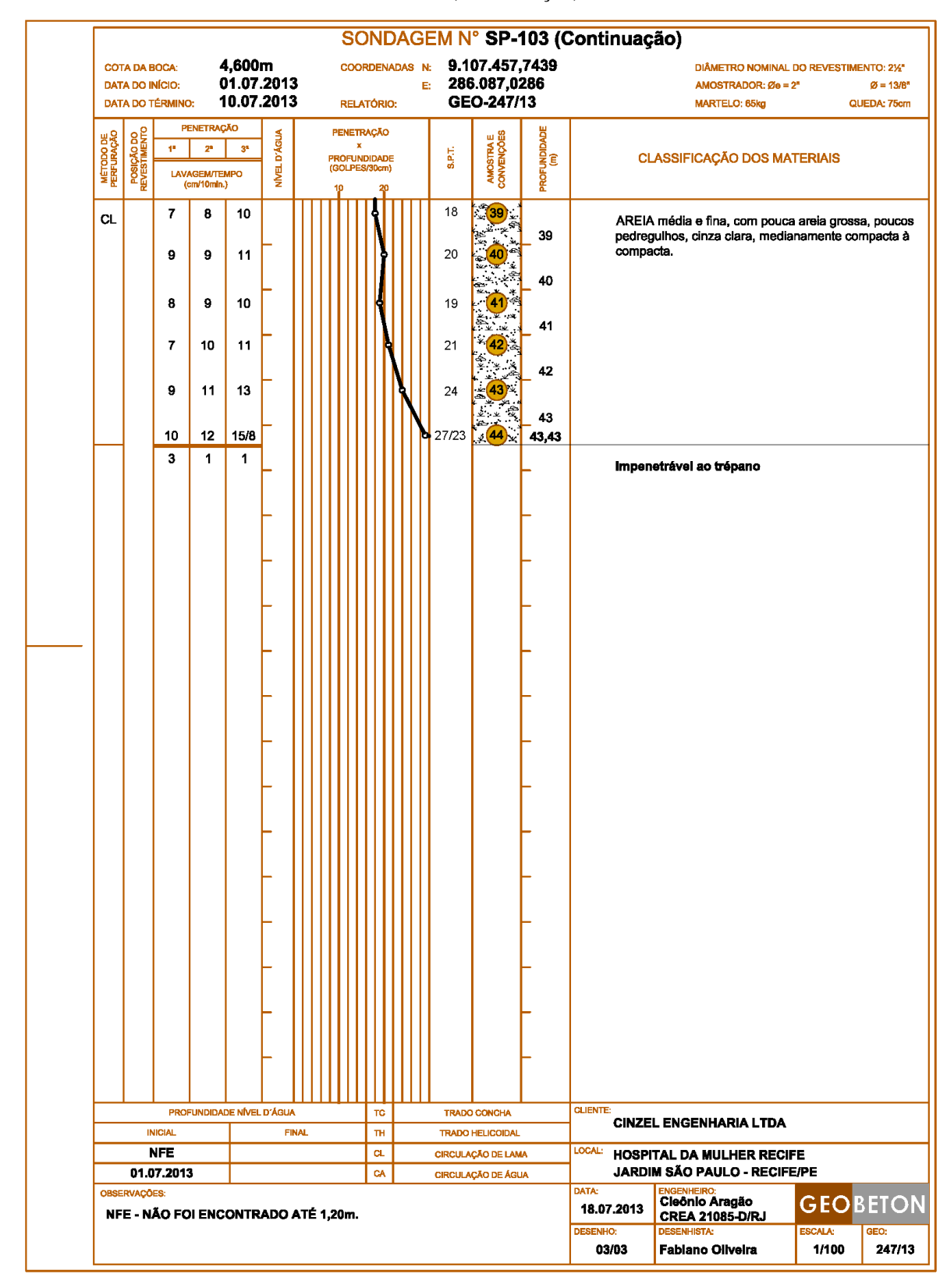
SP-103



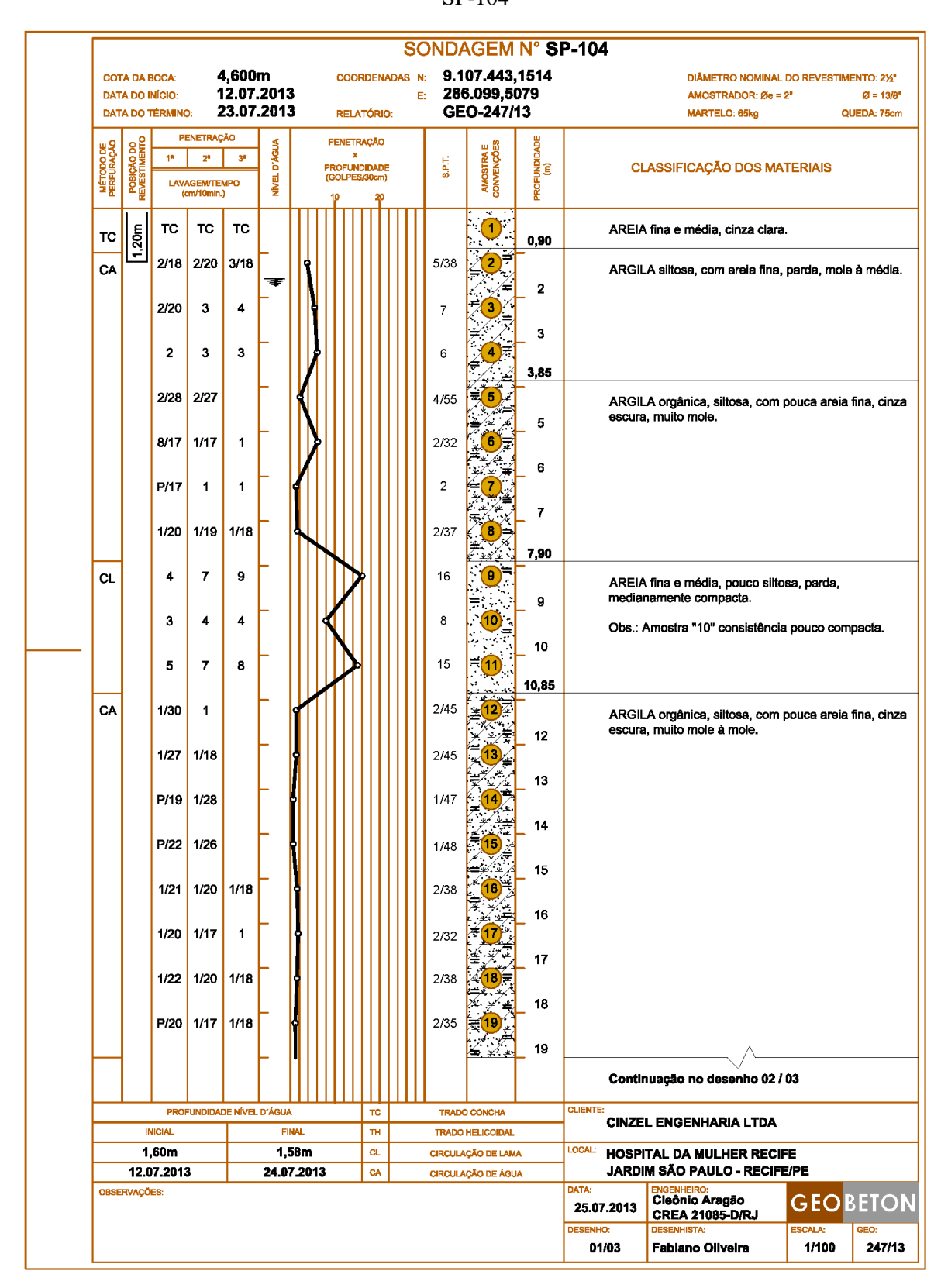
SP-103 (Continuação)



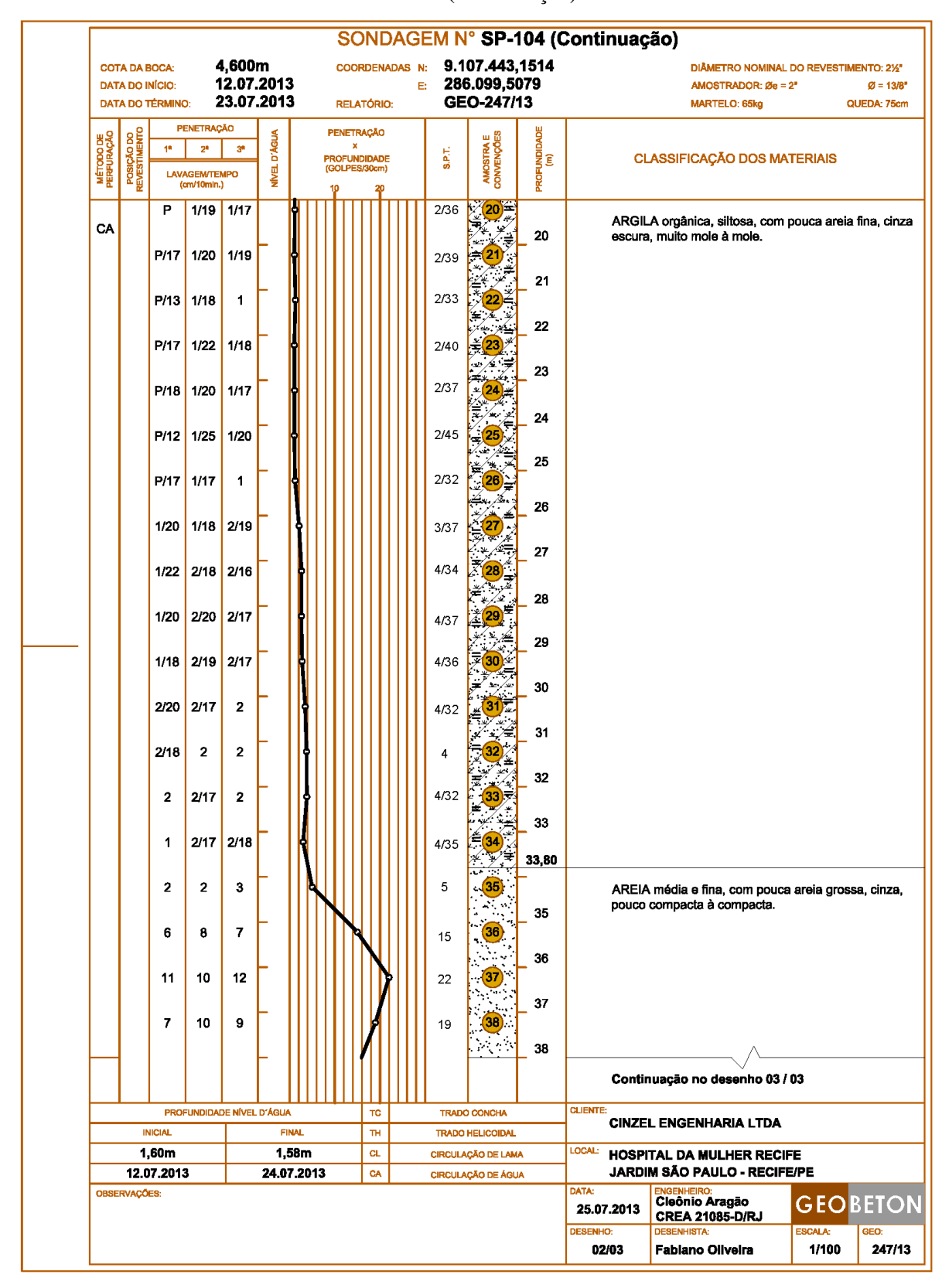
SP-103 (Continuação)



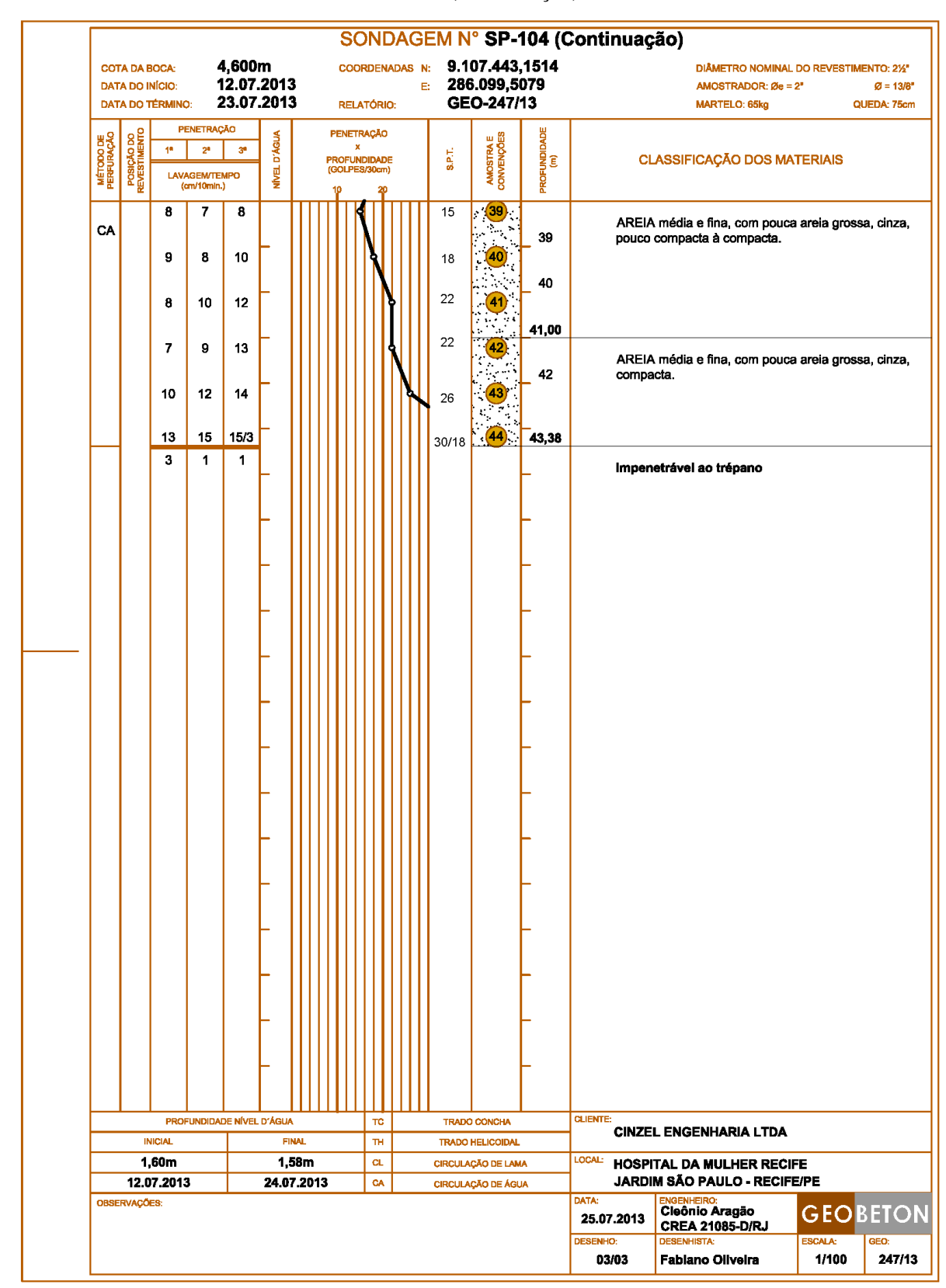
SP-104



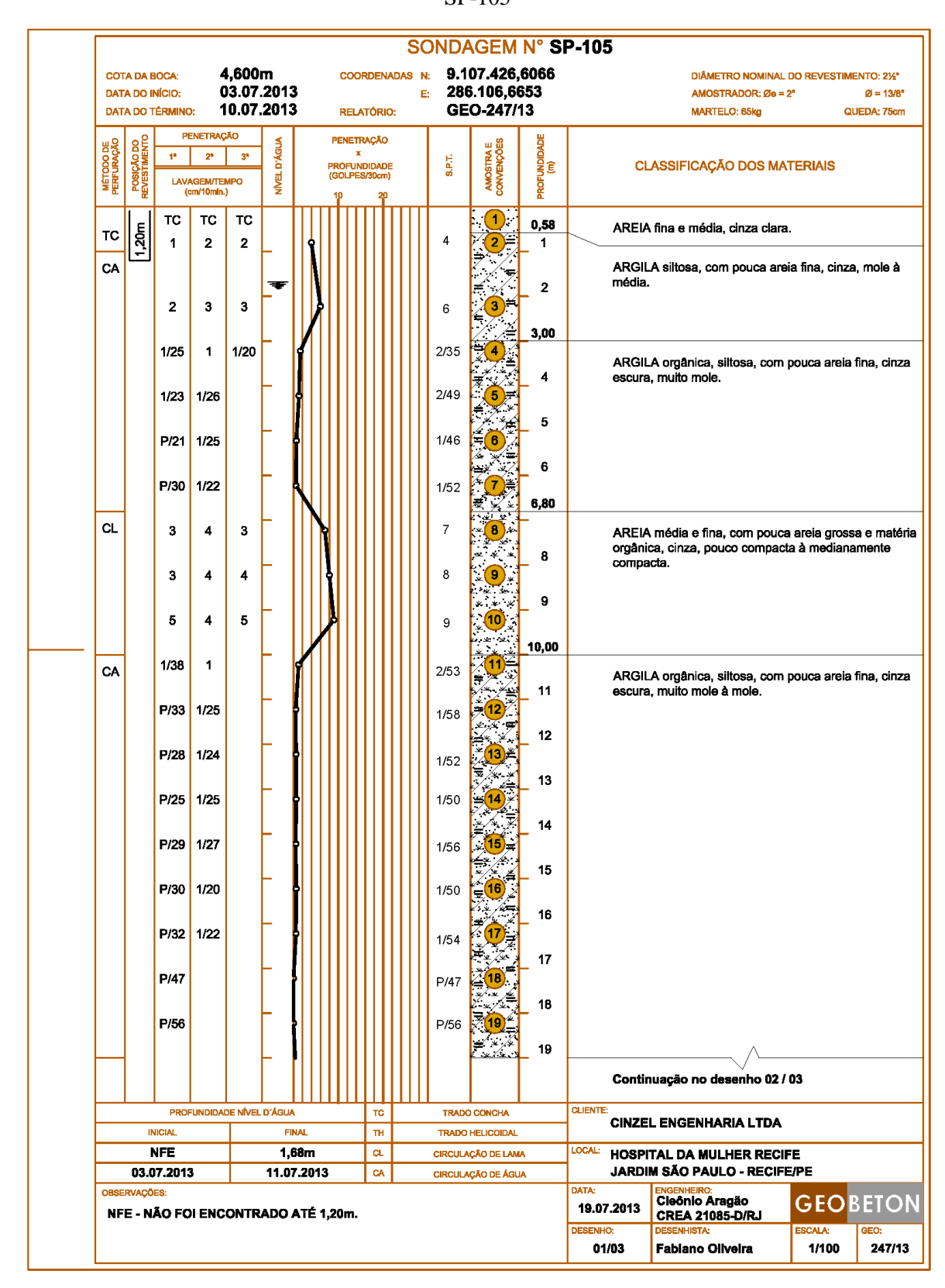
SP-104 (Continuação)



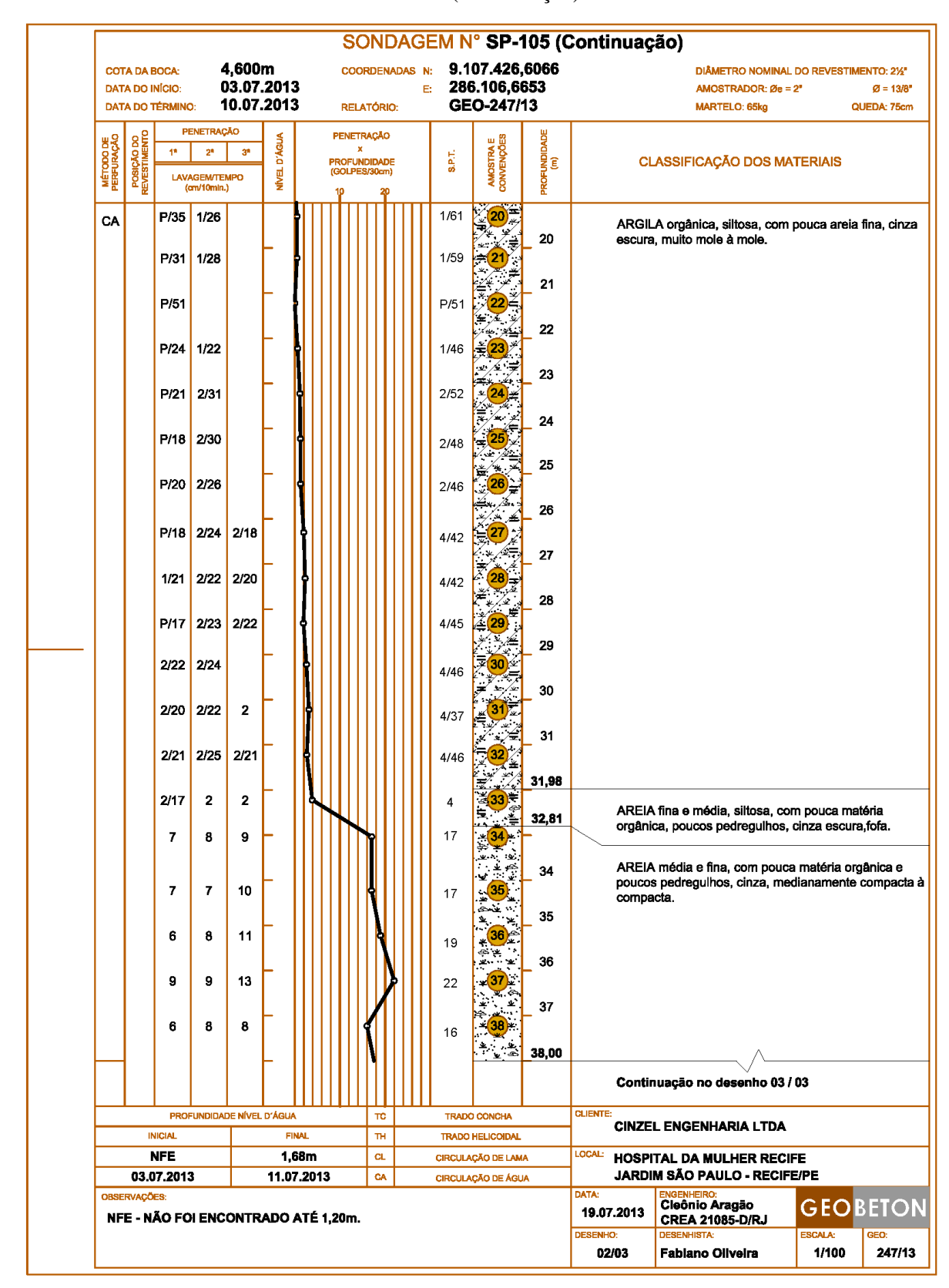
SP-104 (Continuação)



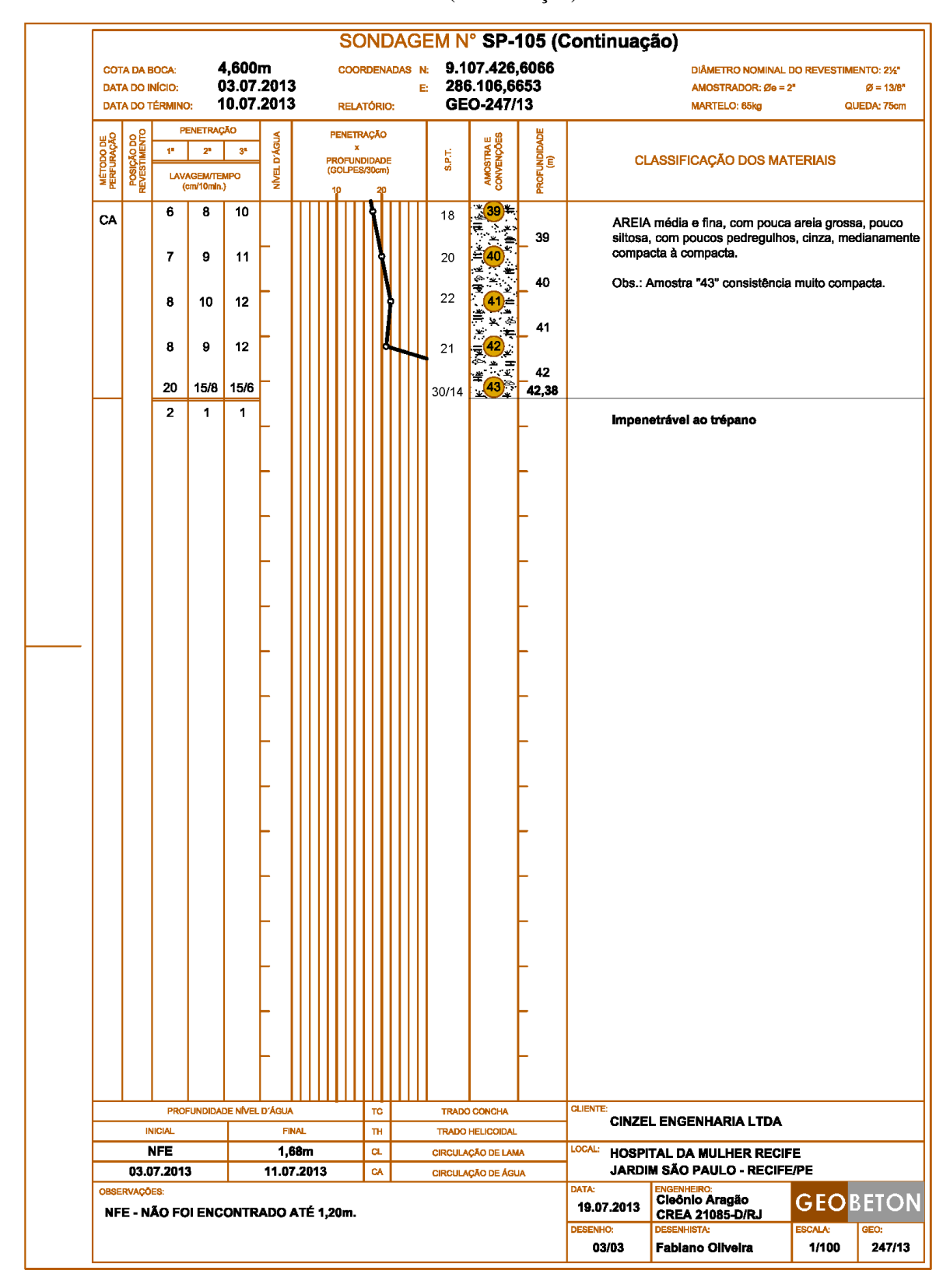
SP-105



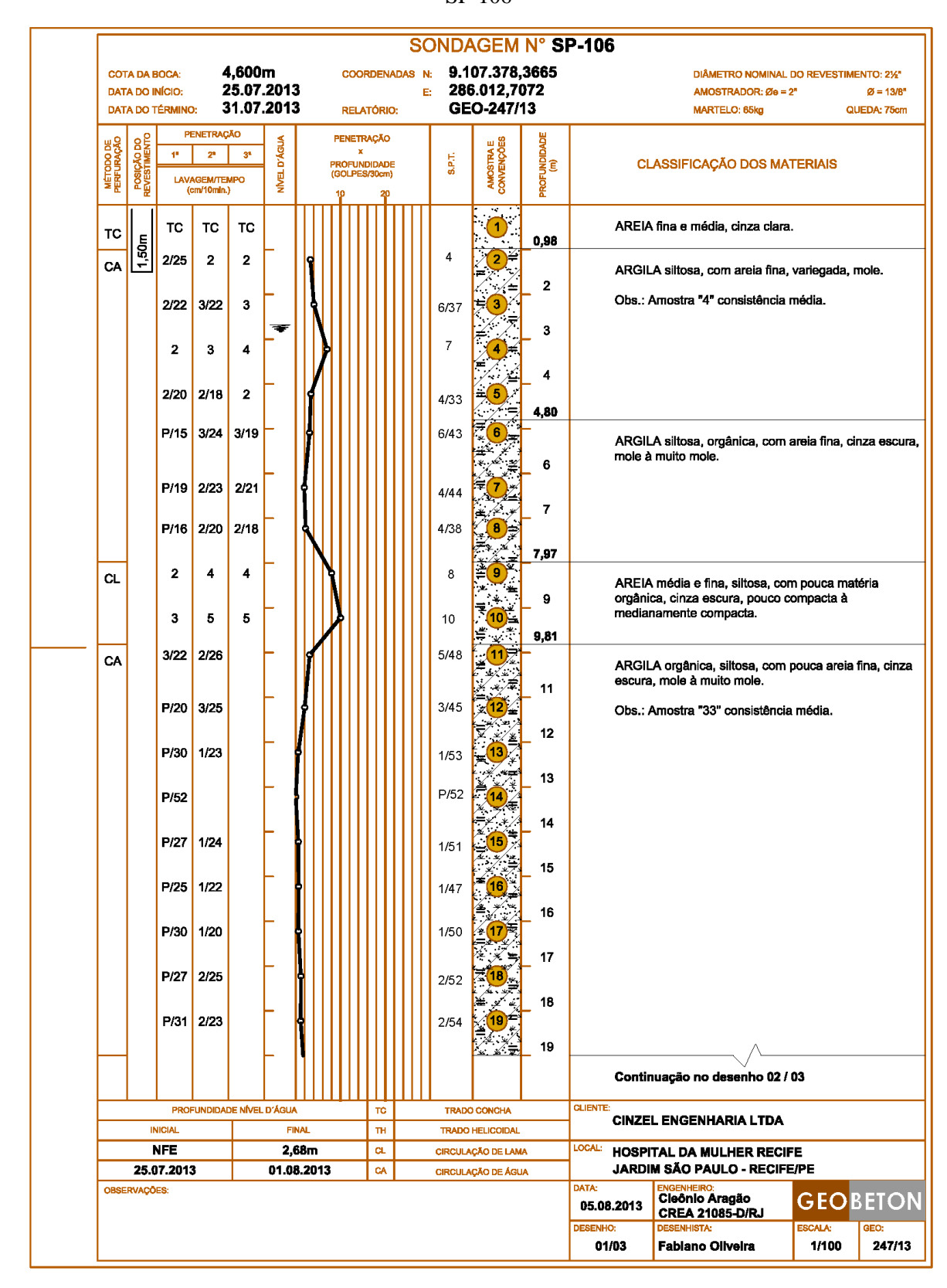
SP-105 (Continuação)



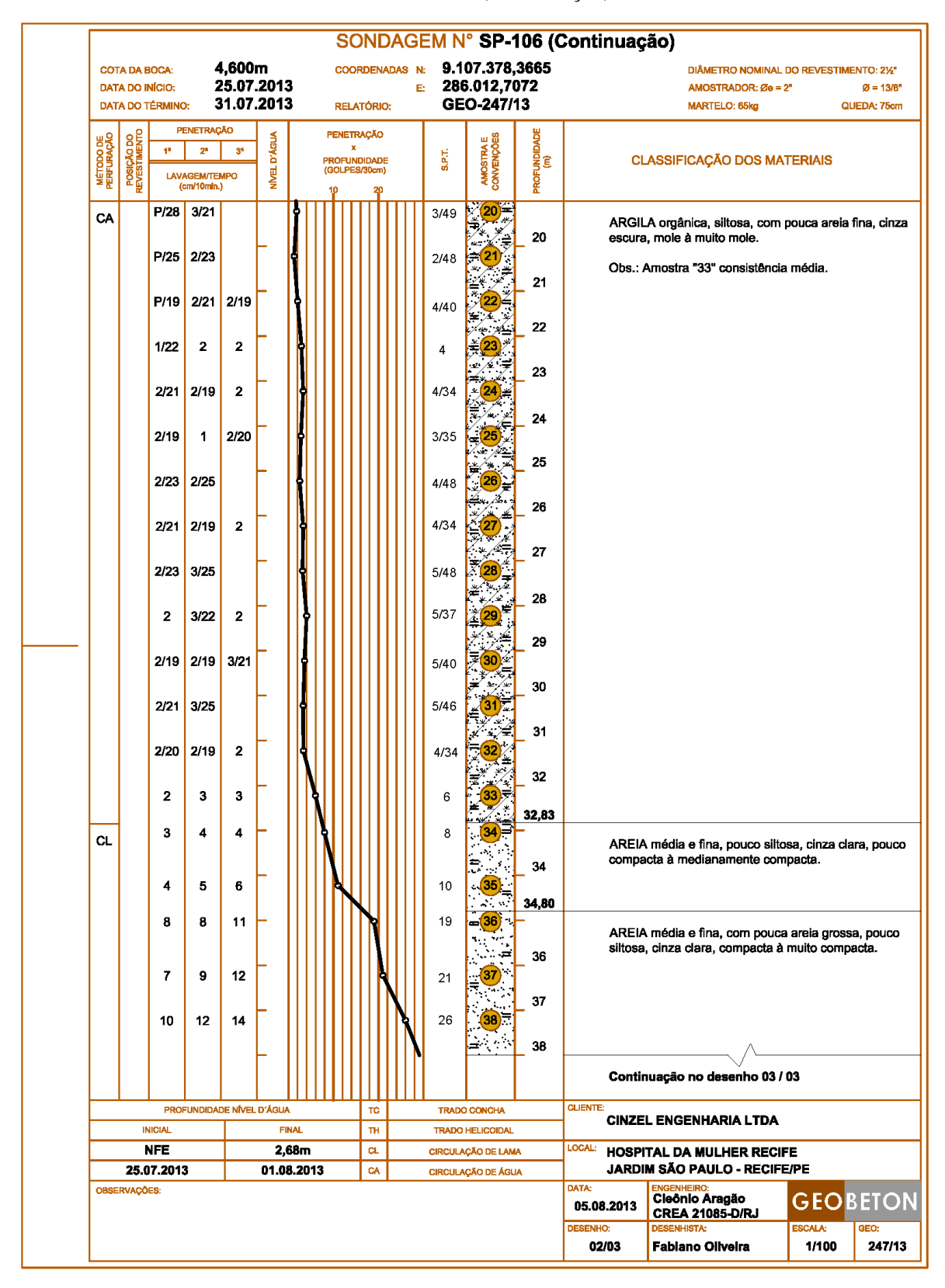
SP-105 (Continuação)



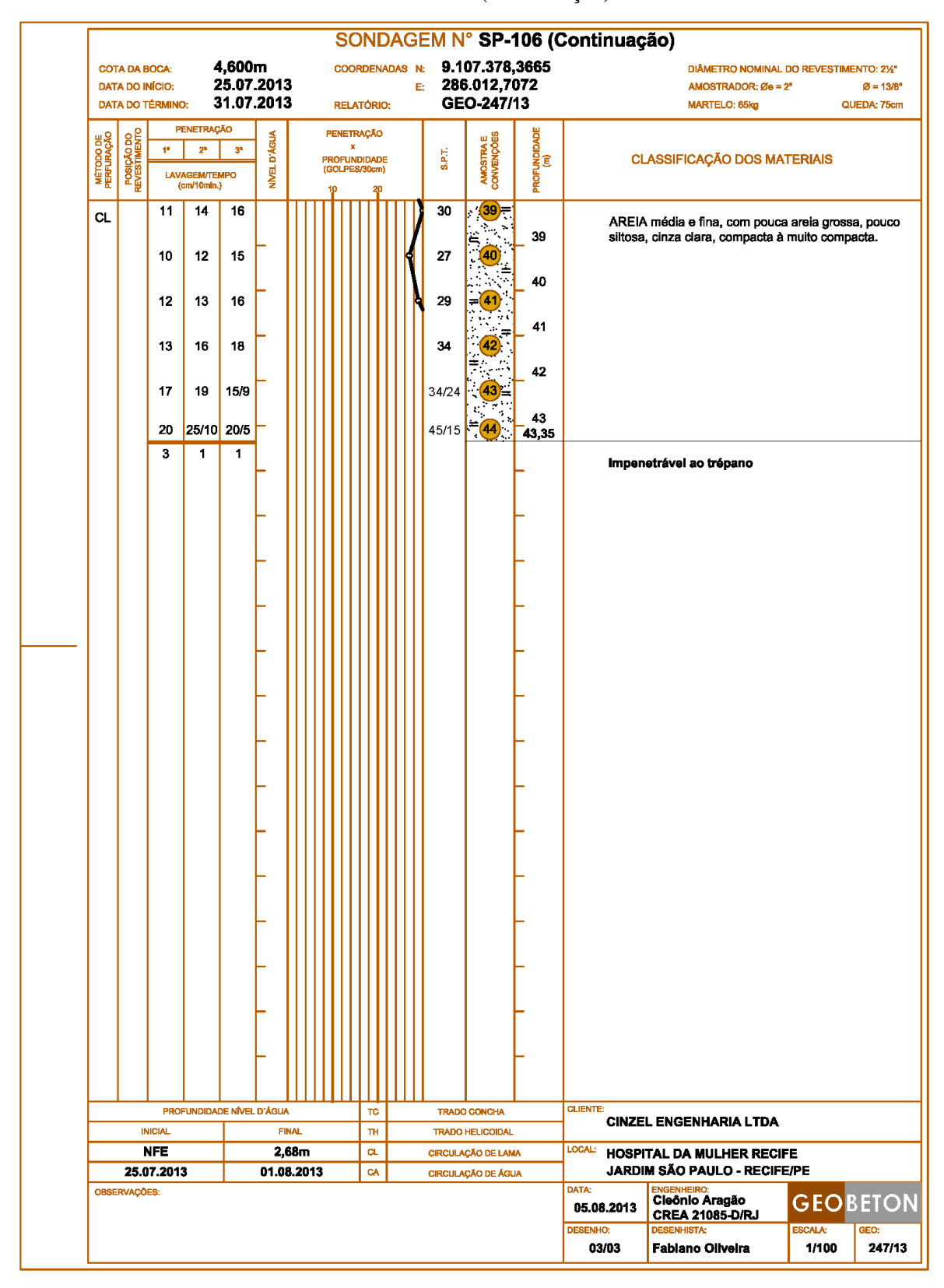
SP-106



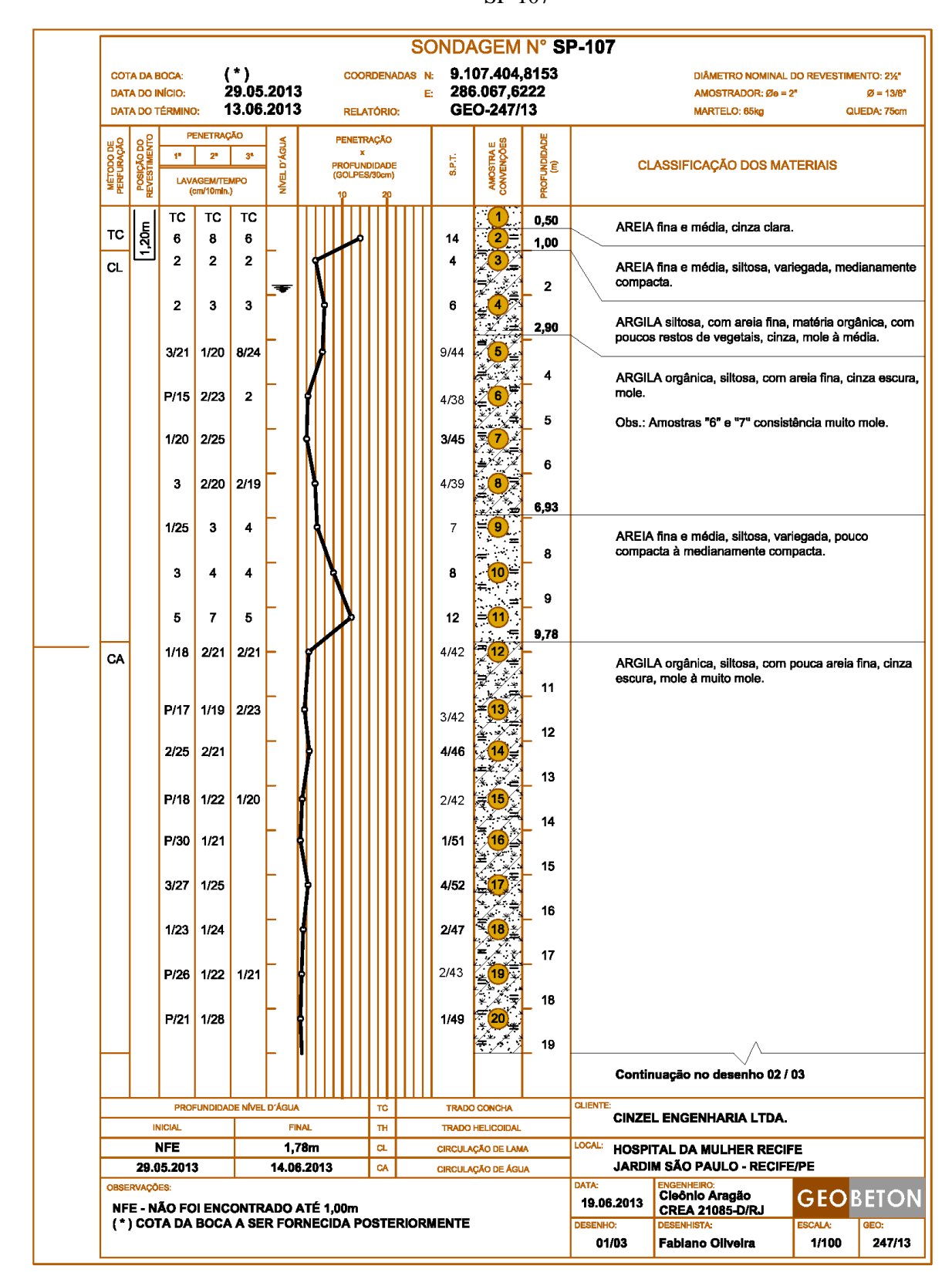
SP-106 (Continuação)



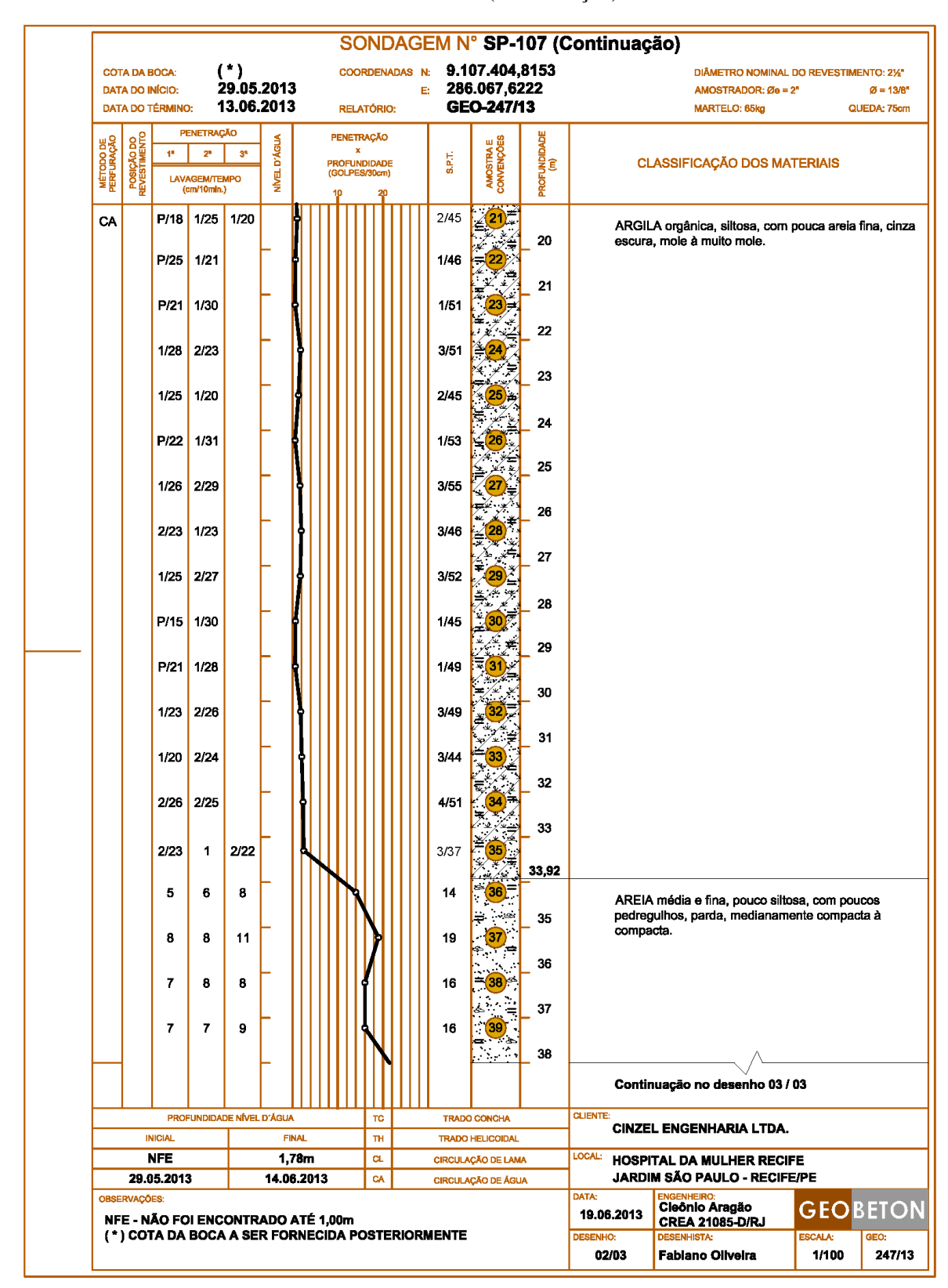
SP-106 (Continuação)



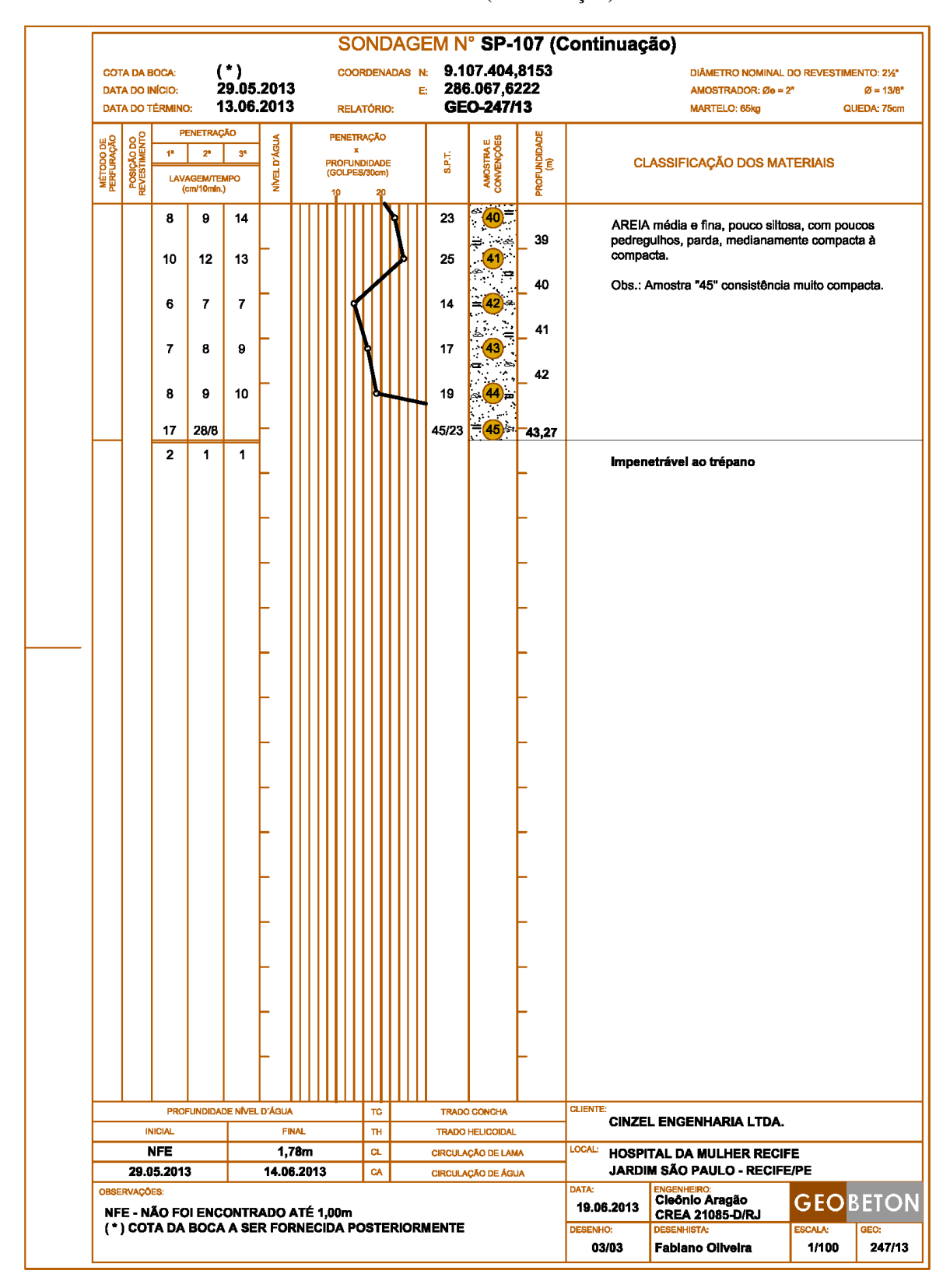
SP-107



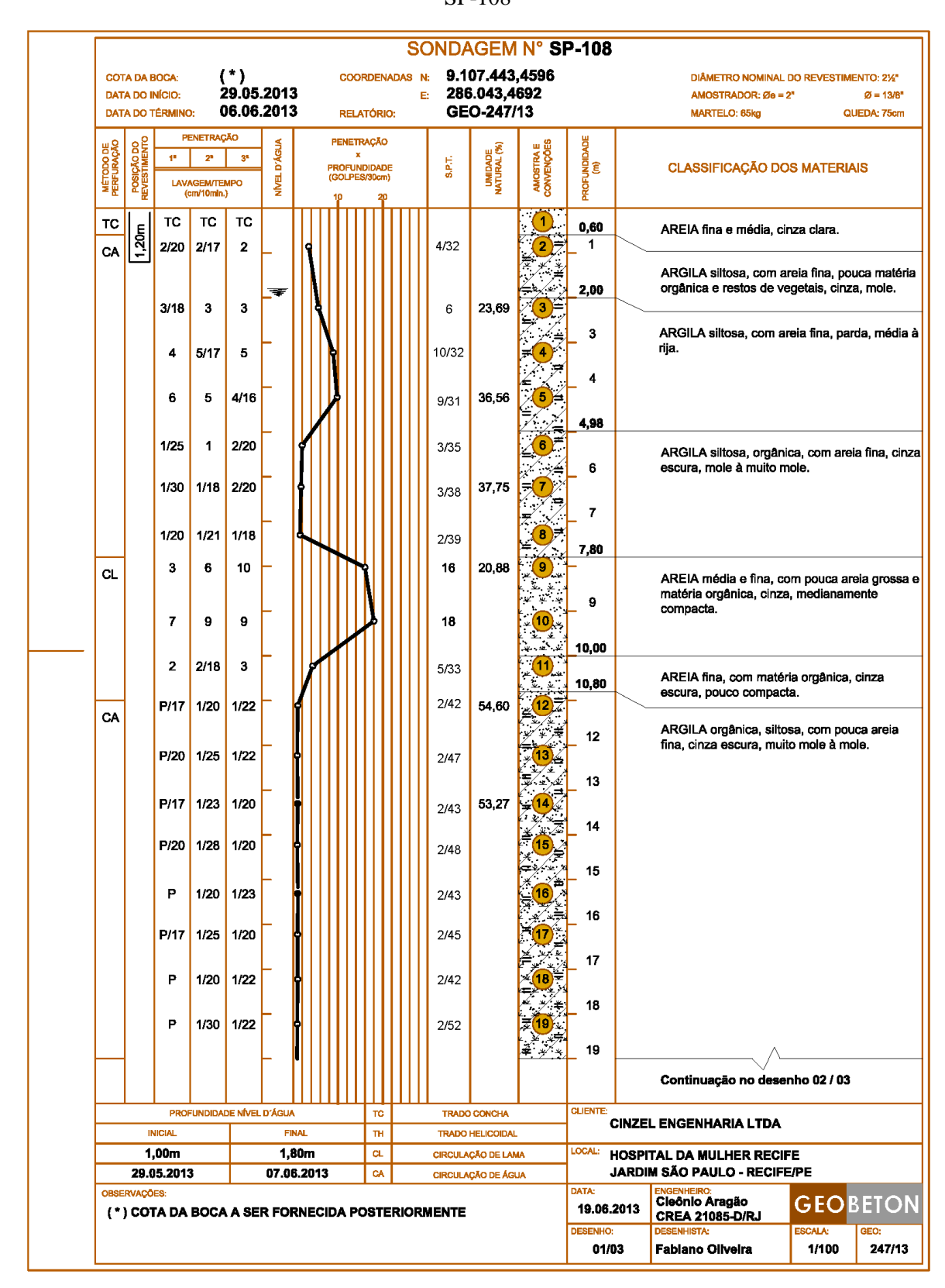
SP-107 (Continuação)



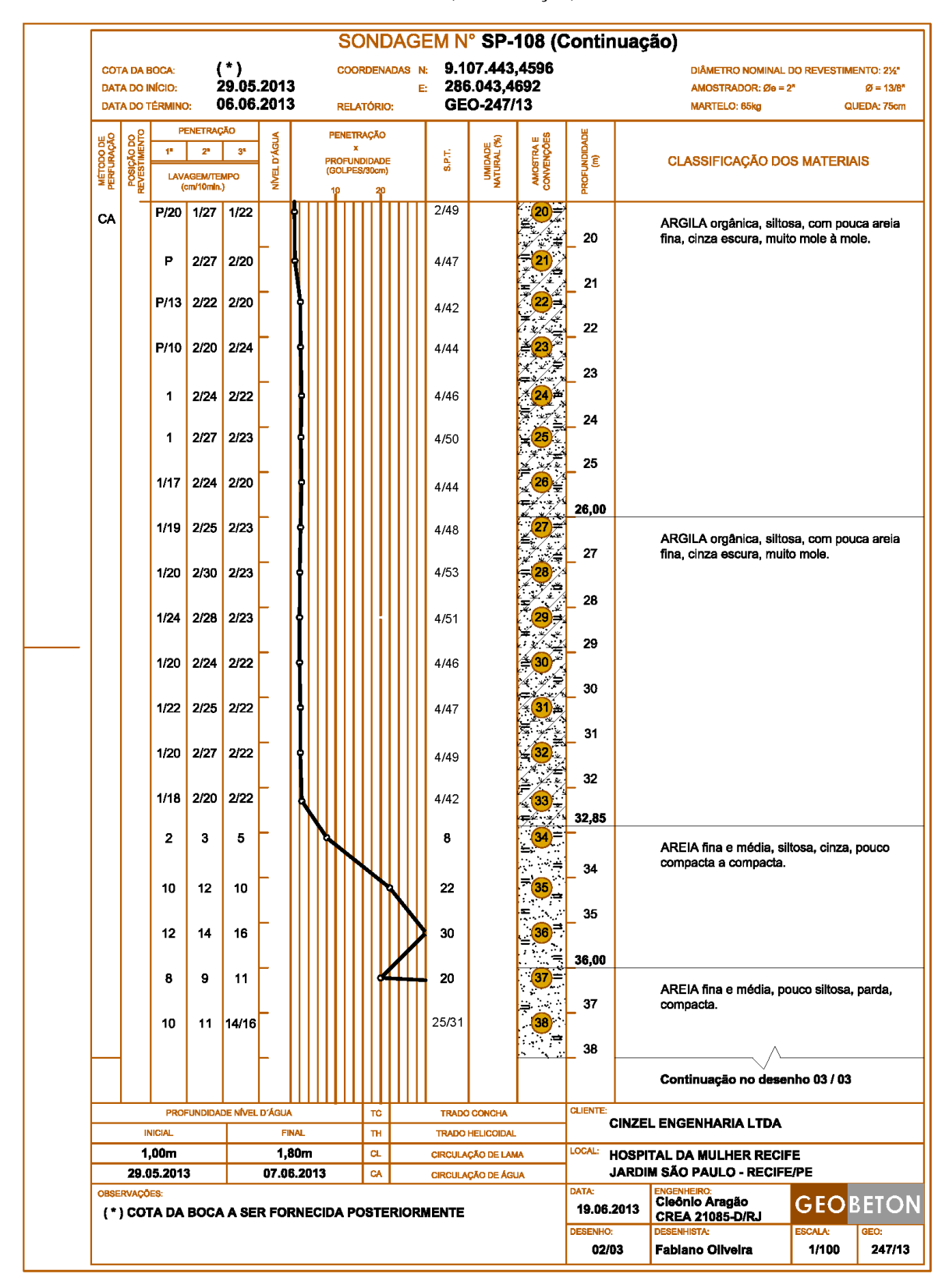
SP-107 (Continuação)



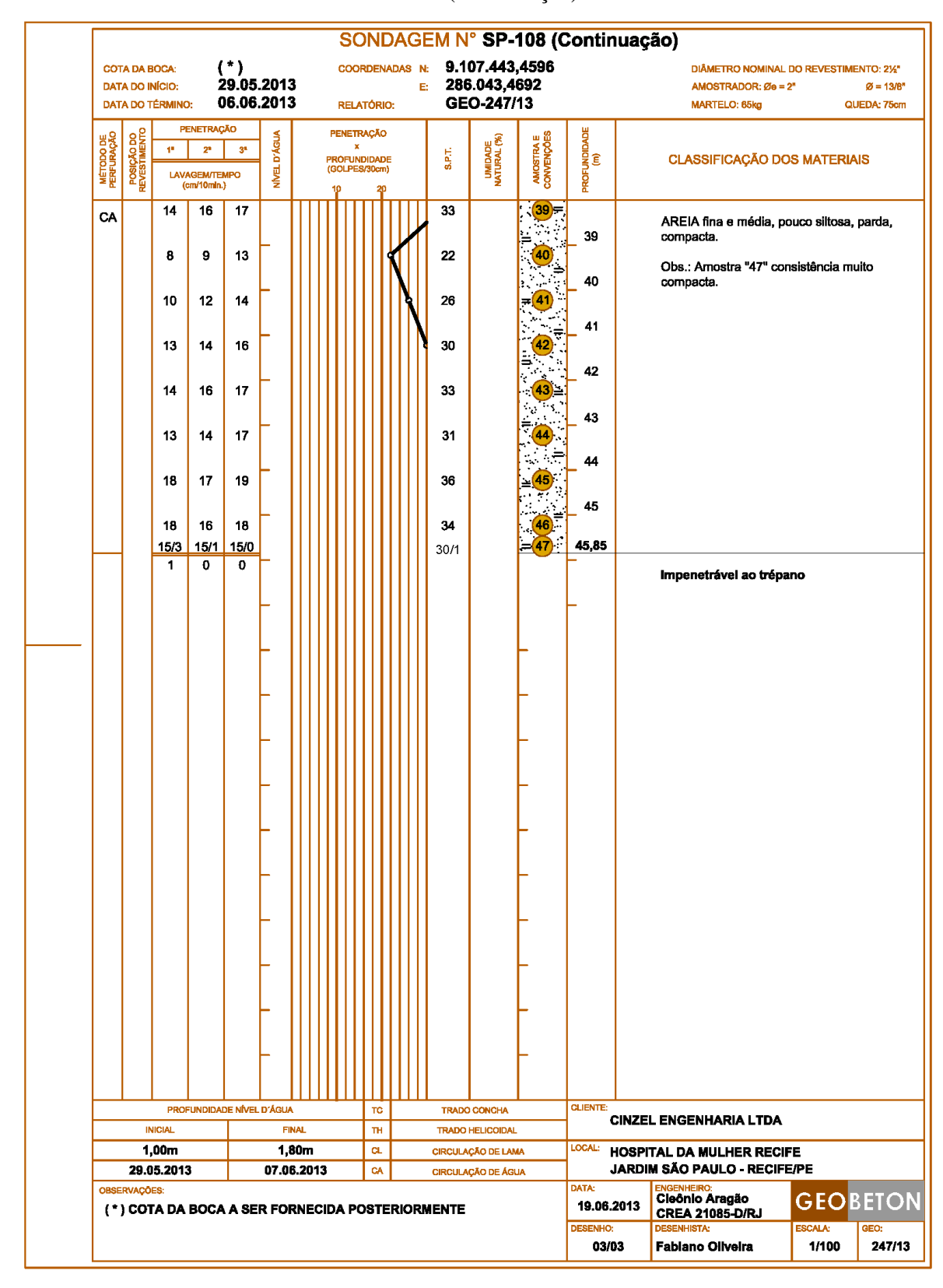
SP-108



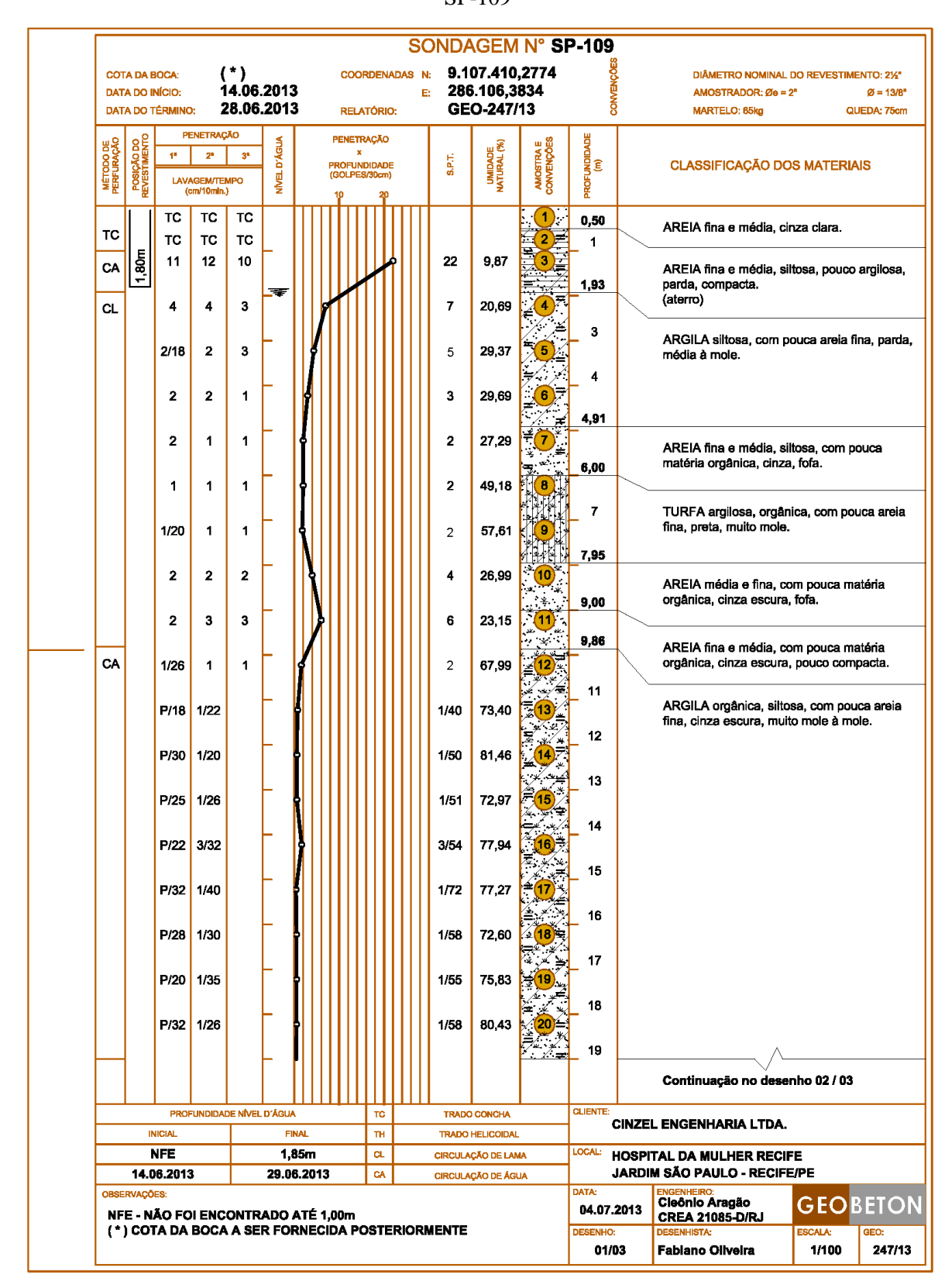
SP-108 (Continuação)



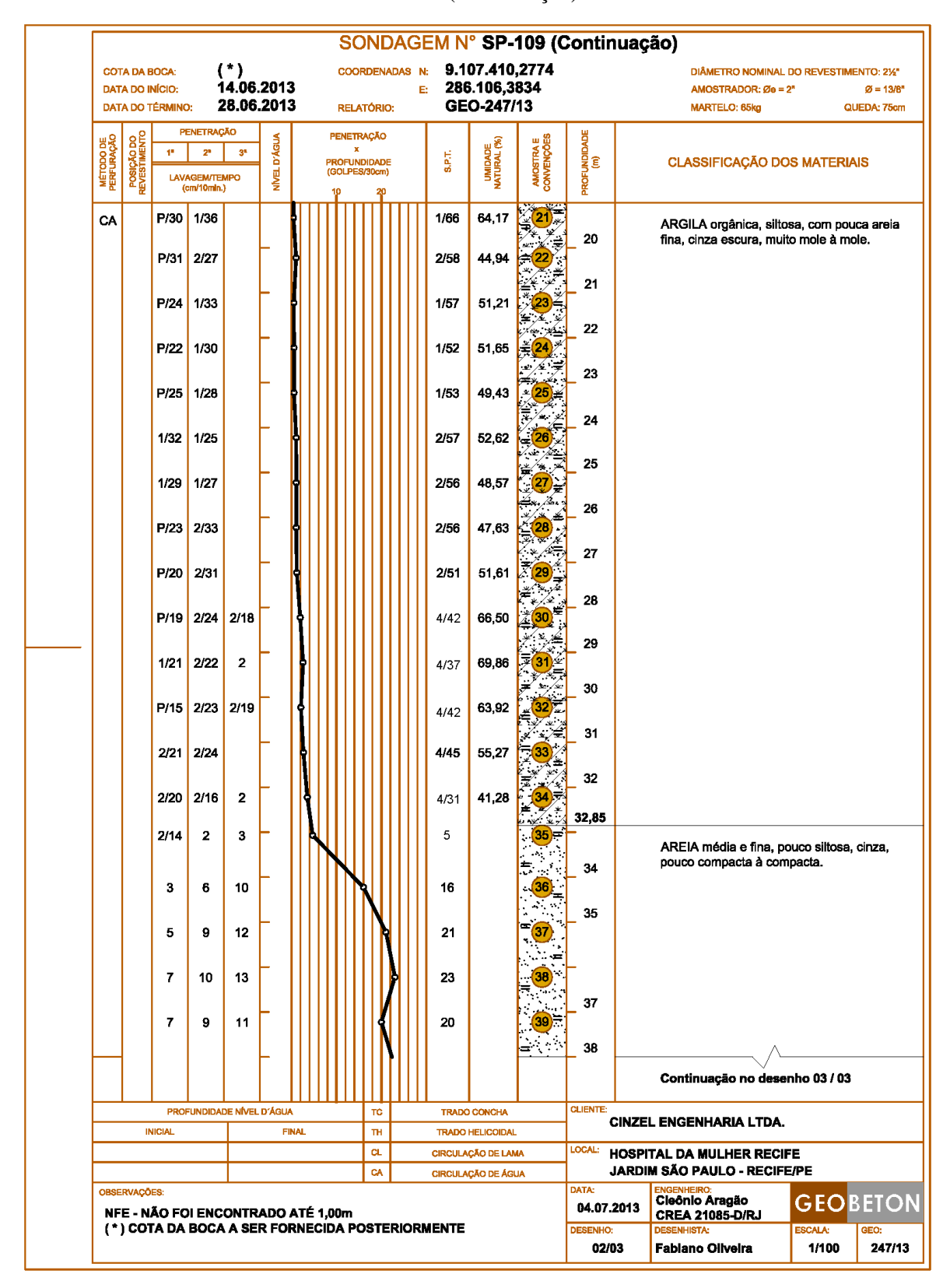
SP-108 (Continuação)



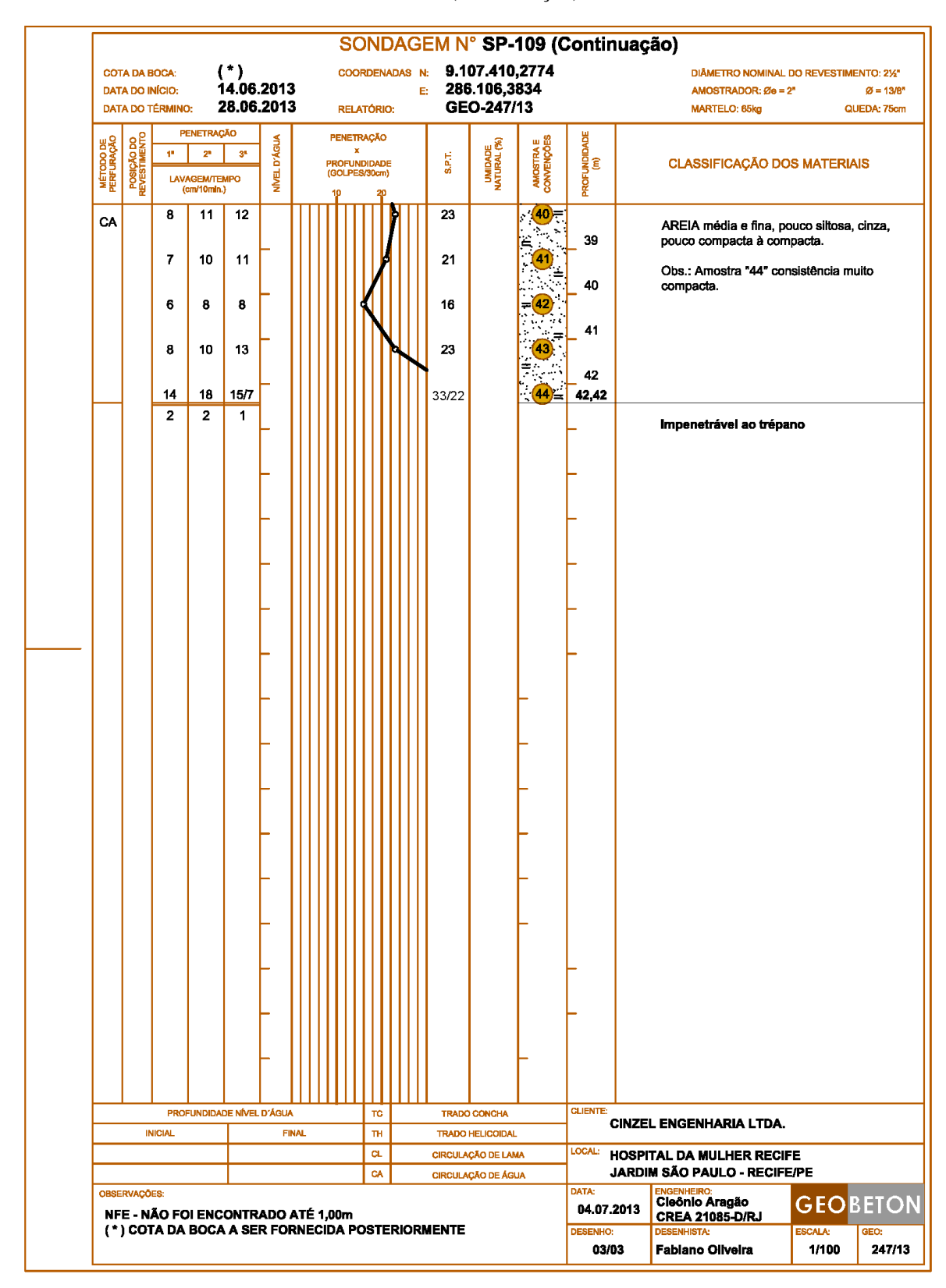
SP-109



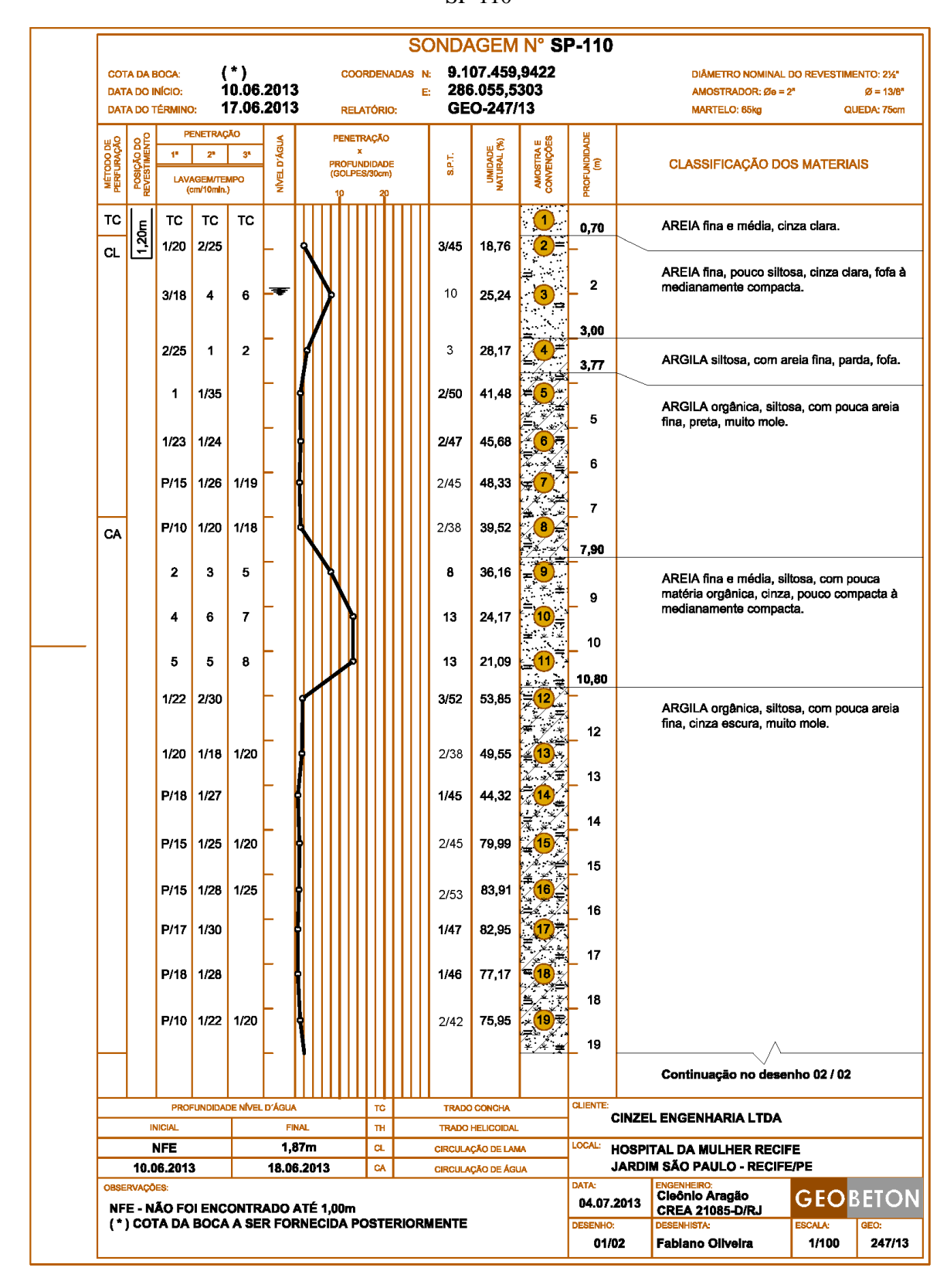
SP-109 (Continuação)



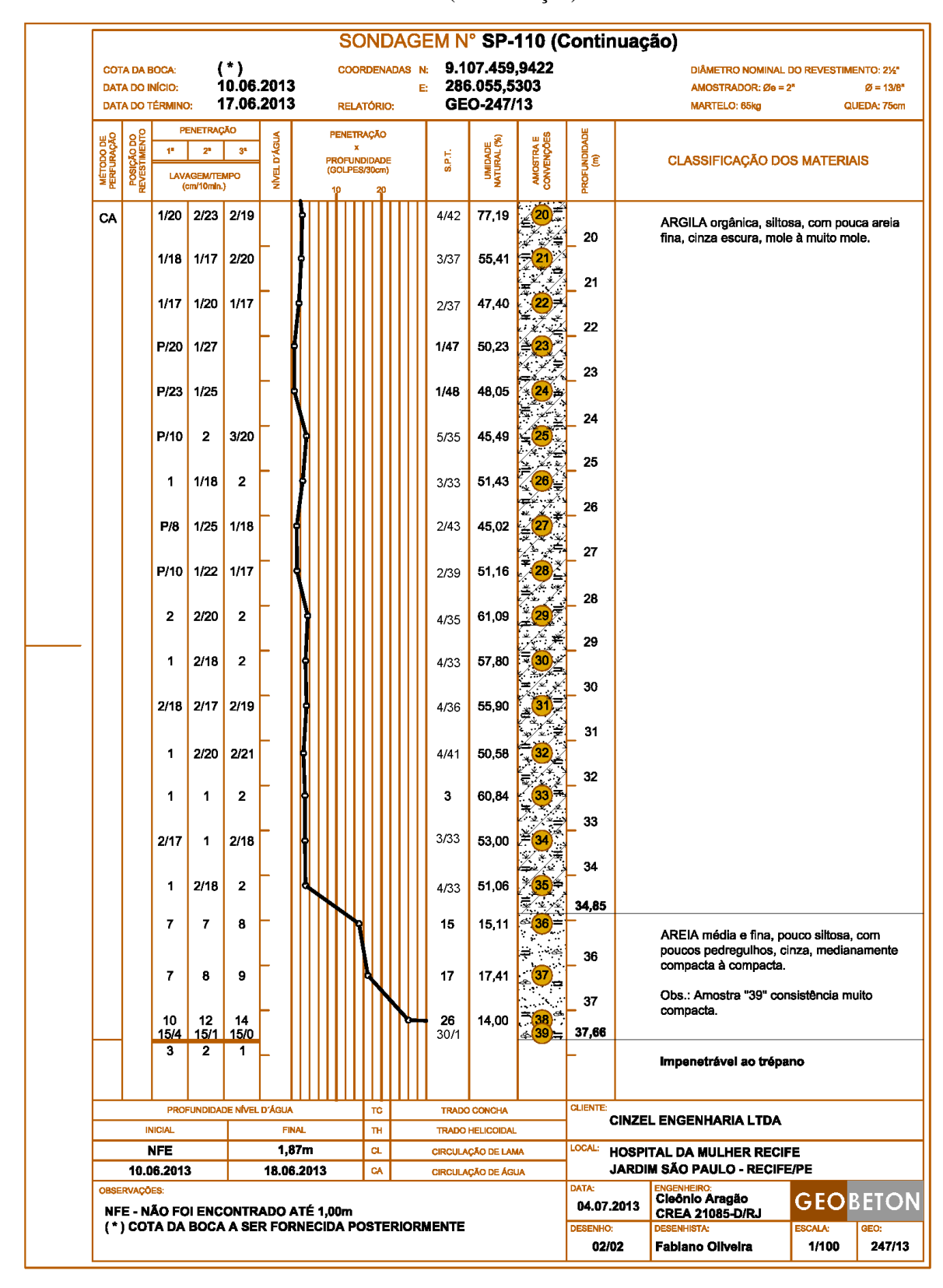
SP-109 (Continuação)



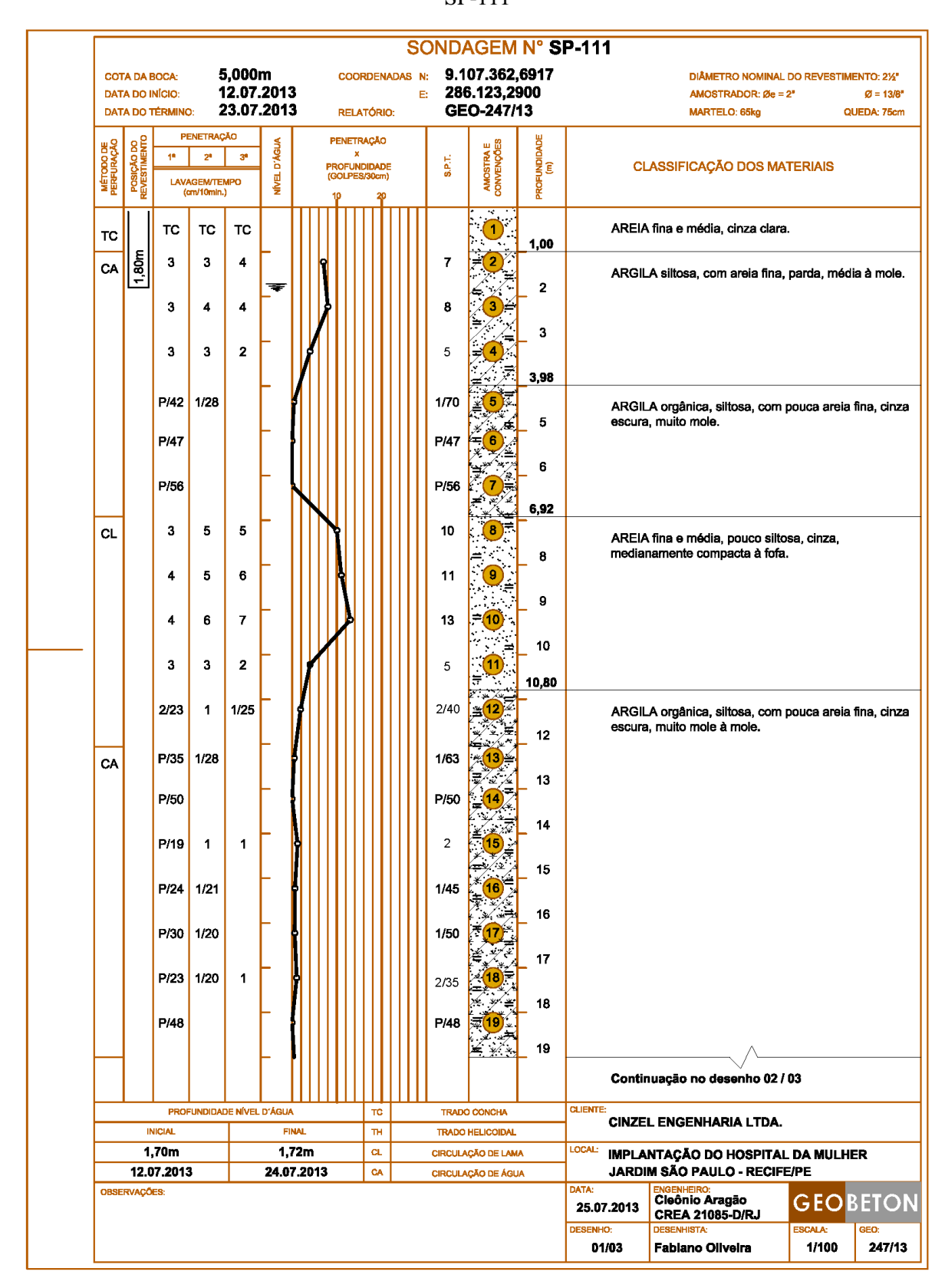
SP-110



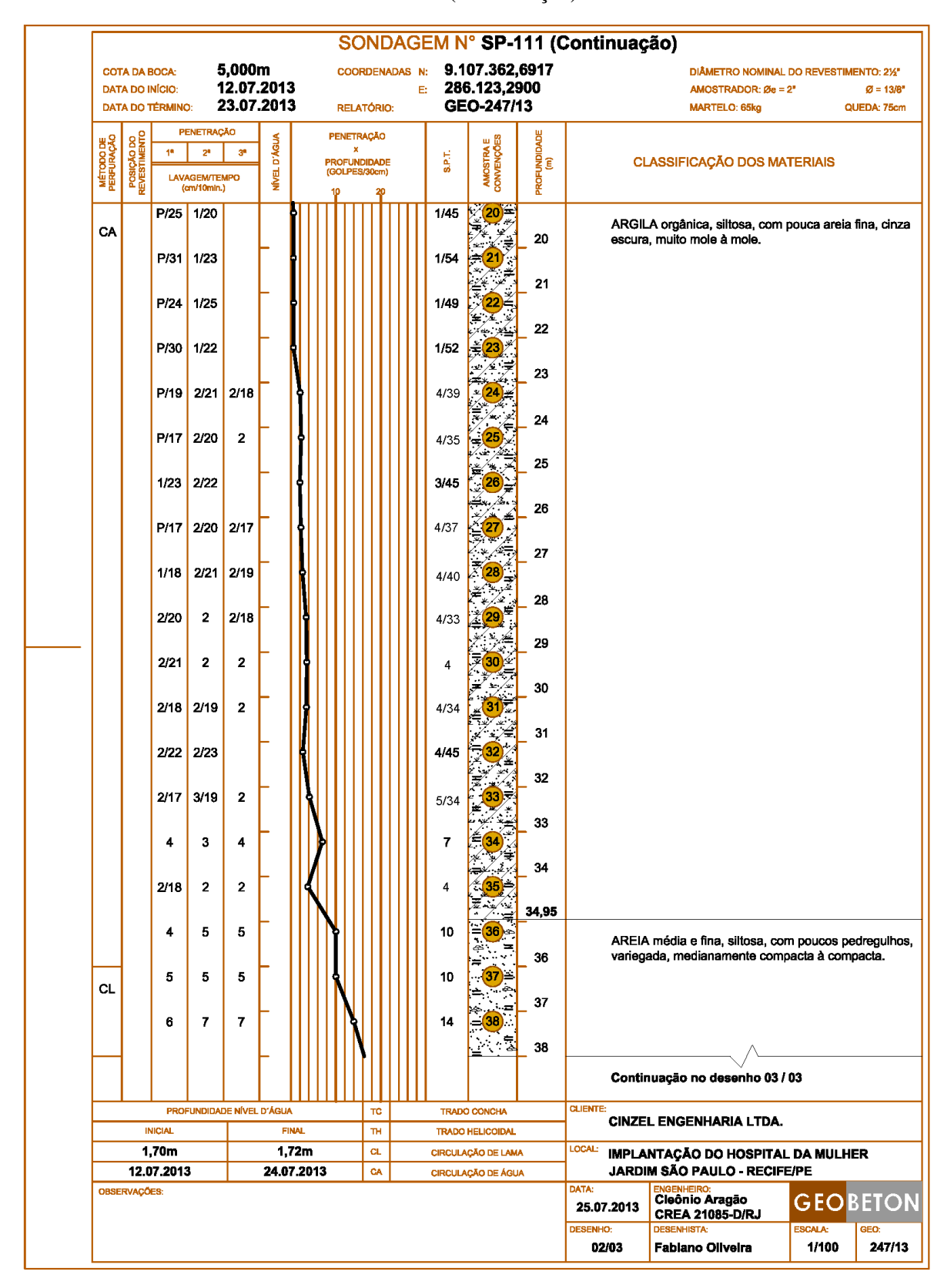
SP-110 (Continuação)



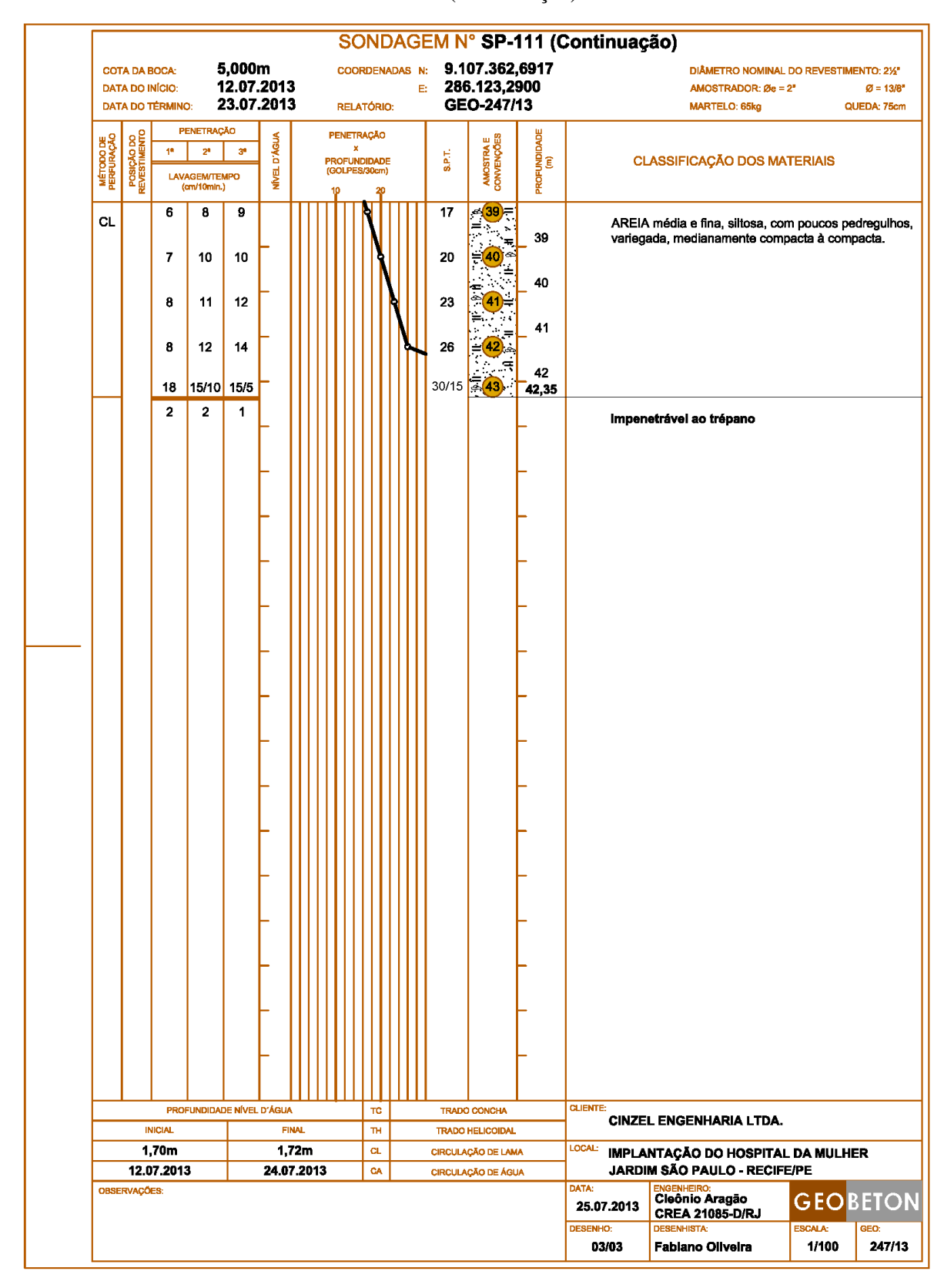
SP-111



SP-111 (Continuação)

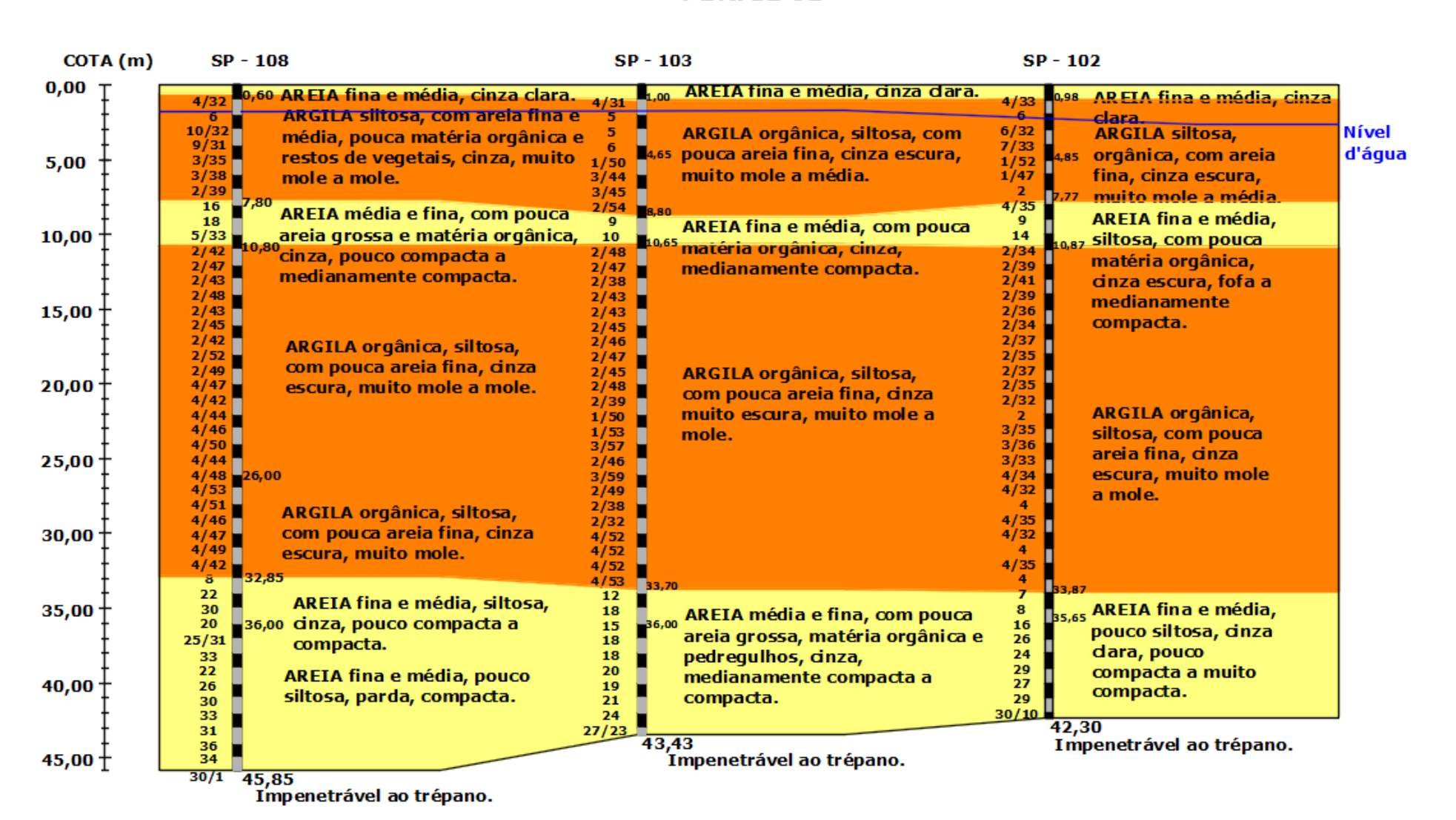


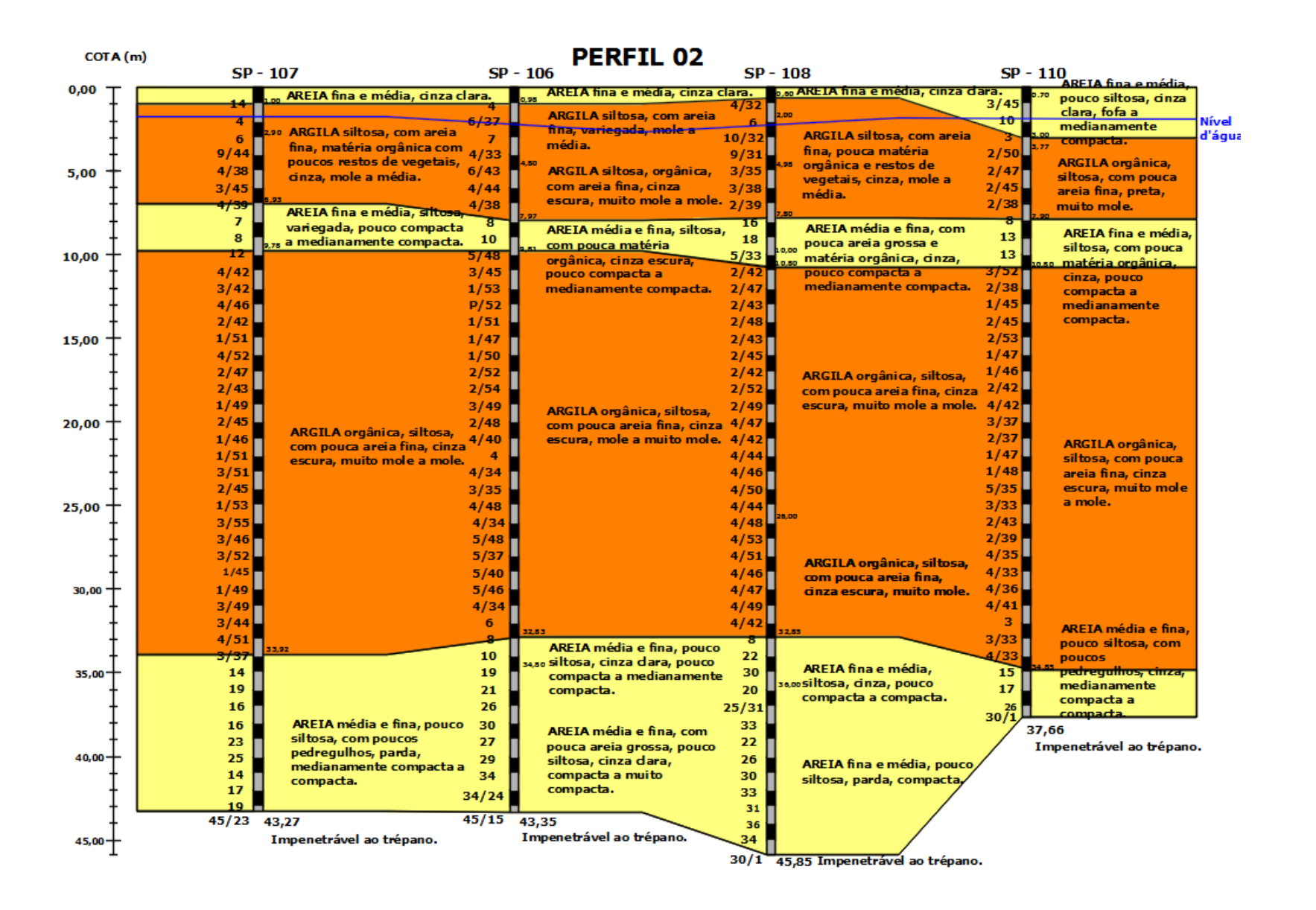
SP-111 (Continuação)

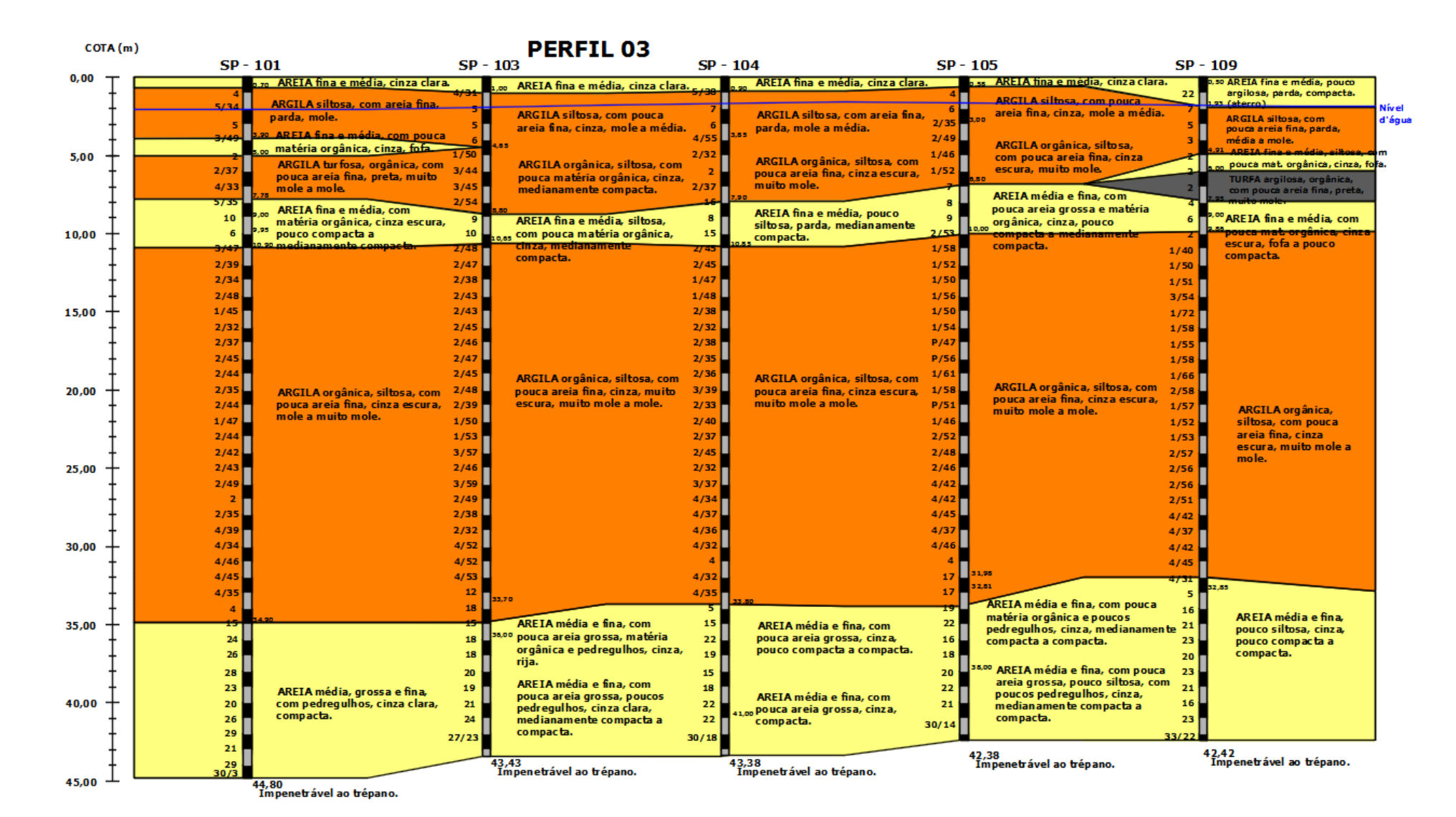


APÊNDICE B – PERFIS GROTÉCNICOS

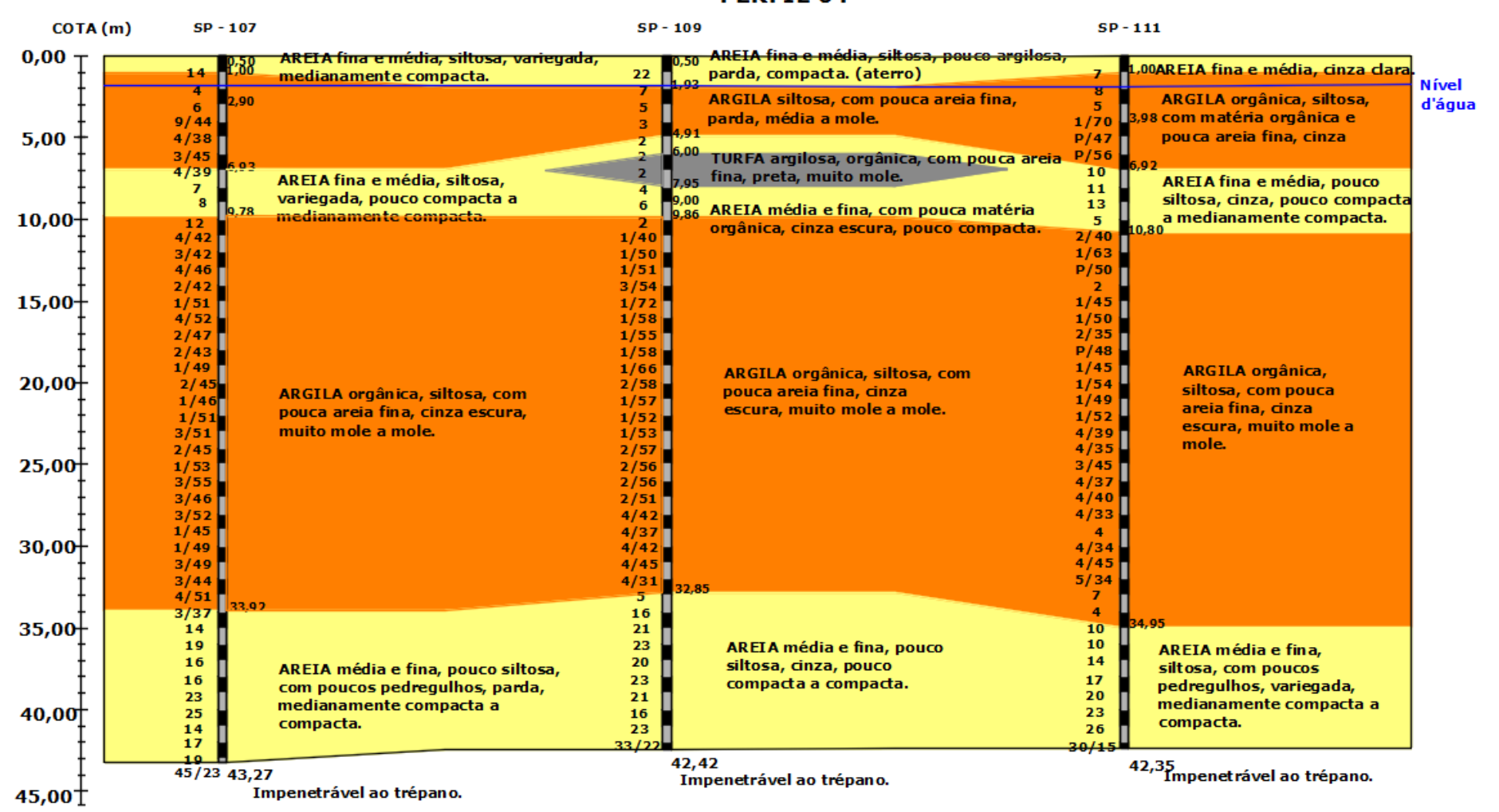
PERFIL 01

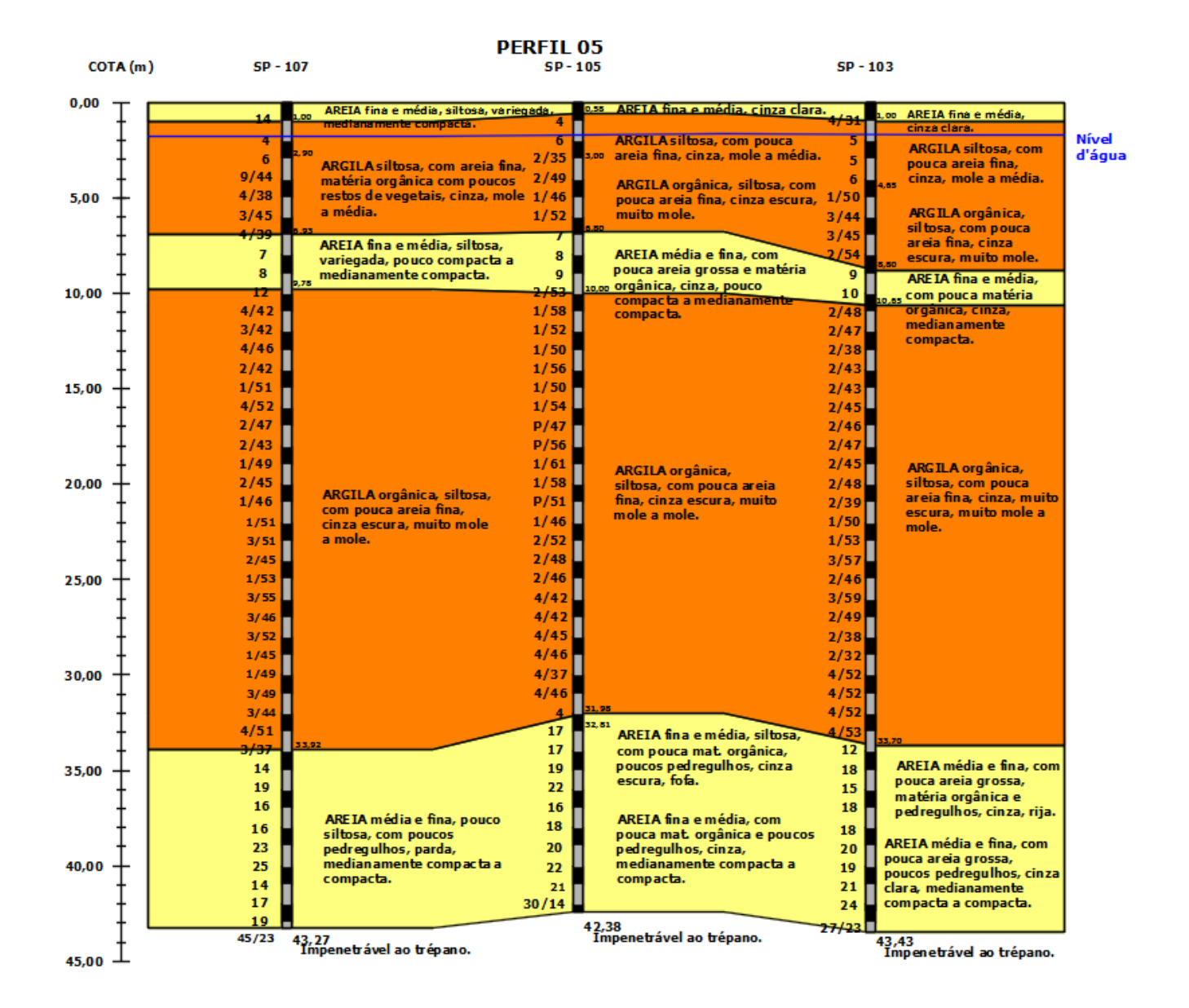


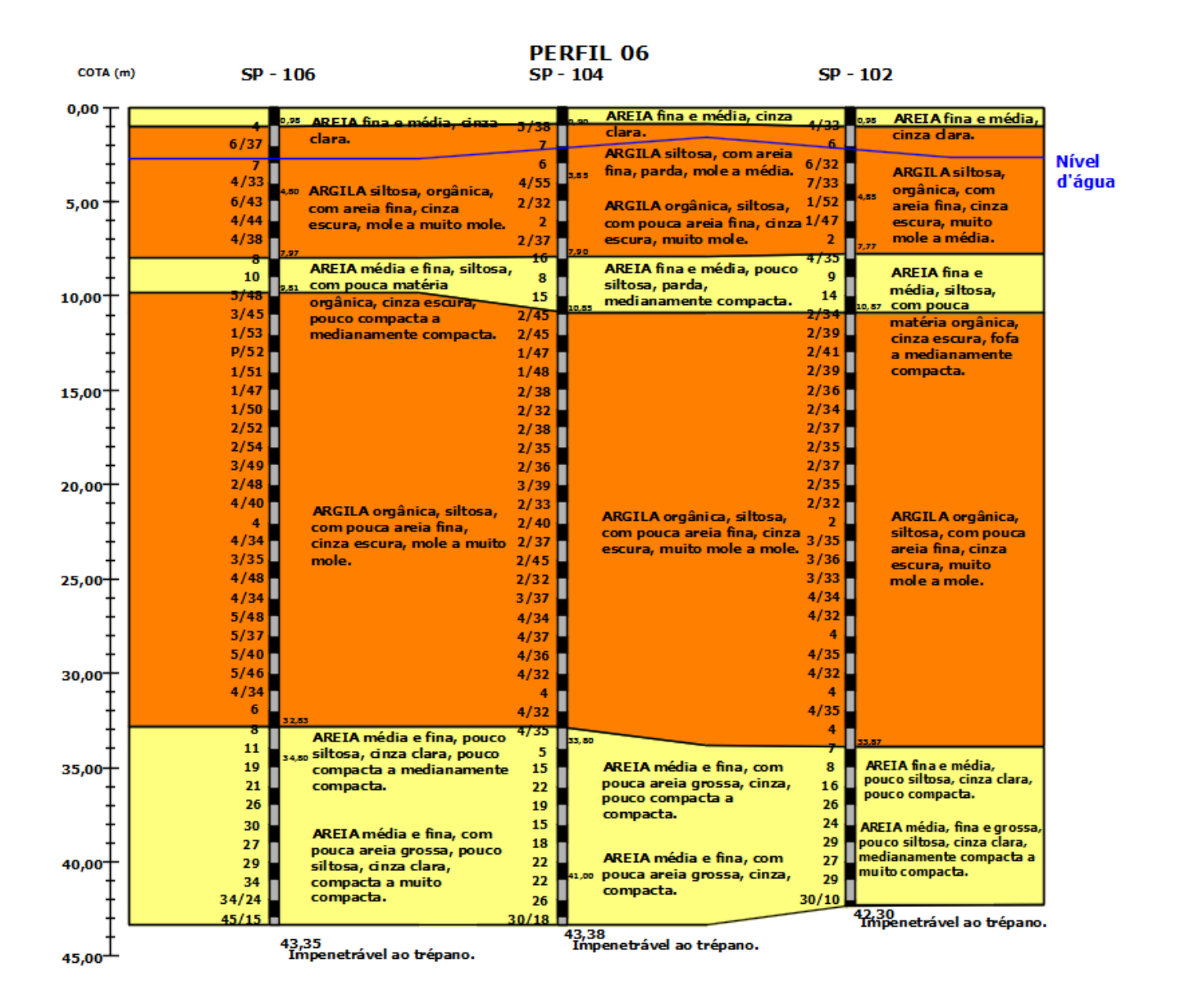




PERFIL 04

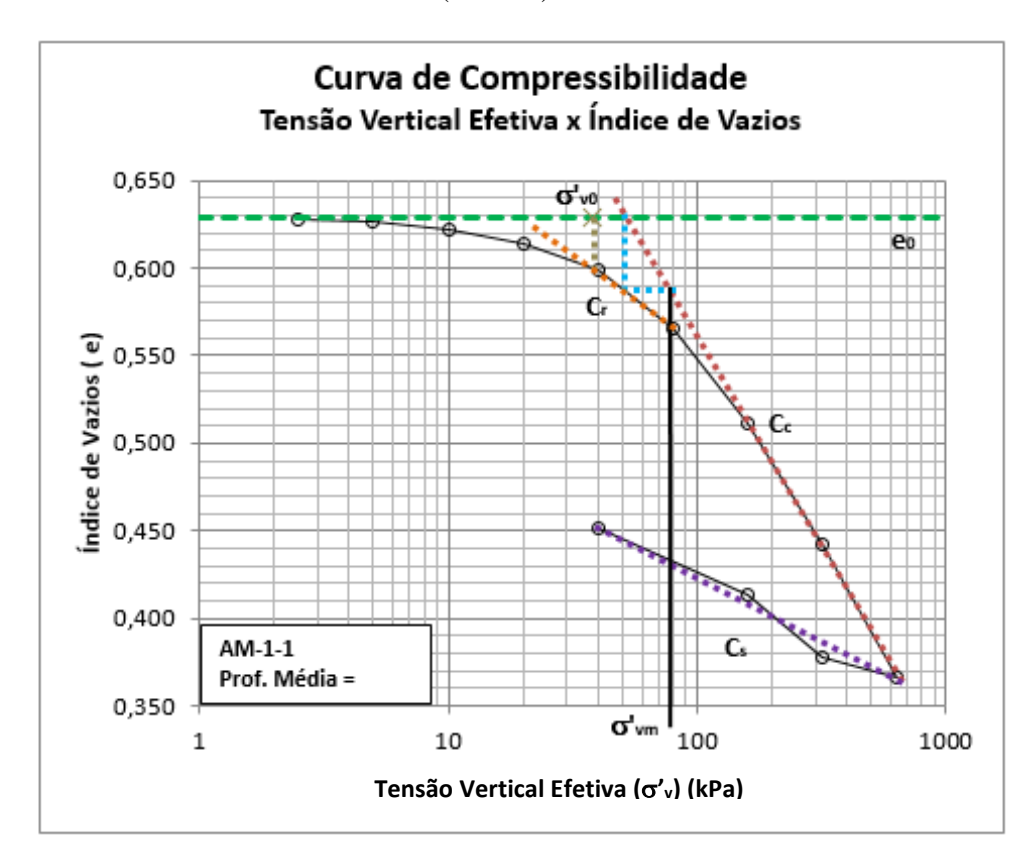






APÊNDICE C – CURVAS DE COMPRESSIBILIDADE SEM CORREÇÃO

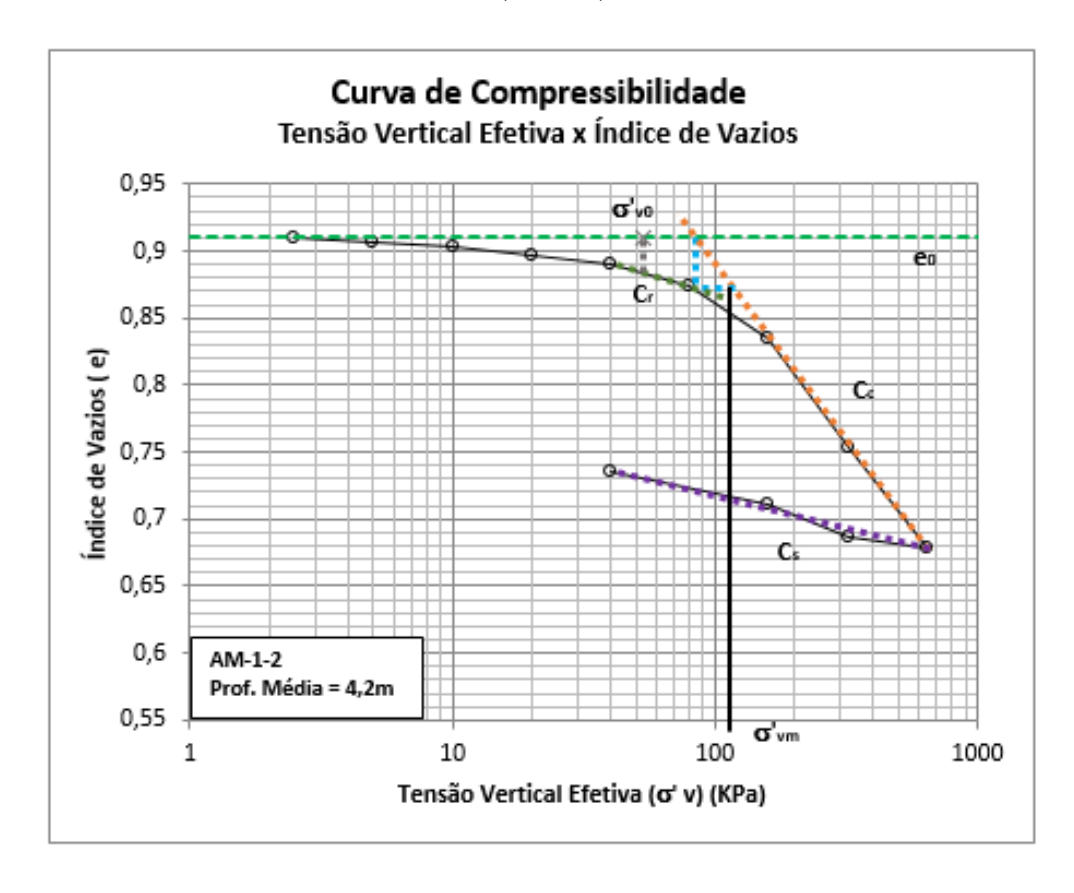
Curva de compressibilidade e determinação dos parâmetros (C_r , C_c , C_s e σ'_{vm}) da amostra AM-1-1. (ILHA 1)



Amostra AM-1-1	
Profundidade Média:	2,2
e ₀ :	0,629
e _{ơ'vo:}	0,600
σ' _{v0} :	38,2
C _{c1} :	0,23
C _r :	0,11
C _s :	0,070
σ' _{vm} :	80
OCR:	2,1

Qualidade	
ε _{σ'ν0} (%):	1,80
Δ e/e ₀ :	0,050
	Muito boa a
Coutinho (Δ e/e ₀):	Excelente
Lunne ($\Delta e/e_0$): Boa a regular	
Lunne ($\epsilon_{\sigma vo}$):	Muito boa a
	Excelente

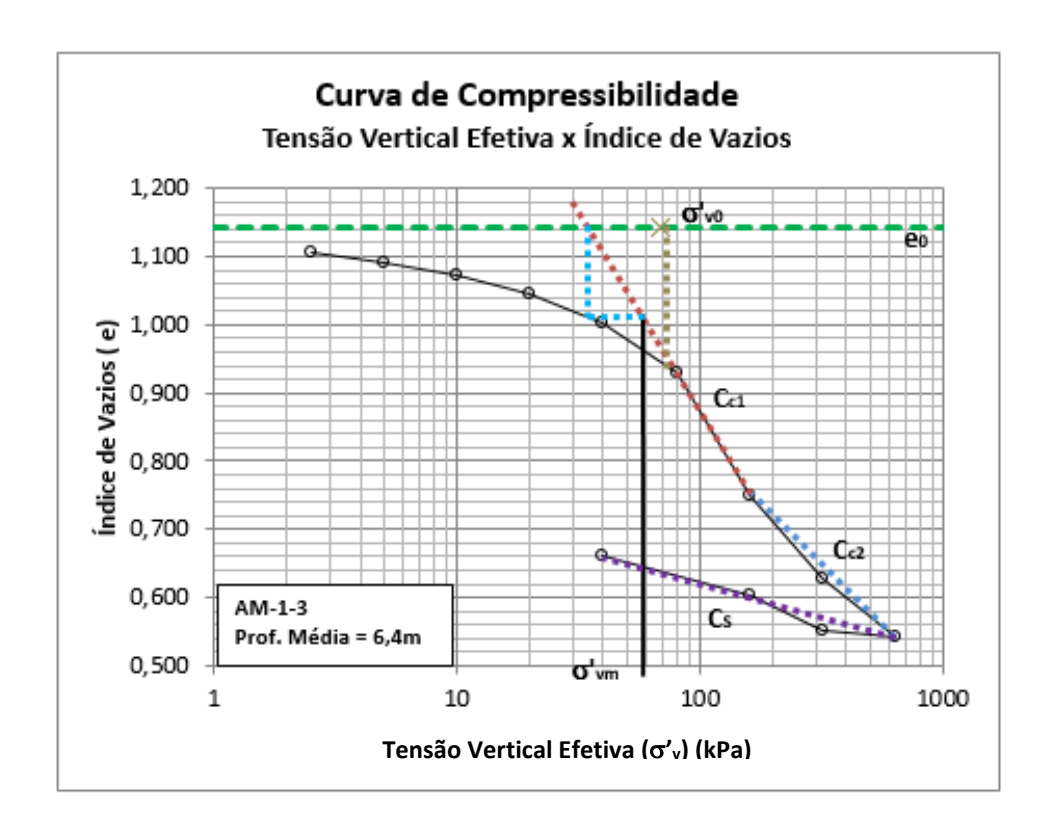
Curva de compressibilidade e determinação dos parâmetros (Cr, Cc, Cs e σ' vm) da amostra AM-1-2. (ILHA 1)



Amostra AM-1-2	
Profundidade Média :	4,2
e ₀ :	0,910
e _{o'vo:}	0,882
σ' _{v0} :	53,6
C _{C1} :	0,27
C _r :	0,060
C _s :	0,050
σ' _{vm} :	114
OCR:	2,1

Qualidade	
ε _{σ'ν0} (%):	1,5
Δ e/e $_{0}$:	0,031
	Muito boa a
Coutinho ($\Delta e/e_0$):	Excelente
	Muito boa a
Lunne ($\Delta e/e_0$):	Excelente
Lunne (ε _{σ'νο}):	Muito boa a
	Excelente

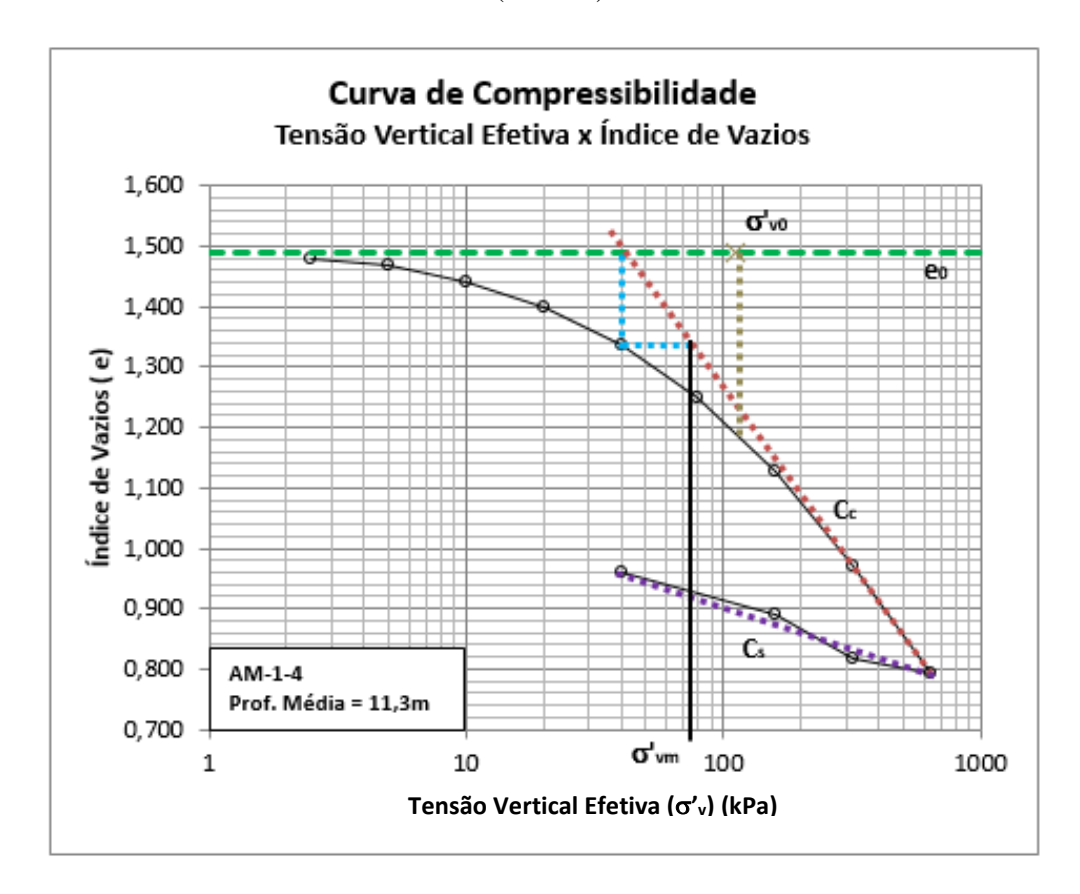
Curva de compressibilidade e determinação dos parâmetros (Cr, Cc, Cs e σ' vm) da amostra AM-1-3. (ILHA 1)



Amostra AM-1-3	
Profundidade Média:	6,4
e ₀ :	1,142
e _{σ'vo:}	0,940
σ' _{v0} :	69,0
C _{C1} :	0,59
C _{C2} :	0,34
C _s :	0,10
σ' _{vm} :	60
OCR:	0,87

Qualidade	
ε _{σ'ν0} (%):	9,4
Δ e/e $_{0}$:	0,18
Coutinho (Δ e/e $_0$): Muito pobre	
Lunne (Δ e/e $_{0}$): Muito pobre	
Lunne (ε _{σ\0}): Pobre/N	luito
poore	

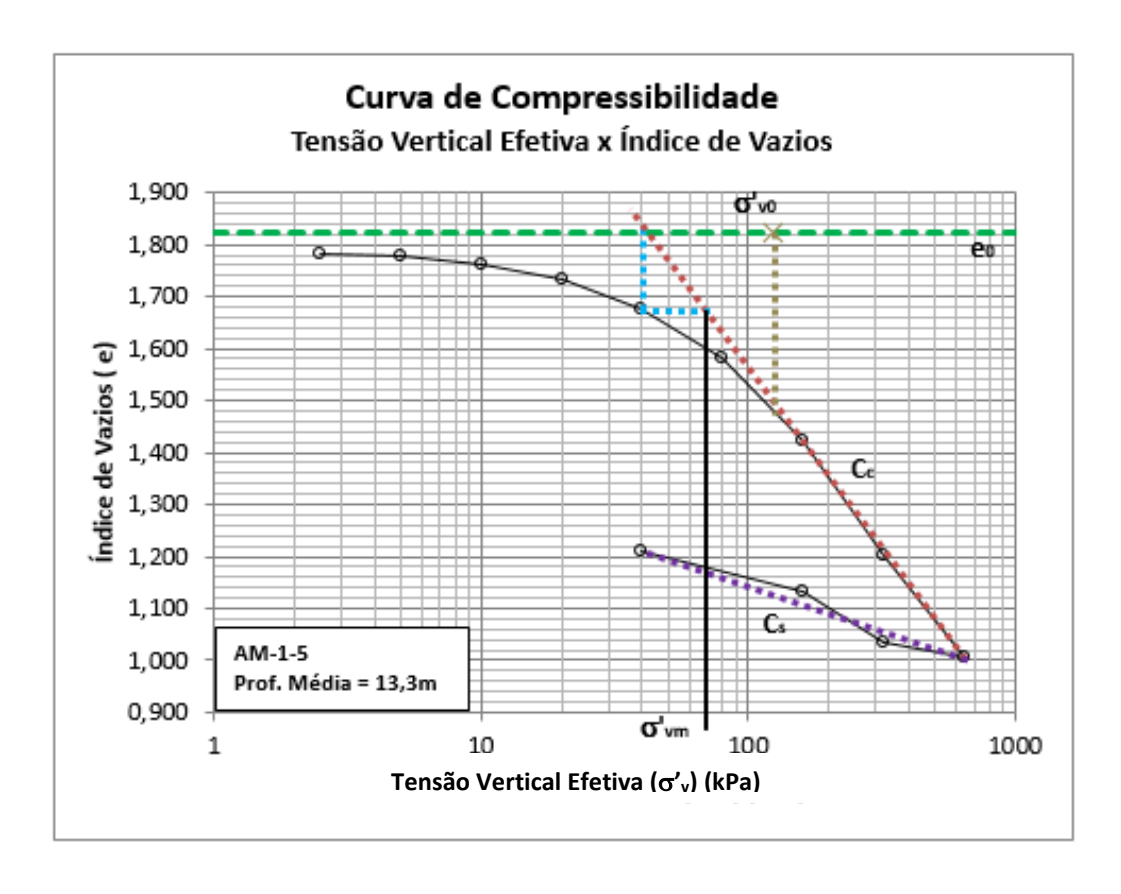
Curva de compressibilidade e determinação dos parâmetros (Cr, Cc, Cs e σ' vm) da amostra AM-1-4. (ILHA 1)



Amostra AM-1-4	
Profundidade:	11,3
e ₀ :	1,488
e _{o'vo:}	1,148
σ' _{v0} :	111,9
C _{C1} :	0,52
C _s :	0,14
σ' _{vm} :	75
OCR:	0,67

Qualidade	
ε _{σ'ν0} (%):	13,7
Δ e/e $_{0}$:	0,23
Coutinho (Δ e/e $_0$): Muito pobre	
Lunne (Δ e/e $_0$): Muito pobre	
Lunne (ε _{σνο}): Pobre/	Muito
pobre	

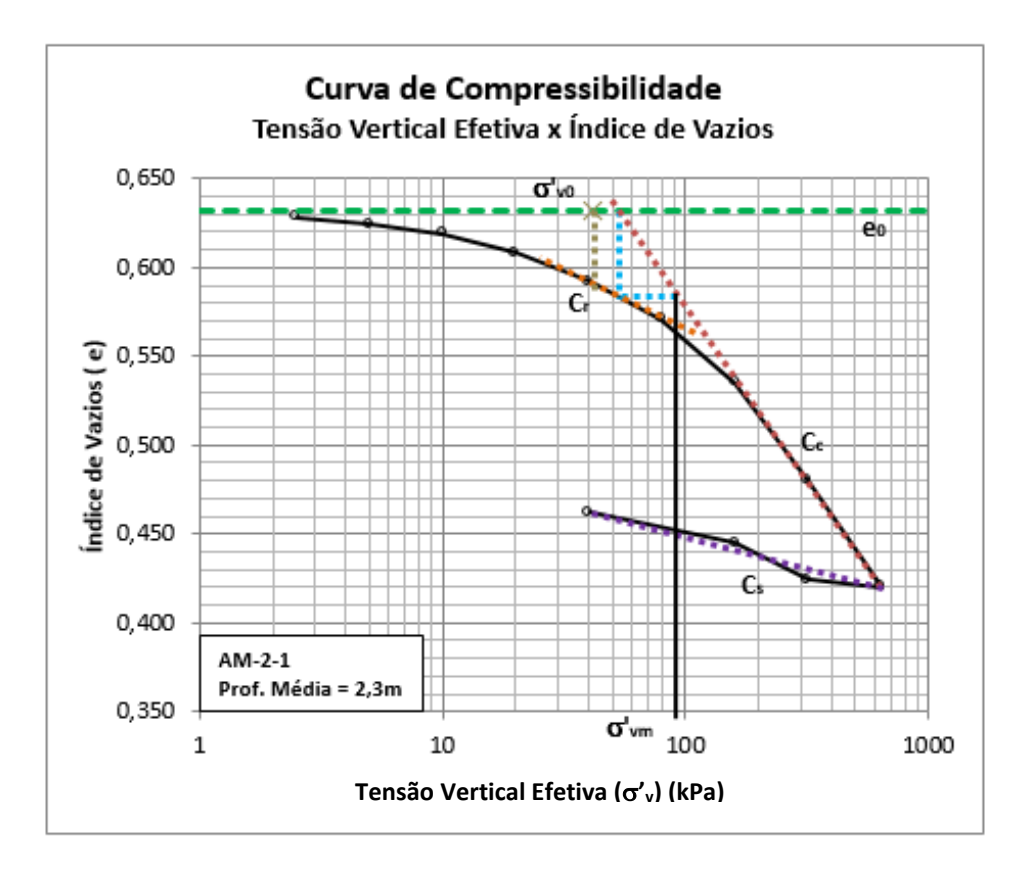
Curva de compressibilidade e determinação dos parâmetros (Cr, Cc, Cs e σ' vm) da amostra AM-1-5. (ILHA 1)



Amostra AM-1-5	
Profundidade:	13,3
e ₀ :	1,825
e _{G'vo:}	1,294
σ' _{v0} :	123,00
C _{C1} :	0,73
C _s :	0,17
σ' _{vm} :	70
OCR:	0,57

Qualidade	
ε _{σ'ν0} (%):	18,8
Δ e/e $_{0}$:	0,29
Coutinho (Δ e/e ₀): Muito pobre	
Lunne ($\Delta e/e_0$): Muito pobre	
Lunne (ε _{σνο}):	Pobre/Muito
	pobre

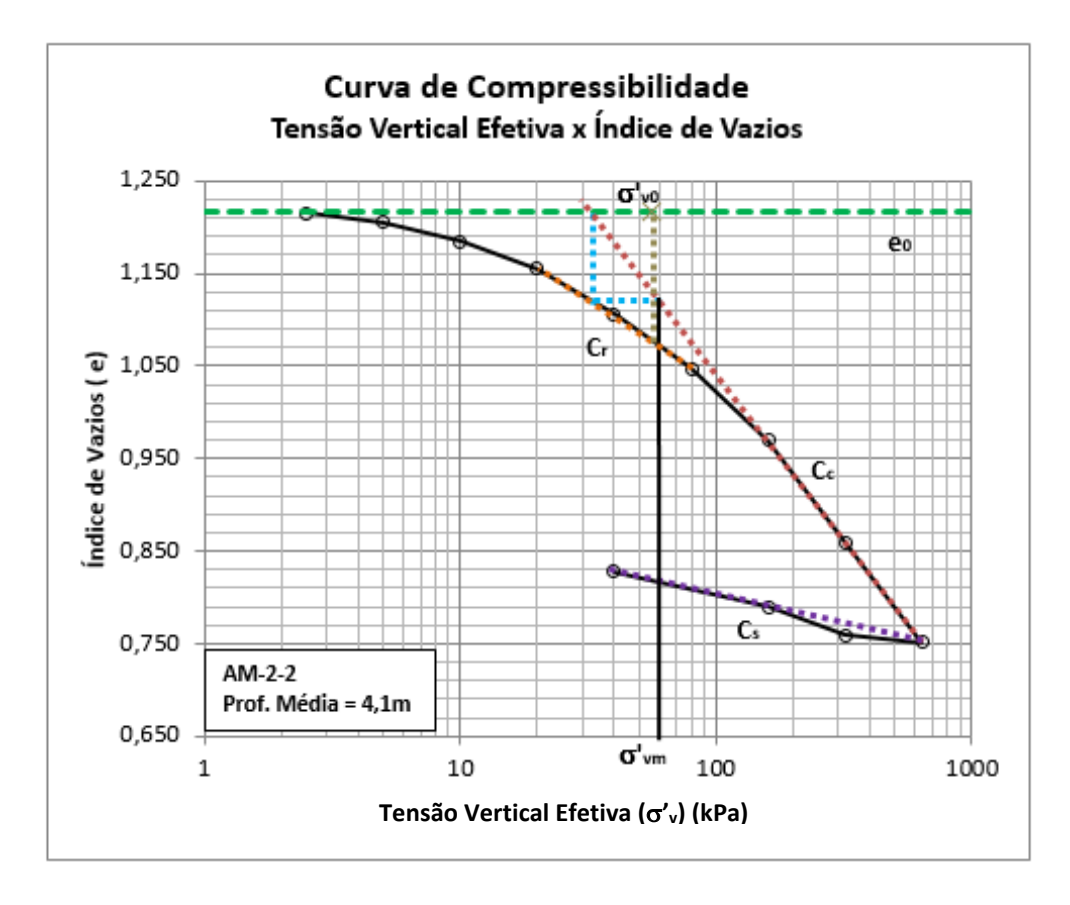
Curva de compressibilidade e determinação dos parâmetros (Cr, Cc, Cs e σ' vm) da amostra AM-2-1. (ILHA 1)



Amostra AM-2-1	
Profundidade Média:	2,3
e ₀ :	0,632
e _{oʻvo:}	0,590
σ' _{v0} :	41,7
C _{C1} :	0,18
C _r :	0,070
C _s :	0,040
σ' _{vm} :	90
OCR:	2,2

Qualidade	
ε _{σ'ν0} (%):	2,50
Δ e/e $_{0}$:	0,070
Coutinho (∆e/e₀): Boa a regular	
Lunne (∆e/e₀): Pobre	
Lunne (ε _{σνο}):	Muito boa a
	excelente

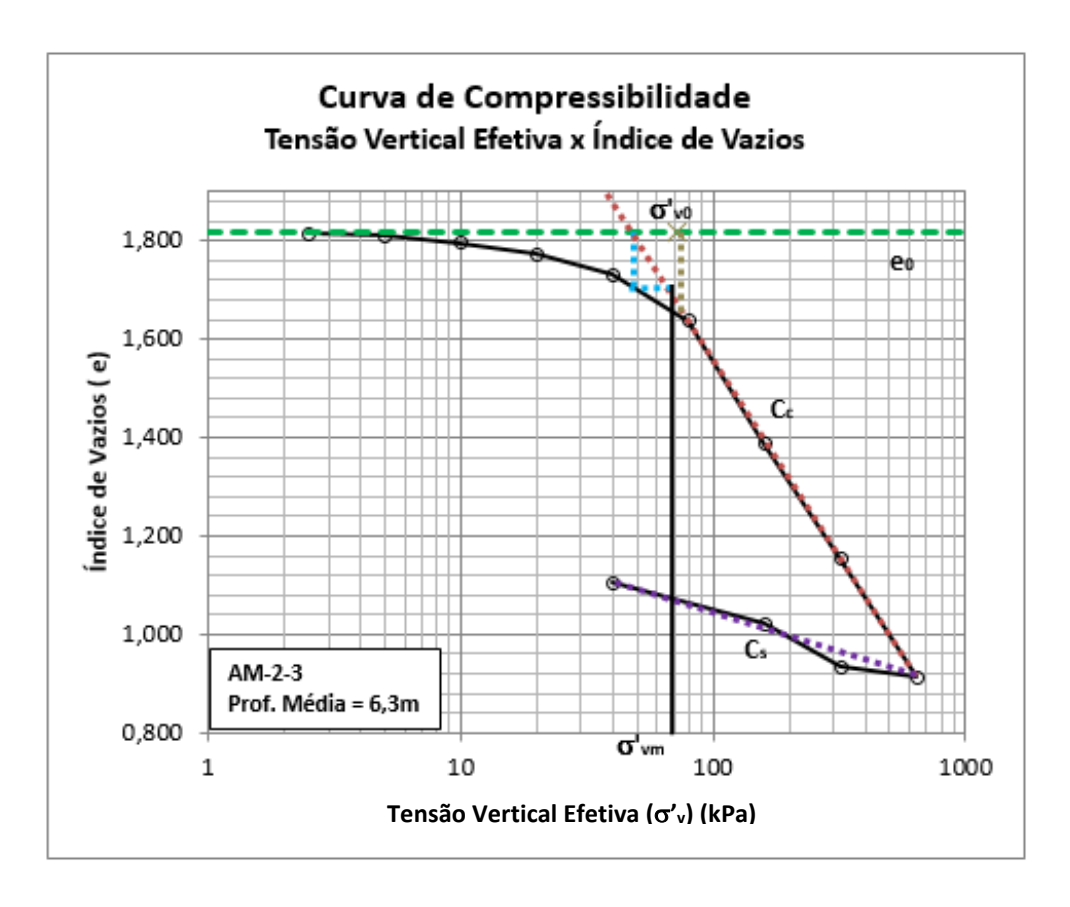
Curva de compressibilidade e determinação dos parâmetros (Cr, Cc, Cs e σ' vm) da amostra AM-2-2. (ILHA 2)



Amostra AM-2-2	
Profundidade Média:	4,1
e ₀ :	1,216
e _{oʻvo:}	1,083
σ' _{v0} :	55,7
C _{C1} :	0,37
C _r :	0,24
C _s :	0,070
σ' _{vm} :	60
OCR:	1,1

Qualidade		
ε _{σ'ν0} (%):	6,30	
Δ e/e $_{0}$:	0,11	
Coutinho (Δ e/e $_0$): Pobre		
Lunne (∆e/e₀): Pobre		
Lunne (ε _{σ\0}): Boa a regular		

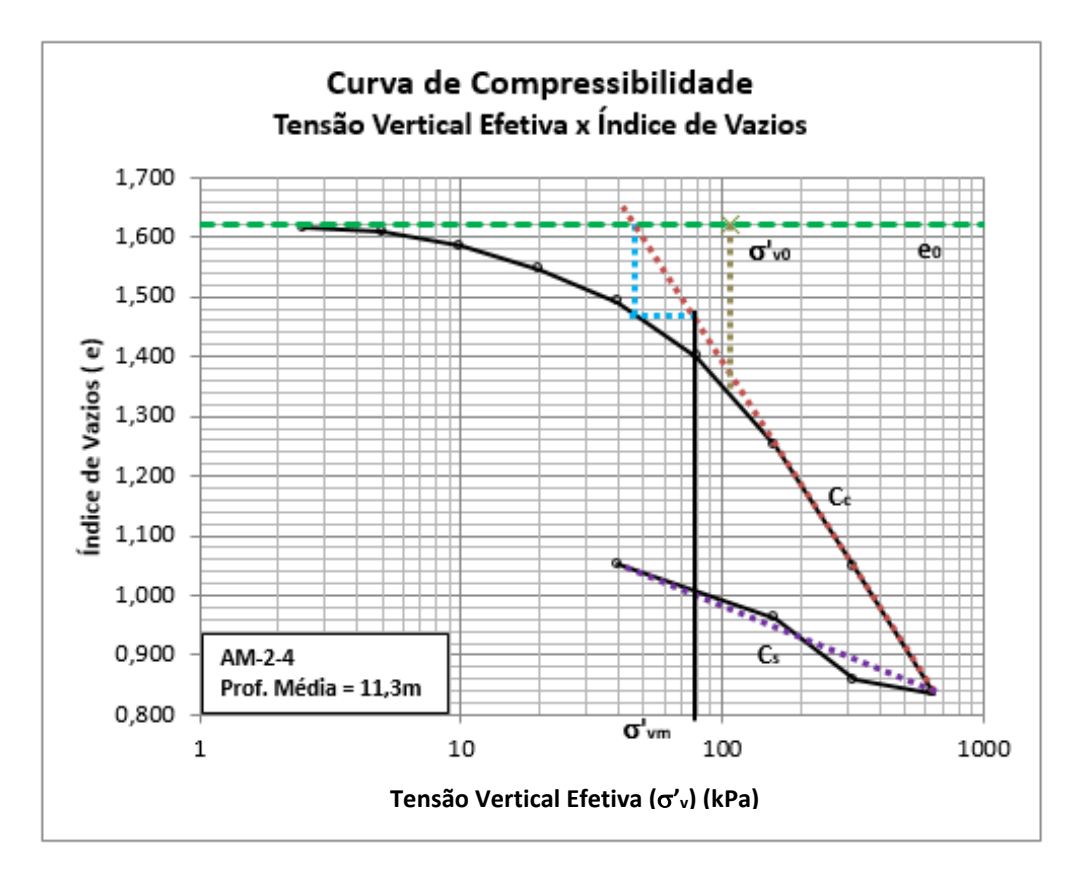
Curva de compressibilidade e determinação dos parâmetros (Cr, Cc, Cs e σ' vm) da amostra AM-2-3. (ILHA 2)



Amostra AM-2-3	
Profundidade:	6,3
e ₀ :	1,819
e _{o'vo:}	1,649
σ' _{ν0} :	72,6
C _{C1} :	0,83
C _s :	0,16
σ' _{vm} :	70,00
OCR:	1,0

Qualidade		
ε _{σ'ν0} (%):	5,90	
Δ e/e $_{0}$:	0,090	
Coutinho (Δ e/e ₀): Pobre		
Lunne (Δ e/e ₀): Pobre		
Lunne (ε _{σνο}): Boa a regular		

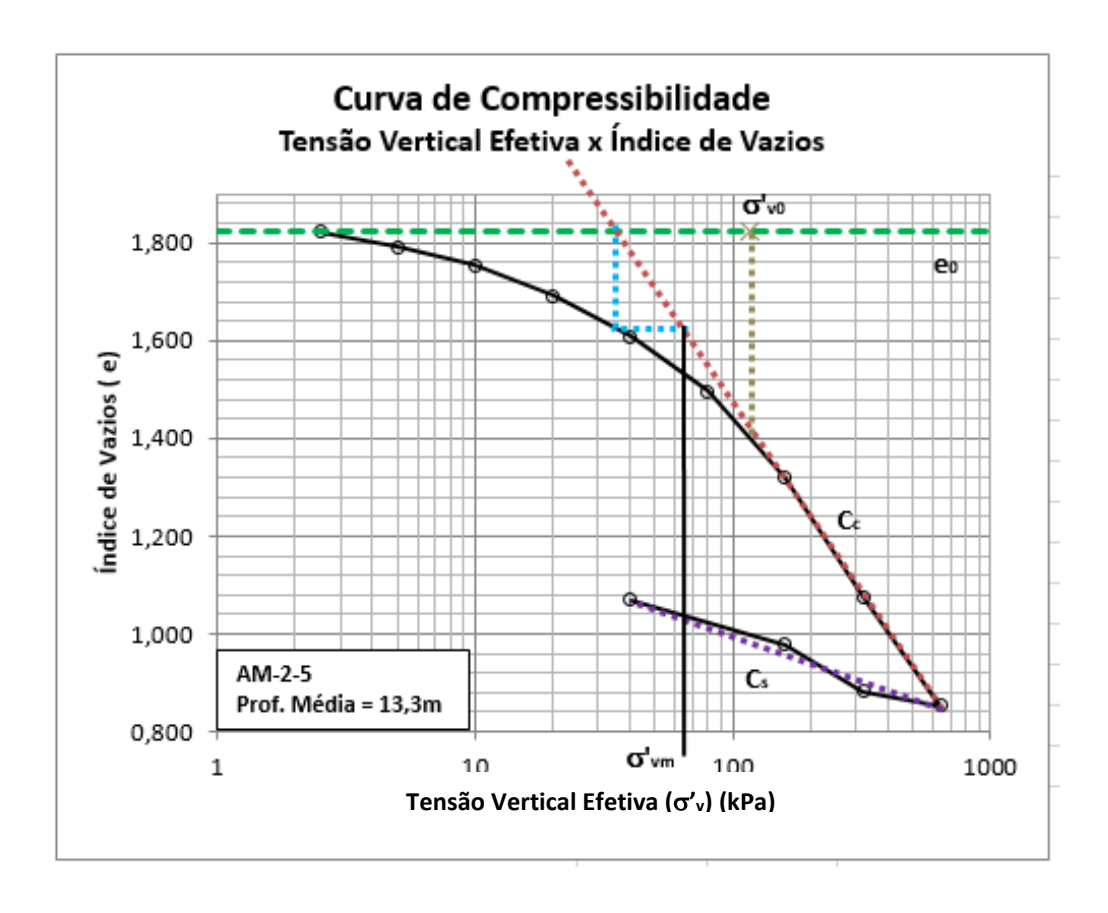
Curva de compressibilidade e determinação dos parâmetros (Cr, Cc, Cs e σ' vm) da amostra AM-2-4. (ILHA 2)



Amostra AM-2-4	
Profundidade Média:	11,3
e ₀ :	1,621
e _{σ'vo:}	1,253
σ' _{v0} :	106,2
C _c :	0,68
C _s :	0,18
σ' _{vm} :	80
OCR:	0,75

Qualidade	
ε _{σ'ν0} (%):	14,0
Δ e/e $_{0}$:	0,23
Coutinho ($\Delta e/e_0$): Muito pobre	
Lunne ($\Delta e/e_0$): Muito pobre	
Lunne (ε _{σνο}): Pobre/	/Muito
pobre	

Curva de compressibilidade e determinação dos parâmetros (Cr, Cc, Cs e σ vm) da amostra AM-2-5. (ILHA 2)

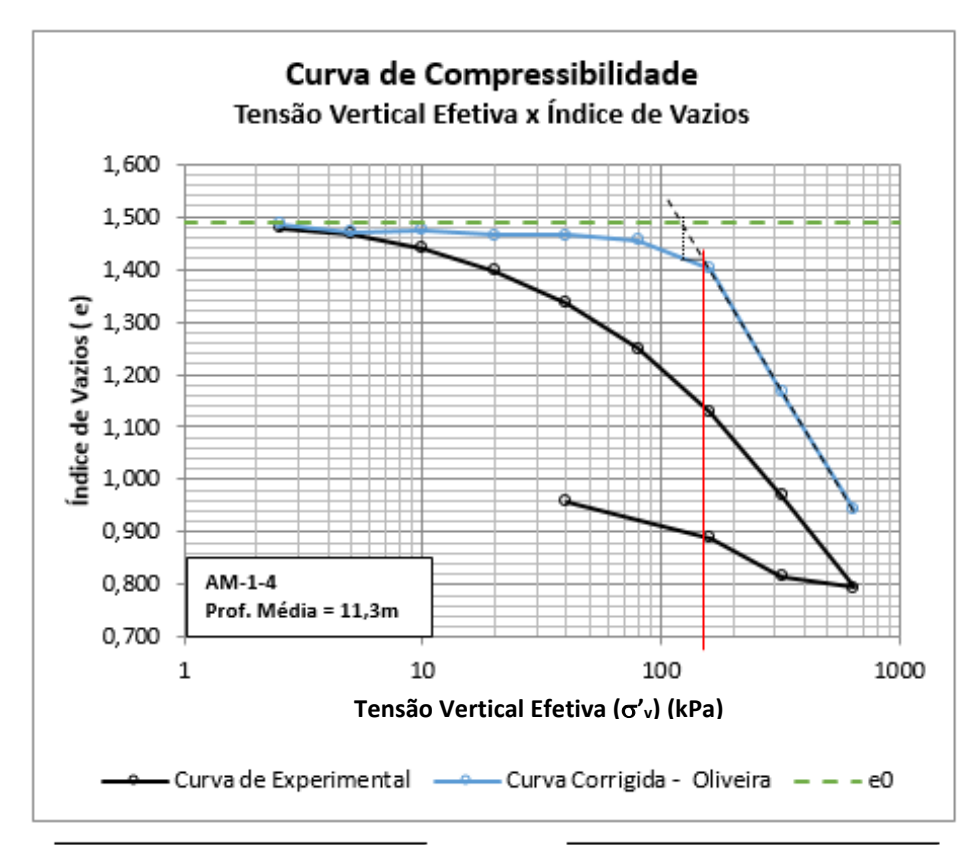


Amostra AM-2-5	
Profundidade Média:	13,3
e ₀ :	1,823
e _{σ'vo:}	1,132
σ' _{v0} :	117,2
C _{C1} :	0,81
C _s :	0,18
σ' _{vm} :	65,00
OCR:	0,55

Qualidade	
ε _{σ'ν0} (%):	24,5
Δ e/e $_{0}$:	0,38
Coutinho ($\Delta e/e_0$): Muito pobre	
Lunne (∆e/e₀): N	/luito pobre
Lutille (Calant.	obre/Muito obre

APÊNDICE D – CURVAS DE COMPRESSIBILIDADE CORRIGIDAS POR OLIVEIRA (2002)

Correção da curva de compressibilidade (OLIVEIRA, 2002), amostra AM-1-4, Ilha 1

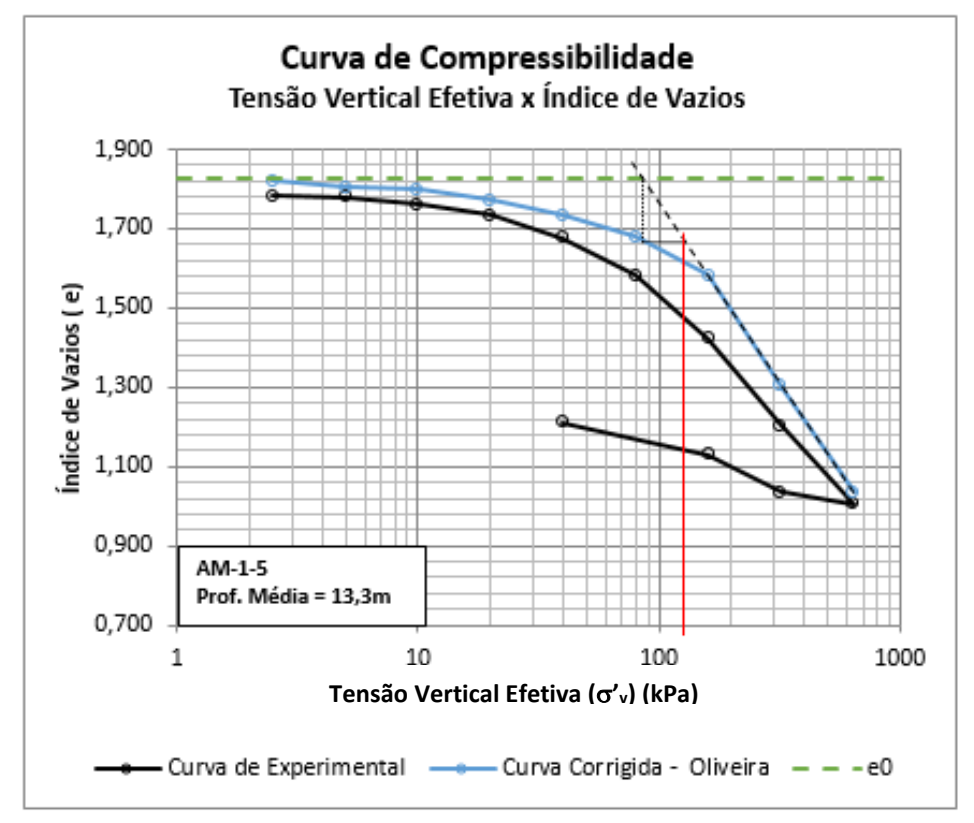


CORREÇÃO OLIVEIRA	AM-1-4
Profundidade:	11,3
e ₀ :	1,488
σ' _{v0} :	111,9
C _{c1} :	0,76
G'um OLIVEIRA	158
OCR:	1,4

Dados da Curva Experi	mental
C _{c1} :	0,52
G'um EXPERIMENTAL	75
OCR:	0,7

Qualidade	
ε _{σ'νο} (%):	13,70
∆ele₀:	0,23
Coutinho ($\Delta e/e_0$):	Muito pobre
Lunne (∆e/e₀):	Muito pobre
Lunne (s _{c'v0}):	Pobre/Muito pobre

Correção da curva de compressibilidade (OLIVEIRA, 2002), amostra AM-1-5, Ilha 1.

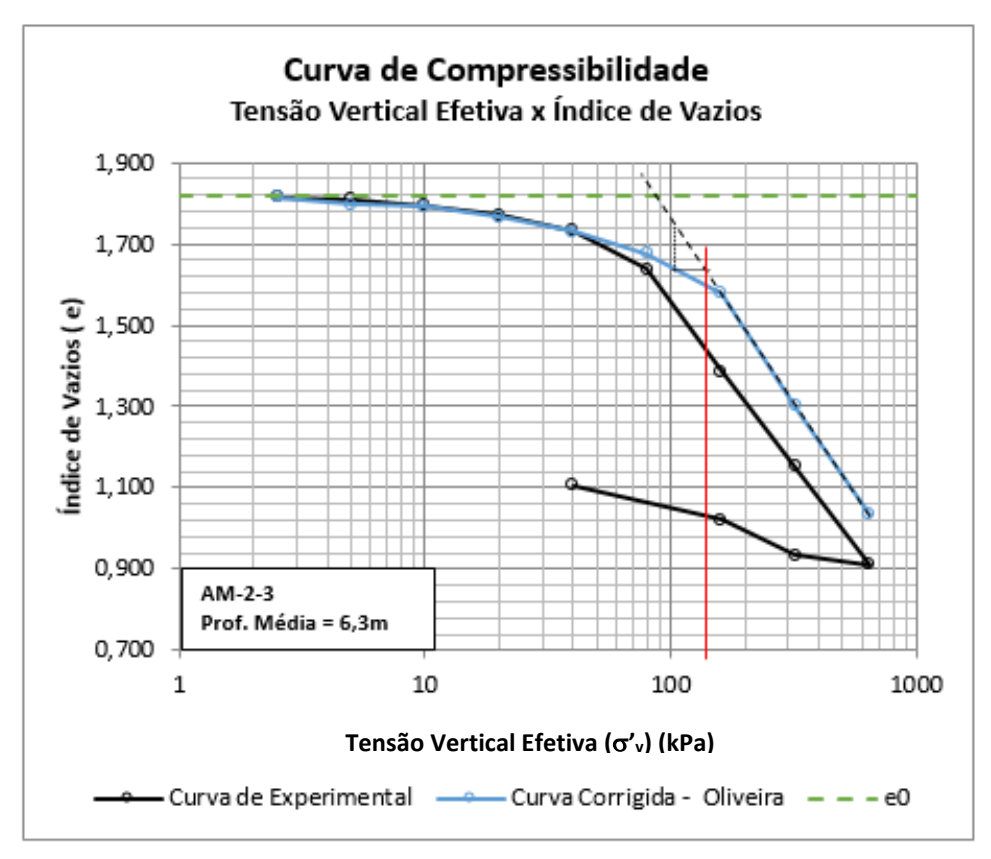


CORREÇÃO OLIVEIRA	AM-1-5
Profundidade Média:	13,3
e ₀ :	1,825
σ' _{v0} :	117,2
C _{c1} :	0,91
σ' _{vm OLIVEIRA} :	134
OCR:	1,1

Dados da Curva Experimental	
C _{c1} :	0,73
G vm EXPERIMENTAL:	70
OCR:	0,6

Qualidade	
ε _{σ'νο} (%):	18,80
∆ele₀:	0,29
Coutinho ($\Delta e/e_0$):	Muito pobre
Lunne (∆e/e₀):	Muito pobre
Lunne (s _{o've}):	Pobre/Muit
Curine (s _{c100}).	o pobre

Correção da curva de compressibilidade (OLIVEIRA, 2002), amostra AM-2-3, Ilha 2.

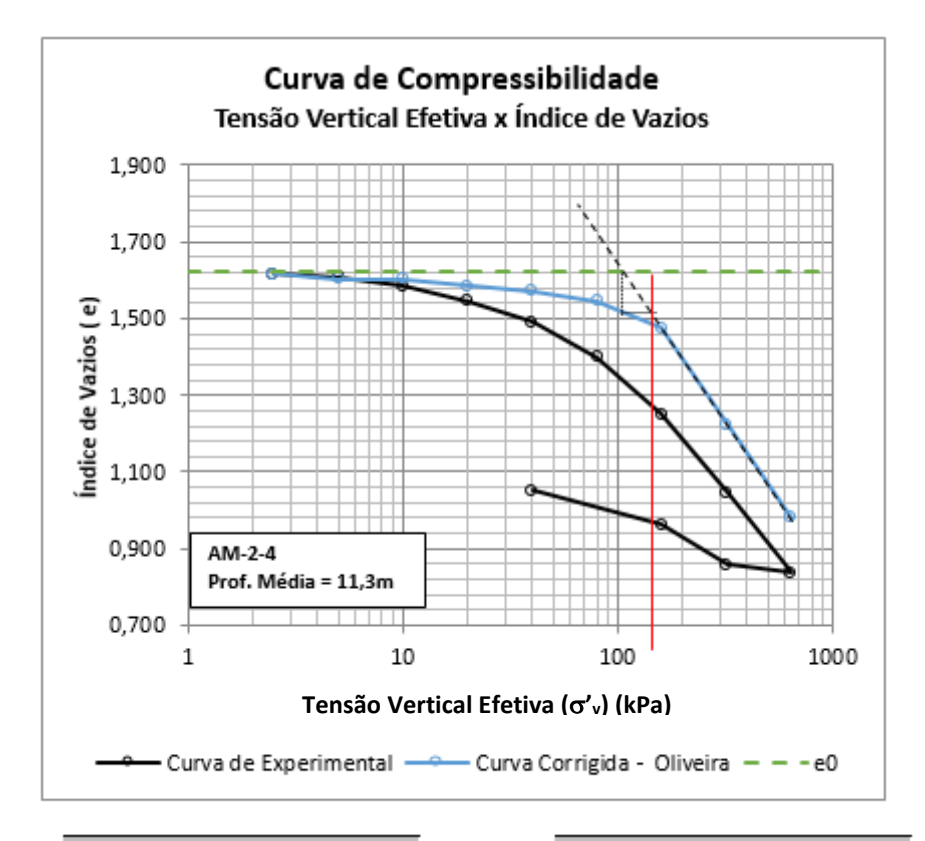


CORREÇÃO OLIVEIRA A	M-2-3
Profundidade Média:	6,3
e ₀ :	1,819
σ' _{ν0} :	72,6
C _{c1} :	0,90
σ' _{vm OLIVEIRA} :	147
OCR:	2,0

ental
0,83
70
1,0

Qualidade	
ε _{σ'νσ} (%):	
∆ele ₀ :	0,09
Coutinho (∆e/e₀):	Pobre
Lunne (∆e/e₀):	Boa a Regula
Lunne (s _{o'v0}):	Boa a Regular

Correção da curva de compressibilidade (OLIVEIRA, 2002), amostra AM-2-4, Ilha 2.

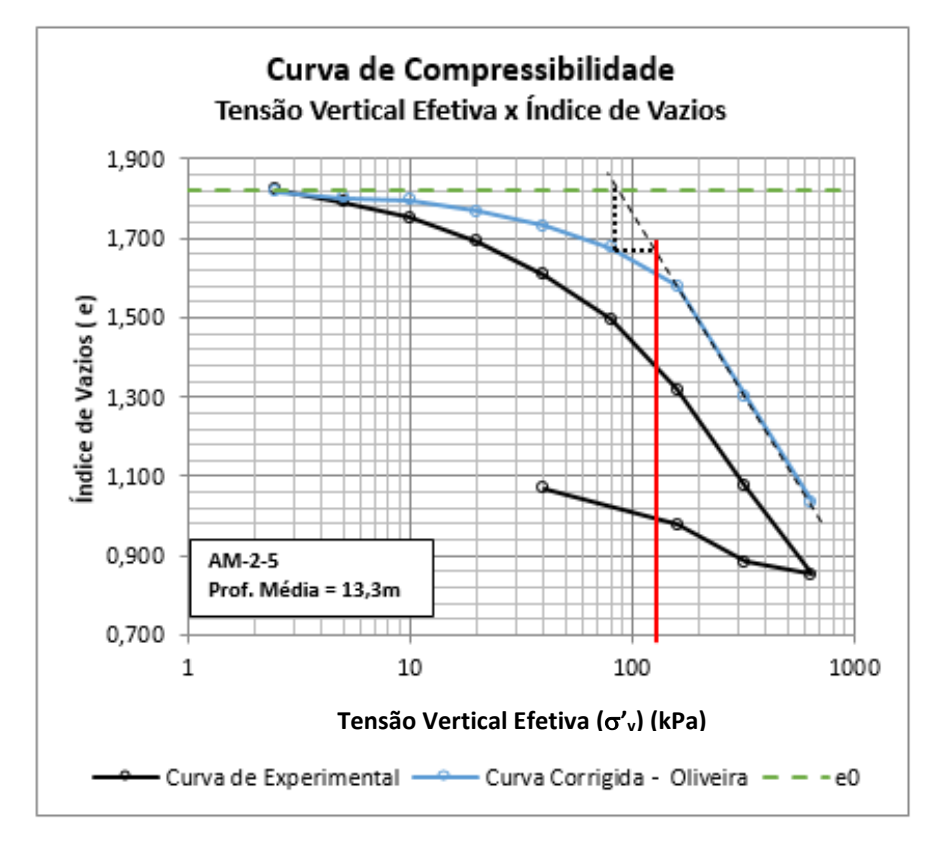


CORREÇÃO OLIVEIRA	AM-2-4
Profundidade:	11,3
e ₀ :	1,621
σ' _{v0} :	106,2
C _{c1} :	0,81
σ' _{vm OLIVEIRA} :	151
OCR:	1,4

Dados da Curva Experi	mental
C _{c1} :	0,68
G om EXPERIMENTAL:	80
OCR:	8,0

Qualidade		
ε _{σ'νο} (%):		
∆ele₀:	0,23	
Coutinho ($\Delta e/e_0$):	Muito pobre	
Lunne (∆e/e₀):	: Muito pobre	
Lunne (s _{a'u0}):	Pobre/Muit	
Lunne (S _{G'v0}):	o pobre	

Correção da curva de compressibilidade (OLIVEIRA, 2002), amostra AM-2-5, Ilha 2.



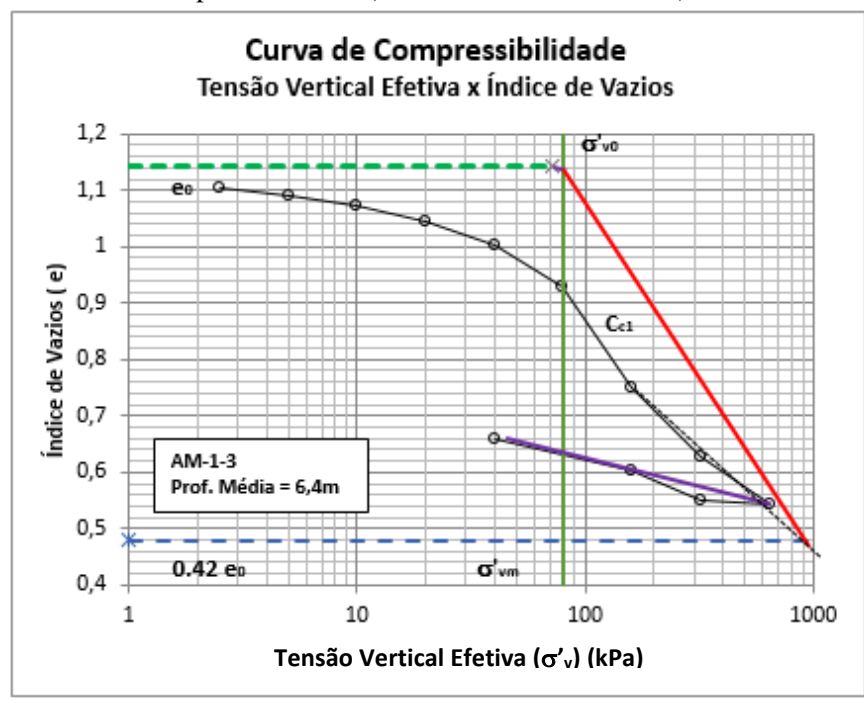
CORREÇÃO OLIVEIRA AM-2-5	
Profundidade Média:	13,3
e ₀ :	1,823
σ' _{ν0} :	117,2
C _{c1} :	0,90
o' _{vm OLIVEIRA} :	137
OCR:	1,2

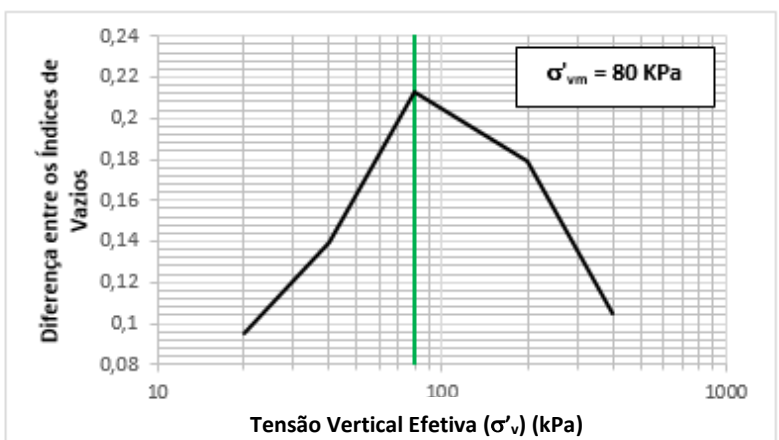
Dados da Curva Experir	nental
Cori	0,81
G om EXPERIMENTAL	65
OCR:	0,6

Qualidade	
ε _{σ'νο} (%):	24,50
∆ele₀:	0,38
Coutinho ($\Delta e l e_0$):	Muito pobre
Lunne (∆e/e₀):	Muito pobre
1	Pobre/Muit
Lunne (s _{c'v0}):	o pobre

APÊNDICE E - CURVAS DE COMPRESSIBILIDADE CORRIGIDA POR SCHMERTMANN (1955)

Correção da curva de compressibilidade (SCHMERTMANN, 1955), amostra AM-1-3, Ilha 1.



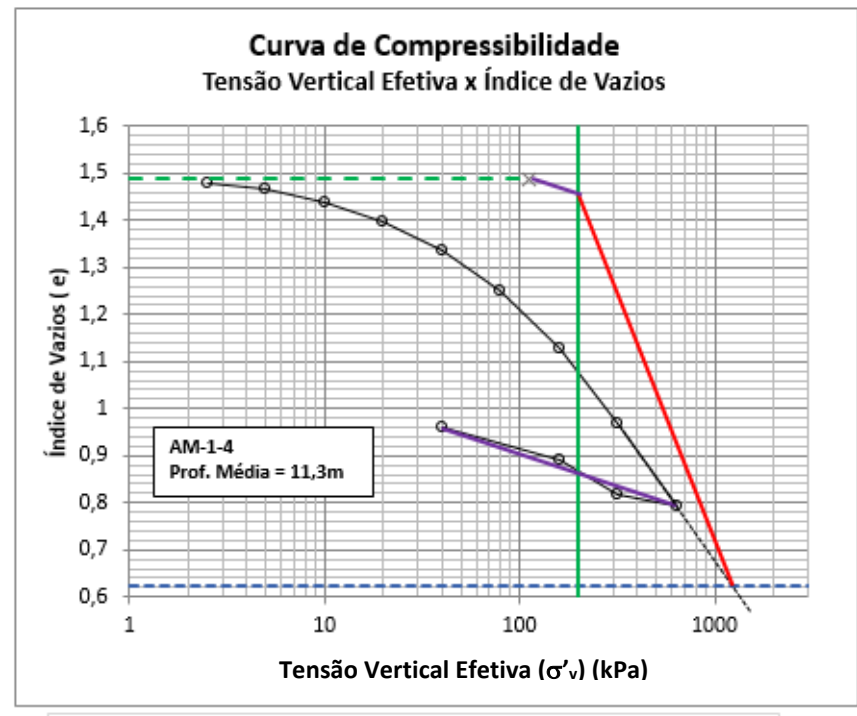


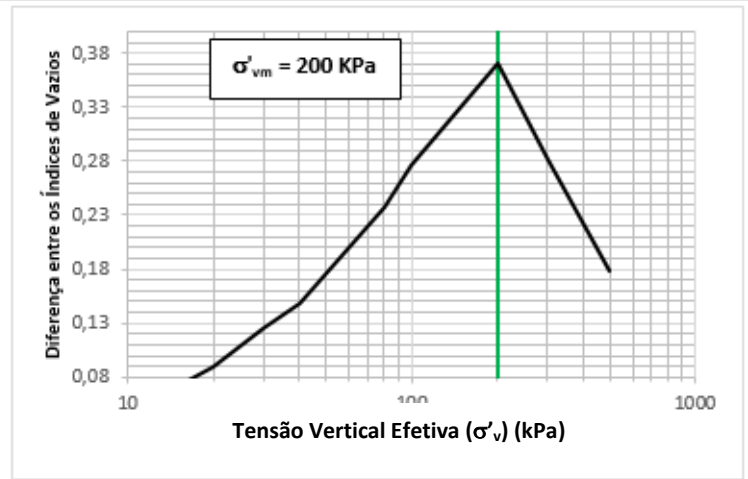
CORREÇÃO SCHMERTMANN	AM-1-3
Profundidade:	6,4
e ₀ :	1,142
σ' _{v0} :	71,9
C _{c1} :	0,63
σ' _{vm SCHMERTMANN} :	80
OCR:	1,1

Dados da Curva Experimental	
C _{ci} :	0,59
σ' _{vm EXPERIMENTAL} :	60
OCR:	0,87

Qualidade		
ε _{σ'νο} (%):	9,40	
Δe/e ₀ :	0,18	
Coutinho (∆e/e₀):	Muito pobre	
Lunne (∆e/e₀):	Muito pobre	
luppo (s. \:	Pobre/Muito	
Lunne (ε _{σνο}):	pobre	

Correção da curva de compressibilidade (SCHMERTMANN, 1955), amostra AM-1-4, Ilha 1



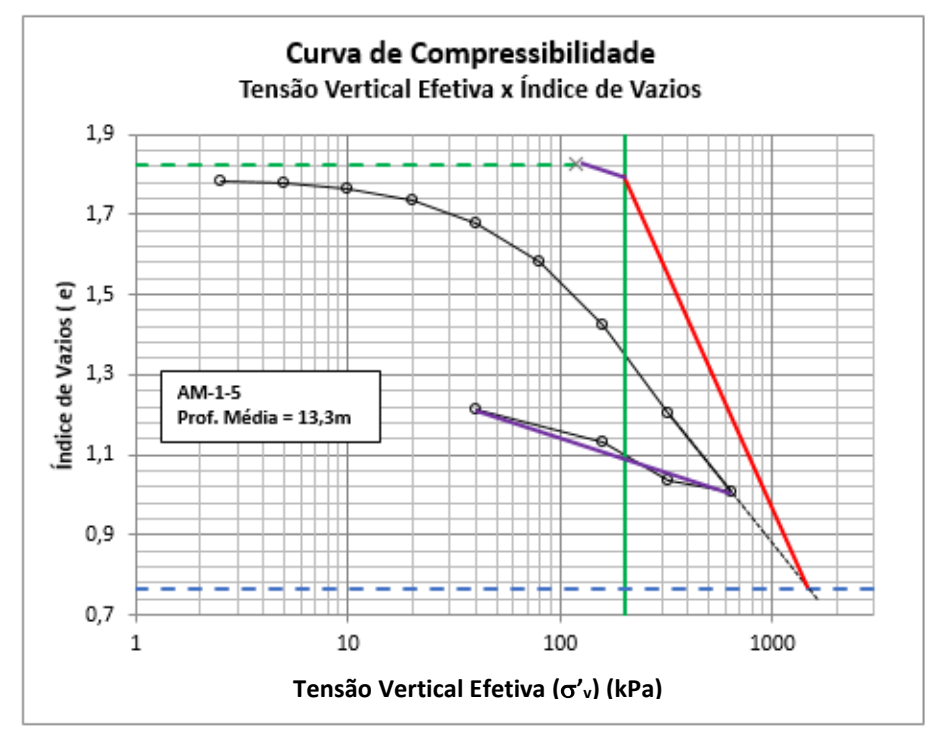


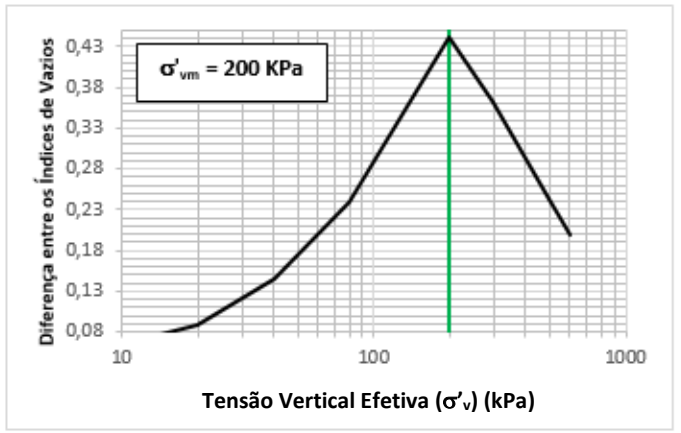
CORREÇÃO SCHMERTMANN AM-1-4	
Profundidade Média:	11,3
e ₀ :	1,488
σ' _{v0} :	111,9
C _{c1} :	1,05
σ' _{vm SCHMERTMANN} :	200
OCR:	1,8

Dados da Curva Experimental	
Ccs:	0,52
σ' _{vm experimental} :	75
OCR:	0,67

Qualidade		
ε _{σ'ν0} (%):	13,70	
Δe/e ₀ :	0,23	
Coutinho ($\Delta e/e_0$):	Muito pobre	
Lunne (∆e/e₀):	Muito pobre	
1	Pobre/Muito	
Lunne (ε _{σ'vo}):	pobre	

Correção da curva de compressibilidade (SCHMERTMANN, 1955), amostra AM-1-5, Ilha 1.



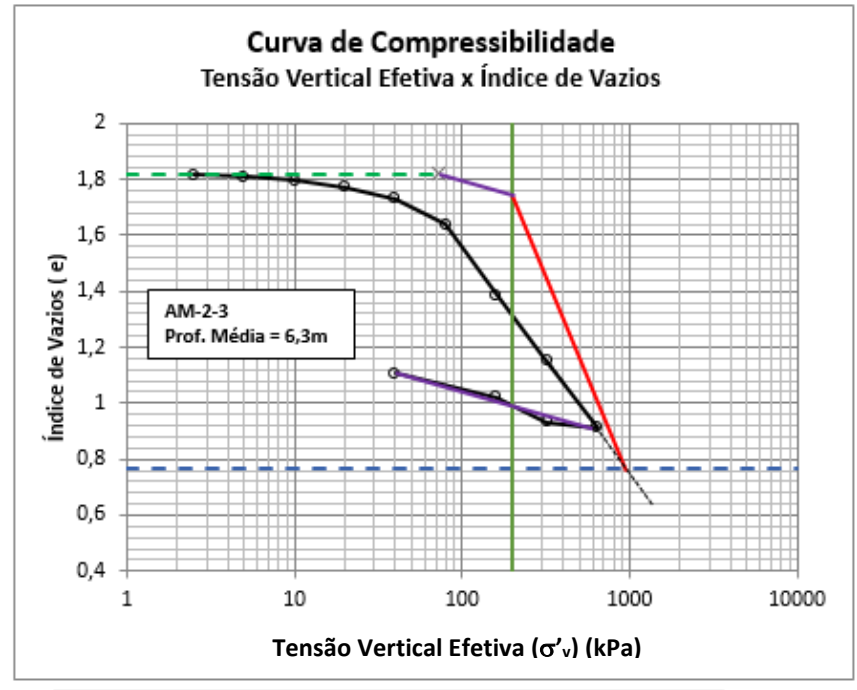


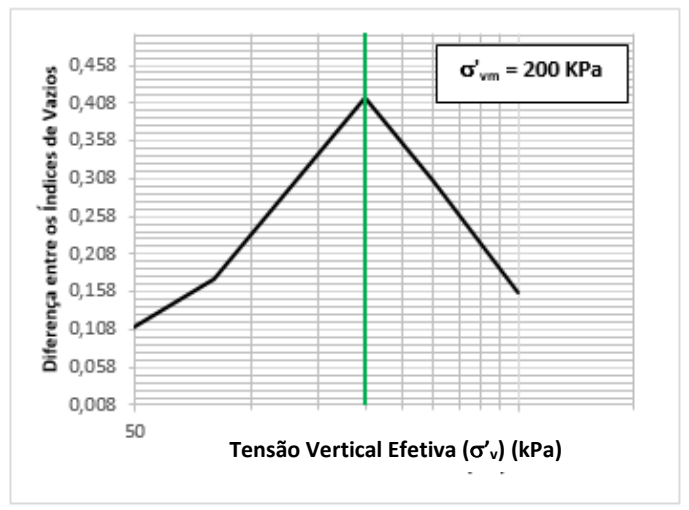
CORREÇÃO SCHMERTMANN AM-1-5	
Profundidade Média:	13,3
e ₀ :	1,825
σ' _{v0} :	117,2
C _{ci} :	1,20
σ' _{vm SCHMERTMANN} :	200
OCR:	1,7

Dados da Curva Experimental	
Cci:	0,73
G' VIN EXPERIMENTAL:	70
OCR:	0,60

Qualidade		
ε _{σ'ν0} (%):	18,80	
Δe/e ₀ :	0,29	
Coutinho ($\Delta e/e_0$):	Muito pobre	
Lunne (∆e/e₀): Muito pobre		
1,,,,,,,	Pobre/Muito	
Lunne (ε _{σ'νο}):	pobre	

Correção da curva de compressibilidade (SCHMERTMANN, 1955), amostra AM-2-3, Ilha 2,



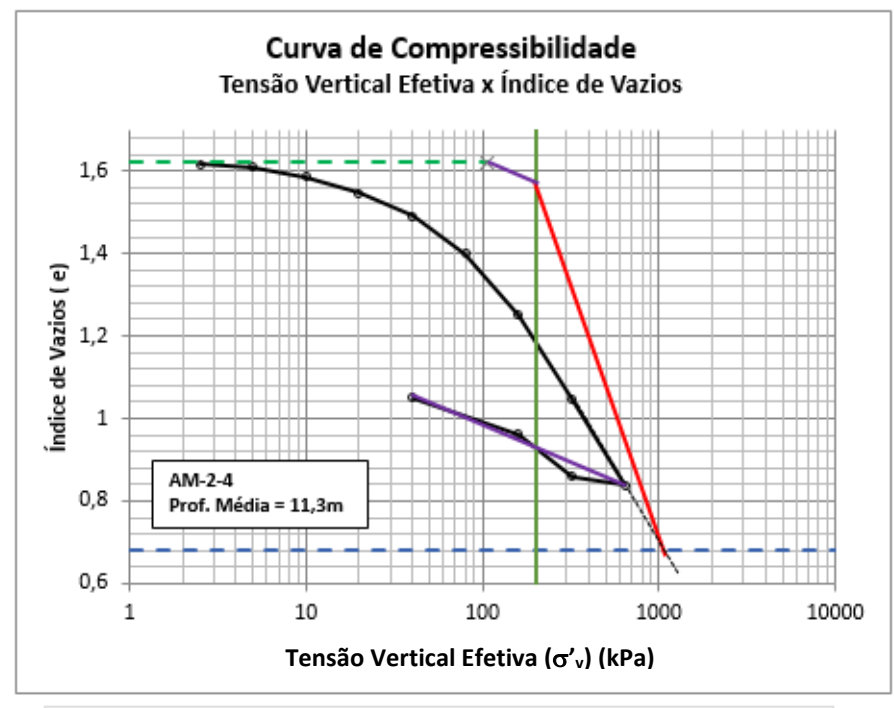


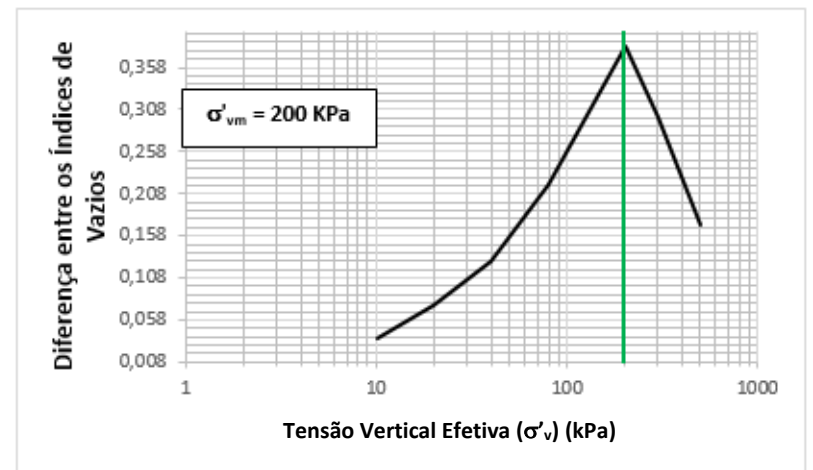
CORREÇÃO SCHMERTMANN AM-2-3	
Profundidade Média:	6,3
e ₀ :	1,819
σ' _{v0} :	72,6
C _{c1} :	1,63
σ' _{vm SCHMERTMANN} :	200
OCR:	2,8

Dados da Curva Experimental	
C _{ci} :	0,83
σ' _{vm EXPERIMENTAL} :	70
OCR:	0,96

Qualidade
ε _{σ'νΟ} (%): 5,9
Δe/e ₀ : 0,09
Coutinho (∆e/e₀): Pobre
Lunne (∆e/e₀): Pobre
Lunne (ε _{c'vo}): Boa a Regular

Correção da curva de compressibilidade (SCHMERTMANN, 1955), amostra AM-2-4, Ilha 2.



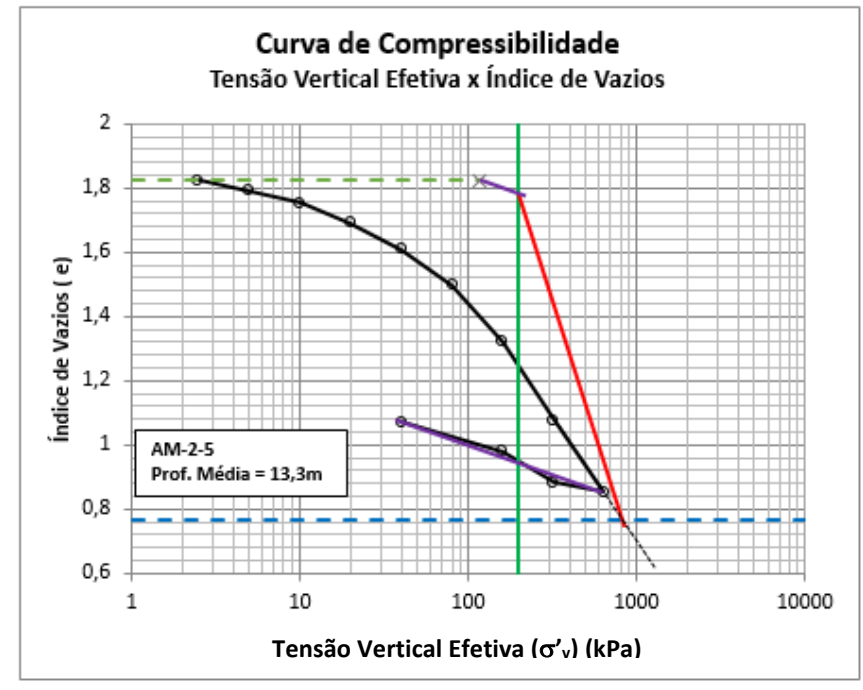


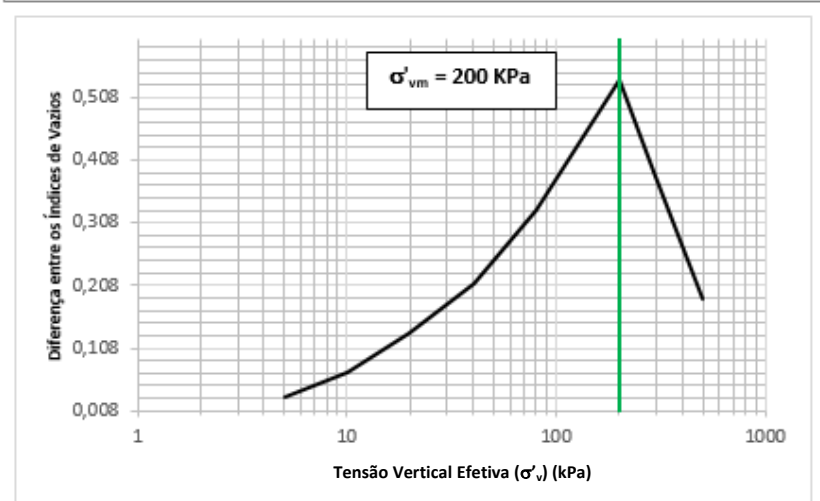
CORREÇÃO SCHMERTMANN AM-2-4	
Profundidade Média:	11,3
e ₀ :	1,621
σ' _{v0} :	106,2
C _{c1} :	0,73
σ' _{vm SCHMERTMANN} :	200
OCR:	1,9

Dados da Curva Experimental	
C _{ci} :	0,68
G'vm experimental:	80
OCR:	0,75

Qualidade		
ε _{σ'ν0} (%):	14,00	
Δe/e ₀ :	0,23	
Coutinho (∆e/e₀):): Muito pobre	
Lunne (∆e/e₀):	e _o): Muito pobre	
Pobre/Mui Lunne (ق _{طعة}): pobre		
Lume (46/10).	pobre	

Correção da curva de compressibilidade (SCHMERTMANN, 1955), amostra AM-2-5, Ilha 2.





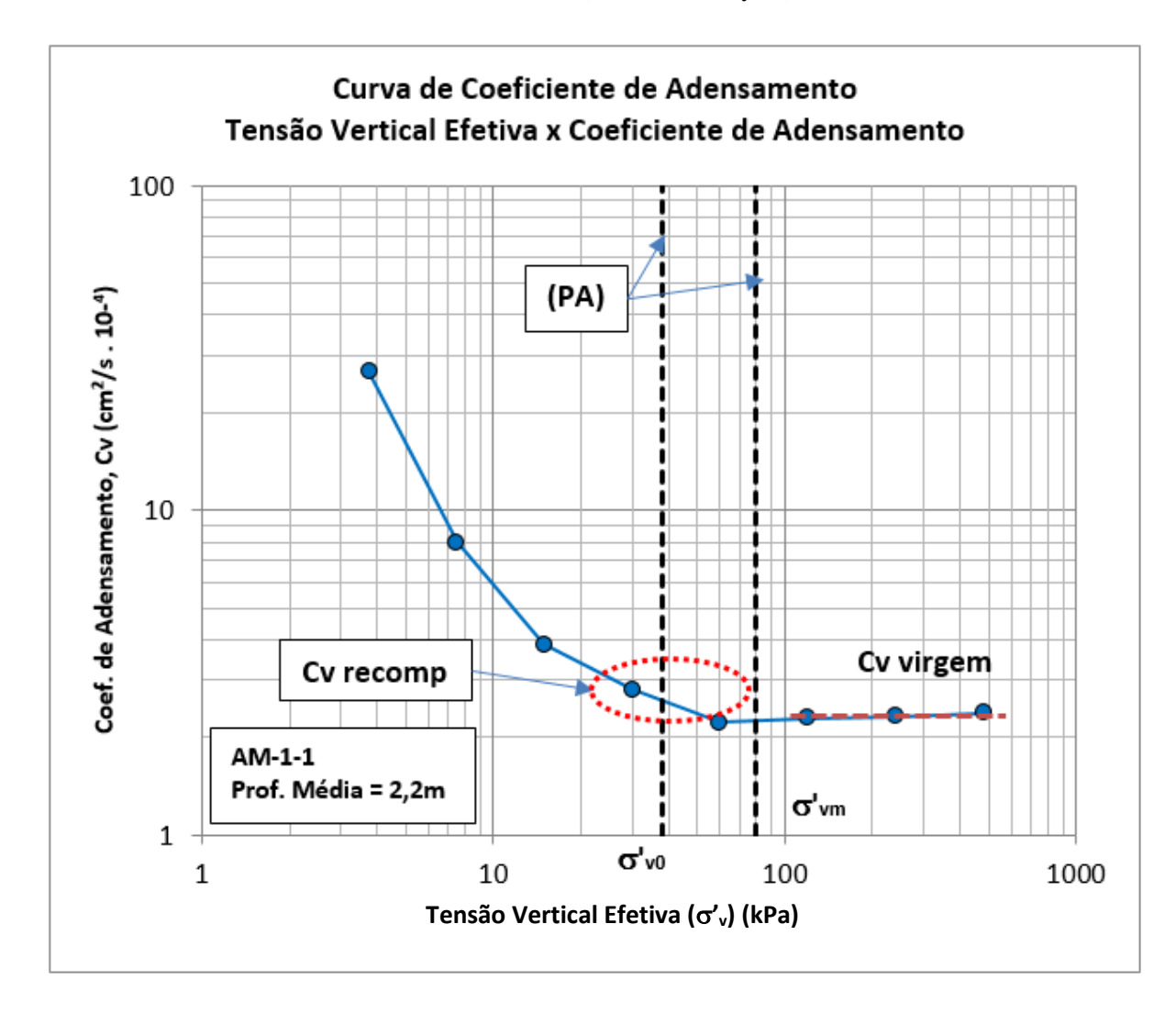
CORREÇÃO SCHMERTMANN AM-2-5	
Profundidade Média:	13,3
e _o :	1,823
σ' _{vo} :	117,2
C _{cs} :	0,99
σ' _{vm schmertmann} :	200
OCR:	1,7

Dados da Curva Experimental	
0,81	
65	
0,55	

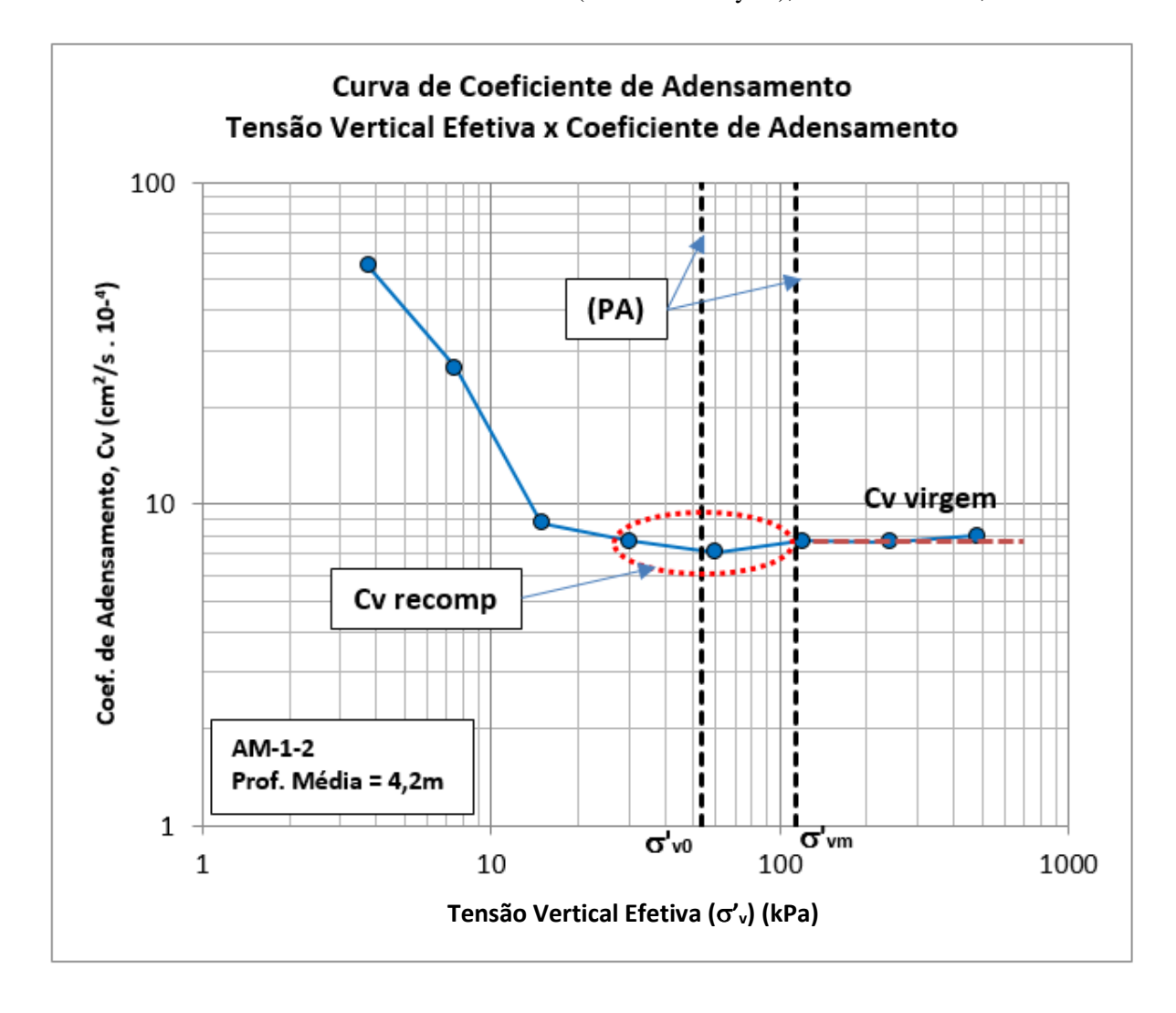
Qualidade	
ε _{σνο} (%):	24,50
Δe/e _o :	0,38
Coutinho ($\Delta e/e_0$):	Muito pobre
Lunne (∆e/e₀):	Muito pobre
Lunne (ε _{σ'vo}):	Pobre/Muit
	o pobre

APÊNDICE F – COEFICIENTE DE ADENSAMENTO

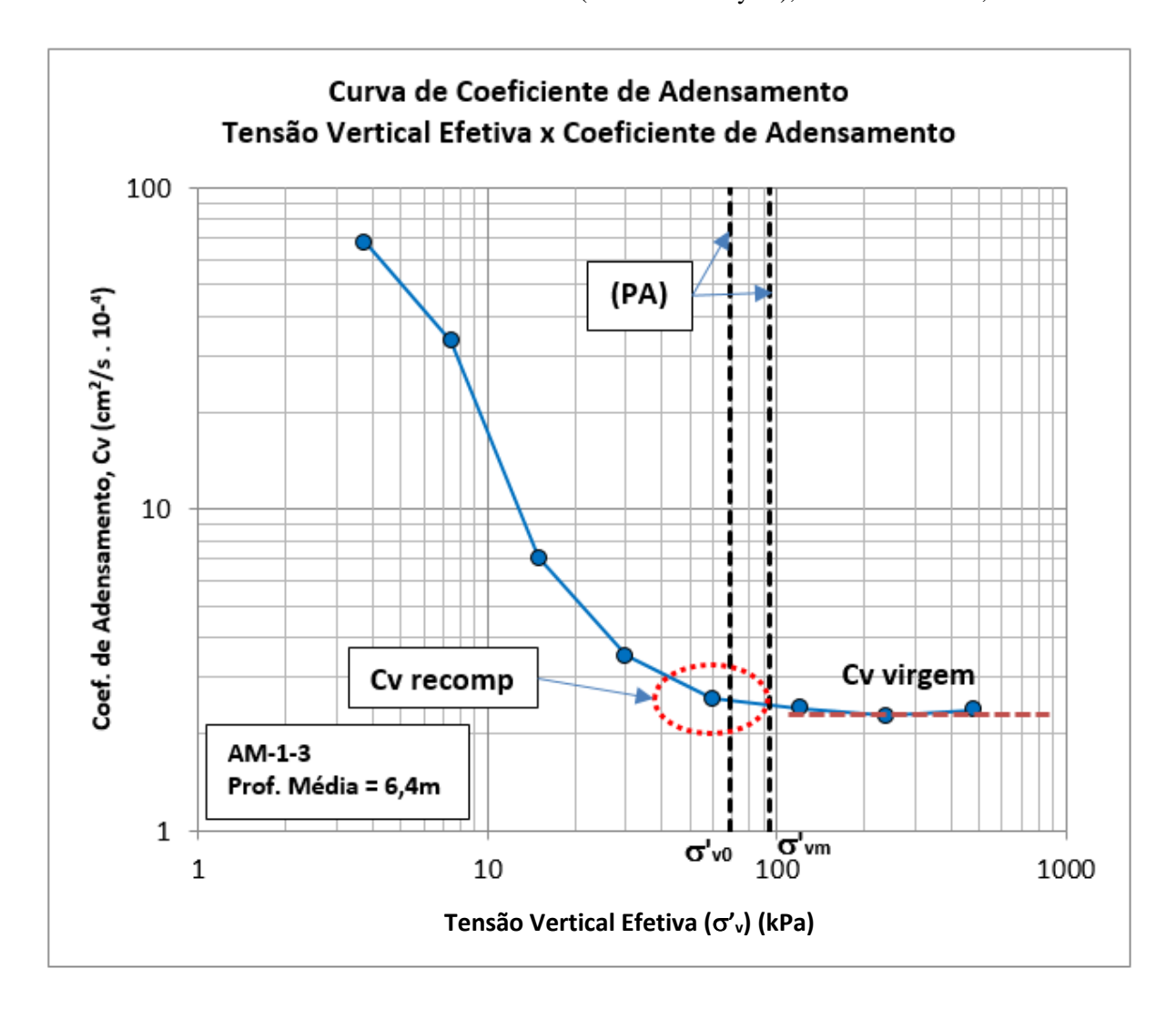
Curva de coeficiente de adensamento – C_{v} (Método de Taylor), amostra AM-1-1, Ilha 1.



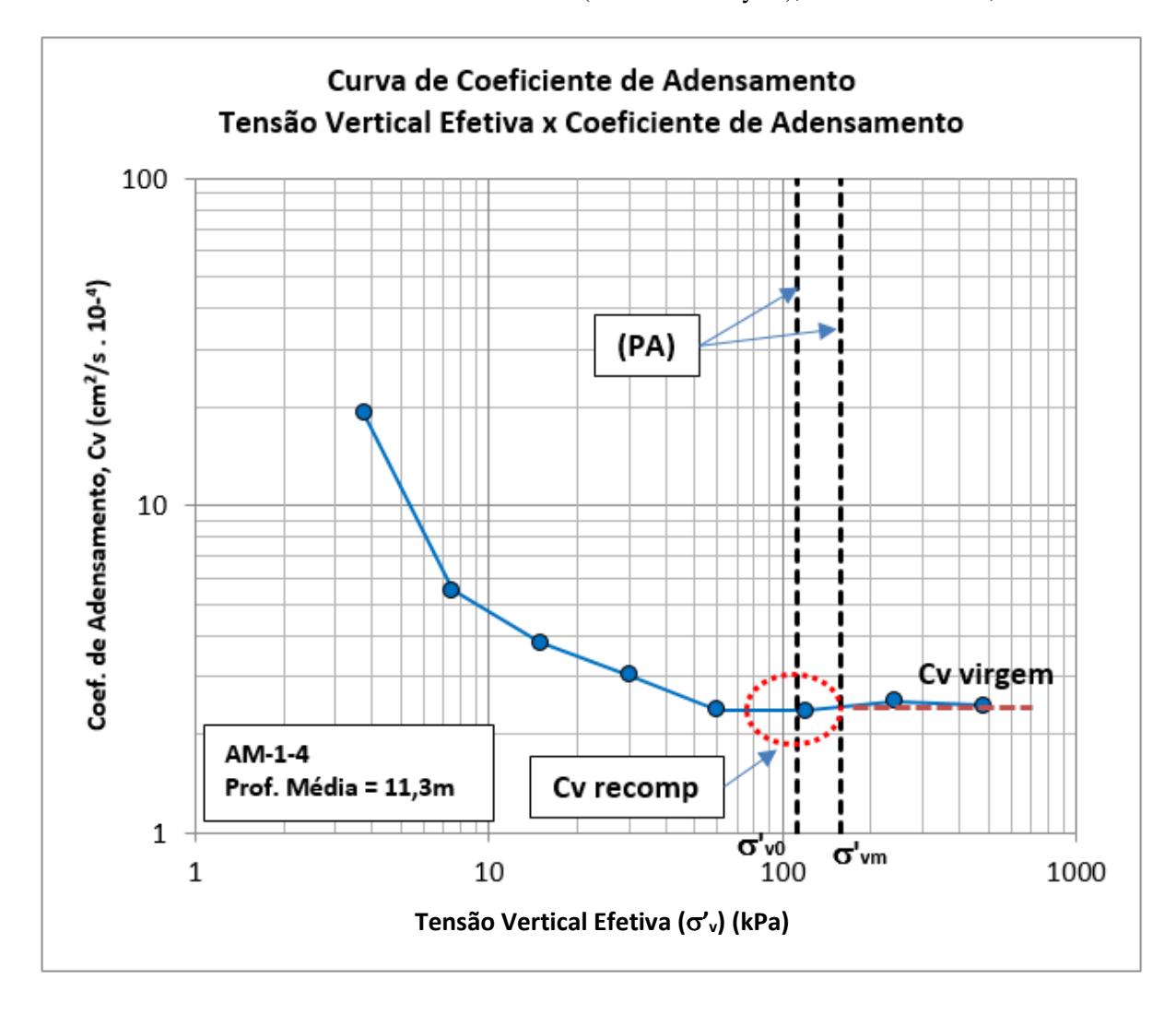
Curva de coeficiente de adensamento – C_v (Método de Taylor), amostra AM-1-2, Ilha 1.



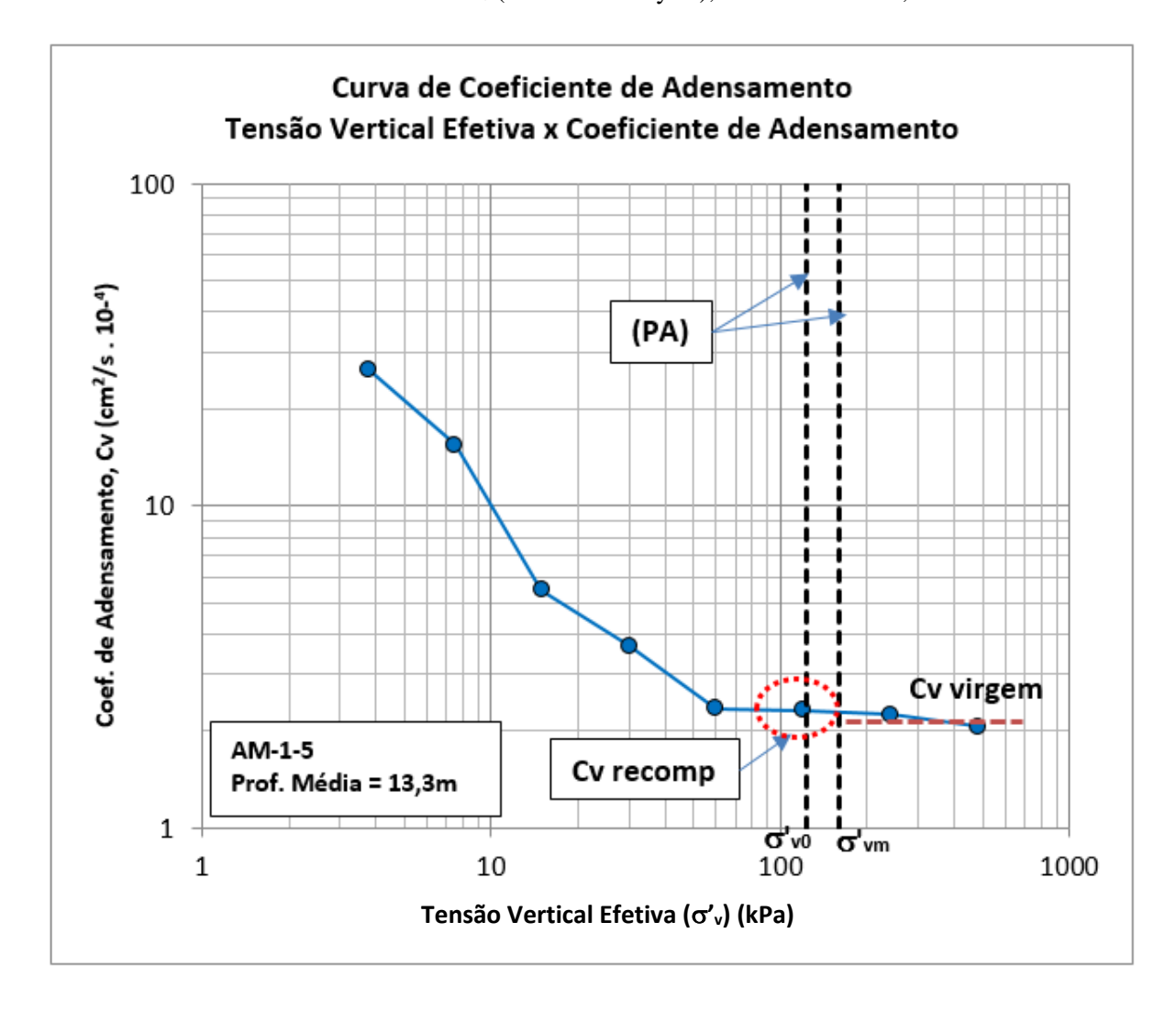
Curva de coeficiente de adensamento – Cv (Método de Taylor), amostra AM-1-3, Ilha 1.



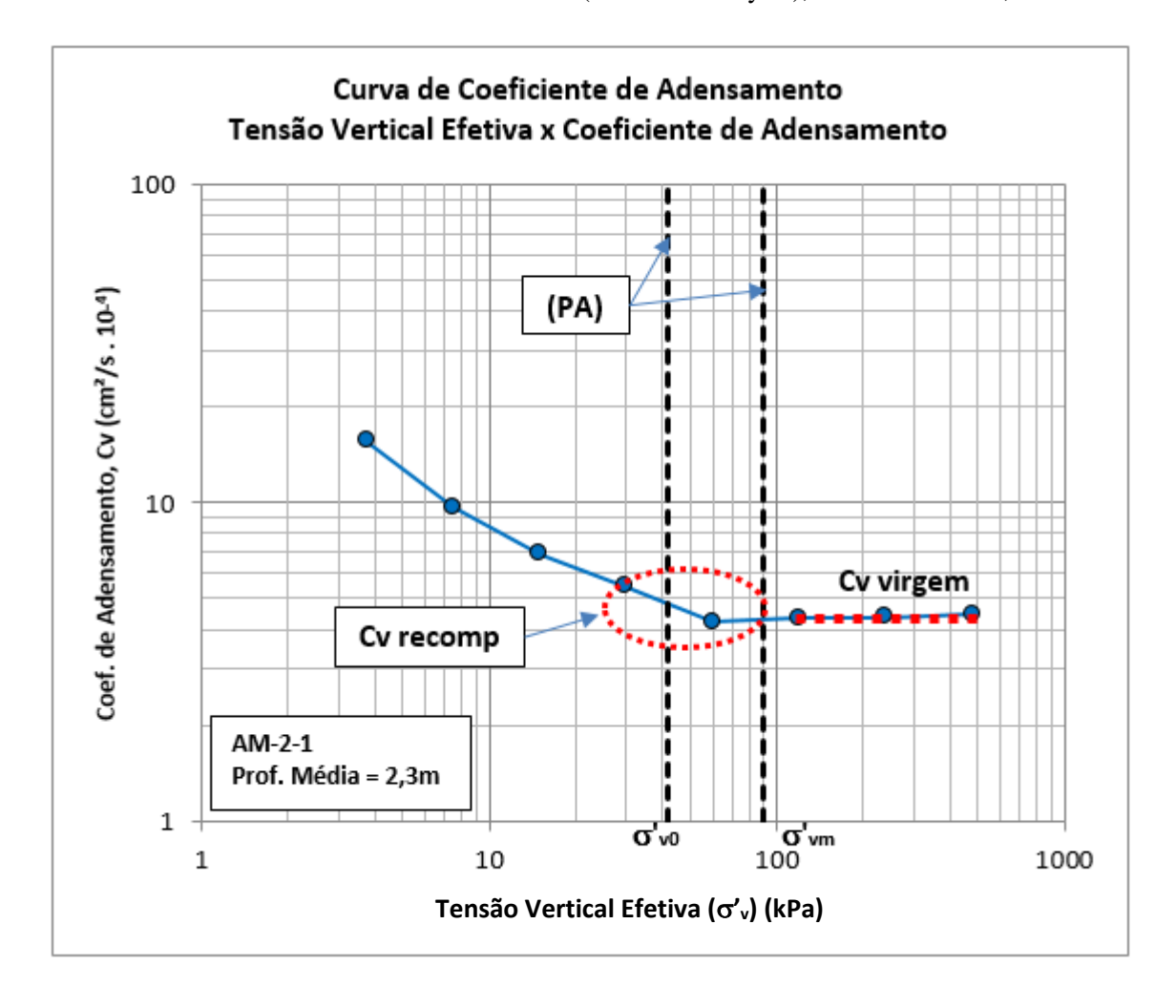
Curva de coeficiente de adensamento – C_v (Método de Taylor), amostra AM-1-4, Ilha 1.



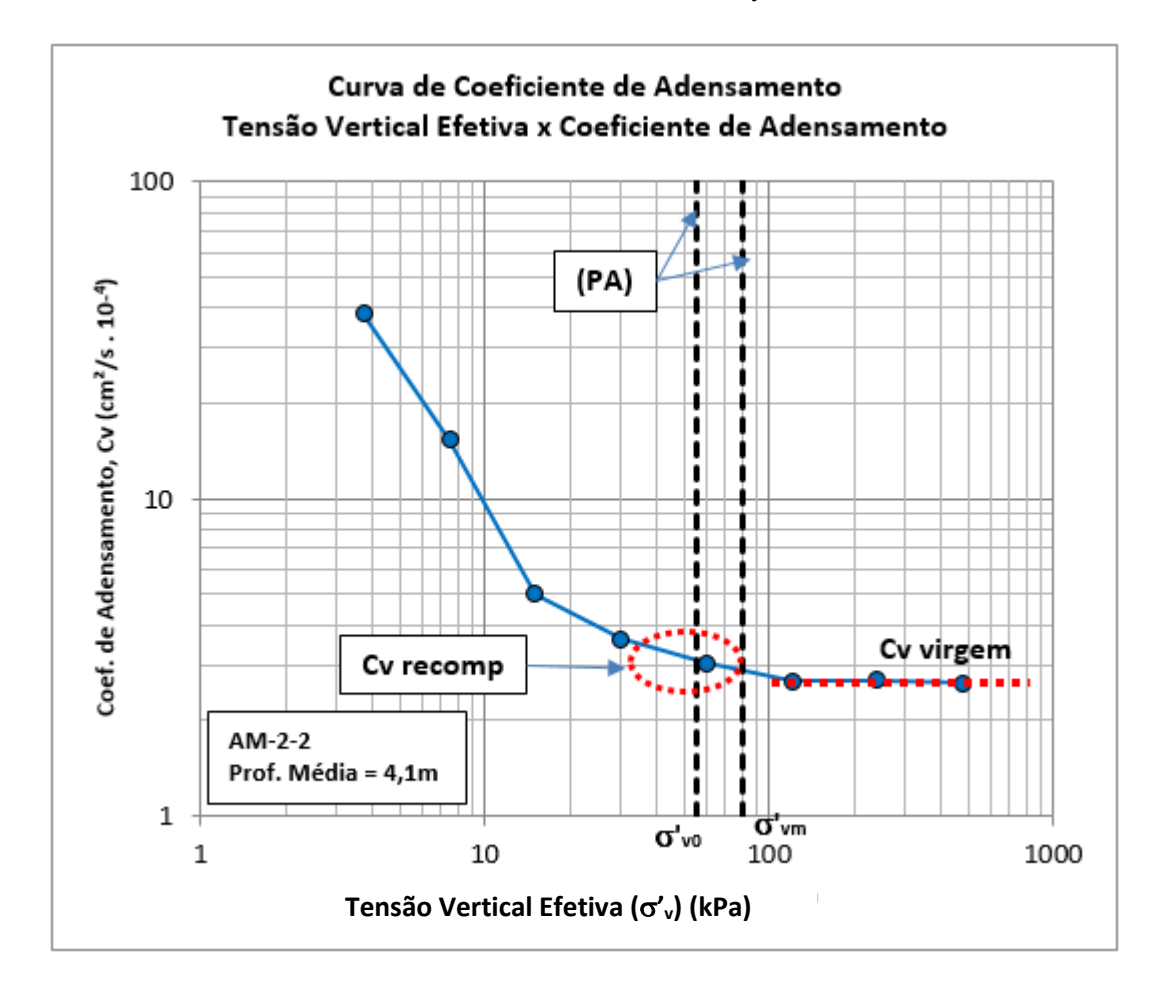
Curva de coeficiente de adensamento – C_v (Método de Taylor), amostra AM-1-5, Ilha 1.



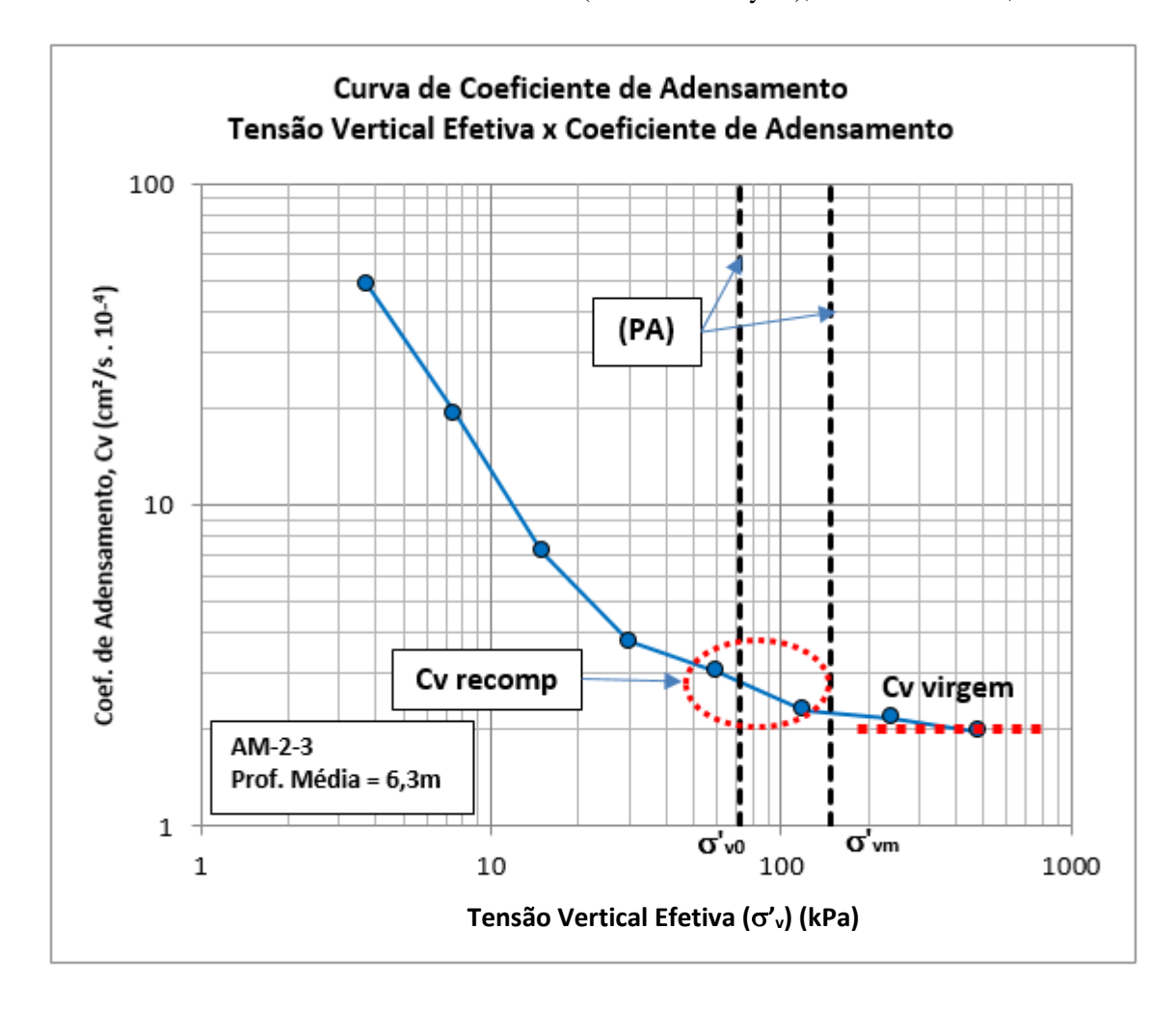
Curva de coeficiente de adensamento — C_v (Método de Taylor), amostra AM-2-1, Ilha 2.



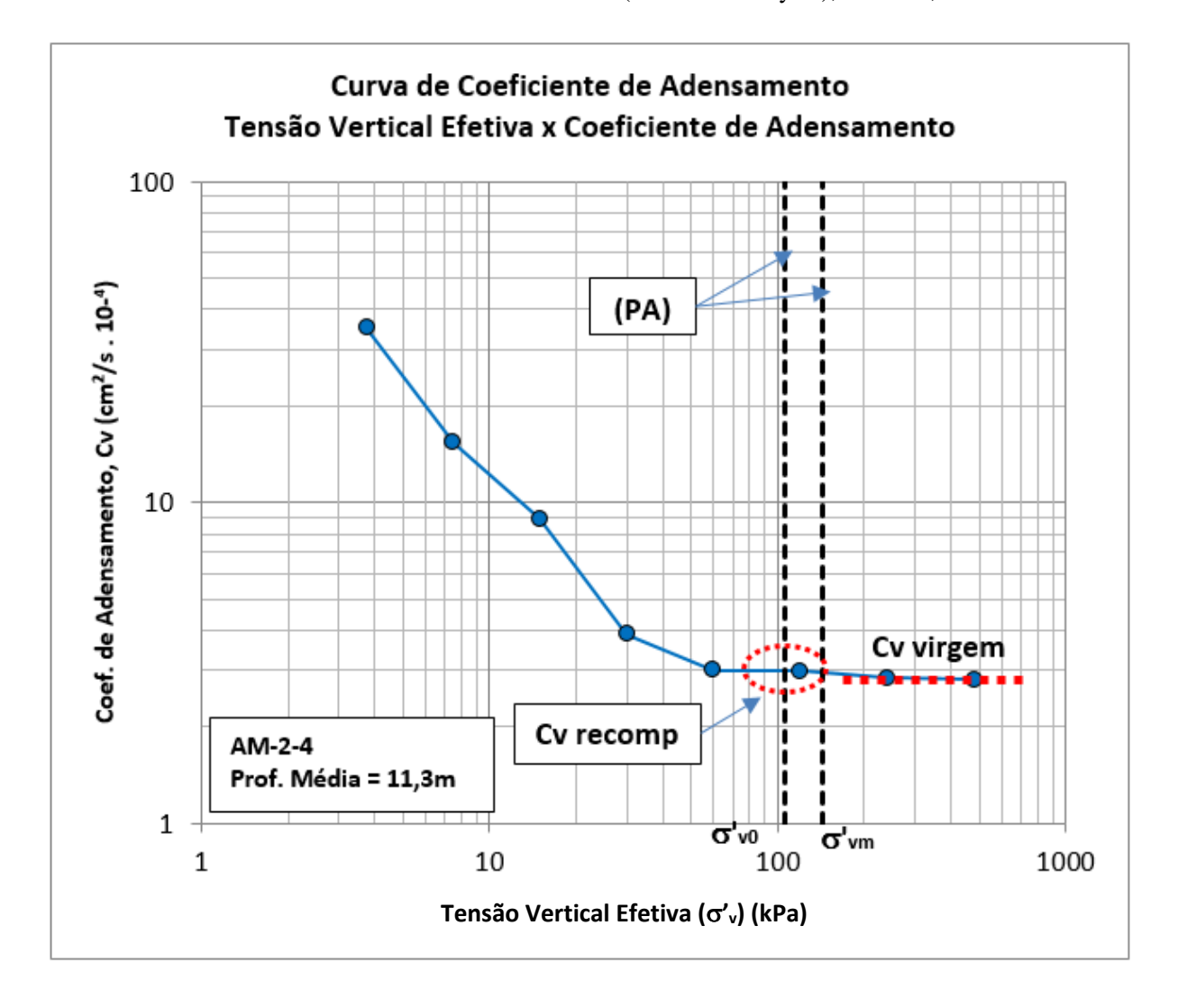
Curva de coeficiente de adensamento – Cv (Método de Taylor), amostra AM-2-2, Ilha 2.



Curva de coeficiente de adensamento – C_v (Método de Taylor), amostra AM-2-3, Ilha 2.



Curva de coeficiente de adensamento – C_v (Método de Taylor), AM-2-4, Ilha 2.



Curva de coeficiente de adensamento – C_v (Método de Taylor), amostra AM-2-5, Ilha 2.

